

# รายงานการวิจัย พัฒนาและวิศวกรรม ฉบับสมบูรณ์

รหัสโครงการ NN-B-22-CT2-19-50-07

การเตรียมและสมบูดีของพอลิเมอร์-ดินเหนียวนาโนคอมโพลิกที่เตรียมจากน้ำมันถั่วเหลือง

Preparation and properties of polymer-clay nanocomposites derived from soybean oil

คณะผู้วิจัย

รองศาสตราจารย์ ดร. วรารณ์ ตันรัตนกุล

ดร. วัชนิศา ชินพา

นางสาวพิมพ์ชนก ไสไทย

ภาควิชาวิทยาศาสตร์และเทคโนโลยีวัสดุ

คณะวิทยาศาสตร์

มหาวิทยาลัยสงขลานครินทร์

สนับสนุนทุนวิจัยโดย

ศูนย์นาโนเทคโนโลยีแห่งชาติ

สำนักงานพัฒนาวิทยาศาสตร์และเทคโนโลยีแห่งชาติ

ประจำปีงบประมาณ 2550

## กิจกรรมประจำ

โครงการวิจัยนี้ได้รับทุนอุดหนุนการวิจัย พัฒนาและวิศวกรรมจากศูนย์นาโนเทคโนโลยีแห่งชาติ ส้านักงานพัฒนาวิทยาศาสตร์และเทคโนโลยีแห่งชาติ ปีงบประมาณ 2550 จำนวนเงิน 666,360 บาท

ขอขอบคุณสาขาวิทยาศาสตร์พอลิเมอร์ และภาควิชาวิทยาศาสตร์และเทคโนโลยีวัสดุ คณะวิทยาศาสตร์ ที่อนุเคราะห์ห้องปฏิบัติการและเครื่องมือในการวิจัย

ขอขอบคุณผู้ช่วยศาสตราจารย์ ดร. เดิมศักดิ์ ศรีคิรินทร์ ภาควิชาพิสิกส์ คณะวิทยาศาสตร์ มหาวิทยาลัยมหิดล ที่อนุเคราะห์ดินเหนียวปรับสภาพ และให้คำปรึกษาแนะนำการเตรียมตัวอย่างนาโนคอมโพสิต

ขอขอบคุณบริษัท ศรีเทพไทยเคมี จำกัด ในการให้ความอนุเคราะห์ Vikoflex® 7170

ขอขอบคุณนักศึกษารายนามต่อไปนี้ที่ให้ความช่วยเหลือด้านการทดลองบางส่วน นางสาวสุนันทร์ ใจเจน เกียรติ นางสาวดวงฤทธิ์ ศรีนุ่น นางสาวเพ็ญศรี พรหมรัตน์ นางสาวมนต์จิรา ดอกบัวแก้ว และนางสาวจิรฉัติ ขุมภักดี

## บทคัดย่อ

พลาสติกเป็นวัสดุที่มีการใช้กันอย่างกว้างขวางทั่วโลก บริษัทการบริโภคพลาสติกทั่วโลกเพิ่มขึ้นปีละ 4-5% ดังนั้น อุตสาหกรรมพลาสติกจึงเป็นอุตสาหกรรมที่สร้างรายได้ให้กับประเทศเป็นอย่างสูง เป็นที่ยอมรับกันว่าการผลิตในภาคอุตสาหกรรมก่อให้เกิดกําชาดเรื่องผลกระทบเป็นอย่างมาก การเรือนกระจกเป็นปัจจัยหลักที่ทำให้เกิดสภาพโลกร้อน ส่งผลให้เกิดปัญหาการเปลี่ยนแปลงของภูมิอากาศและสิ่งแวดล้อมเป็นอย่างมาก สร้างความเดือดร้อนให้กับประชากรโลกเป็นอย่างสูง นักวิทยาศาสตร์จึงมีความพยายามลดการผลิตกําชาดเรื่องผลกระทบของภาคอุตสาหกรรม วัสดุพลาสติกชีวภาพ (bioplastics) จึงเริ่มมีบทบาทเพิ่มมากขึ้น พลาสติกชีวภาพเป็นพอลิเมอร์ที่มีองค์ประกอบบางส่วนหรือทั้งหมดมาจากวัสดุธรรมชาติ การใช้น้ำมันพืชเป็นสารเริ่มต้นในการผลิตพลาสติกจะช่วยลดการปล่อยกําชาดเรื่องผลกระทบ (carbon footprint) ในขั้นตอนการผลิตมอนอเมอร์ ในขณะที่การผลิตพลาสติกทั่วไปที่มีจากอุตสาหกรรมปีโดยเฉลี่ยจะต้องนำน้ำมันดิบหรือกําชาดเรื่องมาสกัดเป็นสารคราบอนก่อนที่จะผลิตเป็นมอนอเมอร์ ซึ่งในขั้นตอนนี้ทำให้เกิดกําชาดเรื่องผลกระทบ นอกเหนือนี้ ยังมีปัญหาด้านที่เกี่ยวข้องกับน้ำมันดิบ ได้แก่ ราคาน้ำมันสูงขึ้น การไม่สามารถควบคุมราคาน้ำมันดิบหรือกําชาดเรื่องมาสกัดเป็นสารคราบอนก่อนที่จะผลิตเป็นมอนอเมอร์ ซึ่งในขั้นตอนนี้ทำให้เกิดกําชาดเรื่องผลกระทบ งานวิจัยการเตรียมน้ำมันถั่วเหลืองอิพ็อกซิไดซ์มีมานานแล้ว มีการนำไปใช้งานด้านต่างๆ เช่น สารหล่อลื่น เป็นสารเริ่มต้นการผลิตพอลิเมอร์ เก็บและเป็นพลาสติกใช้เชอร์ช่องพีวีซี แต่ยังไม่มีการนำไปใช้งานด้านแผ่นพลาสติก เพราะมีความแข็งแรงน้อย ดังนั้น งานวิจัยนี้จึงมีวัตถุประสงค์ในการเตรียมเป็นแผ่นพลาสติกที่เสริมความแข็งแรงด้วยดินเหนียว ปรับสภาพ โดยทำให้มีลักษณะเป็นวัสดุพอลิเมอร์นาโนคอมโพสิต และทดลองใช้เป็นสารเคลือบผิวนไม้ยางพารา ผลการทดลองพบว่า สามารถสังเคราะห์น้ำมันถั่วเหลืองอิพ็อกซิไดซ์ที่มีปริมาณอิพ็อกซิไดซ์ต่างๆ กันได้ ระหว่าง 24-88% โมล% อิพ็อกซิไดซ์ สมบัติความทนต่อแรงดึงและความต้านทานต่อการนีกษาเพิ่มขึ้นตามปริมาณอิพ็อกซิไดซ์ที่เพิ่มขึ้น แต่ความสามารถในการยึดล็อก เนื่องจากมีอุณหภูมิกล้าสแทรนชิชันและปริมาณการเรซิมโโยงโมเลกุลเพิ่มขึ้น แผ่นไม้พลาสติกมีความต้านทานต่อการลอกด้วยน้ำดี แต่ความต้านทานต่อสารเคมีที่ใช้ทดลองมีค่าต่ำ ความทนต่อความร้อนเพิ่มขึ้น เล็กน้อยตามปริมาณอิพ็อกซิไดซ์ ทดลองเดินดินเหนียวที่แตกต่างกันน้ำมันถั่วเหลืองอิพ็อกซิไดซ์ชนิด 40 โมล% ที่ได้จากการลอกด้วยน้ำดี ทดลองเดินดินเหนียวที่ใช้ถูกตัดแต่งด้วยสารเคมีที่ใช้ทดลองมีค่าต่ำ ความทนต่อความร้อนเพิ่มขึ้น แต่ความต้านทานต่อสารเคมีที่ใช้ทดลองมีค่าต่ำ ความทนต่อความร้อนเพิ่มขึ้น เนื่องจากมีอุณหภูมิกล้าสแทรนชิชันและปริมาณการเรซิมโโยงโมเลกุลเพิ่มขึ้น แผ่นไม้พลาสติกมีความแข็งแรงมากขึ้น ปริมาณที่เหมาะสมในการเติมที่ทำให้สมบัติโดยรวมดีที่สุด คือ 1% และ 5% ในน้ำมันถั่วเหลืองอิพ็อกซิไดซ์ชนิด 100 โมล% และ 40 โมล% ตามลำดับ การตรวจสอบโครงสร้างของดินเหนียวในแผ่นไม้พลาสติกพบว่า ดินเหนียวส่วนใหญ่มีการขยายตัวของชั้นดิน แสดงว่ามีโมเลกุลของน้ำมันถั่วเหลืองอิพ็อกซิไดซ์เข้าไปแทรกอยู่ในระหว่างชั้นดินได้ บางสูตรแสดงให้เห็นว่ามีการแตกของชั้นดินเหนียว ทั้งสองลักษณะนี้เป็นลักษณะของพอลิเมอร์-ดินเหนียวนาโนคอมโพสิต แสดงให้เห็นว่าโครงการวิจัยประสบความสำเร็จในการเตรียมนาโนคอมโพสิตจากวัสดุคุณภาพ การทดลองนำน้ำมันถั่วเหลืองอิพ็อกซิไดซ์ชนิด 100 โมล% เป็นสารเคลือบผิวนไม้ยางพารา สามารถทำให้สามารถรักษาความชื้นได้ดีกว่าพลาสติกที่ไม่สามารถรักษาความชื้นได้ แต่เนื่องจากสารเคมีที่ใช้ในการเรซิมโโยงโมเลกุลขาดแคลน ไม่สามารถจัดซื้อด้วยภายในประเทศ ทำให้ไม่สามารถทำการทดลองต่อไปได้ อย่างไรก็ตาม ผลการทดลองบ่งชี้ว่ามีความสามารถในการทำเป็นสารเคลือบพิเศษ แต่ต้องมีการปรับปรุงสมบัติให้มีความแข็งแรงมากขึ้น เช่น การทำเป็นโคลอฟอลิเมอร์กับพอลิเมอร์ชนิดอื่นๆ และต้องเลือกประยุกต์กับงานที่ไม่ต้องการความแข็งแรงของสารเคลือบผิวนาก พร้อมกับสีที่อาจเปลี่ยนไปเนื่องจากน้ำมันถั่วเหลืองอิพ็อกซิไดซ์มีสีเหลืองเล็กน้อย

## Abstract

Plastic is a well-known material that is widely used in the world. Plastic consumption in the world increased 4-5% in every year. Therefore, plastic industry is the industry providing high incomes to the country. It is accepted that industry sector releases much green house gases (GHG). GHG are the main factor causing the global warming, resulting to climate changes and environment problems. These show negative impact to everyone. Scientists seek to decrease GHG derived from the industry. Bioplastics increase their important role in the plastic industry. Bioplastics compose of materials that some or all part come from natural polymer or natural materials. Monomers from vegetable oils can decrease GHG in the process of plastic production whereas monomers from petrochemicals generate GHG during their processing. Furthermore, there are many problems of crude oil such as high price, uncontrollable price, difficulty for price prediction and short of oil in the future. These are the risk of the plastic industry. As a result, research and development of plastics derived from renewable resources are very interesting. Synthesis of epoxidized soybean oil (ESO) has been developed for 20 years ago. It is used to certain applications such as lubricant oil, monomer for polyurethane and plasticizer of PVC. The application as plastic film or sheet is not found due to its low mechanical properties. Hence, this research aimed to prepare the plastic sheet which reinforced with clay for improving mechanical properties by preparing as a nanocomposite and also test the application of ESO as a coating material on natural rubber wood. It is found that we could synthesize ESO containing various epoxide contents, from 24 to 88 mol% epoxidation. Tensile properties and tear strength of ESO increased and the elongation at break decreases with increasing epoxide content. These are due to higher glass transition temperature and higher crosslinking. Water resistance of ESO is high but chemical resistance is quite low. Thermal degradation increased slightly after epoxidation. Various clays were added into ESO in order to select the most appropriate one. Two grades of ESO were used: 40 mol% (ESO40) and 100 mol% (ESO100, the commercial product). ESO40 contains epoxy ring and still shows double bonds whereas ESO100 contains only epoxy ring because all double bonds were converted to the epoxy ring. Different clay was selected for each ESO based on dispersability of clay in the ESO. Clay was modified with the surfactant before using and called it as the organoclay. The addition of clay increased mechanical properties of ESO. The optimal clay content was 1% and 5% for ESO100 and ESO40, respectively. The investigation of clay dispersed in ESO showed that majority of clay exhibited the larger interlayer of clay, indicating the penetration of ESO molecules in the interlayer. Some samples showed the explosion of the interlayer structure. Both appearances are the characteristics of polymer-clay nanocomposites. This reveals that it is successful to prepare the nanocomposite from this pair of materials from this project. Coating experiment was done by using ESO100. We could find the appropriate condition to obtain good coatings. Unfortunately, it is short off the hardening agent and it is unable to purchase. For that reason, it is unable to continue the coating experiment. The experimental results showed that ESO is able to be used as a coating agent but it is necessary to improve its strength such as copolymerization with other polymers. Furthermore, it can be applied in the limited applications because color of ESO is yellow similarly to color of soybean oil.

## สารบัญ

	หน้า
กิตติกรรมประกาศ	2
บทคัดย่อ	3
Abstract	4
สารบัญตาราง	7
สารบัญรูป	9
สัญลักษณ์และคำย่อ	13
บทที่ 1 บทนำ	
1.1 ความสำคัญและที่มาของปัญหา	16
1.2 วัตถุประสงค์	16
1.3 ขอบเขตของการวิจัย	17
1.4 ประโยชน์ที่คาดว่าจะได้รับ	17
บทที่ 2 ทฤษฎีที่เกี่ยวข้องและการตรวจสอบเอกสาร	18
บทที่ 3 วิธีวิจัย	
3.1 สารเคมี	34
3.2 อุปกรณ์และเครื่องมือ	35
3.3 การทดลอง	
3.3.1 การสังเคราะห์น้ำมันถั่วเหลืองอิพ็อกซิไดซ์	36
3.3.2 วิธีการวิเคราะห์ habrimanum ให้กับน้ำมันถั่วเหลือง	37
3.3.3 การวิเคราะห์ลักษณะเฉพาะของน้ำมันถั่วเหลืองก่อนและหลังปฏิกริยาอิพ็อกซิเดชัน	38
3.3.4 วิธีการขึ้นรูปแผ่นใบโพลีสติกจากน้ำมันถั่วเหลืองอิพ็อกซิไดซ์	41
3.3.5 วิธีการทดสอบสมบัติความทนต่อแรงดึง	41
3.3.6 การวิเคราะห์ลักษณะเฉพาะของแผ่นใบโพลีสติก	41
3.3.7 การทดสอบการเคลือบผิว ESO100 บนไม้ย่างพารา	43
3.3.8 การเตรียมแผ่นใบโพลีสติกคอมโพสิตเตรียมจากน้ำมันถั่วเหลืองอิพ็อกซิไดซ์ ผสมดินเหนียวปรับสภาพ	43
3.3.9 การวัดความหนืดด้วยเครื่องวัดความหนืดบลูฟล็อต	44
3.3.10 การวิเคราะห์ลักษณะโครงสร้างของน้ำมันถั่วเหลืองอิพ็อกซิไดซ์ ผสมดินเหนียวปรับสภาพ	44
บทที่ 4 ผลการทดลองและวิจารณ์ผลการทดลอง	
4.1 การวิเคราะห์การเกิดอิพ็อกซิเดชัน	45
4.2 ผลการทดสอบลักษณะเฉพาะของน้ำมันแต่ละชนิด	
4.2.1 สมบัติทางเคมีของน้ำมันถั่วเหลืองและน้ำมันถั่วเหลืองอิพ็อกซิไดซ์	54
4.2.2 ชนิดและปริมาณกรดไขมันในน้ำมันถั่วเหลืองจากการวิเคราะห์ด้วยเทคนิค GC	55
4.2.3 ผลการวิเคราะห์หมู่อิพ็อกซ์ในแผ่นใบโพลีสติกด้วยเทคนิค FTIR	55
4.3 สมบัติความทนต่อแรงดึงของแผ่นใบโพลีสติกชนิด ESO40	56
4.3.1 อิทธิพลของสภาวะการอบ	57
4.3.2 อิทธิพลของปริมาณ MTHPA	58
4.4 สมบัติความทนต่อแรงดึงของแผ่นใบโพลีสติกชนิด ESO100 (Vikoflex® 7170)	

## สารบัญ (ต่อ)

หน้า

4.4.1 การใช้ BDMA เป็นตัวเร่งปฏิกิริยา	58
4.4.2 การใช้ 1-เมทิลอะมิดาโซล เป็นตัวเร่งปฏิกิริยา	59
4.5 สมบัติความทนต่อแรงดึงของแผ่นใบโพลีสติกที่มีปริมาณอิพ็อกซี่ไดร์ต่างๆ	
4.5.1 อิทธิพลสภาวะการอบและแปรปริมาณ MTHPA	61
4.5.2 อิทธิพลปริมาณอิพ็อกซี่เดชัน	62
4.6 ผลการวิเคราะห์ลักษณะเฉพาะของแผ่นใบโพลีสติก	
4.6.1 ผลการวิเคราะห์อุณหภูมิการเสื่อมลายของแผ่นใบโพลีสติกด้วยเทคนิค TGA	63
4.6.2 ผลการวิเคราะห์ปริมาณการเสื่อมโดยไม่เลกลุกของแผ่นใบโพลีสติกด้วยเทคนิค DMTA	64
4.6.3 ผลการตรวจสอบการเกิดปฏิกิริยาน้ำในแผ่นใบโพลีสติกด้วยเทคนิค DSC	66
4.6.4 ผลการวัดความแข็งและความเหนียวแบบดึง	69
4.6.5 การบวมตัวในตัวทำละลายต่างๆ	69
4.6.6 ผลการทดสอบการปมด้วยความร้อน	70
4.6.7 ผลการทดสอบความต้านทานต่อไฮโซน	72
4.7 ผลการทดสอบการเคลือบผิวไม้ยางพาราด้วย ESO100	72
4.8 ผลการตรวจสอบสมบัติของ ESO100-Bengel <sup>®</sup> 434 นาโนคอมโพสิต	
4.8.1 การกระจายตัวของ Bengel <sup>®</sup> 434 ในตัวทำละลายและ ESO100	77
4.8.2 ความหนืดของ ESO100 ผสม Bengel <sup>®</sup> 434	78
4.8.3 สมบัติความทนต่อแรงดึงของแผ่นใบโพลีสติกนาโนคอมโพสิต (ESO100-Bengel <sup>®</sup> 434)	79
4.8.4 ผลการตรวจสอบโครงสร้างของ Bengel <sup>®</sup> 434 ในแผ่น ESO100 ด้วยเทคนิค XRD	80
4.8.5 ผลการตรวจสอบโครงสร้างของ Bengel <sup>®</sup> 434 ในแผ่น ESO100 ด้วยเทคนิค TEM	81
4.9 ผลการตรวจสอบสมบัติของ ESO40-จินเห็นยำปั้นสภาพนาโนคอมโพสิต	
4.9.1 การกระจายตัวของจินเห็นยำปั้นสภาพในตัวทำละลายและ ESO40	85
4.9.2 ความหนืดของ ESO40 ผสมจินเห็นยำปั้นสภาพ	87
4.9.3 สมบัติความทนต่อแรงดึงของแผ่นใบโพลีสติกนาโนคอมโพสิต (ESO40-OTAC)	88
4.9.4 ผลการวิเคราะห์ด้วยเทคนิค DMTA ของแผ่น ESO40-OTAC นาโนคอมโพสิต	90
4.9.5 ผลการวิเคราะห์ด้วยเทคนิค TGA ของแผ่น ESO40-OTAC นาโนคอมโพสิต	91
4.9.6 ผลการวิเคราะห์ด้วยเทคนิค FTIR ของแผ่น ESO40-OTAC นาโนคอมโพสิต	93
4.9.7 ผลการตรวจสอบโครงสร้างของ OTAC ในแผ่น ESO40 ด้วยเทคนิค XRD	93
4.9.8 ผลการตรวจสอบโครงสร้างของ OTAC ในแผ่น ESO400 ด้วยเทคนิค TEM	95
บทที่ 5 สรุปผลการทดลองและข้อเสนอแนะ	100
เอกสารอ้างอิง	103
ภาคผนวก	105
ผลลัพธ์จากการวิจัย	107

## สารบัญตาราง

หน้า

ตารางที่ 2.1	ค่าไอโอดินและปริมาณกรดไนมันชนิดต่างๆ ของน้ำมันพืชน้ำมันลิโนลิอิก	18
ตารางที่ 2.2	สัดส่วนองค์ประกอบของกรดไนมันชนิดต่างๆ ในน้ำมันพืชแต่ละชนิด	19
ตารางที่ 2.3	ชนิดและสูตรโครงสร้างทางเคมีของกรดไนมันที่พบในน้ำมันถั่วเหลือง	19
ตารางที่ 2.4	ลักษณะสำคัญบางประการของแรฟฟิโลโซซิลิกะ	25
ตารางที่ 4.1	สูตรการสังเคราะห์ครั้งที่ 1	45
ตารางที่ 4.2	สภาวะที่ใช้ในการสังเคราะห์น้ำมันถั่วเหลืองอิพ็อกซิไดซ์	45
ตารางที่ 4.3	ผลการวิเคราะห์ปริมาณอิพ็อกซิไดซ์จากการใช้เครื่องให้ความร้อนเครื่องเก่า	51
ตารางที่ 4.4	ผลการวิเคราะห์ปริมาณอิพ็อกซิไดซ์จากการใช้เครื่องให้ความร้อนเครื่องใหม่	51
ตารางที่ 4.5	ผลการสังเคราะห์น้ำมันถั่วเหลืองอิพ็อกซิไดซ์โดยการใช้ Amberlite® IR-120	53
ตารางที่ 4.6	สมบัติทางเคมีของน้ำมันถั่วเหลืองและน้ำมันถั่วเหลืองอิพ็อกซิไดซ์	54
ตารางที่ 4.7	ชนิดและปริมาณกรดไนมันในน้ำมันถั่วเหลืองตราอยุ่นที่นำมาใช้สังเคราะห์	55
ตารางที่ 4.8	สมบัติความทนต่อแรงดึงของแผ่นใบโพลีสติกเตรียมจาก ESO40 เมื่อบาบ ที่สภาวะต่างๆ โดยมี MTHPA 60 pph และ 1-เมทธิลอะมิดาโซล 1 pph	57
ตารางที่ 4.9	สมบัติความทนต่อแรงดึงของแผ่นใบโพลีสติกเตรียมจาก ESO40 เมื่อบาบที่อุณหภูมิ 150°C เป็นเวลา 75 min โดยมี MTHPA 50-70 pph และ 1-เมทธิลอะมิดาโซล 1 pph	58
ตารางที่ 4.10	สูตรที่ใช้ในการเตรียมแผ่นใบโพลีสติกจากน้ำมันถั่วเหลืองอิพ็อกซิไดซ์ ที่ผลิตทางการห้า (Vikoflex® 7170)	59
ตารางที่ 4.11	ผลการทดสอบสมบัติความทนต่อแรงดึงของ Vikoflex® 7170 หลังจากการอบด้วย เบ้าพิมพ์เทกล่อน	59
ตารางที่ 4.12	ลักษณะทางกายภาพของแผ่นใบโพลีสติกที่ได้จาก Vikoflex® 7170 หลังจากการอบด้วยเบ้าพิมพ์กระเจกที่อุณหภูมิต่างกันเป็นเวลา 60 min มี MTHPA ในปริมาณต่างกันและใช้ 1-เมทธิลอะมิดาโซล เป็นตัวเร่งปฏิกิริยา	60
ตารางที่ 4.13	สมบัติความทนต่อแรงดึงของแผ่นใบโพลีสติกที่ได้จาก Vikoflex® 7170 หลังจากการอบด้วยเบ้าพิมพ์กระเจกที่อุณหภูมิต่างกันเป็นเวลา 60 min มี MTHPA ในปริมาณต่างกันและใช้ 1-เมทธิลอะมิดาโซล เป็นตัวเร่งปฏิกิริยา	61
ตารางที่ 4.14	สมบัติความทนต่อแรงดึงของแผ่นใบโพลีสติกที่ได้จาก ESO ที่มีปริมาณอิพ็อกซิไดซ์ ต่างกัน อบด้วยเบ้าพิมพ์กระเจกที่อุณหภูมิ 150°C เป็นเวลาต่างกัน มี MTHPA ในปริมาณต่างกัน	61
ตารางที่ 4.15	สมบัติความทนต่อแรงดึงของแผ่นใบโพลีสติกที่ได้จากน้ำมันถั่วเหลืองอิพ็อกซิไดซ์ ที่มีปริมาณอิพ็อกซิไดซ์ต่างกัน อบด้วยเบ้าพิมพ์กระเจกที่อุณหภูมิ 150 °C เป็นเวลา 75 min มี MTHPA 60 pph และ 1-เมทธิลอะมิดาโซล 1 pph	62
ตารางที่ 4.16	สมบัติเชิงกลของแผ่นใบโพลีสติกที่ได้จาก ESO ที่มีปริมาณอิพ็อกซิไดซ์ต่างกัน อบด้วยเบ้าพิมพ์กระเจก มี MTHPA 60 pph และ 1-เมทธิลอะมิดาโซล 1 pph	63
ตารางที่ 4.17	อุณหภูมิการเสื่อมสภาพของแผ่นใบโพลีสติกที่เตรียมจาก ESO ที่มีปริมาณอิพ็อกซิไดซ์ต่างกัน	64

## สารบัญตาราง (ต่อ)

หน้า

ตารางที่ 4.18	ปริมาณการเชื่อมโดยโมเลกุลของ ESO ชนิดต่างๆ ที่คำนวณได้จากการทดสอบด้วยเทคนิค DMTA	64
ตารางที่ 4.19	ปริมาณการเกิดปฏิกิริยาภายใน ESO และแผ่นไนโอลาสติกระหว่างการให้ความร้อนในเครื่อง DSC	68
ตารางที่ 4.20	ความแข็งและความเหนียวแบบดึงของแผ่นไนโอลาสติกจาก ESO เกรดต่างๆ	69
ตารางที่ 4.21	ค่าการเปลี่ยนแปลงสมบัติความทนต่อการดึงหลังการปั่นด้วยความร้อนของแผ่นไนโอลาสติก	70
ตารางที่ 4.22	ผลการทดสอบการกระจายตัวของดินเหนียวปรับสภาพใน ESO100	77
ตารางที่ 4.23	ค่าความหนืดของ ESO100 หลังจากผสมดินเหนียวปรับสภาพ Bengel® 434	78
ตารางที่ 4.24	สมบัติเชิงกลของแผ่นไนโอลาสติกคอมโพสิตที่จาก ESO100 ผสม Bengel® 434	80
ตารางที่ 4.25	ค่าระยะห่างระหว่างชั้นของดินเหนียวปรับสภาพชนิด Bengel® 434 ในแผ่น ESO100	81
ตารางที่ 4.26	ผลการทดสอบการกระจายตัวของดินเหนียวปรับสภาพใน ESO40	86
ตารางที่ 4.27	ค่าความหนืดของ ESO40 ผสมดินเหนียวปรับสภาพ OTAC	87
ตารางที่ 4.28	สมบัติเชิงกลของแผ่นไนโอลาสติกที่ได้จาก ESO40 ผสมกับดินเหนียวปรับสภาพ OTAC โดยมีปริมาณดินเหนียวตั้งแต่ 0-8 wt%	89
ตารางที่ 4.29	อุณหภูมิการเสื่อมลายของแผ่นไนโอลาสติก ESO40 ผสมกับดินเหนียวปรับสภาพ OTAC ในปริมาณ 0-8 wt%	92
ตารางที่ 4.30	ระยะห่างระหว่างชั้นของดินเหนียวปรับสภาพชนิด OTAC ในแผ่นไนโอลาสติกคอมโพสิต ESO40 ผสมดินเหนียวปรับสภาพในปริมาณ 1-8 wt% คำนวณ ระยะห่างจากภาพถ่าย TEM	99

## สารบัญรูป

หน้า

รูปที่ 2.1	องค์ประกอบของน้ำมันถั่วเหลือง	18
รูปที่ 2.2	กลไกปฏิกิริยาอิพ็อกซิเดชันบนพันธุ์ของน้ำมันถั่วเหลือง	20
รูปที่ 2.3	ปฏิกิริยาอิพ็อกซิเดชันของน้ำมันถั่วเหลือง	20
รูปที่ 2.4	สูตรโครงสร้างทางเคมีของเอมีนติดิยภูมิ	21
รูปที่ 2.5	สูตรโครงสร้างทางเคมีของพอลิฟังก์ชันอะเอมีน	22
รูปที่ 2.6	สูตรโครงสร้างทางเคมีของกรดแอนไฮไดรต์	22
รูปที่ 2.7	กลไกการเข้มข่าวงโมเลกุลอิพ็อกซิด้วยกรดแอนไฮไดรต์โดยมีอิมิตาโซลเป็นตัวกระตุ้น	24
รูปที่ 2.8	โครงสร้างทางเคมีของไดรกลีเซอไรต์ที่ใช้สารเข้มข่าวงประเทกแอนไฮไดรต์	24
รูปที่ 2.9	ลักษณะโครงสร้างแบบ 2:1 phyllosilicates ของมองก์โนริลโลในที่	26
รูปที่ 2.10	ชนิดของโครงสร้างพอลิเมอร์-ดินเหนียวนาโนคอมโพสิต	28
รูปที่ 2.11	โครงสร้างแบบ “edge-to-edge” หรือ “edge-to-face” ของโครงสร้างดินเหนียวปรับสภาพที่กระจายในพอลิเมอร์	28
รูปที่ 3.1	ภาพแสดงอุปกรณ์การสังเคราะห์น้ำมันถั่วเหลืองอิพ็อกซิไดร์	37
รูปที่ 4.1	ปริมาณอิพ็อกไซด์ที่วิเคราะห์ได้ด้วยการติดเตอร์ด้วยกรดบอร์มิกและเครื่อง $^1\text{H-NMR}$ ของน้ำมันถั่วเหลืองอิพ็อกซิไดร์ที่สังเคราะห์ที่ $55^\circ\text{C}$ ใช้ปริมาณกรดซัลฟิวริกต่างกัน :	45
	(a) 0.50 ml, (b) 0.35 ml, (c) 0.25 ml, (d) 0.15 ml และ (e) 0.10 ml	45
รูปที่ 4.2	ปริมาณอิพ็อกไซด์ที่วิเคราะห์ได้ด้วยการติดเตอร์ด้วยกรดบอร์มิกและเครื่อง $^1\text{H-NMR}$ ของน้ำมันถั่วเหลืองอิพ็อกซิไดร์ที่สังเคราะห์ที่ $60^\circ\text{C}$ ใช้ปริมาณกรดซัลฟิวริกต่างกัน :	47
	(a) 0.50 ml, (b) 0.35 ml, (c) 0.25 ml, (d) 0.15 ml และ (e) 0.10 ml	47
รูปที่ 4.3	ปริมาณอิพ็อกไซด์ที่วิเคราะห์ได้ด้วยการติดเตอร์ด้วยกรดบอร์มิกและเครื่อง $^1\text{H-NMR}$ ของน้ำมันถั่วเหลืองอิพ็อกซิไดร์ที่สังเคราะห์ที่ $65^\circ\text{C}$ ใช้ปริมาณกรดซัลฟิวริกต่างกัน :	49
	(a) 0.50 ml, (b) 0.35 ml, (c) 0.25 ml, (d) 0.15 ml และ (e) 0.10 ml	49
รูปที่ 4.4	スペกตรัมจาก $^1\text{H-NMR}$ ของ (a) น้ำมันถั่วเหลือง, (b) ESO40 ที่ได้จากการสังเคราะห์ และ (c) ESO100 ชนิด Vikoflex <sup>®</sup> 7170	52
รูปที่ 4.5	โครงสร้างทางเคมีของน้ำมันถั่วเหลืองอิพ็อกซิไดร์ที่มีปริมาณอิพ็อกไซด์ 100 mol%	52
รูปที่ 4.6	スペกตรัมจาก FTIR ของน้ำมันถั่วเหลือง (SO), น้ำมันถั่วเหลืองอิพ็อกซิไดร์ที่สังเคราะห์ได้ (ESO40) และน้ำมันถั่วเหลืองอิพ็อกซิไดร์ทางการค้า, Vikoflex <sup>®</sup> 7170 (ESO100)	53
รูปที่ 4.7	スペกตรัมจาก FTIR ของแผ่นใบโพลิสติกจาก ESO40 และ ESO100 ใช้ MTHPA 60 pph และ 1-เมทธิลอะมิตาโซล 1 pph อบที่อุณหภูมิ $150^\circ\text{C}$ เป็นเวลา 75 min	56
รูปที่ 4.8	กราฟความเค้น-ความเครียดของแผ่นใบโพลิสติกจาก ESO40 ใช้ MTHPA 60 pph และ 1-เมทธิลอะมิตาโซล 1 pph ทำการอบที่อุณหภูมิและเวลาต่างๆ	57
รูปที่ 4.9	กราฟความเค้น-ความเครียดของแผ่นใบโพลิสติกจาก ESO40 ใช้ MTHPA 50-70 pph และ 1-เมทธิลอะมิตาโซล 1 pph อบที่อุณหภูมิ $150^\circ\text{C}$ เป็นเวลา 75 min	58
รูปที่ 4.10	กราฟความเค้น-ความเครียดของแผ่นใบโพลิสติกที่มีปริมาณอิพ็อกไซด์ต่างกัน ทำการเชื่อมโยงโมเลกุลด้วย MTHPA และ 1-เมทธิลอะมิตาโซล	62

## สารบัญรูป (ต่อ)

หน้า

รูปที่ 4.11 กราฟ tan δ - temperature ของแผ่นไนโอลพลาสติก ที่มีปริมาณอิพ็อกไซด์ต่างกัน ทำการเชื่อมโยงโมเลกุลด้วย MTHPA และ 1-เมทธิลอะมิดาโซล	63
รูปที่ 4.12 TGA thermograms ของแผ่นไนโอลพลาสติกเตรียมจาก ESO ที่มีปริมาณอิพ็อกไซด์ต่างกัน	64
รูปที่ 4.13 กราฟแสดงความสัมพันธ์ storage modulus – temperature ของ ESO ชนิดต่างๆ	65
รูปที่ 4.14 กราฟแสดงความสัมพันธ์ tan δ – temperature ของ ESO ชนิดต่างๆ	65
รูปที่ 4.15 DSC thermograms ของ ESO40 และแผ่นไนโอลพลาสติกที่มีปริมาณหมู่อิพ็อกไซด์ 40 % และมีสารเชื่อมโยงโมเลกุลปริมาณต่างกัน: (a) 50 pph, (b) 60 pph และ (c) 70 pph	66
รูปที่ 4.16 DSC thermograms ของ ESO100 และแผ่นไนโอลพลาสติกที่มีปริมาณหมู่อิพ็อกไซด์ 100 % และมีสารเชื่อมโยงโมเลกุลปริมาณต่างกัน: (a) 40 pph, (b) 50 pph และ (c) 60 pph	67
รูปที่ 4.17 ปริมาณการบวมตัวของแผ่นไนโอลพลาสติกจาก ESO40 และ ESO100 ในตัวทำละลายต่างๆ	70
รูปที่ 4.18 กราฟความเค้น-ความเครียดของแผ่นไนโอลพลาสติกก่อนและหลังบ่มด้วยความร้อนที่อุณหภูมิ 100°C เป็นเวลา 24 h: (a) ESO40 และ (b) ESO100	70
รูปที่ 4.19 สเปกตรัม FTIR ของแผ่นไนโอลพลาสติก ESO40 และ ESO100	71
รูปที่ 4.20 สเปกตรัม FTIR ของแผ่นไนโอลพลาสติก ESO40 ก่อนและหลังบ่มด้วยความร้อนที่อุณหภูมิ 100°C เป็นเวลา 24 h	71
รูปที่ 4.21 สเปกตรัม FTIR ของแผ่นไนโอลพลาสติก ESO100 ก่อนและหลังบ่มด้วยความร้อนที่อุณหภูมิ 100°C เป็นเวลา 24 h	72
รูปที่ 4.22 ภาพไม้ยางพาราเคลือบด้วย ESO100 ที่ใช้ MTHPA 40 pph และ 1-เมทธิลอะมิดาโซล 1 pph อบเป็นเวลา 1 h ที่อุณหภูมิต่างๆ	73
รูปที่ 4.23 ภาพไม้ยางพาราเคลือบด้วย ESO100 ที่ใช้ MTHPA 50-60 pph และ 1-เมทธิลอะมิดาโซล 1 pph อบเป็นเวลา 1 h ที่ 150°C	73
รูปที่ 4.24 ภาพไม้ยางพาราเคลือบด้วย ESO100 ที่มีการบ่มสารละลาย ESO100 ที่อุณหภูมิห้องเป็นเวลา 1-3 h ก่อนนำไปเคลือบบนไม้ยางพารา อบชี้นไม้ยางพาราที่ 150°C เป็นเวลา 1 h	74
รูปที่ 4.25 ค่าความหนืดแบบบຽคฟิล์ดของสารละลาย ESO100 ที่วางทึ่งไว้ เป็นเวลา 0-6 h ที่อุณหภูมิห้อง	74
รูปที่ 4.26 ภาพไม้ยางพาราเคลือบด้วย ESO100 ที่มีการบ่มสารละลาย ESO100 ที่อุณหภูมิ 80-100°C เป็นเวลา 1 h ก่อนนำไปเคลือบบนไม้ยางพาราด้วยวิธีซุ่ม อบชี้นไม้ยางพาราที่ 150°C เป็นเวลา 1 h	75
รูปที่ 4.27 ภาพไม้ยางพาราเคลือบด้วย ESO100 ที่มีการบ่มสารละลาย ESO100 ที่อุณหภูมิ 80-100°C เป็นเวลา 1 h ก่อนนำไปเคลือบบนไม้ยางพาราด้วยวิธีการทาด้วยพู่กัน อบชี้นไม้ยางพาราที่ 150°C เป็นเวลา 1 h	76
รูปที่ 4.28 ภาพไม้ยางพาราเคลือบด้วย ESO100 ที่มีการบ่มสารละลาย ESO100 ที่อุณหภูมิ 90-100°C เป็นเวลาต่างๆและหล่อเย็นก่อนนำไปเคลือบบนไม้ยางพาราด้วยวิธีการทาด้วยพู่กัน อบชี้นไม้ที่ 150°C เป็นเวลา 1 h	77
รูปที่ 4.29 โครงสร้างทางเคมีของสารลดแรงตึงผิวในดินเหนียวบริเวณสภาพ: (a) Bengel® 434, (b) OTAC, (c) DTAC	78

## สารบัญรูป (ต่อ)

หน้า

<p>รูปที่ 4.30 ค่าความหนืดของ ESO100 ที่มีปริมาณ Bengel<sup>®</sup> 434 ต่างๆกัน:</p> <p style="margin-left: 20px;">(a) 0-5 wt% และ (b) 8 wt%</p> <p>รูปที่ 4.31 กราฟความเค้น-ความเครียดของพลาสติกจาก ESO100 ผสมดินเหนียวปรับสภาพ Bengel<sup>®</sup> 434</p> <p>รูปที่ 4.32 XRD patterns ของแผ่นในโอลูพลาสติกคอมโพลิทเตรียมจาก ESO100 ผสมกับ Bengel<sup>®</sup> 434 ปริมาณต่างๆ</p> <p>รูปที่ 4.33 ภาพถ่าย TEM ของ ESO100 ผสม Bengel<sup>®</sup> 434 ปริมาณ 1 wt% ที่กำลังขยายต่างๆ: (a) 25,000 เท่า, (b) 50,000 เท่า และ (c) 100,000 เท่า</p> <p>รูปที่ 4.34 ภาพถ่าย TEM ของ ESO100 ผสม Bengel<sup>®</sup> 434 ปริมาณ 3 wt% ที่กำลังขยายต่างๆ: (a) 25,000 เท่า, (b) 50,000 เท่า และ (c) 100,000 เท่า</p> <p>รูปที่ 4.35 ภาพถ่าย TEM ของ ESO100 ผสม Bengel<sup>®</sup> 434 ปริมาณ 5 wt% ที่กำลังขยายต่างๆ: (a) 25,000 เท่า, (b) 50,000 เท่า และ (c) 100,000 เท่า</p> <p>รูปที่ 4.36 ภาพถ่าย TEM ของ ESO100 ผสม Bengel<sup>®</sup> 434 ปริมาณ 8 wt% ที่กำลังขยายต่างๆ: (a) 25,000 เท่า, (b) 50,000 เท่า และ (c) 100,000 เท่า</p> <p>รูปที่ 4.37 การกระจายตัวของดินเหนียวปรับสภาพ 3 ชนิดใน ESO40: (a) OTAC และ DTAC (b) OTAC และ Bengel<sup>®</sup> 434</p> <p>รูปที่ 4.38 การกระจายตัวของดินเหนียวปรับสภาพชนิด OTAC และ DTAC ในตัวทำละลาย (a) คลอร์ฟอร์ม และ (b) อัซตีโคน</p> <p>รูปที่ 4.39 ความหนืดของ ESO40 ผสมกับ OTAC ปริมาณต่างๆ: (a) 1-5 wt% และ (b) 8 wt%</p> <p>รูปที่ 4.40 ความหนืดของ ESO40 ผสมดินเหนียวปรับสภาพชนิด OTAC และ Bengel<sup>®</sup> 434 ปริมาณ 3-8 wt% ใช้ความเร็วรอบในการวัดความหนืด (a) 6 rpm, (b) 12 rpm, (c) 30 rpm และ (d) 60 rpm</p> <p>รูปที่ 4.41 กราฟความเค้น-ความเครียดของแผ่นในโอลูพลาสติก ESO40 ผสมกับดินเหนียวปรับสภาพ OTAC ปริมาณ 1-8 wt%</p> <p>รูปที่ 4.42 ค่าการทนต่อแรงฉีกขาดของแผ่นในโอลูพลาสติกที่ได้จาก ESO40 ผสมกับ ดินเหนียวปรับสภาพ OTAC ปริมาณ 1-8 wt%</p> <p>รูปที่ 4.43 ภาพฟลอดูลัสสะสม-อุณหภูมิของแผ่นในโอลูพลาสติกคอมโพลิทเตรียมจาก ESO40 ผสมกับ ดินเหนียวปรับสภาพ OTAC ในปริมาณ 1-8 wt%</p> <p>รูปที่ 4.44 ภาพฟลอดูลัสสะญูหาย-อุณหภูมิของแผ่นในโอลูพลาสติกคอมโพลิทเตรียมจาก ESO40 ผสมกับ ดินเหนียวปรับสภาพ OTAC ในปริมาณ 1-8 wt%</p> <p>รูปที่ 4.45 กราฟ tan δ - temperature ของแผ่นในโอลูพลาสติกคอมโพลิทเตรียมจาก ESO40 ผสมกับ ดินเหนียวปรับสภาพ OTAC ในปริมาณ 1-8 wt%</p> <p>รูปที่ 4.46 TGA เทอร์โมแกรมของแผ่นในโอลูพลาสติกคอมโพลิท ESO40 ผสมกับดินเหนียวปรับสภาพ OTAC ปริมาณ 0-8 wt%: (a) ช่วงอุณหภูมิ 30-550°C และ (b) ช่วงอุณหภูมิ 200-400°C</p> <p>รูปที่ 4.47 สเปกตรัม FTIR ของแผ่นในโอลูพลาสติกเตรียมจาก ESO40 ผสมกับ OTAC ปริมาณ 1-8 wt%</p> <p>รูปที่ 4.48 XRD สเปกตรัมของดินเหนียวปรับสภาพ OTAC</p> <p>รูปที่ 4.49 XRD patterns ของแผ่นในโอลูพลาสติกเตรียมจาก ESO40 ผสมกับ OTAC ปริมาณ 1-8 wt%</p>	<p style="text-align: right;">79</p> <p style="text-align: right;">80</p> <p style="text-align: right;">81</p> <p style="text-align: right;">82</p> <p style="text-align: right;">83</p> <p style="text-align: right;">84</p> <p style="text-align: right;">85</p> <p style="text-align: right;">86</p> <p style="text-align: right;">86</p> <p style="text-align: right;">87</p> <p style="text-align: right;">88</p> <p style="text-align: right;">89</p> <p style="text-align: right;">89</p> <p style="text-align: right;">90</p> <p style="text-align: right;">91</p> <p style="text-align: right;">91</p> <p style="text-align: right;">92</p> <p style="text-align: right;">93</p> <p style="text-align: right;">94</p> <p style="text-align: right;">94</p>
---	---

## สารบัญรูป (ต่อ)

หน้า

รูปที่ 4.50 แผ่นใบโพลีสติกคอมโพสิตเดรียมจาก ESO40 ผสมกับดินเหนียวปรับสภาพ OTAC ปริมาณ 1-8 wt%	94
รูปที่ 4.51 ภาพถ่าย TEM ของ ESO40 ผสม OTAC ปริมาณ 1 wt% กำลังขยายต่างๆ: (a) 25,000 เท่า (b) 50,000 เท่า และ (c-d) 100,000 เท่า	96
รูปที่ 4.52 ภาพถ่าย TEM ของ ESO40 ผสม OTAC ปริมาณ 3 wt% กำลังขยายต่างๆ: (a) 25,000 เท่า (b) 50,000 เท่า และ (c-d) 100,000 เท่า	97
รูปที่ 4.53 ภาพถ่าย TEM ของ ESO40 ผสม OTAC ปริมาณ 5 wt% กำลังขยายต่างๆ: (a) 25,000 เท่า (b) 50,000 เท่า และ (c-d) 100,000 เท่า	96
รูปที่ 4.54 ภาพถ่าย TEM ของ ESO40 ผสม OTAC ปริมาณ 8 wt% กำลังขยายต่างๆ: (a) 25,000 เท่า (b) 50,000 เท่า และ (c-d) 100,000 เท่า	97

## สัญลักษณ์และคำย่อ

คำย่อ	ชื่อภาษาอังกฤษ	ชื่อภาษาไทย
Al	aluminium	อะลูมิเนียม
ASTM	American Society for Testing and Materials	มาตรฐานการทดสอบของสหรัฐอเมริกา
c	centi	เซนติ ( $10^{-2}$ )
CEC	cation exchange capacity	ค่าการแลกเปลี่ยนประจุ
cm	centimeter	เซนติเมตร
d	d-spacing	ระยะห่างระหว่างชั้น
DMTA	dynamic mechanical thermal analysis	เครื่องทดสอบทางกลศาสตร์
DSC	differential scanning calorimetry	ความร้อนเชิงพลวัต
DTAC	dioctadecyl trimethyl ammonium	เครื่องดิฟเฟอเรนเชียล สแกนนิ่งคัลโลริเมต์รี ไดออกಡีเดกซิล ไตรเมทิล แอมโมเนียมคลอไรด์
E	modulus	มอดูลัส
ESO	epoxidized soybean oil	น้ำมันถั่วเหลืองอีพ็อกซิไซด์
ESO40	epoxidized soybean oil 40 mol%	น้ำมันถั่วเหลืองอีพ็อกซิไซด์ชนิด 40 มอล%
ESO100	epoxidized soybean oil 100 mol%	น้ำมันถั่วเหลืองอีพ็อกซิไซด์ชนิด 100 มอล%
FFA	free fatty acid	กรดไขมันอิสระ
FTIR	fourier transformed infrared	เครื่องอินฟราเรดスペกโตรสโคปี
g	gram	กรัม
GC	gas chromatography	เครื่องแก๊สโครมาโทกราฟี
h	hour	ชั่วโมง
Hz	hertz	เอิร์ตซ์
K	Kelvin	เคลวิน
kg	kilogram	กิโลกรัม
kV	kilovolt	กิโลโวลต์
L	observed distance between bench marks on the intended specimen	ระยะที่ชี้นัดทดสอบสามารถยืนตัวได้จนขาด
	liter	ลิตร
$L_0$	original distance between bench marks length of origins	ระยะกำหนดก่อนทำการทดสอบ
meq	milliequivalent	มิลลิอิควิวัลเอนต์
m	meter	เมตร
	milli	มิลลิ ( $10^{-3}$ )

## สัญลักษณ์และคำย่อ (ต่อ)

คำย่อ	ชื่อภาษาอังกฤษ	ชื่อภาษาไทย
mA	milliampair	มิลลิแอมเปร์
mg	milligram	มิลลิกรัม
mgKOH/g	milligram potassium per gram	มิลลิกรัมโพแทสเซียมต่อกิโลกรัม
ml	milliliter	มิลลิลิตร
ml/2 g	milliliter per two gram	มิลลิลิตรต่อ 2 กรัม
mm	millimeter	มิลลิเมตร
mm/min	millimeter per minute	มิลลิเมตรต่อนาที
min	minute	นาที
MMT	monmorillonite	蒙那莫里隆粘土
mol	mole	โมล
MPa	mega pascal	เมกกะพาสคัล
MTHPA	methyltetra hydrophthalic anhydride	เมทธิลเตตราไฮโดรฟթาลิกเอนไฮไดร์ด
mV	milivolt	มิลลิโวลท์
Mw	molecular weight	น้ำหนักโมเลกุล
N	newton	นิวตัน
	normal	นอร์มอล
Na	sodium	โซเดียมอะตอม
NH <sub>3</sub>	ammonium	แอมโมเนียม
N/mm <sup>2</sup>	newton per millisquare	นิวตันต่อตารางมิลลิเมตร
nm	nanometer	นาโนเมตร
NMR	nucler magnetic resonance spectroscopy	เครื่องนิวเคลียร์แมกเนติกเรโซแนนซ์สเปกตร์สโคปี
OTAC	octadecyl trimethyl ammonium chloride	ออกัดเดกซิลไตรเมทัลอะมอนيومคลอไรด์
pph	part per hundred	ส่วนในร้อยส่วน
psi	pound per square inch	ปอนด์ต่อตารางนิ้ว
Rpm	round per minute	รอบต่อนาที
sec	second	วินาที

## สัญลักษณ์และคำย่อ (ต่อ)

สัญลักษณ์	ชื่อภาษาอังกฤษ	ชื่อภาษาไทย
TEM	transmission electron microscope	กล้องจุลทรรศน์อิเล็กตรอนแบบส่องผ่าน
TGA	thermogravimetric analysis	เครื่องเทอร์โมกราฟิเมติก
T <sub>g</sub>	glass transition temperature	อุณหภูมิกลางแทرنชิชัน
V	volume	ปริมาตร
W	weight	น้ำหนัก
wt%	weight percent	เปอร์เซ็นต์โดยน้ำหนัก
XRD	X-ray diffraction	การกระเจิงของรังสีเอกซ์
Å	angstrom	อังstrom ( $10^{-10}$ เมตร)
°C	Degree Celsius	องศาเซลเซียส
°C/min	degree Celsius per minute	องศาเซลเซียสต่อนาที
E'	storage modulus	ค่ามอดูลัส静态
E''	loss modulus	ค่ามอดูลัสสูญเสีย
λ	wavelength	ความยาวคลื่น
σ <sub>b</sub>	stress at break	ความดันณ จุดขาด
ε <sub>b</sub>	strain at break	ความเครียดณ จุดขาด
μm	micrometer	ไมโครเมตร ( $10^{-6}$ เมตร)
tan δ	loss tangent	ค่าแทนเจนต์สูญเสีย

## บทที่ 1 บทนำ

### 1.1 ความสำคัญและที่มาของน้ำมุกฯ

ประเทศไทยเป็นประเทศที่มีผลผลิตทางการเกษตรเป็นจำนวนมาก การเพิ่มน้ำมูลค่าให้กับผลิตภัณฑ์ทางการเกษตรนั้น จำเป็นต้องมีการประยุกต์เพื่อนำไปใช้ในภาคอุตสาหกรรมอื่นๆ ที่มีใช้อุตสาหกรรมอาหาร ในขณะที่ประชากรโลกมีจำนวนเพิ่มขึ้นอย่างมาก ทำให้ความต้องการด้านวัสดุต่างๆ เพิ่มขึ้นอย่างรวดเร็วด้วยเช่นกัน แต่แหล่งวัตถุดิบที่มาจากธรรมชาติที่ใช้เป็นวัสดุตั้งต้นในการผลิตผลิตภัณฑ์นี้ไม่ได้มีจำนวนเพิ่มขึ้น ในทางตรงกันข้าม กลับมีจำนวนลดน้อยลง เช่น น้ำมันดินและกาชาดธรรมชาติ เป็นต้น ดังนั้น จึงมีการค้นคว้าวิจัยหาแหล่งวัตถุดิบใหม่เพื่อใช้ในการผลิตพอลิเมอร์ทดแทนการใช้มอนอเมอร์ที่ได้มาจากการปิโตรเคมี โดยมีการมุ่งเน้นมาจากการสัมภาระ เช่น พิช และ แบคทีเรีย เพราะเป็นแหล่งวัตถุดิบที่มีราคาถูกและสร้างขึ้นใหม่ได้ง่ายและรวดเร็ว นอกจากนี้ การอนุรักษ์สิ่งแวดล้อมเป็นปัจจัยหลักที่สำคัญอันหนึ่งในการควบคุมการใช้วัสดุต่างๆ เช่น แนวโน้มการใช้พลาสติกชีวภาพและพลาสติกที่ย่อยสลายได้ง่ายจะเป็นข้อกำหนดที่เข้มงวดในอนาคต ดังจะเห็นได้ว่า ในปัจจุบันนักวิจัยประเทศไทยได้มีข้อกำหนดการใช้พลาสติกบรรจุภัณฑ์ที่ย่อยสลายได้ง่าย

การสังเคราะห์พอลิเมอร์จากน้ำมันถั่วเหลืองทำได้โดยการตัดแปลงน้ำมันถั่วเหลือง โดยใช้ปฏิกิริยาอิพ็อกซิเดชันทำให้พันธะคู่ของไตรเกรเชอไรด์เปลี่ยนเป็นวงแหวนพอกไซด์ ซึ่งจะมีความว่องไวต่อปฏิกิริยามากขึ้น น้ำมันถั่วเหลืองดัดแปลงนี้จะมีชื่อว่า epoxidized soybean oil (ESO) ถูกนำไปใช้ประโยชน์โดยตรงและนำไปประยุกต์อย่างอื่นต่อได้มากมาย น้ำมันชนิดนี้มีการผลิตทางการค้าแล้ว แต่ยังไม่มีการผลิตภายในประเทศไทย การนำ ESO มาดัดแปลงเป็นพอลิเมอร์ยังอยู่ในขั้นการทดลองและมีแนวโน้มว่าจะมีการผลิตทางการค้าในอนาคตอันใกล้นี้ ชนิดของผลิตภัณฑ์กลุ่มนี้จัดเป็น "green product" ดังที่กล่าวมาแล้วว่า ประเทศไทยทางยุโรปและอเมริกา มีความตื่นตัวด้านอนุรักษ์สิ่งแวดล้อมเป็นอย่างมากจึงให้ความสนใจผลิตภัณฑ์ประเภทนี้มาก ผลิตภัณฑ์พอลิเมอร์รุ่นใหม่ในอนาคตที่ออกจากตัวรุ่นที่ 2 (third generation) จะมุ่งเน้นเป็นพอลิเมอร์ที่ได้มาจากการหมักดิบ เป็นต้น

พอลิเมอร์ที่ทำมาจาก ESO ยังมีข้อด้อยในด้านความแข็งแรง จึงนิยมทำเป็นวัสดุคอมโพสิต หรือเดิมสารเติมแต่งที่เพิ่มความแข็งแรง โครงการวิจัยนี้จะปรับปรุงข้อด้อยนี้ด้วยการทำเป็นพอลิเมอร์นาโนคอมโพสิต จุดเริ่มต้นของโครงการวิจัยนี้ได้มาจากโจทย์ของภาคอุตสาหกรรม ที่ได้มาติดต่อสอบถามข้อมูลเกี่ยวกับ ESO ห้องยังให้ข้อมูลว่ามีโรงงานผลิตแล้วที่สาธารณรัฐประชาชนจีน และเป็นผลิตภัณฑ์ที่มีศักยภาพในเชิงธุรกิจภายใต้ประเทศไทย ดังนั้นการสร้างองค์ความรู้ด้วยตนเองทั้งในการสังเคราะห์ ESO และการพัฒนาไปเป็นพอลิเมอร์นาโนคอมโพสิตด้วยการเติมตินเหนียวตัดแปลงที่สังเคราะห์ขึ้นมาเอง เป็นการพัฒนางานวิจัยแบบพัฒนาและสามารถพัฒนาสู่ภาคอุตสาหกรรมได้เป็นการเพิ่มน้ำมูลค่าให้กับน้ำมันถั่วเหลือง ทำให้เกษตรกรผู้ปลูกถั่วเหลืองมีรายได้เพิ่มขึ้น รวมทั้งมีการสร้างงานภาคอุตสาหกรรมภายในประเทศเพิ่มขึ้น นอกจากนี้ยังเป็นองค์ความรู้ที่สามารถนำไปประยุกต์ใช้กับน้ำมันพืชชนิดอื่นๆ เช่น น้ำมันปาล์ม น้ำมันข้าวโพด

### 1.2 วัตถุประสงค์

1. สังเคราะห์และตรวจสอบสมบัติพอลิเมอร์จากน้ำมันถั่วเหลืองผ่านกระบวนการอิพ็อกซิเดชันและพอลิเมอร์ไรซัน
2. สังเคราะห์และตรวจสอบสมบัติพอลิเมอร์-ดินเหนียวในโนคอมโพสิต
3. สังเคราะห์และตรวจสอบสมบัติพอลิเมอร์-ดินเหนียวในโนคอมโพสิต
4. ศึกษาการประยุกต์ใช้งานด้านสารเคมีกับพอลิเมอร์-ดินเหนียวในโนคอมโพสิตที่เตรียมได้
5. ศึกษาและตรวจสอบเสถียรภาพ ความทนทานต่อสภาวะอากาศ และความใส

### 1.3 ขั้นตอนของวิธีการวิจัย

1. สังเคราะห์น้ำมันถั่วเหลืองชนิดอิพ็อกซิไดซ์ (ESO) โดยใช้เทคนิค *in situ epoxidation* คือทำให้เกิดกรดเปอร์อะซิติก ระหว่างการเกิดปฏิกิริยาอิพ็อกซิเดชัน ใช้  $H_2SO_4$  หรือ cation exchange resin เป็นตัวเร่งปฏิกิริยา ควบคุมปริมาณกรดไฮโดรเจนเปอร์ออกไซด์ อุณหภูมิ และเวลาในการทำปฏิกิริยาตามที่กำหนด
2. วิเคราะห์หาปริมาณอิพ็อกซิไดซ์ที่เกิดขึ้นใน ESO ด้วยการไตรเตอร์ด้วยกรดบอร์มิค และวิเคราะห์ด้วยเทคนิค nuclear magnetic resonance spectroscopy (NMR)
3. วิเคราะห์น้ำมันถั่วเหลืองก่อนและหลังการทำปฏิกิริยาอิพ็อกซิเดชัน เช่น acid value, saponification number, iodine value, peroxide value
4. สังเคราะห์พอลิเมอร์จากน้ำมันถั่วเหลืองอิพ็อกซิไดซ์ โดยสารเชื่อมขวางโมเลกุล (crosslinking agent / hardening agent) ได้แก่ สารกลุ่มแอนไฮดริด เช่น methylenetetrahydraphthalic anhydride (MTHPA) ควบคุมอุณหภูมิและเวลาการทำพอลิเมอร์ไว้เชิงตัวตามที่กำหนด และทดสอบสมบัติต่างๆ เช่น tensile properties, tear strength, degree of swelling ขึ้นรูปทำโดยวิธีหล่อแบบ (เทลงในแม่พิมพ์เทฟลอนหรือกระจัง) ควบคุมความหนาของแผ่นพิล์มด้วยการควบคุมน้ำหนักสาร
5. เตรียมพอลิเมอร์-ดินเหนียวนาโนคอมโพสิต โดยการเติมดินเหนียวปรับสภาพในปริมาณ 1-8 wt%
6. ทดสอบสมบัติเชิงกลของพอลิเมอร์-ดินเหนียวนาโนคอมโพสิต เช่น tensile properties, tear strength, degree of swelling
7. วิเคราะห์ลักษณะเฉพาะต่างๆ ของพอลิเมอร์-ดินเหนียวนาโนคอมโพสิต เช่น glass transition temperature, degradation temperature, viscoelastic characteristic เป็นต้น ทำการวิเคราะห์ด้วยเทคนิคต่างๆ เช่น differential scanning calorimetry, thermogravimetric analysis, dynamic mechanical thermal analysis
8. วิเคราะห์โครงสร้างของดินเหนียวแปรงสภาพในพอลิเมอร์ด้วยเทคนิค x-ray diffractometry และ transmission electron microscopy

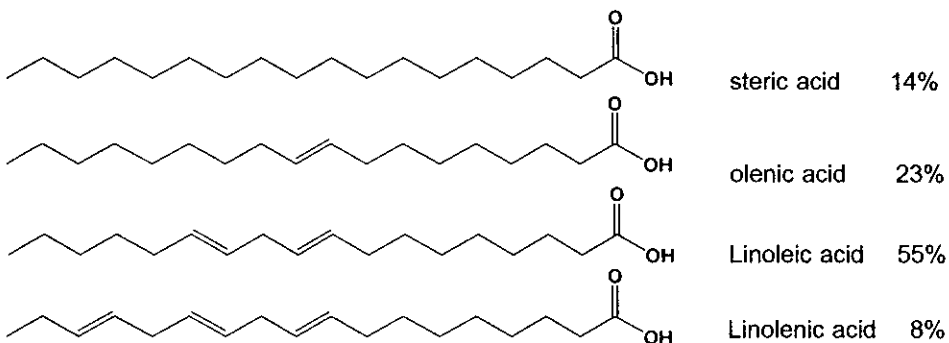
### 1.4 ประโยชน์ที่คาดว่าจะได้รับ

1. สร้างองค์ความรู้เรื่องการสังเคราะห์และสมบัติของน้ำมันถั่วเหลืองอิพ็อกซิไดซ์ และน้ำมันถั่วเหลืองอิพ็อกซิไดซ์-ดินเหนียวนาโนคอมโพสิต
2. เพิ่มมูลค่าให้กับผลิตภัณฑ์ทางการเกษตร
3. พัฒนาศักยภาพทั้งในระดับภาคีกีชาปริญญาตรีและโท รวมทั้งนักวิจัย

## บทที่ 2 ทฤษฎีเกี่ยวกับและการตรวจสอบเอกสาร

### 2.1 น้ำมันถั่วเหลือง

น้ำมันถั่วเหลืองเป็นสารประกอบไดรกลีเซอไรด์ (triglyceride) เป็นวัตถุดินที่สามารถปลูกทดลองได้ในภาคเกษตรกรรม มีน้ำหนักโมเลกุลเฉลี่ย 871 g/mol และมีจำนวนพันธะคู่เฉลี่ย 4.6 คำแห่งต่อไดรกลีเซอไรด์ 1 โมเลกุล (Le et al., 2005) ซึ่งโมเลกุลไดรกลีเซอไรด์ของน้ำมันถั่วเหลืองประกอบด้วยกรดเตียริก 14% กรดโอลิอิก 23% กรดโนโนลิอิก 55% และกรดลิโนลินิก 8% ดังแสดงในรูปที่ 2.1



รูปที่ 2.1 องค์ประกอบของน้ำมันถั่วเหลือง (Parreira, 2002)

จะเห็นได้ว่าน้ำมันถั่วเหลืองมีปริมาณของกรดไขมันชนิดกรดลิโนลิอิก (linoleic acid) สูง (ประมาณ 55%) จึงจัดเป็นน้ำมันโนโนลิอิก และอยู่ในกลุ่มน้ำมันแห้งช้า (semi-drying oil) จะดูดออกซิเจนจากอากาศได้น้อย และเกิดเป็นฟิล์มที่แห้งช้ากว่ากลุ่มน้ำมันลิโนลินิกซึ่งเป็นน้ำมันแห้งเร็ว (drying oil) ตามปริมาณความไม่อิ่มตัวของกรดไขมัน กลุ่มของน้ำมันพืชที่จัดอยู่ในกลุ่มเดียวกับน้ำมันถั่วเหลืองได้แก่ น้ำมันทานตะวัน น้ำมันคำฝอย น้ำมันละหุ่ง เป็นต้น ดังแสดงในตารางที่ 2.1

ตารางที่ 2.1 ค่าไอโอดีนและปริมาณกรดไขมันชนิดต่างๆ ของน้ำมันพืชน้ำมันลิโนลิอิก (อรุส่า, 2537)

น้ำมัน	ค่าไอโอดีน	ปริมาณกรดไขมัน (wt%)			
		กรดอิมด้าว	กรดโอลิอิก	กรดโนโนลิอิก	กรดลิโนลินิก
น้ำมันถั่วเหลือง	133	19	22	50	9
น้ำมันคำฝอย	136	7	26	67	-
น้ำมันทานตะวัน	136	10	22	68	-
น้ำมันผีน	133	9	28	63	-
น้ำมันเมล็ดยาสูบ	142	5	27	66	2
น้ำมันเมล็ดยางพารา	138	21	20	38	21

น้ำมันถั่วเหลืองถูกนำมาใช้งานหลักในด้านอุตสาหกรรมอาหาร เช่น สลัด น้ำมันปรุงอาหารและมาการีน และน้อยกว่า 3% ที่ถูกนำมาใช้งานด้านอื่นๆ ซึ่งน้ำมันถั่วเหลืองเป็นหนึ่งในน้ำมันพืชที่มีสมบัติด้านลดแรงเสียดทานที่ดี เช่น มีความสามารถหล่อลื่นที่ดี มีการระเหยต่ำ มีความหนืดสูง สามารถละลายในสารหล่อลื่นอื่นๆ ได้ และเข้ากันได้กับช่องเหลวอื่นๆ อย่างไรก็ตาม การที่มีพันธะcarbonที่ไม่อิ่มตัวสูง เป็นสาเหตุให้สมบัติทางความร้อนต่ำ ไม่เสื่อมรотор

ปฏิกริยาออกซิเดชัน และมีข้อจำกัดในการใช้งานด้านสารหล่อลื่นที่อุณหภูมิสูง แต่น้ำมันถั่วเหลืองอิพ็อกซิไดซ์สามารถใช้งานที่อุณหภูมิสูงได้ (Adhvaryu and Erhan, 2002)

น้ำมันถั่วเหลืองอิพ็อกซิไดซ์ (epoxidized soybean oil, ESO) ได้จากการตัดแปรน้ำมันถั่วเหลืองทางการตัดโดยผ่านปฏิกริยาอิพ็อกซิเดชันสามารถเพิ่มความว่องไวต่อปฏิกริยามากขึ้นเพื่อใช้ในทางอุตสาหกรรม ซึ่งในการเกิดปฏิกริยาอิพ็อกซิเดชันพบว่าการลดลิโนลินิกที่มีพันธะคู่ 3 ตำแหน่ง (ตำแหน่ง 9, 12 และ 15) มีความว่องไวในการเกิดปฏิกริยามากกว่าการลดลิโนลิอิกที่มีพันธะคู่ 2 ตำแหน่ง ตารางที่ 2.2 แสดงสัดส่วนองค์ประกอบของกรดไขมันชนิดต่างๆ ในน้ำมันพืช พบว่าน้ำมันลินสีดมีจำนวนพันธะคู่ต่อไตรกลีเซอไรต์ 1 โมเลกุลมากที่สุด คือ 6.6 ตำแหน่ง มีปริมาณกรดลิโนลินิกสูงที่สุด คือ 56.6% ซึ่งว่องไวต่อการเกิดปฏิกริยาอิพ็อกซิเดชันมากที่สุด ส่วนน้ำมันถั่วเหลืองมีจำนวนพันธะคู่ต่อไตรกลีเซอไรต์ 1 โมเลกุลรองลงมา คือ 4.6 ตำแหน่ง มีปริมาณกรดลิโนลิอิก 53.2% แต่มีปริมาณกรดลิโนลินิก 7.8% ทำให้ว่องไวต่อการเกิดปฏิกริยาอิพ็อกซิเดชันต่ำกว่าน้ำมันลินสีดเล็กน้อย สำหรับสูตรทางเคมีและน้ำหนักโมเลกุลของกรดไขมันชนิดต่างๆ ในน้ำมันถั่วเหลืองแสดงในตารางที่ 2.3

ตารางที่ 2.2 สัดส่วนองค์ประกอบของกรดไขมันชนิดต่างๆ ในน้ำมันพืชแต่ละชนิด (Knot et al., 2001)

Fatty Acid	#C: #DB	Canola	Corn	Cottonseed	Linseed	Olive	Palm	Rapeseed	Soybean	High Oleic <sup>a</sup>
Myristic	14: 0	0.1	0.1	0.7	0.0	0.0	1.0	0.1	0.1	0.0
Myristoleic	14: 1	0.0	0.0	0.0	0.0	0.0	0.0	0.0	0.0	0.0
Palmitic	16: 0	4.1	10.9	21.6	5.8	13.7	44.4	3.0	11.0	6.4
Palmitoleic	16: 1	0.3	0.2	0.6	0.0	1.2	0.2	0.2	0.1	0.1
Margaric	17: 0	0.1	0.1	0.1	0.0	0.0	0.1	0.0	0.0	0.0
Margaroleic	17: 1	0.0	0.0	0.1	0.0	0.0	0.0	0.0	0.0	0.0
Stearic	18: 0	1.8	2.0	2.6	3.5	2.5	4.1	1.0	4.0	3.1
Oleic	18: 1	60.9	25.4	18.6	19.1	71.1	39.3	13.2	23.4	82.6
Linoleic	18: 2	21.0	59.6	54.4	15.3	10.0	10.0	13.2	53.2	2.3
Linolenic	18: 3	8.8	1.2	0.7	56.6	0.6	0.4	9.0	7.8	3.7
Arachidic	20: 0	0.7	0.4	0.3	0.0	0.9	0.3	0.5	0.3	0.2
Gadoleic	20: 1	1.0	0.0	0.0	0.0	0.0	0.0	9.0	0.0	0.4
Eicosadienoic	20: 2	0.0	0.0	0.0	0.0	0.0	0.0	0.7	0.0	0.0
Behenic	22: 0	0.3	0.1	0.2	0.0	0.0	0.1	0.5	0.1	0.3
Eruic	22: 1	0.7	0.0	0.0	0.0	0.0	0.0	49.2	0.0	0.1
Lignoceric	24: 0	0.2	0.0	0.0	0.0	0.0	0.0	1.2	0.0	0.0
Average										
#DB/triglyceride		3.9	4.5	3.9	6.6	2.8	1.8	3.8	4.6	3.0

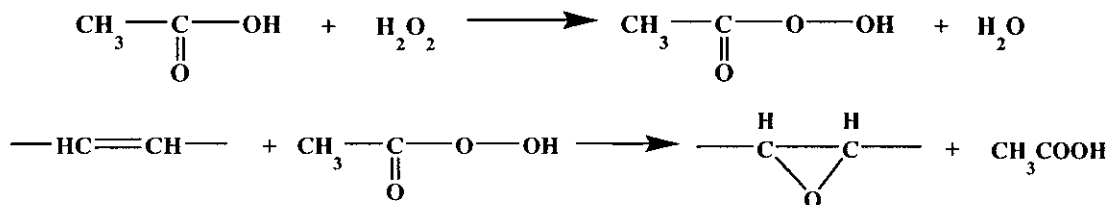
ตารางที่ 2.3 ชนิดและสูตรโครงสร้างทางเคมีของกรดไขมันที่พบในน้ำมันถั่วเหลือง

(<http://www.promma.ac.th/chemistry/Biomolecule/Biomolecule041.htm>, 2550)

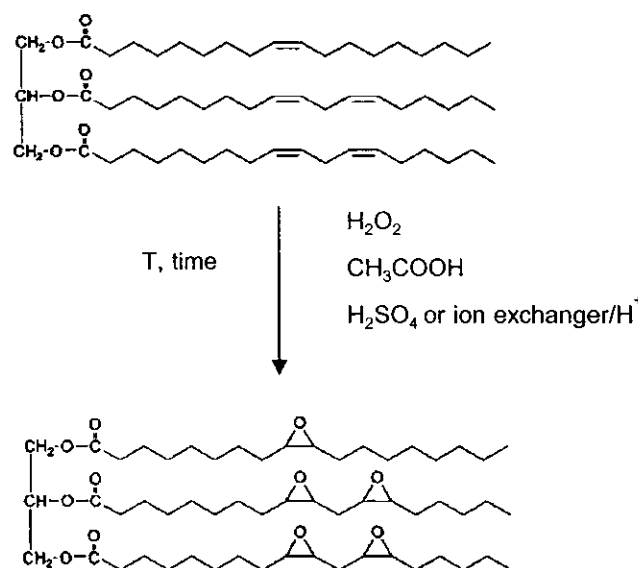
ชนิด	ลักษณะโครงสร้าง	สูตรโมเลกุล	น้ำหนักโมเลกุล (g/mol)
Myristic acid	C14:0	C <sub>14</sub> H <sub>28</sub> O <sub>2</sub>	228
Palmitoleic acid	C16:1	C <sub>16</sub> H <sub>30</sub> O <sub>2</sub>	254
Palmitic acid	C16:0	C <sub>16</sub> H <sub>30</sub> O <sub>2</sub>	256
Stearic acid	C18:0	C <sub>18</sub> H <sub>36</sub> O <sub>2</sub>	284
Oleic acid	C18:1	C <sub>18</sub> H <sub>34</sub> O <sub>2</sub>	282
Linoleic acid	C18:2	C <sub>18</sub> H <sub>32</sub> O <sub>2</sub>	280
Linolenic acid	C18:3	C <sub>18</sub> H <sub>30</sub> O <sub>2</sub>	278
Arachidic acid	C20:0	C <sub>20</sub> H <sub>40</sub> O <sub>2</sub>	312.5

## 2.2 ນໍາມັນຄ້ວ່າເຫຼືອງອີພົກຊີໄດ້

ການເກີດປົງກິໂຮຍາອີພົກຊີເດັ່ນຂອງນໍາມັນຄ້ວ່າເຫຼືອງແລະກຽດໃໝ່ມັນທ່ານີ້ ນີ້ມີໃຊ້ການເປົ້ອງແບ່ງຕິດເນື່ອງຈາກເປັນກາຈົດທີ່ຄ່ອນໜັງເສົ່ຽຍ ໄດ້ຈຳການທຳປົງກິໂຮຍາຮ່ວມກວ່າກາຈົດແອ່ນຕິກັນໄໝໂດຈົນແປ່ອງອອກໄໝ໌ ຈຶ່ງກາຈົດແບ່ງແອ່ນຕິກັຈະເຫັນທຳປົງກິໂຮຍາອີພົກຊີເດັ່ນບັນດຳແໜ່ງພັນຮະຄູ່ຂອງນໍາມັນຄ້ວ່າເຫຼືອງ ມີກລິໄກດັ່ງຮູ່ປີ່ 2.2 ກາພຽມຂອງກາຈົດປົງກິໂຮຍາອີພົກຊີເດັ່ນຂອງນໍາມັນຄ້ວ່າເຫຼືອງແສດໃນຮູ່ປີ່ 2.3



ຮູ່ປີ່ 2.2 ກລິໄກປົງກິໂຮຍາອີພົກຊີເດັ່ນບັນດຳພັນຮະຄູ່ຂອງນໍາມັນຄ້ວ່າເຫຼືອງ (ອຣຸສາ, 2537)



ຮູ່ປີ່ 2.3 ປົງກິໂຮຍາອີພົກຊີເດັ່ນຂອງນໍາມັນຄ້ວ່າເຫຼືອງ (Rüschen and Warwel, 1999)

ປົງກິໂຮຍາກາຈົດໝູ້ອີພົກຊີມັກເກີດໃນ 2 ເຟສ ຄື່ອ ເຟສນໍາແລະເຟສນໍາມັນ ໄຢໂດຈົນແປ່ອງອອກໄໝ໌ຈະທຳປົງກິໂຮຍາກັນກາຈົດໃນໜ້າ ໄດ້ເປັນເປົ້ອງແອ່ນທີ່ລະຍາໄດ້ໃນນໍາມັນ ແລະເໝັ້ນຜ່ານໄປທຳປົງກິໂຮຍາກັນພັນຮະຄູ່ຂອງນໍາມັນ ເກີດເປັນໝູ້ອີພົກຊີແລະກາຈົດຄາຮນບອກຊີລິກ ກາຈົດຄາຮນບອກຊີລິກຈະກັບໄປສູ່ເຟສນໍາອີກ ດ້ວຍວິທີການນີ້ສາມາດເຕີມນໍາມັນອີພົກຊີໄດ້ຈົດຈາກນໍາມັນທີ່ໄໝອື່ນຕ້ວໄວໄດ້ ປົງກິໂຮຍາອີພົກຊີເດັ່ນທຳກ່າວໄດ້ 2 ແບບ ໂດຍແບບທີ່ 1 ຕ້ອງການເຕີມເປົ້ອງແອ່ນຕ່ອນ ໂດຍກາຈົດປົງກິໂຮຍາຮ່ວມກວ່າກາຈົດແອ່ນຕິກັນໄປໂດຈົນແປ່ອງອອກໄໝ໌ ແລ້ວຈຶ່ງທຳປົງກິໂຮຍາອີພົກຊີເດັ່ນຮ່ວມກວ່າກາຈົດແອ່ນຕິກັນທີ່ໄດ້ກັບນໍາມັນຄ້ວ່າເຫຼືອງ ຮວມເປັນ 2 ຊັ້ນຕອນ ສ່ວນແບບທີ່ 2 ມີຂັ້ນຕອນເຕີຍວ ຄື່ອ ກາຮັກເຄຣະທີ່ເປົ້ອງແອ່ນຕິກັນໃນນໍາມັນຄ້ວ່າເຫຼືອງ ແລະເກີດປົງກິໂຮຍາອີພົກຊີເດັ່ນກັບນໍາມັນຄ້ວ່າເຫຼືອງທັນທີ ເຮັດວຽກການເຕີມແບບນີ້ວ່າ "in situ epoxidation" ປັຈຸນັນນີ້ມີໃໝ່ແບບທີ່ສອງ ເນື່ອຈາກໃຫ້ຂັ້ນຕອນເຕີຍວ ຈຶ່ງສະດວກຮົດເວົ້ວ

ນໍາມັນຄ້ວ່າເຫຼືອງອີພົກຊີໄດ້ຮູ້ກຳນົດໃຫ້ປະໂຍ້ນໜ່າຍດ້ານ ເຊັ່ນ ເປັນສາຮ່ວຍເພີ່ມຄວາມເສົ່ຽຍ (stabilizer) ໃຫ້ ເປັນພෙລසຕີໃເຊ່ອຣີໃນພອລິໄວນິລົຄລອໄຣຕີ (poly(vinyl chloride)) ເປັນສາເພີ່ມຄວາມເຫັນຍົວໃຫ້ກັບອີພົກຊີເຮັດວຽກ ທຳເປັນສາຮ່ວຍເພີ່ມຄວາມເຫັນຍົວໃຫ້ກັບອີພົກຊີເຮັດວຽກ

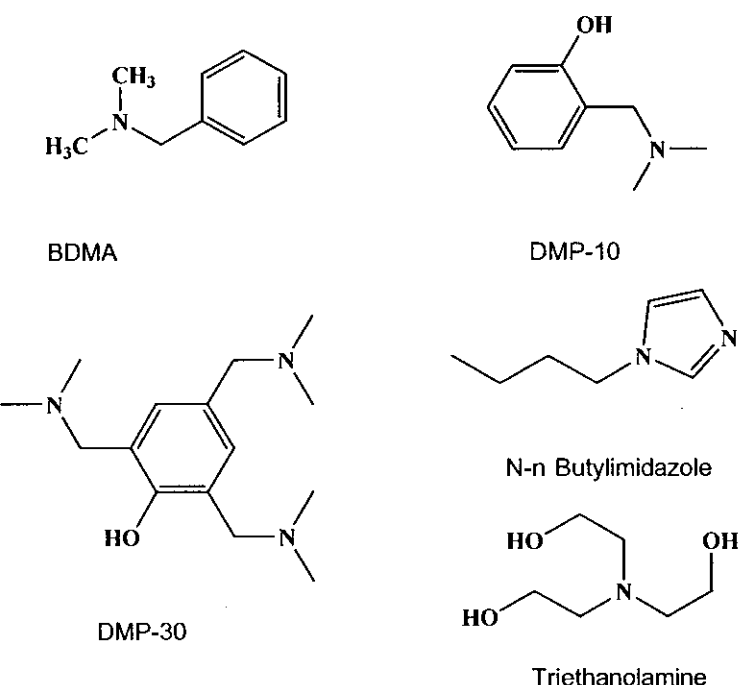
## 2.3 สารเชื่อมขวางของอิพ็อกซี่ (Potter, 1970; Saunders, 1973)

สารเชื่อมขวางของอิพ็อกซี่เรซินโดยทั่วไปจะแบ่งเป็น 3 กลุ่ม ได้แก่ กลุ่มเอมีน (amine) กลุ่มลิวอิส (lewis acid) และ กลุ่มกรดแอนไฮดราต์ (acid anhydride) มีรายละเอียดดังนี้

### 2.3.1 สารเชื่อมขวางกลุ่มเอมีน

#### 2.3.1.1 เอมีนตัดิยภูมิ (tertiary amine)

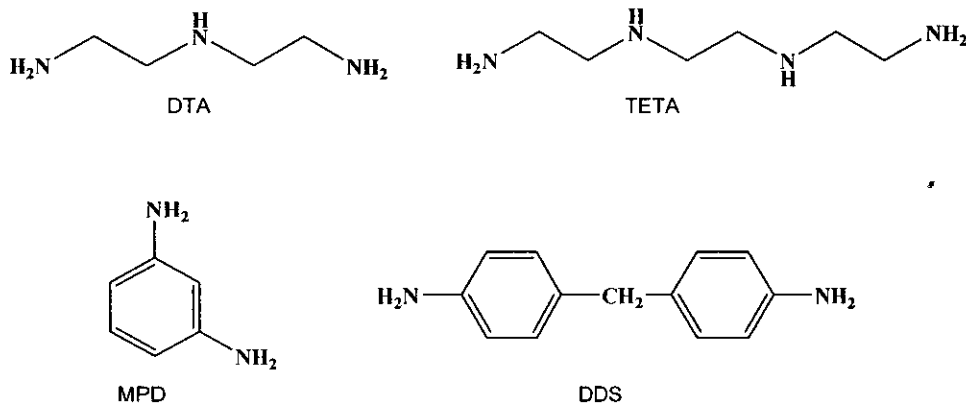
โดยทั่วไปจะหมายความว่าเป็นสารที่มีโครงสร้างพื้นฐานเป็นอะมิโนเมทิลฟีโนล (benzylidimethylamine, BDMA) ไดเมทิลอะมิโนเมทิลฟีโนล (dimethylaminomethyl phenol, DMP-10) 2, 4, 6 ไดเมทิลอะมิโนเมทิลฟีโนล (2, 4, 6-trimethylaminomethyl phenol, DMP-30) ไตรอทานอลเอมีน (triethanol amine) และบิวทิล-imidazone (N-n-butylimidazole) ตัวอย่างสูตรโครงสร้างทางเคมีของเอมีนตัดิยภูมิแสดงดังรูปที่ 2.4



รูปที่ 2.4 สูตรโครงสร้างทางเคมีของเอมีนตัดิยภูมิ (Ellis, 1993)

#### 2.3.1.2 พอลิฟิงก์ชันนอลเอมีน (polyfunctional amine)

สารเชื่อมขวางกลุ่มนี้เป็นหั้งอะลิฟติกเอมีนและอะโรมาติกเอมีน โดยมีไอโโครเจนที่ว่องไวต่อการทำปฏิกิริยาอย่างน้อย 3 อะตอม ซึ่งจะอยู่ในรูปของเอมีนปฐมภูมิ (primary amine) และ/หรือเอมีนทุดิยภูมิ (secondary amine) โดยทั่วไปอะลิฟติกเอมีนจะเกิดปฏิกิริยาเชื่อมขวางได้เร็ว และเกิดได้ที่อุณหภูมิห้อง ในขณะที่อะโรมาติกเอมีนมีความว่องไวค่อนข้างต่ำ ทำให้ผลิตภัณฑ์ที่ได้ทันอุณหภูมิได้สูง พอลิฟิงก์ชันนอลเอมีนนิยมนำมาใช้ในการทำกาาร์ ผลิตภัณฑ์ที่ขึ้นรูปด้วยการหล่อแบบ และแผ่นกลามิเนต ตัวอย่างของสารเชื่อมขวางประเภทนี้ได้แก่ ไดอิทิลีนไตรอเมีน (diethylene triamine, DTA) ไตรอทิลีนเตตระเมีน (triethylenetetraamine, TETA) พีนิลีนไดเอมีน (m-phenylene diamine, MPA) และไดอะมิโนไดฟีนิลเมธาน (diaminodiphenyl methane, DDM) ซึ่งมีสูตรโครงสร้างทางเคมีดังแสดงในรูปที่ 2.5



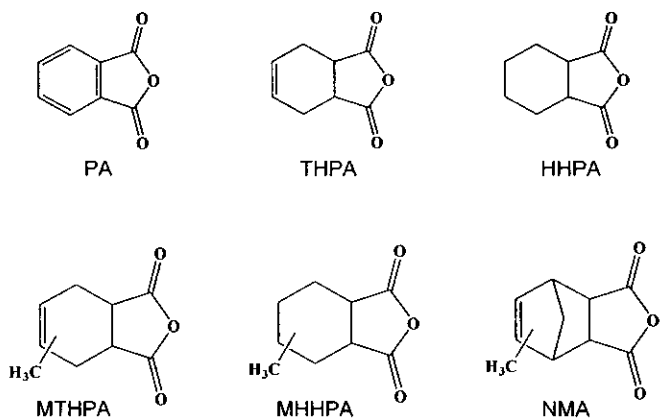
รูปที่ 2.5 สูตรโครงสร้างทางเคมีของพอลิฟังก์ชันนอลเอมีน (Ellis, 1993)

### 2.3.2 สารเชื่อมขวางกลุ่มกรดลิวอิส

กรดลิวอิส (Lewis acid) ที่ใช้เป็นสารเชื่อมขวาง เช่น ไบرونไตรฟลูอโอลิโอดิเมโนเอทธิลีนเอมีน (boron trifluoride monoethyleneamine,  $\text{BF}_3\text{MEA}$ ) เป็นสารเชิงซ้อนที่เสียหายที่อุณหภูมิห้อง และไม่ทำปฏิกิริยา กับสารอื่น เป็นสารเชื่อมขวางที่เหมาะสมสำหรับผลิตภัณฑ์ที่ทำแผ่นลามิเนตมากกว่างานหล่อ

### 2.3.3 สารเชื่อมขวางกลุ่มกรดแอนไฮไดรต์

กรดแอนไฮไดรต์ (acid anhydride) ที่นิยมนำมาใช้เป็นสารเชื่อมขวางของอิ- พ้อกซีเรชิน อาจจะอยู่ในรูปโมโนแอนไฮไดรต์ (monoanhydride) หรือไดแอนไฮไดรต์ (dianhydride) ตัวอย่างของแอนไฮไดรต์ที่ใช้กัน เช่น มาลิอกแอนไฮไดรต์ (maleic anhydride, MA) โดเดกซิโนลิซัคซิโนนิคแอนไฮไดรต์ (dodecenylsuccinic anhydride, DDSA) เอชไซไฮไดรต์ (hexahydrophthalic anhydride, HPA) พชาลิกแอนไฮไดรต์ (phthalic anhydride, PA) ไฟโรเมลลิติกไดแอนไฮไดรต์ (pyromellitic dianhydride, PMDA) นาดิเมทิลแอนไฮไดรต์ ( nadicmethyl anhydride, NMA) คลอเรนดิกแอนไฮไดรต์ (chlorendic anhydride, CA) เมทิลเตตระไฮไดรต์ (methyltetrahydrophthalic anhydride, MTHPA) และเมทิลไฮดราคไซไฮไดรต์ (methylhexahydrophthalic anhydride, MHHPA) และตัวอย่างสูตรโครงสร้างทางเคมีของสารเชื่อมขวางในกลุ่มกรดแอนไฮไดรต์ดังรูปที่ 2.6



รูปที่ 2.6 สูตรโครงสร้างทางเคมีของกรดแอนไฮไดรต์ (Ellis, 1993)

ปฏิกิริยาระหว่างอิพ้อกซีเรชินและแอนไฮไดรต์จะเกิดค่อนข้างช้า และเกิดที่อุณหภูมิสูง เช่น ระบบ DGEBA/MTHPA ปฏิกิริยาจะเกิดที่อุณหภูมิประมาณ  $300^\circ\text{C}$  ซึ่งอาจจะทำให้อิพ้อกซีเกิดการเสื่อมสภาพได้ง่าย แต่ถ้ามี

การใช้ตัวเร่งปฏิกิริยาที่เป็นเอมีนติดภูมิ (tertiary amine) เช่น BDMA พบว่าเกิดปฏิกิริยาที่อุณหภูมิ  $75^{\circ}\text{C}$  (Knot et al., 2001; อรุสา, 2537) เนื่องจากตัวเร่งปฏิกิริยาจะทำหน้าที่เปิดวงแหวนของแอนไอกอเรต์ เกิดเป็นคาร์บอคิเลท ไอโอน (carboxylate ion) และทำปฏิกิริยาต่อกับแอนไอกอเรต์ เกิดเป็นพันธะพอลิเอสเทอร์ ปฏิกิริยาจะเกิดเช่นนี้เรื่อยๆ เกิดเป็นโครงสร้างร่างแท (Adhvaryu et al., 2002)

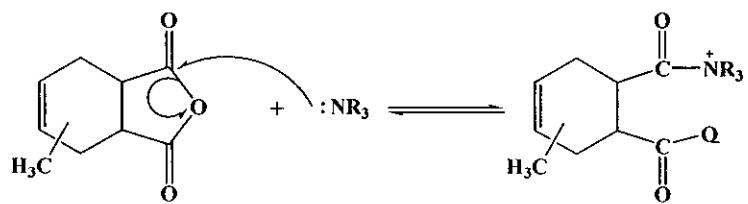
เมื่อเปรียบเทียบสารเชื่อมขวางประเทกแอนไอกอเรต์กับพอลิฟังก์ชันอลเอมีน พบว่าแอนไอกอเรต์มีความว่องไวต่อการทำปฏิกิริยาชาด ดังนั้นเมื่อนำมาเป็นสารเชื่อมขวางของอิพ็อกซีเรซิน จะเกิดความร้อนเนื่องจากการทำปฏิกิริยาต่ำ การใช้แอนไอกอเรต์เป็นสารเชื่อมขวางจะทำให้อิพ็อกซีเรซินเสียหายต่อความร้อน มีความเป็นจนวนไฟฟ้าสูงและทนต่อสารเคมี (ยกเว้นสารอัลคาไลด์ซึ่งจะไอกอเรต์หลุมอีเทอร์) พชาลิกแอนไอกอเรต์ (PA) เป็นสารเชื่อมขวางที่มีราคาถูกที่สุดแต่มีข้อเสียคือ ผสมกับเรซินได้ยาก ดังนั้นจึงต้องใช้ความร้อนประมาณ  $120^{\circ}\text{C}$  ในการผสม ซึ่งอาจจะทำให้อายุของส่วนผสมสั้นหรือถูกจำกัด

แอนไอกอเรต์ที่เป็นของเหลว เช่น โดเดกซินิลซัคซินิกแอนไอกอเรต์ (DDSA) และ นาติกเมทิลแอนไอกอเรต์ (NMA) หรือแอนไอกอเรต์ที่มีจุดหลอมเหลวต่ำจะผสมกับอิพ็อกซีได้ง่าย ในกรณีที่ใช้มาลิอิกแอนไอกอเรต์ (MA) เป็นสารเชื่อมขวางเพียงอย่างเดียว ผลิตภัณฑ์ที่ได้จะมีความเปราะ จึงมักผสมกับแอนไอกอเรต์ชนิดอื่นๆ ส่วนโดเดกซินิลซัคซินิกแอนไอกอเรต์จะทำให้ผลิตภัณฑ์ที่ได้มีความยืดหยุ่น ในขณะที่คลอร์เรนติกแอนไอกอเรต์ (HET) จะทำให้ผลิตภัณฑ์ที่ได้ทานต่อการติดไฟได้ดี และไฟโรเมลิติดไดแอนไอกอเรต์ (PMDA) ซึ่งมีหมุนฟังก์ชันมากทำให้ความหนาแน่นของการเชื่อมขวางสูงขึ้น

ส่วนผสมของอิพ็อกซีและแอนไอกอเรต์มีความหนืดต่ำ และสามารถเก็บไว้ได้นาน มีสารระเหยในระหว่างการอบต่ำ ทำให้มีการหลดตัวและอัตราการคายความร้อนต่ำ ข้อจำกัดของการใช้แอนไอกอเรต์คือ ต้องใช้เวลานานและอุณหภูมิในการอบสูง ถึงแม้ว่าจะใช้ตัวเร่งปฏิกิริยา ในระบบการอบอิพ็อกซีและแอนไอกอเรต์ที่ไม่ใช้ตัวเร่งปฏิกิริยา อัตราเร็วในการเกิดพันธะเอสเทอร์ไกล์เดย์กัน ในระบบที่มีตัวเร่งปฏิกิริยาเป็นต่าง ส่วนใหญ่จะเกิดการเชื่อมขวางด้วยพันธะเอสเทอร์ ส่วนในระบบที่มีตัวเร่งปฏิกิริยาเป็นกรด ส่วนใหญ่จะเกิดการเชื่อมขวางด้วยพันธะอีเทอร์ แต่ในกรณีระบบที่ไม่มีตัวเร่งปฏิกิริยา จะมีกรดอิสระอยู่เล็กน้อยทำหน้าที่เป็นตัวช่วยให้เกิดการเชื่อมขวางเป็นพันธะอีเทอร์ ทำให้สามารถใช้มีความยืดหยุ่น ทำให้อุณหภูมิกลางแทรกซิชัน (glass transition temperature,  $T_g$ ) ที่ได้มีค่าต่ำกว่าระบบที่มีการเติมตัวเร่งปฏิกิริยา

## 2.4 ปฏิกิริยาการเชื่อมขวางโมเลกุลอิพ็อกซีของกรดแอนไอกอเรต์ (Ellis, 1993)

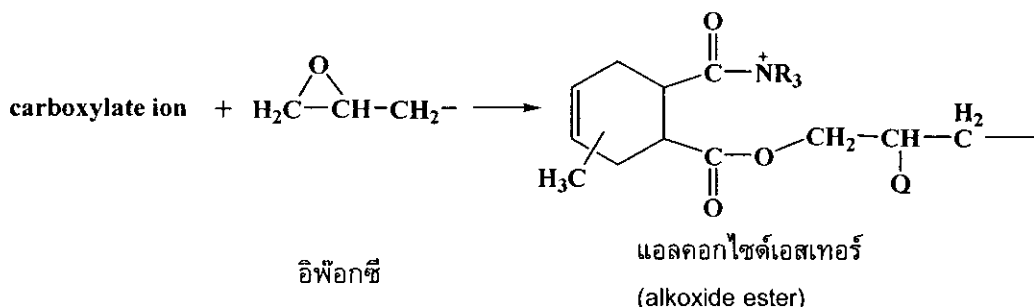
กลไกการเชื่อมขวางโมเลกุลของหมุนอิพ็อกซีโดยใช้สารเชื่อมขวางในกลุ่มกรดแอนไอกอเรต์ค่อนข้างซับซ้อนมากกว่ากลุ่มเอมีน เนื่องจากเกิดปฏิกิริยาการแข่งขันขณะเกิดการเชื่อมขวางเมื่อมีการเติมตัวกระตุ้นเพื่อเพิ่มอัตราการเชื่อมขวาง ตัวกระตุ้นที่เหมาะสมกับกรดแอนไอกอเรต์ที่ถูกนำมาใช้อย่างกว้างขวางคือ ลิวอิสเบส เช่น เอมีนติดภูมิ และอิมิดาโซน ตัวกระตุ้นเหล่านี้จะทำหน้าที่ในการเปิดวงแหวนของกรดแอนไอกอเรต์ให้อยู่ในรูปเกลือไอโอนเพื่อให้เป็นตัวริเริ่มในปฏิกิริยาการเชื่อมขวาง ตั้งแสดงในรูปที่ 2.7 โดยไอโอนคาร์บอคิเลท (carboxylate ion) จะเข้าทำปฏิกิริยากับวงแหวนอิพ็อกซีทำให้เกิดแอลกอคอกไซด์เอสเทอร์ (alkoxide ester) หลังจากนั้นแอลกอคอกไซด์เอสเทอร์จะเกิดปฏิกิริยา กับกรดแอนไอกอเรต์เพื่อให้อยู่ในรูปแอนไอโอนหาร์บอคิเลท ซึ่งสารประกอบนี้จะทำปฏิกิริยากับอิพ็อกซีต่อไป และจะเกิดปฏิกิริยาสลับกันไปเรื่อยๆ นำไปสู่การเชื่อมขวางในรูปพอลิเอสเทอร์ การเชื่อมขวางของโครงสร้างไตรกลีเซอไรต์ ด้วยกรดแอนไอกอเรต์ โดยมีเอมีนติดภูมิชินิด 1-เมทิลอิมิดาโซนเป็นตัวเร่งปฏิกิริยานั้น สามารถแสดงดังรูปที่ 2.8



กรดแอนไฮไดร์ต

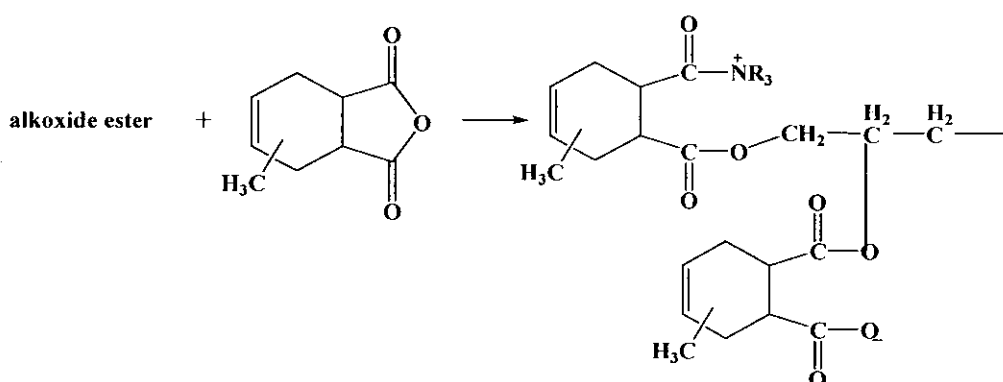
เอเม็นติดิบูมิ  
(ดัวเร่งปฏิกิริยา)

คาร์บอชิเลทไออกอน  
(carboxylate ion)



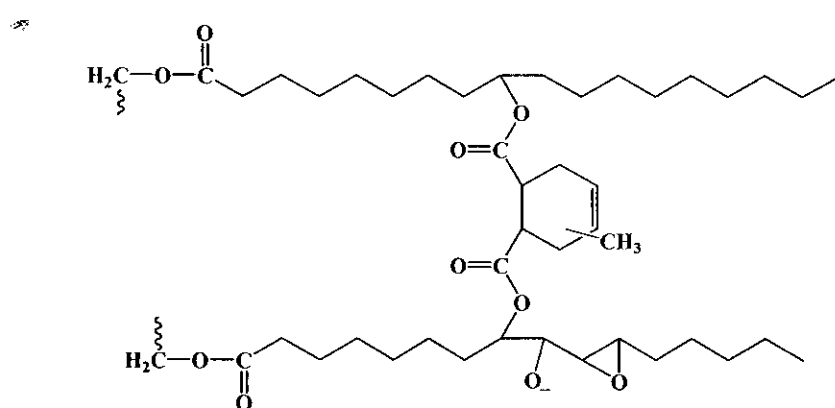
อพ็อกซี

แอลกอไชด์เอสเทอร์  
(alkoxide ester)



โพลีเอสเทอร์ (polyester)

รูปที่ 2.7 กลไกการเชื่อมขวางโมเลกุลอพ็อกซีด้วยกรดแอนไฮไดร์ตโดยมีอิมิดาโซลเป็นดัวระดับ (Ellis, 1993)



รูปที่ 2.8 โครงสร้างทางเคมีของไตรกลีเซอไรด์ที่เชื่อมขวางด้วยสารกัลูมแอนไฮไดร์ต

## 2.5 พอลิเมอร์-ดินเหนียวนาโนคอมโพสิต

พอลิเมอร์-ดินเหนียวนาโนคอมโพสิต (polymer-clay nanocomposite) คือ พอลิเมอร์เชิงประกอบหรือพอลิเมอร์คอมโพสิตที่มีอนุภาคของดินเหนียวขนาดระดับนาโนเมตร ( $10^{-9}$  เมตร) หรือหนึ่งในพันล้านส่วนของเมตร ในปริมาณไม่มาก (ไม่เกิน 10 wt%) กระจายตัวอยู่ในเฟสของพอลิเมอร์ ดินเหนียวอาจมีการรวมตัวกันเป็นกลุ่มก้อน (tactoids) เล็กน้อยหรือไม่มีเลย ซึ่งไม่เลกุลของพอลิเมอร์สามารถแทรกเข้าไปภายในระหว่างชั้นของอนุภาคดินเหนียวได้ ทำให้เกิดการเก็บไวนอย่างแข็งแรง และการกระจายของดินเหนียวที่มีอนุภาคในระดับนาโนเมตรนี้จะนำไปสู่การปรับปรุงสมบัติของพอลิเมอร์ได้ดีในด้านต่างๆ เช่น สมบัติเชิงกล สมบัติทางความร้อน ความต้านทานต่อสารเคมี การป้องกันการซึมผ่านของก๊าซ และสมบัติการห่วงไฟ เป็นต้น และจะมีสมบัติซึ่งมากกว่า แม้ใช้ปริมาณดินเหนียวเพียงเล็กน้อย (ไม่เกิน 10 wt%) ก็ตาม เมื่อเปรียบเทียบกับสารตัวเดิมที่มีขนาดอนุภาคในระดับไมโครเมตรทั่วๆ ไป (Doppers *et al.*, 2004)

### 2.5.1 ดินเหนียว (Ray and Okamoto, 2003; ไพบูลย์, 2546)

การเลือกใช้ดินเหนียวจะมีความสำคัญต่อการเตรียมพอลิเมอร์นาโนคอมโพสิต เนื่องจากดินเหนียวจะมีอิทธิพลต่อสมบัติเชิงกลและสมบัติเชิงพิสิกส์ ดินเหนียวมีด้วยกันหลายชนิด สามารถจำแนกชนิดของดินเหนียวได้ตามโครงสร้าง สมบัติ และจำนวนชั้นของซิลิกะ ตัวอย่างดินเหนียวในธรรมชาติ เช่น เนสโซซิลิกะ (nesosilicates) โซโรซิลิกะ (sorosilicates) ไซโคลซิลิกะ (cyclosilicates) พิลโลซิลิกะ (phyllosilicates) เป็นต้น แต่ดินเหนียวที่มีประสิทธิภาพและเหมาะสมสำหรับการปรับปรุงสมบัติของพอลิเมอร์คือ ดินเหนียวชนิดพิลโลซิลิกะ สามารถจำแนกได้เป็น 2 กลุ่มหลัก โดยแบ่งตามจำนวนชั้นของโครงสร้างที่มีการจัดเรียงตัวระหว่างแผ่นซิลิกาเตตระไฮดรอล และแผ่นอะลูมิเนียมออกตะหீดรอล ได้แก่ การจัดเรียงโครงสร้างแบบ 1:1 และแบบ 2:1 สามารถแบ่งชนิดของดินเหนียวในกลุ่มนี้ได้ออกหลายชนิดตามลักษณะการจัดเรียงตัวของโครงสร้างทางเคมี เช่น ดินเหนียวเซนิดเกอลินไนท์ (kaolinite) มอนก์โมริลโลไนท์ (montmorillonite) อิลไลท์ (illite) เป็นต้น ลักษณะสำคัญของแร่พิลโลซิลิกะได้แสดงในตารางที่ 2.4

ตารางที่ 2.4 ลักษณะสำคัญบางประการของแร่พิลโลซิลิกะ (ไพบูลย์, 2546)

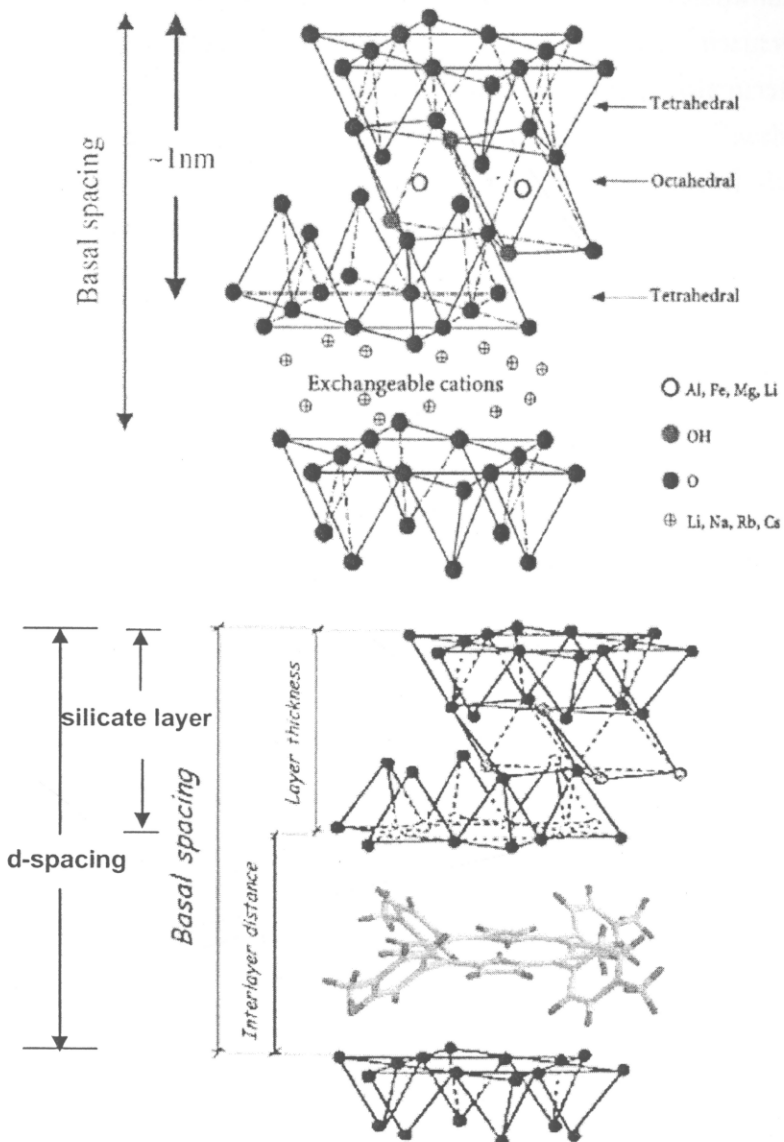
ประเภทแร่	แร่สำคัญ	ประจุสุทธิต่อหน่วย เซลล์	การยึดหด ขยายตัว	พื้นที่ผิว	CEC
				( $m^2 g^{-1}$ )	(cmol kg <sup>-1</sup> )
1:1	เกอลินไนท์	0	ต่ำมาก	10-20	1-10
2:1	ไมกา	-2.0	ต่ำ	70-120	5-20
	อิลไลท์	-1.0	ปานกลาง	100-200	20-40
	เวอร์มิคิลไลท์	-1.1	สูงปานกลาง	600-800	120-150
	มอนก์โมริลโลไนท์	-0.8	สูงมาก	700-800	80-120

(หมายเหตุ \* CEC = cation exchange capacity)

#### 2.5.1.1 ดินเหนียวมอนก์โมริลโลไนท์

ดินเหนียวชนิดมอนก์โมริลโลไนท์ (montmorillonite, MMT) จัดอยู่ในกลุ่มดินเหนียวพิลโลซิลิกะ ประกอบด้วยโครงสร้างการจัดเรียงตัวระหว่างแผ่นซิลิกาเตตระไฮดรอล และแผ่นอะลูมิเนียมออกตะหீดรอลแบบ 2:1 คือ โครงสร้างภายในชั้นประกอบด้วยแผ่นอะลูมิเนียมออกตะหீดรอลที่จัดตัวอยู่ตรงกลาง และถูกประกอบแผ่นซิลิกาเตตระไฮดรอล 2 ชั้น ดังแสดงในรูปที่ 2.9 ซึ่งว่างระหว่างชั้นซิลิกะเรียกว่าแกลลารี่ (gallery) หรืออินเตอร์เลเยอร์ (interlayer) ไม่เลกุลของพอลิเมอร์สามารถแทรกตัวเข้าไปภายในแกลลารี่ได้ ภายในช่องว่างแกลลารี่จะมีแคทไอออนที่สามารถแลกเปลี่ยนประจุได้ (exchangeable cations) เช่น  $Li^+$   $Na^+$   $Rb^+$   $Ca^{2+}$  เป็นต้น ทำหน้าที่แลกเปลี่ยนไอออนกับพอลิเมอร์

หรือปลายทางของหมู่ลดแรงตึงผิวที่เข้ามาแทรกตัวอยู่ภายในแกลเลอรี่ เกิดการเกี่ยวพันกับพอลิเมอร์เกิดเป็นแรงกระทำแบบภายนอก (inter-molecular interaction)



รูปที่ 2.9 ลักษณะโครงสร้างแบบ 2:1 phyllosilicates ของมอนก์莫ริลโลในท์ (Ray and Okamoto, 2003)

จะเห็นได้ว่าการจัดเรียงตัวของอนุภาคดินเหนียวชี้งะหว่างชั้นที่เรียกว่าแกลเลอรี่หรืออินเตอร์เลเยอร์จะเกิดแรงแวนเดอร์วัลส์เกิดขึ้นระหว่างกัน และมีประจุลบระหว่างผิวหน้าของแกลเลอรี่ ส่วนอะตอมกลางของโครงสร้างอนุภาคจะเป็นประจุบวก เช่น  $\text{Al}^{3+}$  และ  $\text{Mg}^{2+}$  เป็นต้น และสามารถเกิดการแลกเปลี่ยนไอออนหรือเกิดการแทนที่ของไอออนได้ เช่น  $\text{Al}^{3+}$  ถูกแทนที่ด้วย  $\text{Mg}^{2+}$  หรือ  $\text{Li}^{+}$

ดินเหนียวมอนก์莫ริลโลในท์ มีข้อดีที่แตกต่างจากดินเหนียวชนิดอื่นคือ ผลรวมของประจุลบหั้งในแผ่นเดียวซึ่งครอบและออกตะขีดrol จะมีปริมาณต่ำสุดในบรรดาแร่ประเภท 2:1 ด้วยกัน พิจารณาได้จากการที่ 2.4 ทำให้แรงดูดยึดระหว่างประจุลบดังกล่าวกับแคทไอออนในระหว่างชั้นดินเหนียวหรืออินเตอร์เลเยอร์เป็นแรงที่อ่อนมาก จึงสามารถยึดหดขยายตัวได้อย่างอิสระเต็มที่ ระยะห่างระหว่างชั้น ( $d$ -spacing) เปลี่ยนแปลงได้มากตั้งแต่ประมาณ 0.96-1.8 nm หรืออาจกว้างกว่านี้หลายสิบเท่าตัวขึ้นอยู่กับชนิดของแคทไอออนและปริมาณความชื้นในดิน ค่าความสามารถที่จะแลกเปลี่ยนกับแคทไอออนจึงค่อนข้างสูง (cation exchange capacity, CEC) อีกทั้งยังมีพื้นผิวสัมผัสสูงกว่าดินเหนียวกลุ่มอื่นในช่วง 700-800  $\text{m}^2/\text{g}$  (เพบูล์, 2546)

### 2.5.1.2 ดินเหนี่ยวปรับสภาพ (Alexandre and Dubois, 2000)

ดินเหนี่ยวปรับสภาพ (organoclay) หมายถึง ดินเหนี่ยวที่มีการเติมโมเลกุลของสารอินทรีย์เข้าไปในโครงสร้างของสารลดแรงตึงผิวเข้าไปภายในระหว่างชั้นดินเหนี่ยว เพื่อให้เกิดการแลกเปลี่ยนประจุระหว่างแคโทอ่อนกับประจุระหว่างชั้นดินเหนี่ยว กับแคโทไฮอ่อนของสารลดแรงตึงผิว แรงงานเดอร์วัลส์ระหว่างชั้นดินเหนี่ยวลดลง ส่งผลให้ระยะห่างระหว่างชั้นเพิ่มมากขึ้น เนื่องจากสมบัติทางเคมีของดินเหนี่ยวอนท์โมริลโลไนท์ที่มีความเป็นขั้วสูงจึงไม่สามารถผสมเข้ากับพอลิเมอร์ทัวไปซึ่งมีความเป็นขั้วน้อย รวมทั้งโครงสร้างทางเคมีของอนท์โมริลโลไนท์มีลักษณะเป็นแผ่น วงซ้อนกันเป็นชั้นๆ โดยระยะห่างระหว่างชั้นที่สัมผัสมือและมีค่าอนุภาคมาก ระดับ 1.1-1.5 nm ระหว่างชั้นยึดกันด้วยแรงวันเดอร์วัลส์ อ่อนๆ ทำให้โมเลกุลของพอลิเมอร์แทรกเข้าไปในภายในระหว่างชั้นดินเหนี่ยวได้ยาก อนุภาคของดินเหนี่ยวอนท์โมริลโลไนท์จึงรวมตัวเกาะกันเป็นกลุ่มก้อนไม่สามารถกระจายในพอลิเมอร์ได้ จึงต้องมีการปรับสภาพดินเหนี่ยวเพื่อให้มีระยะห่างระหว่างชั้นกว้างขึ้น ดังที่กล่าวมาแล้วข้างต้น

### 2.5.2 การเตรียมและสังเคราะห์วิทยาของพอลิเมอร์-ดินเหนี่ยว nano-composite

(Alexandre and Dubois, 2000)

#### 2.5.2.1 การเตรียมพอลิเมอร์-ดินเหนี่ยว nano-composite ด้วยเทคนิคสารละลาย

การเตรียมพอลิเมอร์-ดินเหนี่ยว nano-composite ด้วยเทคนิคสารละลาย (intercalation of polymer หรือ pre-polymer from solution) เทคนิคนี้จะมีตัวทำละลายเข้ามาเกี่ยวข้อง โดยตัวทำละลายที่เลือกใช้ต้องมีความเหมาะสมกับพอลิเมอร์และดินเหนี่ยว ตัวทำละลายต้องละลายพอลิเมอร์ได้สมบูรณ์ ตัวทำละลายจะทำให้ชั้นดินเหนี่ยวเกิดการบวมตัว ทำให้โครงสร้างของชั้นดินเหนี่ยวมีความอ่อนตัวและยืดหยุ่นได้ แรงดึงดูดระหว่างชั้นดินเหนี่ยวจึงอ่อนลงทำให้โมเลกุลของพอลิเมอร์สามารถแทรกเข้าไปภายในระหว่างชั้นของดินเหนี่ยวได้

#### 2.5.2.2 การเตรียมพอลิเมอร์-ดินเหนี่ยว nano-composite ด้วยเทคนิคพอลิเมอร์ในรีซัมอนเมอร์

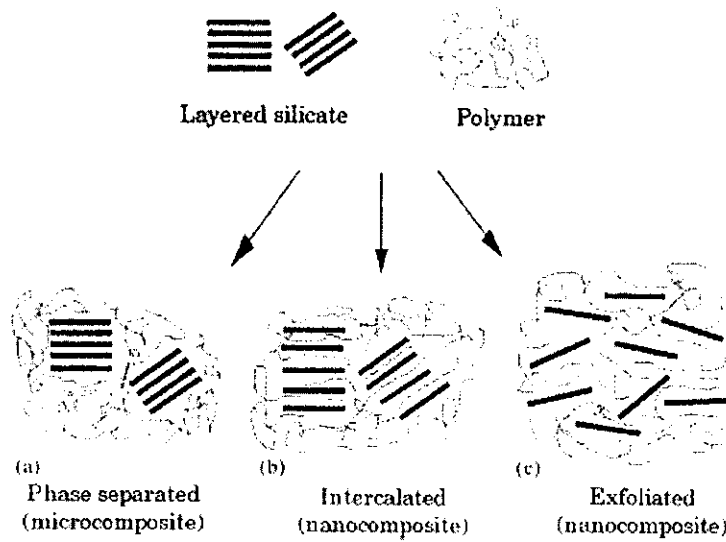
การเตรียมพอลิเมอร์-ดินเหนี่ยว nano-composite ด้วยเทคนิคพอลิเมอร์ในรีซัมอนเมอร์ (in situ intercalative polymerization) ประกอบด้วยสามองค์ประกอบคือ มองเมอร์ ดินเหนี่ยวและตัวทำละลาย โดยตัวทำละลายจะทำให้ชั้นดินเหนี่ยวเกิดการบวมตัวและมองเมอร์เกิดการพอลิเมอร์ในรีเซชันเป็นพอลิเมอร์ภายในระหว่างชั้นดินเหนี่ยว การทำพอลิเมอร์ในรีเซชันสามารถใช้ตัวเริ่มปฏิกิริยาได้หลายแบบ เช่น ความร้อน รังสี หรือตัวเริ่มปฏิกิริยาในกระบวนการสังเคราะห์

#### 2.5.2.3 การเตรียมพอลิเมอร์-ดินเหนี่ยว nano-composite ด้วยเทคนิคหลอมโดยใช้ความร้อน

เทคนิคหลอมโดยใช้ความร้อน (melt intercalation) เป็นกระบวนการที่เกิดขึ้นภายใต้การให้ความร้อนและแรงเนื้อน (ให้ความร้อนทำให้เกิดการหลอมเหลวภายในได้แรงเนื้อน) โดยไม่มีสารละลายเข้ามาเกี่ยวข้อง แรงเนื้อนทำให้เกิดการเปลี่ยนแปลงระหว่างชั้นของดินเหนี่ยว ถ้ามีแรงเนื้อนมากจะทำสูงๆ ชั้นของดินเหนี่ยวสามารถแยกออกจากกันได้ เพิ่มความแรงสร้างของดินเหนี่ยวเชื่อมยึดติดระหว่างชั้นตัวเริ่มแรงวันเดอร์วัลส์อ่อนๆ ทำให้โมเลกุลของพอลิเมอร์สามารถเกิดการแทรกเข้าไปภายในระหว่างชั้นดินเหนี่ยวได้ การใช้เทคนิคหลอมโดยใช้ความร้อนสามารถใช้กับพอลิเมอร์ที่ไม่สามารถเตรียมแบบสารละลายและแบบพอลิเมอร์ในรีซัมอนเมอร์ได้ ปัจจุบันเทคนิคนี้เริ่มเป็นที่นิยมในเชิงอุตสาหกรรมมากขึ้น

### 2.5.3 โครงสร้างพอลิเมอร์-ดินเหนี่ยว nano-composite (Alexandre and Dubois, 2000; Doppers et al., 2004)

โครงสร้างของชั้นดินเหนี่ยวขนาดเล็กมีความหนาประมาณ 1 nm เมื่อดินเหนี่ยวแตกระยะตัวเป็นแผ่นๆ ภายในเนื้อพอลิเมอร์ โครงสร้างของชั้นดินเหนี่ยวจะเกิดขึ้นได้หลายแบบ ลักษณะโครงสร้างแบบต่างๆ แสดงในรูปที่ 2.10 สามารถแบ่งชนิดของโครงสร้าง พอลิเมอร์-ดินเหนี่ยว nano-composite ได้ 3 แบบ ตามลักษณะการจัดเรียงอนุภาค ดินเหนี่ยว คือ



รูปที่ 2.10 ชนิดของโครงสร้างพอลิเมอร์-ดินเหนียวในคอมโพสิต (Doppers et al., 2004)

### 1) ไมโครคอมโพสิต (Microcomposite)

เป็นแบบพอลิเมอร์ไปหุ้มดินเหนียวเอาไว้ ไม่มีการเกิดอันตรกิริยาระหว่างกันเกิดขึ้น อนุภาคดินเหนียวไม่มีการขยายระยะห่างระหว่างชั้น เนื่องจากไม่สามารถแทรกซ้ายโซ่อพอลิเมอร์เข้าไปในระหว่างชั้นดินเหนียวได้ อนุภาคของดินเหนียวจะรวมตัวเกาะเป็นกลุ่มก้อนหลายๆ ชั้นภายในเนื้อพอลิเมอร์

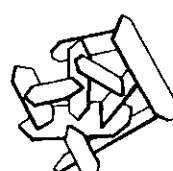
### 2) อินเตอร์คาเลชัน (Intercalation)

เมื่อพอลิเมอร์เข้าไปแทรกในชั้นของดินเหนียวทำให้โครงสร้างของดินเหนียวเกิดการขยายตัว แต่ยังคงรักษาระยะห่างระหว่างชั้นของดินเหนียว จะเป็นการเกิดอันตรกิริยาระหว่างพอลิเมอร์เมทริกซ์กับชั้นดินเหนียว โดยจะมีลักษณะเป็นผลึกเกิดขึ้นของชั้นดินเหนียว การกิดแบบนี้ยังขึ้นอยู่กับสัดส่วนและปริมาณของดินเหนียวต่อพอลิเมอร์ด้วย

### 3) เอกฟลิเอกชัน (Exfoliation)

อันตรกิริยาระหว่างผิวน้ำเดิมระหว่างชั้นของดินเหนียวได้ถูกทำลาย ชั้นของดินเหนียวถูกแยกเป็นแผ่นชั้นเดียวๆ กระจายทั่วพอลิเมอร์แบบสุ่ม การกระจายตัวแบบนี้ขึ้นอยู่กับปริมาณของดินเหนียวที่ใส่เข้าไป โดยพนวการกระจายตัวแบบอินเตอร์คาเลชันจะมีปริมาณของดินเหนียวในปริมาณที่น้อยกว่าแบบเอกฟลิเอกชัน สามารถศึกษาการกระจายตัวของเลเยอร์ชิลิกेटได้จากการล้องจุลทรรศน์แบบส่องผ่าน (transmission electron microscopy, TEM) และเครื่องตีรวงสอบการเลี้ยวเบนของรังสีเอกซ์ (X-ray diffractometer, XRD)

นอกจากนี้ดินเหนียวปรับสภาพที่กระจายตัวได้ในพอลิเมอร์หลังจากได้รับการสั่นสะเทือนด้วยคลื่นเสียงจะทำให้ชั้นชิลิกेटแต่ละชั้นเกิดอันตรกิริยาระหว่างกันขณะที่มีการให้力ผ่านกันจึงทำให้มีการฟอร์มตัวของโครงสร้างแบบ “edge-to-edge” หรือ “edge-to-face” ดังรูปที่ 2.11 เป็นเหตุให้ความหนืดสูงขึ้น (Ray and Okamoto, 2003)



รูปที่ 2.11 โครงสร้างแบบ “edge-to-edge” หรือ “edge-to-face” ของโครงสร้างดินเหนียวปรับสภาพที่กระจายในพอลิเมอร์ ([www.dur.ac.uk](http://www.dur.ac.uk), 2008)

## 2.6 การตรวจสอบเอกสาร

### 2.6.1 งานวิจัยที่เกี่ยวข้องกับการสังเคราะห์น้ำมันพืชอิพ็อกซิไดซ์

Campanella และคณะ (2008) ได้ศึกษาปฏิกิริยาของกรดไขมันเมทิลऐสเทอร์ของน้ำมันถั่วเหลืองกับกรดเบอร์ฟอร์มิดด้วยปฏิกิริยาอิพ็อกซิเดชัน ใช้ไฮโดรเจนเปอร์ออกไซด์เข้มข้น (60 wt% ขึ้นไป) เพื่อให้ได้ผลิตภัณฑ์อิพ็อกซิไดซ์ที่มีประสิทธิภาพสูง ในการศึกษาจะคำนึงถึงปริมาณของการสม อุณหภูมิ ความเข้มข้นและสัดส่วนของตัวทำปฏิกิริยาและสารเจือจางในที่นี้คือbenzen โดยใช้สัดส่วนโดยโมลของพันธะคู่ : กรดฟอร์มิด : ไฮโดรเจนเปอร์ออกไซด์ เท่ากับ 1 : 0.3-0.5 : 1.1, 2, 5 และพบว่าอุณหภูมิที่เหมาะสมในการเกิดปฏิกิริยาอิพ็อกซิเดชันได้คือ  $40^{\circ}\text{C}$  นอกจากนี้ การศึกษายังครอบคลุมปฏิกิริยาการเปิดวงแหวนของหมู่อิพ็อกซิไดซ์ ซึ่งจะเกิดขึ้นเมื่อมีการใช้กรดฟอร์มิดและไฮโดรเจนเปอร์ออกไซด์ที่มากเกินไปอีกด้วย

Espinosa และคณะ (2007) ได้ศึกษาการผลิตเรซินจากน้ำมันคาโนลาที่ได้จากการสังเคราะห์ด้วยกรดเบอร์และซีติกซึ่งเกิดจากปฏิกิริยาอิพ็อกซิเดชันระหว่างกรดแอซิติกและไฮโดรเจนเปอร์ออกไซด์ที่อุณหภูมิ  $50^{\circ}\text{C}$  ทำการศึกษาที่หลายสภาวะโดยควบคุมความเร็วของการกวนและอุณหภูมิในการสังเคราะห์ ณ เวลาตั้งแต่ 1-9 h พบร่วมกันแวร์ชันที่มากที่สุดจากการสังเคราะห์เท่ากับ 92% เมื่อทำปฏิกิริยาเป็นเวลา 5 h

Campanella และ Baltanas (2005) ได้ทำการศึกษาการเปิดวงแหวนอิพ็อกซิไดซ์ของ ESO โดยใช้กรดแอซิติกและกรดเบอร์แอซิติก ใช้กรดซัลฟิวริกเป็นตัวเร่งปฏิกิริยา เป็นระบบที่มี 2 เฟสคือเฟสหน้าและเฟสของสารละลายอินทรีย์ ในขั้นตอนการสังเคราะห์ ESO เมื่อนักวิชาช่างดัน พบร่วมปฏิกิริยาการเปิดวงในตัวทำละลายกรดแอซิติกเป็นปฏิกิริยาอันดับ 1 เมื่อเทียบกับความเข้มข้นหมู่อิพ็อกซิไดซ์ และเป็นปฏิกิริยาอันดับ 2 เมื่อเทียบกับความเข้มข้นของกรดcarboxylic acid ด้วยพลังงานgrade ตู้น  $58.7 \pm 0.42 \text{ kJ mol}^{-1}$

Orellana และคณะ (2005) ศึกษาการเกิดปฏิกิริยาอิพ็อกซิเดชันของกรดลิโนแลิกแบบเคมีมาติกส์ (chemo-enzymatic) โดยใช้เอนไซม์ชนิด Novozym<sup>®</sup> 435 ไฮโดรเจนเปอร์ออกไซด์ในการเกิดอิพ็อกซิเดชันที่อุณหภูมิ  $30^{\circ}\text{C}$  ในไทลูอิน สามารถเกิดปฏิกิริยาอิพ็อกซิเดชันได้อย่างสมบูรณ์

Campanella และ Baltanas (2004) ศึกษาการเปิดวงแหวนอิพ็อกซิไดซ์ของ ESO โดยใช้กรดแอซิติกที่มีน้ำเป็นตัวทำละลาย ใช้ Amberlite<sup>®</sup> IR-120 เป็นตัวเร่งปฏิกิริยาซึ่งเป็นเฟสของแข็ง ในการสังเคราะห์ ESO จะใช้อุณหภูมิต่าในช่วง  $20\text{-}40^{\circ}\text{C}$  ด้วยกรดเบอร์ฟอร์มิดในปฏิกิริยาอิพ็อกซิเดชัน ใช้เบนซินเป็นสารเจือจาง ซึ่งเป็นเฟสสารอินทรีย์ และไฮโดรเจนเปอร์ออกไซด์อยู่ในเฟสหน้า โดยอัตราส่วนโมลาร์ของไฮโดรเจนเปอร์ออกไซด์ในน้ำ/กรดฟอร์มิด/น้ำมันถั่วเหลือง เท่ากับ 20/2/1 ในการสังเคราะห์ ESO ซึ่งไม่ใช้ตัวเร่งปฏิกิริยาจะใช้เวลา 20 h ส่วนปฏิกิริยาการเปิดวงแหวนอิพ็อกซิไดซ์ของ ESO ใช้ Amberlite<sup>®</sup> IR-120 เป็นตัวเร่งปฏิกิริยา พบร่วมกับการเปิดวงแหวนจะเพิ่มขึ้นถ้าใช้ตัวเร่งปฏิกิริยาจำนวนมากขึ้น

Park และคณะ (2004) ศึกษาสมบัติทางความร้อนและสมบัติเชิงกลของอิพ็อกซิเรซิน จาก ESO โดยสังเคราะห์ ESO ผ่านกระบวนการอิพ็อกซิเดชันเช่นเดียวกับ Eckweil และคณะ (1989) โดยใช้กรดเบอร์แอซิติกในการทำปฏิกิริยาอิพ็อกซิเดชัน ใช้ Amberlite<sup>®</sup> IR-120 เป็นตัวเร่งปฏิกิริยา มีไทลูอินเป็นตัวทำละลายและช่วยควบคุมความร้อน ใช้อุณหภูมิ  $55^{\circ}\text{C}$  เวลา 7 h ได้ผลผลิต 89 % ปริมาณอิพ็อกซิไดซ์ที่สังเคราะห์ได้เท่ากับ  $100 \text{ mol}^{-1}$  โดยการศึกษาสมบัติจะนำ ESO ที่ได้ผสมกับอิพ็อกซิเรซิน ในปริมาณ 0-20 wt% ทำการสังเคราะห์ ESO แบบแคทท์ไออันนิคพอลิเมอไรเซชัน ทำการสังเคราะห์ที่  $110\text{-}150^{\circ}\text{C}$  เป็นเวลา 4 h เปรียบเทียบกับน้ำมันคาสเตอร์อิพ็อกซิไดซ์ (epoxidized castor oil, ECO) ที่ใช้เบนซิลไพราซิเนียมเอกซ์ฟลูอโรแอนดิโนเนท (*N*-benzylpyrazinium hexafluoroantimonate, BPH) เป็นตัวเร่งปฏิกิริยา พบร่วม ECO จะให้อุณหภูมิกลางแทรกซิชัน และอันตรักษาระหว่างโมเลกุลสูงกว่า ESO และมีการขยายตัวทางความร้อนต่ำกว่า ESO

Parreira และคณะ (2002) ได้ศึกษาการวิเคราะห์เชิงปริมาณของ ESO จากค่าปริมาณของปฏิกิริยาอิพ็อกซิเดชัน หาได้จากการติดต่อกับไฮโดรเจนไบโรมีต์ การหาจำนวนพันธะคู่ที่ได้จากการวิเคราะห์โดยใช้ไฮโอดีเมทดี และหา

เบอร์เซ็นต์ของน้ำจากปฏิกิริยาสูดท้ายโดยการได้เตอร์แบบวิช Karl Fischer นอกจานี้ในงานวิจัยังใช้ข้อมูลจากเทคนิคการหาหมู่ฟังก์ชันของสารตัวรับสื่อินฟราเรด

Hilker และคณะ (2001) ได้ศึกษาลอกศาสตร์ของการบวนการอิพ็อกซิเดชันแบบเคมีเอนไซมิติกส์ (chemical-enzymatic) ของน้ำมันพีชไม่อิมตัวได้แก่น้ำมันลินสีด โดยใช้เอนไซม์ชนิด Novozym<sup>®</sup> 435 กรดสเทียริกและไฮโดรเจนเปอร์ออกไซด์ในการเกิดอิพ็อกซิเดชัน

Mohamed และคณะ (2001) ได้ทำการสังเคราะห์ ESO ด้วยปฏิกิริยาอิพ็อกซิเดชัน จากการดักแด้ดิกและไฮโดรเจนเปอร์ออกไซด์ความเข้มข้น 30% ใช้ Dowex<sup>®</sup> 50 W-8X เป็นตัวเร่งปฏิกิริยา จากนั้นให้ ESO ที่ได้ทำปฏิกิริยา กับเมธิลามีน ภายใต้บรรยายการเยื่อยที่อุณหภูมิ 130-140 °C เป็นเวลา 3-4 h โดยเอมีนที่เติมลงไปใน ESO นั้นจะใช้อัตราส่วนโดยไมล 4:1 ตามปริมาณหมู่อิพ็อกซิเดชัน จากการได้เตอร์ตัวยกรดไฮโดรโนร์มิกที่ละลายในกรดแดดีดิก พบว่า ปริมาณหมู่อิพ็อกซิเดชันเพิ่มขึ้น 6.5% เพื่อผลิตเป็นสารเคลือบผิวแบบ waterborne ซึ่งจะใช้น้ำแทนตัวทำละลายอินทรีย์ที่ระเหยง่าย ข้อดีคือไม่ก่อให้เกิดเป็นมลภาวะ ทาง่าย แห้งเร็ว ด้านท่านการกิดสนิมและราคายังไม่แพง

Meffert และ Kluth (1989) ได้จัดสิทธิบัตรในการดักแด้ดิรกลีเซอไรต์ โดยทำปฏิกิริยาเคมีเพื่อให้วางแนวอิพ็อกซิเดชันของ ESO เปิดออกเพื่อให้เกิดหมู่ฟังก์ชันที่มีข้าว เช่น หมู่อีเทอร์ หมู่ไฮดรอกซี โดยนำเอา ESO ที่ผลิตได้จากทางการค้าเป็นสารตั้งต้น

Eckwert และคณะ (1987) ได้จัดสิทธิบัตรการทำปฏิกิริยาอิพ็อกซิเดชันสารไฮดรอร์บอนที่ไม่อิมตัวด้วยกรดเปอร์แดดีก รวมทั้งได้ทำการทำปฏิกิริยาอิพ็อกซิเดชันน้ำมันถั่วเหลือง โดยการใช้กรดแดดีดิกทำปฏิกิริยา กับไฮโดรเจนเปอร์ออกไซด์ในน้ำ เพื่อให้เกิดกรดเปอร์แดดีกซึ่งจะเป็นตัวเข้าไปทำปฏิกิริยาอิพ็อกซิเดชันกับพันธะคู่บนไตรกลีเซอไรต์ ของน้ำมันถั่วเหลือง เกิดเป็นวงแหวนอิพ็อกซิเดชัน โดยการเกิดกรดเปอร์แดดีกจะเกิดในระหว่างการทำปฏิกิริยาอิพ็อกซิเดชัน ปริมาณวงแหวนอิพ็อกซิเดชันที่ได้ขึ้นอยู่กับสภาพการทดลองต่างๆ เช่น อุณหภูมิ เวลาของการทำปฏิกิริยา และบริเวณตัวทำปฏิกิริยา

## 2.6.2 งานวิจัยที่เกี่ยวข้องกับการขึ้นรูปพลาสติกจากน้ำมันถั่วเหลืองอิพ็อกซิเดชัน

Jin และ Park (2008) ศึกษาการเตรียมอิพ็อกซิเดชันจากบิสฟีนอลเอ (diglycidylether of bisphenol-A, DGEBA) ผสมกับ ESO ที่มีปริมาณหมู่อิพ็อกซิเดชัน 100 mol% เชื่อมขวางโมเลกุลโดยใช้ตัวเริ่มที่แตกตัวด้วยความร้อนชนิด บีน ชิลไพราร์บีนเมยาซ์ฟลูอโโรแอนดิโมเนท (benzyl pyrasilinium hexafluoroantimonate) พบว่าการผสมอิพ็อกซิเดชัน ระหว่าง ESO ในปริมาณ 40 wt% และ DGEBA จะให้สมบัติที่ดีที่สุดทั้งในด้านความเหนียวและการยึดติด

Liu และคณะ (2007) ได้ศึกษาการเตรียมคอมโพสิตจาก ESO ทางการค้าผสมกับอิพ็อกซิเดชันชนิด Epon<sup>®</sup> 828 ใช้แคลเซียมชัลเฟตเป็นไมโครไฟเบอร์เป็นเส้นใยเสริมแรง ขึ้นรูปโดยใช้สารเชื่อมขวางในกลุ่มเอมีนได้แก่ Jeffamine<sup>®</sup> D-230 Jeffamine<sup>®</sup> T-403 Jeffamine<sup>®</sup> ERD-148 ไดเอทิลลีนไตรเอมีน (diethylenetriamine, DETA) ไตรเอนทิลลีนเตตระมีนี (triethylenetetramine, TETA) และโพลีเอทิลลีนอิมีน (polyethylenimine) พบว่าการใช้สารเชื่อมขวางชนิด Jeffamine<sup>®</sup> ERD-148 จะให้สมบัติที่ดีที่สุด

Yue และคณะ (2007) ศึกษาการเตรียมและสมบัติของ ESO ที่เพิ่มความเหนียวด้วยฟีโนลิกเรซิน (phenolic resin) ขึ้นรูปโดยใช้น้ำมันถั่วเหลืองอิพ็อกซิเดชันทางการค้าเชื่อมขวางโมเลกุลโดยใช้สารในกลุ่มเอมีน

Xu และคณะ (2004) ได้ศึกษาสมบัติวิสโคอิเลสติกของวัสดุชีวภาพที่ได้จาก ESO โดยการควบคุมสารเชื่อมขวางโมเลกุล เริ่มจากการใช้ ESO ทางการค้า 100 g ผสมกับวัสดุคล้ายเจลชนิด Aerosil<sup>®</sup> R 805 ปริมาณ 13 g ใช้สารเชื่อมขวางโมเลกุล 2 ชนิดได้แก่ Jaffamine<sup>®</sup> EDR-148 และไตรเอนทิลลีนเตตระมีน (TETA) ใช้สัดส่วนการผสมระหว่าง ESO และสารเชื่อมขวางโมเลกุล เท่ากัน 1:1.08 หรือ 1:1.8 ของหมู่อิพ็อกซิเดชันต่อไฮโดรเจนของหมู่อะมิโนบนสารเชื่อมขวาง พบว่าการใช้ TETA เป็นสารเชื่อมขวางนั้นให้อุณหภูมิกลางแทรกซิชัน และสมบัติวิสโคอิเลสติกที่ดีกว่า Jaffamine<sup>®</sup> EDR-148

Zhu และคณะ (2004) ได้ศึกษาสมบัติเชิงกลของพลาสติกที่มีน้ำมันถั่วเหลืองดักแด้ดิรกลีเซอเรติก (epoxidized allyl soyate, EAS) และเมทิลซิลซอยอิพ็อกซิเดชัน (epoxidized methyl soyate, EMS)

ผสมกับอิพ็อกซี่เรซิน เชื่อมขาวโมเลกุลเพื่อให้มีความแข็งแรงมากขึ้น เป็นการเพิ่มมูลค่าให้กับน้ำมันถั่วเหลือง ทำการเตรียมเป็นระบบอิพ็อกซี่เรซินผสมระหว่างอิพ็อกซี่เรซินชนิด Shell Epon<sup>®</sup> 9500 กับ EAS ในสัดส่วนที่แตกต่างกันโดยใช้อุณหภูมิ 98.34 °C เป็นเวลา 1 h และทำการเชื่อมขาวที่อุณหภูมิ 177.79 °C เป็นเวลา 1.30 h สำหรับการเชื่อมขาวแบบ 1 ขั้นตอน ส่วนการเชื่อมขาวแบบ 2 ขั้นตอนมีการเตรียมพรีโพลิเมอร์จาก ESO, EAS และ EMS โดยทำปฏิกิริยากับดัวเชื่อมขาวที่ว่องไวสูงคือ พาราเอมีนไซโคล헥ซิลเมธาน (para-amine cyclohexylmethane) ใช้สัดส่วนของอิพ็อกซี่ต่อสารเชื่อมขาวเท่ากัน 10/4 โดยน้ำหนัก ที่อุณหภูมิ 177.79 °C ประมาณ 1 h และยังคงอยู่ในสภาพสาธารณะ ซึ่งพบว่าปริมาณของ ESO 10 wt% ทั้งสามชนิดที่ผสมอิพ็อกซี่เรซินชนิด Shell Epon<sup>®</sup> 9500 มีความแข็งแรงและมีสมบัติการติดต่อเพิ่มขึ้น และมีมอดุลัสสูงที่สุดเทียบกับสัดส่วนอื่นๆ สามารถนำไปประยุกต์ใช้ในการทำสีและสารเคลือบผิว

Raghavachar และคณะ (2000) ได้ทำการศึกษาการเชื่อมขาวโมเลกุลทางความร้อนแบบแคทไอออนิกของ ESO เพื่อใช้งานเคลือบผิว ใช้ ESO ทางการค้า (Viloflex<sup>®</sup> 7170) และ ESO ที่มีปริมาณอิพ็อกไซด์ 50% เป็นวัตถุติดน้ำมันขึ้นรูปเป็นแผ่นพิล์มร่วมกับอิพ็อกซี่เรซินทางการค้าหลายชนิดด้วยกันที่อุณหภูมิ 120 °C เป็นเวลา 12 min ใช้ตัวเร่งปฏิกิริยาในกลุ่มเอมีน

### 2.6.3 งานวิจัยที่เกี่ยวข้องกับการเตรียมพอลิเมอร์-นาโนคอมโพสิทจากน้ำมันถั่วเหลืองอิพ็อกซี่ไดซ์

Liu และ Erhan (2008) ศึกษาการเตรียมคอมโพสิทจากชีวภาพของ ESO และนาโนคอมโพสิท การศึกษานี้ได้ใช้อิพ็อกซี่เรซินชนิด 1,1,1-ทริสพารา-ไออกซิซิลเฟนนิลอะเทอเรอร์ (1,1,1-tris(*p*-hydroxyphenyl)ethane triglycidyl ether, THPE-GE) ปริมาณ 33 pph เป็นเมทริกซ์ร่วมสำหรับคอมโพสิทที่เสริมแรงด้วยเส้นไอลินิ สำหรับนาโนคอมโพสิทนั้นใช้ดินเหนียวปรับสภาพชนิด Cloisite<sup>®</sup> 30B ผสมกับน้ำมันถั่วเหลืองอิพ็อกซี่ไดซ์ พบว่าโครงสร้างของดินเหนียวปรับสภาพได้กระจายตัวในพอลิเมอร์แบบอินเตอร์คาเลชัน

Song และคณะ (2006) ได้ศึกษาการเตรียม วิเคราะห์โครงสร้างและสมบัติเชิงกลที่ได้จาก ESO ทางการค้าซึ่งมีปริมาณออกซีแอนออกซีเจน (oxirane oxygen) 7% ผสมกับดินเหนียวนาโนคอมโพสิทชนิด Cloisite<sup>®</sup> 30B ในปริมาณ 0, 5 และ 8 wt% ขึ้นรูปเป็นแผ่นในโอบลาสติกโดยใช้สารเชื่อมขาวโมเลกุลชนิด TETA จากการวิเคราะห์โครงสร้างพบว่าดินเหนียวปรับสภาพได้กระจายในพอลิเมอร์แบบอินเตอร์คาเลชัน

Zhu และ Woo (2006) ได้ทำการศึกษาการสังเคราะห์น้ำมันถั่วเหลืองด้วยแพรมेट्रามोเลกุลเพื่อผลิตนาโนคอมโพสิทที่มีความเป็นอิเล็กทริกิตี้จากการตัดแบร์โครงสร้างของน้ำมันถั่วเหลืองผ่านกระบวนการเมทานาโนไลซิส (methanolysis) และเดิมการลดอะคริลิกไดเป็นโอลีอิเล็กตริกเจลเมทิลอะเทอเรอร์ (arylated oleic methyl ester, AOME) ซึ่งใช้เป็นพอลิเมอร์ในคอมโพสิทนี้ ส่วนดินเหนียวปรับสภาพที่ใช้ในงานวิจัยนี้ได้แก่ Cloisite<sup>®</sup> 15A Cloisite<sup>®</sup> 20A Cloisite<sup>®</sup> 93A และ Cloisite<sup>®</sup> 30B พบว่าการใช้ Cloisite<sup>®</sup> 30B สามารถ分散และเข้ากันได้กับ AOME ได้ดีที่สุด การใช้ดินเหนียวปรับสภาพในปริมาณ 1-10 wt% สามารถให้โครงสร้างของนาโนคอมโพสิทแบบอินเตอร์คาเลชัน

Liu และคณะ (2005) ทำการศึกษาการเตรียม วิเคราะห์โครงสร้างและสมบัติเชิงกลที่ได้จาก ESO ทางการค้าที่มีปริมาณออกซีแอนออกซีเจน 7% ผสมกับดินเหนียวนาโนคอมโพสิทชนิด Cloisite<sup>®</sup> 30 ใช้เป็นสารตัวเติมในปริมาณ 5.0, 8.0 และ 10.0 wt% อุณหภูมิในการผสม 60 °C นาน 2 h ตามด้วยปล่อยแก๊สที่เกิดขึ้นนาน 30 min ใส่สารเชื่อมขาวชนิด TETA ที่อุณหภูมิห้อง จำนวนของผสม 15 min ปล่อยแก๊สที่อุณหภูมิ 60 °C เป็นเวลา 15 min ทำให้เป็นพิล์มใสเริ่มอบในตู้อบที่อุณหภูมิ 60 °C นาน 16 h และที่อุณหภูมิ 120 °C นาน 48 h ตรวจสอบการกระจายของชั้นดินเหนียว พบว่าชั้นดินเหนียวกระจายได้แบบอินเตอร์คาเลชัน จากการวิเคราะห์ด้วยเครื่องดิฟเฟอโรนเซียลสแกนนิ่งคัลลอรีมิเตอร์ (DSC) ให้ค่าอุณหภูมิกลางแทรกซิชัน ( $T_g$ ) เท่ากับ 7.5 °C จากการวิเคราะห์ด้วยการศึกษาสมบัติเชิงกลแบบพลวัต ให้ค่าอุณหภูมิ  $T_g$  เท่ากับ 20 °C และพบว่าปริมาณดินเหนียว 8.0 wt% และปริมาณ TETA ตามอัตราส่วนของหมู่อิพ็อกซี่/ไฮดรเจน (TETA) เท่ากับ 1:1.37 ให้ค่ามอดุลัสและความเค้น ณ จุดขาดเท่ากับ 3.64 และ 4.54 MPa ตามลำดับ และมีค่าความเครียด ณ จุดขาดเท่ากับ 151% ซึ่งเป็นค่าที่ดีที่สุดเปรียบเทียบกับสัดส่วนอื่นๆ

Miyagawa และคณะ (2005) ได้ทำการศึกษาการนำพอลิเมอร์จากน้ำมันพืชที่ถูกดัดแปลงญี่ปุ่นชัน (functionalized vegetable oil, FVO) ได้แก่น้ำมันลินสีดอพ็อกซิไดร์ (epoxidized linseed oil, ELO) และน้ำมันลินสีดเดกอกทิลอิพ็อกซิไซด์ (octyl epoxide linseedate, OEL) มีองค์ประกอบหลักเป็นอิพ็อกซิเรซิโนบิสฟีโนลเอฟ (diglycidylether of bisphenol-F, DGEBF) ที่ได้ทำการเชื่อมขวางโดยใช้แอนไฮดร์ชันิด MTHPA และตัวเร่งปฏิกิริยาชนิด 1-เมทิลอะมิโนไซด์ (DY® 070) ใช้สัดส่วน FVO ผสมกับ DGEBF ต่อ DY® 070 เท่ากับ 100:1.00 ผสมกับดินเหนียวมอนกอริโลไนท์เซนิต Cloisite® 30 B ในปริมาณ 5 wt% โดยเริ่มจากการกระจายตัวในเหนียวโดยใช้เทคนิคโซนิเคชัน 60 watts เป็นเวลา 2 h ของดินเหนียว 1 kg ในอัตรา 30 l จากนั้นนำ FVO และ DGEBF ผสมลงไป กวนด้วยแท่งแม่เหล็กเป็นเวลาหลายชั่วโมง ของของผสมในเครื่องอบสูญญากาศที่อุณหภูมิ 100°C นาน 24 h เพื่อเอาอะซิโตนออก จากนั้นเริ่มทำการเชื่อมขวางโนเมเลกูลโดยใช้แอนไฮดร์และตัวเร่งปฏิกิริยาโดยทำการเชื่อมขวางที่อุณหภูมิ 80°C เป็นเวลา 4 h ตามด้วยอุณหภูมิ 160°C เป็นเวลา 2 h พบร่วมกับความสามารถให้ค่ามอดุลัส  $T_g$  รวมทั้งค่าอุณหภูมิโก่งตัวด้วยความร้อน (heat distortion temperature, HDT) สูงกว่าเมื่อเปรียบเทียบกับการใช้สารเชื่อมขวางชนิดอเมริกัน

Uyama และคณะ (2004) ศึกษาการสังเคราะห์พอลิเมอร์สมาร์ทวิ่งสารอินทรีย์จากน้ำมันถั่วเหลืองอิพ็อกซิไดร์ (ESO) และน้ำมันลินสีดอพ็อกซิไดร์ (ELO) ผสมกับสารอนินทรีย์ คือ ดินเหนียวมอนกอริโลไนท์ Kunipia®-F 3 ชนิดมาเปรียบเทียบกัน ได้แก่  $C_{12}$ -Mont.,  $C_{18}$ -Mont., และ  $C_{11}CO_2H$ -Mont. พบร่วมกับดินเหนียวชนิด  $C_{11}CO_2H$ -Mont. ในปริมาณ 10 wt% ให้สมบัติเชิงกลที่ดีที่สุด

#### 2.6.4 งานวิจัยที่เกี่ยวข้องกับการใช้งานของน้ำมันถั่วเหลืองอิพ็อกซิไดร์

Holser (2008) ได้ทำการเตรียมอิพ็อกซิไดร์เมทธิลเอสเทอร์ (epoxidized methyl ester) โดยผ่านกระบวนการกรานาเอกสาริฟิเคชันของน้ำมันถั่วเหลืองอิพ็อกซิไดร์เป็นเวลา 10 min ที่อุณหภูมิ 50°C โดยไม่มีการสูญเสียหมู่อิพ็อกซี เพื่อต้องการนำไปใช้เป็นสารตั้งต้นในอุตสาหกรรมเกี่ยวกับสารตัวเดิมในน้ำมันเชื้อเพลิง สารลดแรงดึงดูด และเป็นการสนับสนุนการพัฒนาผลิตภัณฑ์จากชีวภาพเป็นหลักอีกด้วย

Lathi และคณะ (2007) ศึกษาระบวนการใหม่สำหรับการผลิตสารหล่อลื่นที่ย่อยสลายได้ทางชีวภาพจาก ESO โดยมีจุดไหลเท (pour point) ต่ำ ซึ่งในกระบวนการผลิตจะเกี่ยวข้องกับ 2 ขั้นตอนคือ ปฏิกิริยาการเปิดวงแหวนด้วยแอลกอฮอล์ 3 ชนิด ได้แก่ บิวทานอล (*n*-butanol) ไอโซเอมิลแอลกอฮอล์ (iso-amyl alcohol) และ เอทิลิเซกซาโนล (2-ethylhexanol) ตามด้วยกระบวนการกรานาเอกสาริฟิเคชันของหมู่ไฮดรอกซิที่ได้ในกระบวนการแรกโดยทำปฏิกิริยากับแอซีติกแอนไฮดร์ที่ได้ตัวเร่งปฏิกิริยาชนิด Amberlyst® 15 ในปฏิกิริยาการเปิดวงแหวนโดยใช้แอลกอฮอล์ทั้งสามชนิดนั้นใช้ตัวเร่งปฏิกิริยาชนิดเดียวกัน วิเคราะห์ผลิตภัณฑ์ที่ได้โดยใช้เทคนิคทางสเปคโทรสโคปี จุดไหลเทที่ได้จากผลิตภัณฑ์น้อยกว่า -5°C

Hwang และ Erhan (2006) ได้ศึกษาการผลิตสารหล่อลื่นที่เป็นมิตรต่อสิ่งแวดล้อมและมีเสถียรภาพต่อปฏิกิริยาออกซิเดชัน ใช้ ESO ประกอบด้วยปริมาณอิพ็อกซิไดร์ 100 mol% เป็นสารตั้งต้นในกระบวนการเปิดวงแหวนด้วยแอลกอฮอล์เจอร์เบท (Guerbet alcohol) ที่อุณหภูมิ 90°C ในสภาพกรดโดยการเติมกรดซัลฟิวริกเข้มข้นประมาณ 40 หยดวิเคราะห์ผลิตภัณฑ์ที่ได้โดยใช้เทคนิคทางสเปคโทรสโคปี จุดไหลเทที่ได้จากผลิตภัณฑ์น้อยกว่า -48°C

Pelletier และคณะ (2006) ได้ทำการดัดแปลง ESO ให้เป็นน้ำมันอะคริเลท (acrylated oil, AESO) ที่มีหมู่อะคริลิคเจลี่ 5 หมู่ต่อไตรกลีเซอไรด์ 1 โมเลกุลโดยปฏิกิริยาอะคริเลชัน (acrylation) เริ่มจากการนำ ESO ที่มีหมู่อิพ็อกซี 4.9 หมู่ต่อไตรกลีเซอไรด์ 1 โมเลกุล มาเป็นสารตั้งต้นในปริมาณ 10 g ละลายในคลอโรฟอร์ม 10 g ในขนาดก้อนกลม 250 ml รีฟลักร์และกวนภายในตัวแก๊สในโตรเจนผสมกับกรดอะคริลิก 100 g และไฮดรอกซิโนน 1 g จากนั้นฉ่ายรังสีในช่วงใกล้ญูวีให้แก่ AESO จนกล้ายเป็นอนุมูลอิสระที่แตกตัวได้โดยใช้แสง โดยตัวเริ่มที่แตกตัวด้วยแสงที่นำมาช่วยเสริมปฏิกิริยาการเชื่อมขวางของ AESO ได้แก่ Darocure® 1173, Irgacure® 184 และ Irgacure® 651 โดยการนำ AESO เจือจางด้วยเมทิลีน คลอไรด์ 50% w/w ใส่ลงในเซลล์ ฉายแสงญูวี ( $\lambda > 280$  nm) จากหลอดประทุมดันกลางๆ ซึ่งวิธีการคล้ายกันนี้จะใช้ในอุตสาหกรรมสารเคลือบผิว ส่วนตัวทำละลายและรีโซเจนต์ต่างๆ จากทางการค้าจะใช้เกรดที่มี

ความบริสุทธิ์สูง น้ำมันเหล่านี้ตอบสนองต่อกระบวนการการผลิตเมื่อใช้ชันด้วยแสงอย่างรวดเร็ว ได้รับสูญเสียของการเชื่อมขวางภายในเวลาไม่กี่วินาที

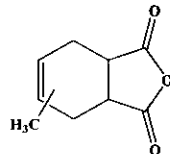
Adhvaryu และ Erhan (2005) การพัฒนาปรับปรุงสมบัติ ESO เพื่อใช้เป็นน้ำมันหล่อลื่นที่สามารถใช้งานได้ที่อุณหภูมิสูง ซึ่งน้ำมันถั่วเหลืองที่ใช้ได้จากทางการค้าและไม่ได้ผ่านกระบวนการการทำให้บริสุทธิ์แต่อย่างใด ได้ทำการดัดแปลง ESO ให้เป็นแอลกอฮอล์เชเทอเรทไรอะซิลกลีเซอรอล (alkoxylated triacylglycerol) เพื่อบรรบปรุงคุณสมบัติของน้ำมันหล่อลื่น โดยการทำปฏิกิริยาระหว่าง ESO กับกรดเปอร์คลอริกรได้เป็นน้ำมันถั่วเหลืองไดไฮดรอกซิเลท (dihydroxylated soybean oil) หลังจากนั้นทำปฏิกิริยาต่อ กับเอகซ์โนอิกแอนไฮไดรต์ ในสัดส่วน 1:1 แล้วนำไปผสมกับพิรดีน นำไปทดสอบลักษณะและสมบัติที่ได้ต่อไป

Thames และ Yu (1999) ทำการเชื่อมขวางสารเคลือบผิวด้วยรังสียูวีในกระบวนการการผลิตเมื่อใช้ชันแบบแคทไอกอนิกจากน้ำมันพืชที่มีหมู่อิพ็อกไซด์เป็นองค์ประกอบคือน้ำมันพีชเวอร์โนเนีย (VO) และ ESO จากทางการค้า โดยน้ำหนักสมมูลของ VO และ ESO เท่ากับ 436.8 และ 223.7 g/mol ตามลำดับ ใช้ UVR<sup>®</sup> 6110 และ UVI<sup>®</sup> 6974 เป็นตัวเชื่อมขวาง และใช้ Tone Polyol<sup>®</sup> 0305 หรือสารประกอบโพลีไอกซ์โซลีนเป็นสารร่วมในการเชื่อมขวางด้วยยูวี ทำการทดสอบสมบัติของพิล์มที่ได้จากการส่วนผสมของน้ำมันพีชและตัวเชื่อมขวางในสัดส่วนต่างๆ กัน พบว่าสารเคลือบผิวที่ได้จากการผสมระหว่างน้ำมันพีชที่มีหมู่อิพ็อกไซด์ในสัดส่วน 10% กับตัวเชื่อมขวางมีการยึดติดที่ยอดเยี่ยม ทนต่อการกระแทกกระแทกได้ดี คงทนต่อรังสียูวี มีความมั่นคง ทนต่อการกัดกร่อน มีเสถียรภาพต่อแสงยูวีและต้านทานการเกิดสนิม แต่ถ้าเพิ่มปริมาณของน้ำมันจะทำให้ความแข็งลดลงและทนต่อแรงดึงได้น้อยลง

## บทที่ 3 วิธีวิจัย

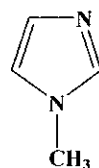
### 3.1 สารเคมี

- น้ำมันถั่วเหลืองสำหรับประกอบอาหารตราอุ่น ผลิตโดยบริษัท น้ำมันพีชไทย จำกัด (มหาชน),
- กรดแอกซิติกเข้มข้น (glacial acetic acid) น้ำหนักโมเลกุลเท่ากับ 60 g/mol ใช้เป็นตัวทำปฏิกิริยาอิพ็อกซิเดชัน ผลิตโดยบริษัท Labscan Asia Co. Ltd.
- ไฮโดรเจนเปอร์ออกไซต์เข้มข้น 30% น้ำหนักโมเลกุลเท่ากับ 34 g/mol สำหรับทำปฏิกิริยาอิพ็อกซิเดชันร่วมกับกรดแอกซิติกเข้มข้น ผลิตโดยบริษัท Merck Ltd.
- กรดซัลฟิริกเข้มข้น 96.1% น้ำหนักโมเลกุลเท่ากับ 98 g/mol ทำหน้าที่เป็นตัวเร่งปฏิกิริยาในปฏิกิริยาอิพ็อกซิเดชัน ผลิตโดยบริษัท Labscan Asia Co. Ltd.
- Amberlite® IR-120 (cation exchange resin) ทำหน้าที่เป็นตัวเร่งปฏิกิริยาในปฏิกิริยาอิพ็อกซิเดชัน ผลิตโดยบริษัท Sigma-Aldrich
- โซเดียมซัลเฟตแอนไฮดราต (sodium sulfate anhydrous) ทำหน้าที่ดูดความชื้น ผลิตโดยบริษัท Merck Ltd.
- น้ำมันถั่วเหลืองอิพ็อกซิไดซ์ททางการค้า (Vikoflex® 7170) มีปริมาณหมู่อิพ็อกไซด์ 100 mol% ผลิตโดยบริษัท Arkema Inc. ได้รับความอนุเคราะห์จากบริษัท ศรีเทพไทยเคมี จำกัด
- อีพ็อกซิเรชัน (YD® 128) ชนิด ไดกิลิซิเดล อีเทอร์ บิสฟีนอลเอ (diglycidyl ether of bisphenol A, DGEBA) ผลิตโดยบริษัท Aditya Birla Chemicals (Thailand) Ltd. จัดจำหน่ายโดย บริษัท ไทยคอมโพสิต จำกัด
- สารช่วยให้แข็งหรือสารเชื่อมขวางโมเลกุล (hardener agent, curing agent) เมทธิลเตตระไฮดร์ฟทาลิกแองไฮดราต (methyltetra hydrophthalic anhydride, MTHPA) จำหน่ายโดยบริษัท เฟิร์มชัพพลาสติก จำกัด เป็นของเหลวหนืด สีเหลืองใส น้ำหนักโมเลกุล 182.09 g/mol และมีโครงสร้างทางเคมีดังนี้

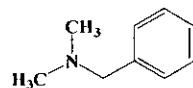


### 10. ตัวเร่งปฏิกิริยาการเชื่อมขวาง

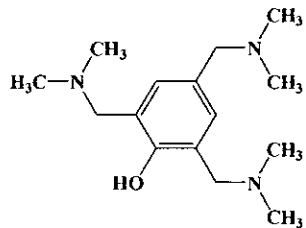
- 10.1 1-เมทธิลอะมิดาโซล (1-methylimidazole) ผลิตโดยบริษัท Sigma-Aldrich เป็นของเหลวสีเหลืองใส น้ำหนักโมเลกุล 82.05 g/mol และมีโครงสร้างทางเคมีดังนี้



- 10.2 เบนซิลไทด์เมทธิลเอมีน (benzylidimethylamine, BDMA) ผลิตโดยบริษัท Sigma-Aldrich น้ำหนักโมเลกุล 135.10 g/mol และมีโครงสร้างทางเคมีดังนี้



10.3 ไตรไดเมทิลอะมีโนเมทิลฟีนอล (2, 4, 6-trimethylaminomethyl phenol, DMP-30) ผลิตโดยบริษัท Sigma-Aldrich น้ำหนักโมเลกุล 195.14 g/mol และมีโครงสร้างทางเคมีดังนี้



### 11. สารเคมีที่ใช้สำหรับวิเคราะห์สมบัติทางเคมีของน้ำมันพืช

11.1 โพแทสเซียมไฮดรอกไซด์ ใช้สำหรับการไตเตรต์ ผลิตโดยบริษัท Guangdong Guanghua Chemical Factory Co., Ltd.

11.2 ฟีโนฟาราลีน ใช้เป็นอินดิเคเตอร์ ผลิตโดยบริษัท Asia Pacific Specialty Chemicals Ltd.

11.3 โซเดียมไทโอลัฟเฟต ใช้เป็นสารละลายมาตรฐานผลิตโดยบริษัท Asia Pacific Specialty Chemicals Ltd.

11.4 ไอโอดีน (Iodine) สำหรับไตเตรต์ ผลิตโดยบริษัท VWR International Ltd.

11.5 ไอโอดีนไตรคลอไรด์ (Iodine trichloride) ผลิตโดยบริษัท Sigma-Aldrich

12. ดินเหนียวมอนต์莫ริลโลไลท์ (montmorillonite) ที่ปรับสภาพโดยใช้สารลดแรงตึงผิวต่างกัน 3 ชนิด คือ ออกต๊ะเดกานิลไตรเมทธิลแอมโมเนียมคลอไรด์ (octadecyl trimethyl ammonium chloride) ได้ออกต๊ะเดกานิลไตรเมทธิลแอมโมเนียมคลอไรด์ (dioctadecyl trimethyl ammonium chloride) และ ไตรเมทิลอลกิลแอมโมเนียม (trimethylalkyl (C14-20) ammonium bentonite ดินเหนียวปรับสภาพชนิดแรกให้ชื่อย่อว่า OTAC ส่วนชนิดที่สองเรียกชื่อย่อว่า DTAC หั้งสองชนิดนี้สังเคราะห์โดยมีช่วยศาสตราจารย์ ดร.เติมศักดิ์ ศรีคิรินทร์ ดินเหนียวชนิดที่สามเป็นผลิตภัณฑ์ทำการค้า ชื่อ Bengel® 434 ผลิตโดยบริษัท Elementis Specialties มีการใช้ดินเหนียวปรับสภาพชนิดอื่นๆด้วย ได้แก่ Bengel® 434, Bentone® SD1, Bentone® SD2, Bentone® SD3, Bentone® 34, Bentone® 38 ดินเหนียวปรับสภาพทั้งหมดนี้ได้รับความอนุเคราะห์จาก ผศ.ดร.เติมศักดิ์ ศรีคิรินทร์

13. ตัวทำละลาย ผลิตโดยบริษัท Labscan Asia Co. Ltd. มี 4 ชนิด

13.1อะซีโตน (acetone) เกรดทางการค้า

13.2คลอโรฟอร์ม (chloroform) เกรดสำหรับวิเคราะห์ในห้องแลป

13.3เอทานอล (ethanol) เกรดบริสุทธิ์

13.4กรดไฮโดรคลอริก (hydrochloric acid) เกรดสำหรับวิเคราะห์ในห้องแลป

14. ดีเทอเรตเตตคลอโรฟอร์ม (deuterated chloroform) เป็นตัวทำละลายสำหรับวิเคราะห์ด้วยเครื่องนิวเคลียร์แมกเนติกเรโซแนนท์สเปกโตรสโคปี ผลิตโดยบริษัท SP Industries Company

### 3.2 อุปกรณ์และเครื่องมือ

#### 3.2.1 อุปกรณ์

- ขวดทำปฏิกิริยา 3 คอ ขนาด 1000 ml
- เครื่องกวานสารแบบให้ความร้อน ผลิตโดยบริษัท Velp Scientifica
- คอนденเซอร์ (condenser)
- กระดาษลิตมัส
- โถดูดความชื้น
- ขวดก้นกลม ขนาด 100 ml

7. บีเป็ต ขนาด 10 และ 20 ml
8. บิวเรต ขนาด 25 ml
9. ขวดวัสดุปริมาตร ขนาด 10, 50 และ 100 ml
10. บีคเกอร์ ขนาด 25, 50, 100, 500 และ 1000 ml
11. ขวดรูปซมพูด ขนาด 100 และ 500 ml
12. เบสิน (basin) ขนาด 1000 ml
13. เทอร์โมมิเตอร์ (thermometer) ขนาด 100°C
14. เครื่องวัดความหนา ความละเอียด 0.01 mm ผลิตโดย Teclock® Co., Ltd. รุ่น SM-112
15. เครื่องชั่ง ความละเอียด 2 ตำแหน่ง และ 4 ตำแหน่ง ผลิตโดย Mettler Co., Ltd.

### 3.2.2 เครื่องมือ

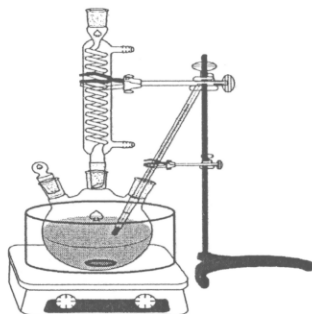
1. เครื่องตัดชิ้นทดสอบรูปดัมเบลล์ ตามมาตรฐาน ASTM D412 die C
2. เครื่องทดสอบสมบัติแรงดึง (universal testing machine) ผลิตโดยบริษัท Instron รุ่น Model 5569
3. เครื่องนิวเคลียร์แมกเนติกเรโซแนนซ์สเปกโถร์สโกปี (nucler magnetic resonance spectroscopy, NMR) ความถี่ 500 MHz ผลิตโดยบริษัท รุ่น Model UNITY INOVA
4. กล้องจุลทรรศน์อิเล็กตรอนแบบส่องผ่าน (transmission electron microscope, TEM) ผลิตโดยบริษัท JEOL รุ่น JEM-2010
5. เครื่องตรวจสอบการกระเจิงด้วยรังสีเอกซ์ (X-ray diffractometer, XRD) ผลิตโดยบริษัท Bruker รุ่น D8 หลอด รังสีเอกซ์ชนิด Cu K<sub>α</sub> ความยาวคลื่นเท่ากับ 1.5406 Å
6. เครื่องเทอร์โมกราวิเมตตริก (thermo gravimetric analyzer, TGA) ผลิตโดยบริษัท Perkin Elmer รุ่น TGA7
7. เครื่องวิเคราะห์ทางกลศาสตร์ความร้อนเชิงพลวัต (dynamic mechanical thermal analyzer, DMTA) ผลิตโดยบริษัท Rheometric Scientific รุ่น DMTA V
8. เครื่องดิฟเฟอเร้นเชียลสแกนningคัลอริมิเตอร์ (differential scanning calorimeter, DSC) ผลิตโดย บริษัท Perkin Elmer รุ่น DSC7
9. เครื่องฟูรีเยร์ทราโนสฟอร์มอินฟราเรดสเปกโถร์ Fourier transform infrared spectrophotometer, FTIR) ผลิตโดยบริษัท Bruker รุ่น EQUINOK 55
10. เครื่องวัดความหนืดบุคฟิลล์ ผลิตโดยบริษัท Brookfield Engineering Laboratory รุ่น model LVF 92462
11. เครื่องแก๊สโครมาโตกราฟ (Gas chromatograph) ผลิตโดยบริษัท HP รุ่น 6850
12. ตู้อบสุญญากาศ ผลิตโดยบริษัท Precision Co., Ltd. รุ่น Model 29
13. เครื่องไขนีเดชัน ขนาดความถี่ 60 kHz ผลิตโดยสถาบันวิจัยวิทยาศาสตร์และเทคโนโลยีแห่งประเทศไทย
14. ตู้อบความร้อน ผลิตโดยบริษัท MEMMERT Co., Ltd. รุ่น UFB 400
15. เครื่องระเหยตัวทำละลายแบบหมุน (Evaporator) รุ่น BUCHI Rotavapor จัดจำหน่ายโดย บริษัท เก. เอส. พี. อินเตอร์คอม จำกัด

### 3.3 การทดลอง

#### 3.3.1 การสังเคราะห์น้ำมันถั่วเหลืองอิพ็อกซิไดซ์

ชั้นนำมันถั่วเหลืองเดิมลงในขวดปฏิกิริยาชนิด 3 คอ แล้วจดอุปกรณ์ตามรูปที่ 3.1 ปรับให้ได้อุณหภูมิตามที่ต้องการ เดิมกรดแอคิทิกลงในขวดปฏิกิริยาที่มีน้ำมันถั่วเหลืองอยู่ กระบวนการที่กำหนด แล้วค่อยๆ หยดไฮโดรเจน เปอร์ออกไซด์ตามปริมาณที่กำหนดลงไปช้าๆ สารเคมีที่ใช้จะไม่มีการเจือจางด้วยน้ำ เมื่อครบเวลาสังเคราะห์ตามที่

กำหนด หยุดปฏิกริยาโดยการหล่อเย็นขาดปฏิกริยา จะได้สารละลายน้ำมันที่มีการแยกชั้นระหว่างชั้นน้ำมัน (ชั้นบน) และชั้นน้ำ (ชั้นล่าง) แยกชั้นน้ำออกไป เดิมน้ำกลั่นลงไปในน้ำมันอิพ็อกซิไดซ์ที่เตรียมได้เพื่อกำจัดกรดที่ตกค้างออกไป ทำการล้างหลายๆ ครั้ง จนกระทั่งน้ำมันอิพ็อกซิไดซ์มีลักษณะเป็นกลาง (ค่า pH ประมาณ 7) โดยตรวจสอบด้วยกระดาษลิตมัส แยกน้ำกลั่นออกจากน้ำมันอิพ็อกซิไดซ์ เดิม Na<sub>2</sub>(SO<sub>4</sub>) anhydrous ลงในน้ำมันถ้วนเหลืองอิพ็อกซิไดซ์เพื่อดูดซับน้ำกลั่นที่ตกค้าง ทำการกรองเพื่อยกน้ำมันถ้วนเหลืองอิพ็อกซิไดซ์ออกมานานั้นนำไปวิเคราะห์หาปริมาณหมู่อิพ็อกไซด์ ด้วยการไดเตรตด้วยกรดบอร์บิกและวิเคราะห์ด้วยเครื่องนิวเคลียร์แมกเนติกเรโซแนนท์สเปกโตรสโคปี (<sup>1</sup>H-NMR) ตรวจสอบการปราศจากของหมู่อิพ็อกไซด์ด้วยเครื่อง FTIR



รูปที่ 3.1 ภาพแสดงอุปกรณ์การสังเคราะห์น้ำมันถ้วนเหลืองอิพ็อกซิไดซ์

ตัวแปรในการทดลองได้แก่ ปริมาณกรดแอซิติก ปริมาณไฮโดรเจนเปอร์ออกไซด์ ปริมาณกรดซัลฟิวริกปริมาณ Amberlite® อุณหภูมิและระยะเวลาในการสังเคราะห์ ปฏิกริยาอิพ็อกซิเดชันทำให้พันธะคู่ของไตรกิโซโรเจดในน้ำมันพืชเปลี่ยนเป็นวงแหวนอิพ็อกไซด์ ซึ่งปฏิกริยาจะเกิดผ่านกรดเปอร์แอซิติก การเตรียมกรดเปอร์แอซิติกทำได้สองทาง คือ การสังเคราะห์มาก่อนแล้วเติมลงไปในน้ำมันถ้วนเหลือง หรือการสังเคราะห์ภายในน้ำมันถ้วนเหลืองโดยเรียกเทคนิคนี้ว่า “in situ epoxidation” คือทำให้เกิดกรดเปอร์แอซิติคระหว่างการเกิดปฏิกริยาอิพ็อกซิเดชันในน้ำมันถ้วนเหลือง โดยโครงการวิจัยนี้เลือกใช้เทคนิคนี้ เพราะสะดวก รวดเร็ว และเป็นที่นิยมในอุสาหกรรม

ปริมาณสารเคมีที่ใช้ระบุหน่วยเป็น pph (part per hundred) ซึ่งเป็นหน่วยที่ใช้ต่อน้ำหนักที่ใช้ต่อน้ำหนักร้อยส่วนของน้ำมันถ้วนเหลือง มีการใช้ชื่อย่อ “น้ำมันถ้วนเหลืองอิพ็อกซิไดซ์” ดังนี้ ESO หมายถึงน้ำมันถ้วนเหลืองอิพ็อกซิไดซ์ ESO40 หมายถึงน้ำมันถ้วนเหลืองอิพ็อกซิไดซ์ที่มีปริมาณอิพ็อกซิเดชัน 40 mol% และ ESO100 หมายถึงน้ำมันถ้วนเหลืองอิพ็อกซิไดซ์ที่มีปริมาณอิพ็อกซิเดชัน 40 mol%

### 3.3.2 วิธีการวิเคราะห์หาปริมาณหมู่อิพ็อกไซด์ในน้ำมันถ้วนเหลือง

#### 3.3.2.1 การหาปริมาณอิพ็อกซิไดซ์ด้วยเครื่องนิวเคลียร์แมกเนติกเรโซแนนท์สเปกโตรสโคปี (<sup>1</sup>H-NMR และ <sup>13</sup>C-NMR)

นำน้ำมันถ้วนเหลืองอิพ็อกซิไดซ์ปริมาณ 30 mg ละลายด้วยตัวทำละลายดิวเทอเรทคลอโรฟอร์ม ในบีดเกอร์ขันнатเล็ก กวนจนสารละลายเป็นเนื้อดีกวักน ดูดสารละลายดังกล่าวใส่ในหลอดสำหรับทดสอบด้วยเครื่อง NMR ให้มีความสูงประมาณ 4 cm ทำการทดสอบโดยใช้ความถี่ 500 MHz และทำการอินทิเกรตสัดส่วนโปรตอนที่ตำแหน่งสัญญาณต่างๆ ที่ต้องการ คำนวณหาปริมาณหมู่อิพ็อกไซด์ เมื่อความเข้มของสัญญาณได้จากการอินทิเกรตความสูงของพีคที่คำนวณจากโปรแกรมของเครื่องมือ ซึ่งหลักการคำนวณคิดว่าปริมาณหมู่อิพ็อกไซด์ (epoxide content) ที่เกิดขึ้นเทียบเท่ากับปริมาณของพันธะคู่ที่หายไป ใช้สมการที่ 3.1 (Aursand et al., 1993) ในการคำนวณ

$$\text{Epoxide content (mol\%)} = \frac{I_{3.0-3.2}}{I_{3.0-3.2} + I_{5.3-5.6}} \times 100 \quad (3.1)$$

เมื่อ  $I_{3.0-3.2}$  คือ ความเข้มของสัญญาณที่ตำแหน่ง δ 3.0 - 3.2 ppm

I.5.3.6

คือ

แสดงปริมาณอิพ็อกไซด์โดยตัน

ความเข้มของสัญญาณที่ต่ำแทน  $\delta$  5.3 - 5.6 ppm

แสดงปริมาณโดยตันพันธุ์

### 3.3.3.2 การติดเตอร์ชันด้วยกรดบอร์มิก

ซึ่งนำมันเนรีามา 0.5 g ในบีกเกอร์ ละลายด้วยคลอโรฟอร์ม 40 ml ได้สารละลายที่มีความเข้มข้นประมาณ 1% ปีเปตสารละลายมา 10 ml หยดอินดิเคเตอร์ (Crystal Violet /AcOH) 2 หยด สารละลายจะเปลี่ยนเป็นสีน้ำเงินม่วง ทำการติดเตอร์ด้วยสารละลายกรดบอร์มิก (HBr/AcOH) ที่ทำการหาความเข้มข้นที่แน่นอนแล้ว (0.1 M) ขณะที่ติดเตอร์กวนสารละลายด้วยแท่งแม่เหล็กตลอดเวลาจนถึงจุดยุติ สารละลายจะเปลี่ยนเป็นสีฟ้าเขียว (สีของสารละลายจะต้องคงที่นานกว่า 30 sec) ทำการบันทึกปริมาตรของสารละลายกรดบอร์มิกที่ใช้ไป ทำการทดลองซ้ำ เพื่อให้ได้ผล 3 ครั้ง ต่อตัวอย่าง หาค่าเฉลี่ยของปริมาตรสารละลายกรดบอร์มิกเพื่อคำนวณหาเปอร์เซ็นต์อิพ็อกไซด์ ต่อไป กรดบอร์มิกจะทำปฏิกิริยา กับหมู่อิพ็อกซี่ โดยทำให้วางแห้งบนอิพ็อกซี่เปิดออกจะได้เป็น C-OH และ C-Br ดังนั้น ปริมาตรของกรดบอร์มิกที่ใช้ไปจึงสามารถนำไปคำนวณย้อนกลับหาปริมาณหมู่อิพ็อกซี่ได้ การหาปริมาณอิพ็อกไซด์นั้น ทำได้โดยเทียบกับจำนวนพันธุ์ของน้ำมันถั่วเหลือง ซึ่งอ้างอิงน้ำหนักไม่เลกุลของน้ำมันถั่วเหลืองที่มีพันธุ์ในโครงสร้างไตรกลีเซอโรไรด์เท่ากับ 4.6 พันธุ์ และกำหนดให้น้ำหนักไม่เลกุลของน้ำมันถั่วเหลืองเท่ากับ 871 g/mol (Lu et al., 2004) การหาปริมาณหมู่อิพ็อกไซด์ใน ESO ด้วยกรดบอร์มิกนี้ ใช้วิธีการเดียวกันกับการติดเตอร์ด้วยกรดบอร์มิก เพื่อหาปริมาณอิพ็อกไซด์ในยางธรรมชาติอิพ็อกซี่ได้

### 3.3.3 การวิเคราะห์ลักษณะเฉพาะของน้ำมันถั่วเหลืองก่อนและหลังปฏิกิริยาอิพ็อกซิเดชัน

ทำการวิเคราะห์ลักษณะเฉพาะของน้ำมันถั่วเหลือง น้ำมันถั่วเหลืองอิพ็อกซี่ไดซ์ทางการค้า (ESO100) และ น้ำมันถั่วเหลืองอิพ็อกซี่ไดซ์ที่สังเคราะห์ได้ (ESO40) ดังรายละเอียดการวิเคราะห์ต่อไปนี้

#### 3.3.3.1 ความถ่วงจำเพาะของวัตถุ (specific gravity)

ความถ่วงจำเพาะเป็นอัตราส่วนเปรียบเทียบระหว่างค่าความหนาแน่นของวัตถุกับค่าความหนาแน่นของของไหลมาตรฐาน ซึ่งของไหลมาตรฐานที่ใช้ได้แก่น้ำ โดยที่น้ำมีความหนาแน่น  $1 \text{ g/cm}^3$  ดังนั้น ค่าความถ่วงจำเพาะของวัตถุใดๆ ที่ใช้ค่าความหนาแน่นของน้ำเป็นของไหลมาตรฐานในการเปรียบเทียบจะมีค่าใกล้เคียงที่สุด หรือถือได้ว่า เท่ากับค่าความหนาแน่นของวัตถุนั้นๆ ค่าความหนาแน่นที่ได้จากการทดสอบ จึงเท่ากับค่าความถ่วงจำเพาะ เนื่องจาก ตัวอย่างที่ต้องการทดสอบเป็นของเหลวจึงสามารถหาค่าความถ่วงจำเพาะโดยใช้ไฮดรอมิเตอร์ (Hydrometer) ตาม มาตรฐานทดสอบ ASTM D1298 โดยจุ่มไฮดรอมิเตอร์ลงในของเหลวที่ต้องการวัดค่าความหนาแน่น ปล่อยให้ ไฮดรอมิเตอร์จมลึกลงในของเหลวจนกระทั่งหยุดนิ่ง อ่านค่าความหนาแน่นจากระดับตัวเลขบนแท่งไฮดรอมิเตอร์

#### 3.3.3.2 ค่ากรด (acid value)

ค่ากรดเป็นจำนวน mg ของโพแทสเซียมไฮดรอกไซด์ที่ต้องใช้ในการทำให้กรดอิสระเป็นกลางในน้ำมัน หนัก 1 g บ่งบอกปริมาณของกรดอิสระที่มีในน้ำมัน มีวิธีการวิเคราะห์ตามมาตรฐาน ASTM D1639 ดังนี้คือ ซึ่งน้ำมัน ตัวอย่างให้มีน้ำหนักที่แน่นอน นำไปละลายในตัวทำละลายที่เป็นกลาง (เอธิลแอลกอฮอล์) นำไปติดเตอร์กับสารละลาย มาตรฐานโพแทสเซียมไฮดรอกไซด์ที่มีความเข้มข้น 0.1 M (0.1 N KOH) ใช้ฟิล์ฟกาลีนเป็นอินดิเคเตอร์จนได้ สารละลายสีชมพู นำปริมาตรของสารละลายโพแทสเซียมไฮดรอกไซด์ที่ใช้ในการติดเตอร์มาคำนวณหาค่าของกรดได้ โดยใช้สูตรดังแสดงในสมการที่ 3.2

$$\text{acid value} = \frac{56.1 \times N \times V}{W} \quad (3.2)$$

โดยที่  $V$  = ปริมาตรโพแทสเซียมไฮดรอกไซด์ (ml)

N	=	ความเข้มข้นของโพแทสเซียมไอก์โรกไซด์ (M)
W	=	น้ำหนักน้ำมัน (g)
56.1	=	น้ำหนักโมเลกุลของโพแทสเซียมไอก์โรกไซด์ (g/mol)

### 3.3.3.3 ค่าสปอนนิฟิเคชัน (saponification value)

ค่าสปอนนิฟิเคชันเป็นค่าบ่งชี้ขนาดของโมเลกุลหรือน้ำหนักโมเลกุลของกรดไขมันที่เป็นองค์ประกอบในโมเลกุลของน้ำมัน ถ้าค่าสปอนนิฟิเคชันสูงแสดงว่ากรดไขมันที่เป็นองค์ประกอบในโมเลกุลของไตรกลีเซอไรด์มีน้ำหนักโมเลกุลต่ำ น้ำมันที่มีค่าสปอนนิฟิเคชันสูงจะมีโอกาสเกิดการเหม็นหืนแบบ hydrolytic rancidity มา ค่าสปอนนิฟิเคชันจะรายงานเป็นจำนวนมิลลิกรัมของโพแทสเซียมไอก์โรกไซด์ที่ต้องใช้ในการเกิดปฏิกิริยา สปอนนิฟิเคชันในน้ำมันหนัก 1 g มีวิธีวิเคราะห์ตามมาตรฐาน ASTM D1962 ดังนี้ ซึ้งน้ำมันตัวอย่างที่ทราบน้ำหนักที่แน่นอนใส่ในขวดปฏิกิริยาขนาด 250 ml เติมสารละลายแอลกออลิกโพแทสเซียมไอก์โรกไซด์ปริมาณ 50 ml ทำการ reflux เป็นเวลา 30 min ในอ่างน้ำเดือด กวนด้วยแท่งแม่เหล็กตลอดเวลา เมื่อครบ 30 min แล้วทิ้งให้เย็น นำมาตัดร่องกับสารละลายกรดไฮโดรคลอริก (Hydrochloric acid) ความเข้มข้น 0.5 M โดยใช้ฟันอฟทากีน 2-3 หยด เป็นอินดิเคเตอร์

คำนวณหาค่าสปอนนิฟิเคชันตามสมการที่ 3.3

$$\text{saponification value} = \frac{(B - V) \times N \times 56.1}{W} \quad (3.3)$$

โดยที่	B	=	ปริมาตรกรดที่ใช้ในการตัดร่องกับ blank (ml)
	V	=	ปริมาตรกรดที่ใช้ในการตัดร่องกับน้ำมัน (ml)
	N	=	ความเข้มข้นของโพแทสเซียมไอก์โรกไซด์ (M)
	W	=	น้ำหนักน้ำมัน (g)
	56.1	=	น้ำหนักโมเลกุลโพแทสเซียมไอก์โรกไซด์ (g/mol)

### 3.3.3.4 ค่าไอโอดีน (Iodine number)

ค่าไอโอดีนเป็นตัวบ่งชี้ว่าน้ำมันมีกรดไขมันชนิดไม่อิ่มตัวเป็นองค์ประกอบอยู่ในโมเลกุลมากน้อยเพียงใด รายงานเป็นจำนวนกรัมของไอโอดีนที่ถูกคุกคิณโดยน้ำมันจำนวน 100 g ถ้าค่าไอโอดีนสูงแสดงว่ามีปริมาณกรดไขมันชนิดที่ไม่อิ่มตัวเป็นองค์ประกอบมากและจะเกิดการเหม็นหืนชนิด oxidative rancidity ได้ง่ายด้วย วิธีการวิเคราะห์ค่าไอโอดีนตามมาตรฐาน ASTM D1959 มีดังนี้ ซึ้งน้ำมัน 0.1 - 0.5 g ให้ได้น้ำหนักที่แน่นอน สลับในขวดขนาด 250 ml เติมคลอโรฟอร์ม 10 ml ตามด้วยสารละลาย Wijij's<sup>1</sup> บริมาณ 25 ml ตั้งทิ้งไว้ในที่มีอุณหภูมิ 1 h เขย่าเป็นครั้งคราว เติมสารละลายโพแทสเซียมไอโอดีด 20 ml เขย่าให้เข้ากันแล้วเติมน้ำกลัน 100 ml จะได้ไอโอดีนออกมา ได้เตรต์ไอโอดีนที่เหลือด้วยสารละลายมารัฐวิจัยเมืองไทยโซเดียมไทโอลซัลเฟต 0.1 N ทิ้งน้ำอ่อนสีเหลืองจางลง เติมน้ำแป้งเป็นอินดิเคเตอร์ 1-2 หยด ได้เตรตต่อจนเปลี่ยนสีจากสีน้ำเงินเป็นไม่มีสี นำปริมาตรของโซเดียมไทโอลซัลเฟตมาคำนวณหาค่าไอโอดีนดังสมการที่ 3.4

$$\text{Iodine value} = \frac{(B - V) \times N \times 126.9}{W} \times 100 \quad (3.4)$$

โดยที่	B	=	ปริมาตรสารละลายโซเดียมไทโอลซัลเฟตที่ใช้ในการตัดร่องกับ blank (ml)
--------	---	---	---

<sup>1</sup> สารละลาย Wijij's ประกอบด้วย 8 g ของไอโอดีนไตรคลอไรด์ (ICl) ที่ละลายในกรดแอกซิติก 200 ml ผสมกับ 9 g ของไอโอดีนที่ละลายใน กรดแอกซิติก 400 ml เจือจางให้มีปริมาตร 1 L ด้วยกรดแอกซิติก

V	=	ปริมาตรสารละลายน้ำมันในรูปไออกซ์เจนเฟตที่ใช้ในการตัดต่อกับน้ำมัน (ml)
N	=	ความเข้มข้นของโซเดียมไออกซ์เจนเฟต (M)
W	=	น้ำหนักน้ำมัน (g)
126.9	=	น้ำหนักโมเลกุลไออกไซดีน (g/mol)

### 3.3.3.5 การวิเคราะห์ไขมันอิสระ (free fatty acid value, FFA)

การวิเคราะห์ไขมันที่อยู่ในรูปอิสระจะถูกออกแบบให้ได้ง่ายกว่าที่อยู่ในรูปเอสเทอร์กับกลีเซอรอล วิธีการวิเคราะห์หาปริมาณการด้วยไขมันอิสระตามมาตรฐาน ASTM D5555 มีดังนี้ ชั้งตัวอย่างน้ำมัน 2 - 5 g (น้ำหนักที่แน่นอน) ละลายใน 95 % เอтиลแอลกอฮอล์ปริมาณ 100 ml นำมาตัดต่อกับสารละลายน้ำมัน 0.1 M ไฮดรอกไซด์ความเข้มข้น 0.1 M ใช้พ่อน้ำยาลีนเป็นอินดิเคเตอร์จนได้สารละลายน้ำมัน นำปริมาณของสารละลายน้ำมัน 0.1 M ไฮดรอกไซด์ที่ใช้ในการตัดต่อมาคำนวณหาปริมาณการด้วยไขมันอิสระดังสมการที่ 3.5

$$\% \text{FFA} (\text{as linoleic}) = \frac{V \times N \times M_w}{1000W} \times 100 \quad (3.5)$$

โดยที่	V	=	ปริมาตรโพแทสเซียมไฮดรอกไซด์ (ml)
	N	=	ความเข้มข้นของโพแทสเซียมไฮดรอกไซด์ (M)
	Mw	=	มวลโมเลกุลของกรดไลโนเลอิก
	W	=	น้ำหนักน้ำมัน (g)

### 3.3.3.6 การวิเคราะห์การด้วยไขมันเชิงปริมาณในน้ำมันถั่วเหลืองด้วยเทคนิคแก๊สโคมาร์โตรามิตรภาพ

การทดสอบอ้างอิงตามมาตรฐาน EN 14110:2003 ใช้สภาวะการทดสอบดังนี้คือ อุณหภูมิส่วนที่ผิดตัวอย่าง (Inlet temperature) เท่ากับ  $290^{\circ}\text{C}$  ใช้อุปกรณ์ตรวจจับชนิดไฟฟ้าไอออนไซซ์ชัน (Flame Ionization Detector) โดยอุณหภูมิของอุปกรณ์ตรวจจับ (Detector temperature) เท่ากับ  $300^{\circ}\text{C}$  อุณหภูมิของตัวเครื่อง (oven temperature) เริ่มต้นเท่ากับ  $210^{\circ}\text{C}$  ทิ้งไว้เป็นเวลา 12 min และเพิ่มอุณหภูมิเป็น  $250^{\circ}\text{C}$  ด้วยอัตรา  $20^{\circ}\text{C}/\text{min}$  และรักษาอุณหภูมิไว้ที่  $250^{\circ}\text{C}$  เป็นเวลา 8 min เลือกใช้คลอร์ฟลูออโร “Biodiesel for Fame” ขนาดความยาว 30 m ขนาดเส้นผ่าศูนย์กลางภายในคลอร์ฟลูออโร 320  $\mu\text{m}$  ความหนาของฟิล์มภายในคลอร์ฟลูออโรเท่ากับ 0.25  $\mu\text{m}$  รายงานผลในรูปปริมาณการด้วยไขมัน (mg/l) และเบอร์เซ็นต์การเบี่ยงเบนสัมพัทธ์ (%RSD) การวิเคราะห์ปริมาณการด้วยไขมันของน้ำมันพืชต่างๆ สามารถนำมาประยุกต์คำนวณหนักโมเลกุลโดยเฉลี่ยของไครกลีเซอไรด์หรือน้ำมันพืชได้ดังสมการที่ 3.6<sup>2</sup>

$$MW_{\text{triglyceride, avg}} = 3 \sum \left( \frac{\text{mol fraction} \times MW_{\text{FA}}}{100} \right) + MW_{\text{glycerol}} - 3 MW_{\text{H}_2\text{O}} \quad (3.6)$$

เมื่อ	$MW_{\text{triglyceride, avg}}$	=	น้ำหนักโมเลกุลเฉลี่ยของไครกลีเซอไรด์
	mol fraction	=	สัดส่วนโมลของกรดไขมัน
	$MW_{\text{FA}}$	=	น้ำหนักโมเลกุลเฉลี่ยของกรดไขมัน
	$MW_{\text{glycerol}}$	=	น้ำหนักโมเลกุลของกลีเซอรอล = 92 g/mol
	$MW_{\text{H}_2\text{O}}$	=	น้ำหนักโมเลกุลของน้ำ = 18 g/mol

<sup>2</sup> (<http://www.biodiesel.eng.psu.ac.th/webboard/view.php?2551>)

### 3.3.3.7 การตรวจสอบหมู่อิพ็อกซีด้วยรังสีอินฟราเรด

วิธีการทดสอบหมู่อิพ็อกซีด้วยเครื่องฟูเรียร์รานส์ฟอร์มินฟราเรดสเปกโตรไฟโตมิเตอร์ (fourier transform infrared spectrophotometer, FTIR) ทำโดยการหยดสารตัวอย่างที่ต้องการทดสอบลงบนเซลล์โซเดียมคลอไรด์ ประมาณ 1-2 หยด หรือในปริมาณที่น้อยที่สุด แล้วนำเซลล์ดังกล่าววางลงบนแท่นวางตัวอย่าง ในกรณีตัวอย่างเป็นแผ่นใบโพลิสติกที่มีความหนาประมาณ 2-3 mm ให้วางลงบนแท่นวางตัวอย่างแทนการใช้เซลล์โซเดียมคลอไรด์ นำแท่นวางตัวอย่างขึ้นสู่เครื่องทดสอบ ทำการทดสอบแบบแอกเกนนูอ็อตเตตโทโกรีเฟลคชันอินฟราเรด (attenuated total reflection infrared, ATR) โดยใช้ช่วงเลขคณิตในช่วง  $400\text{--}4000\text{ cm}^{-1}$  ใช้จำนวนที่สแกน 256 ครั้ง รายงานผลในรูปสเปกตรัมของชิ้นตัวอย่าง

### 3.3.3.8 การหาความตึงผิวของน้ำมันถั่วเหลืองอิพ็อกซีไดซ์ด้วยเครื่อง Tensionmeter K6

ทดสอบที่อุณหภูมิ  $20^\circ\text{C}$  ปรับระดับเครื่องวัดความตึงผิวให้ลูกน้ำอยู่ในตำแหน่งสมดุล นำ Platinum iridium ring มาแขวนไว้ตรงปลายของ Balance beam หมุนปุ่มสกรูที่หน้าปัดอ่านค่าความตึงผิวให้เข้มข้นที่ตำแหน่ง 0 นำตัวอย่างของเหลวใส่ภาชนะที่ใช้ทดสอบ แล้วนำมาวางบนแท่นรองรับภาชนะ โดยให้ Platinum iridium ring อยู่กลางภาชนะ โดยก่อนทดสอบกับตัวอย่างให้ทำ calibration เครื่องโดยนำก้านม้วนวัดค่าความตึงผิวที่อุณหภูมิ  $20^\circ\text{C}$  ให้ได้ค่าความตึงผิว 72.6 dyne/cm ปรับระดับแท่นรองรับภาชนะขึ้น-ลงด้วยปุ่มสกรู ปรับให้ภาชนะสูงขึ้นเพื่อให้วางแนวจะในตัวอย่างของเหลวประมาณ 5 mm และปรับให้วางแนวอยู่ที่ระดับผิwtตัวอย่าง เริ่มทดสอบโดยหมุนปุ่มสกรูที่หน้าปัดอ่านค่าความตึงผิวช้าๆ จนกระทั่งวงแหวนหลุดออกจากตัวอย่างของเหลว ค่าที่อ่านได้จากหน้าปัดคือค่าความตึงผิว

### 3.3.4 วิธีการขึ้นรูปแผ่นใบโพลิสติกจากน้ำมันถั่วเหลืองอิพ็อกซีไดซ์

นำน้ำมันถั่วเหลืองอิพ็อกซีไดซ์ผสมกับสารเชื่อมโยงในอัตราตามเปอร์เซนต์ที่กำหนด งานให้เข้ากัน เติมตัวเร่งปฏิกิริยาตามปริมาณที่กำหนด การนึ่งผลิต่อไปประมาณ 3 min เท孝ของผลิตภัณฑ์ในเตาพิมพ์เทฟลอนหรือเบ้าพิมพ์กระจากที่ทาแวกซ์ไว้แล้ว กำหนดปริมาณที่เทลงไปเพื่อควบคุมความหนาของชั้นงานให้ได้ 1.5 cm จำกัดพ่องอากาศออกโดยช้อนพลาสติกแตะเบาๆ อบด้วยเตาอบโดยใช้อุณหภูมิต่างๆ เป็นระยะเวลาระหว่างๆ

### 3.3.5 วิธีการทดสอบสมบัติความหนาต่อแรงดึง

นำแผ่นใบโพลิสติกที่เตรียมได้จากข้อ 3.3.4 ตัดเป็นชิ้นทดสอบรูปดัมเบลล์ ด้วยวิธีการ die-cut ที่มีรูปร่างตามมาตรฐาน ASTM D412C ทำการทดสอบ tensile properties ด้วยอัตราเร็วในการดึงเท่ากับ  $50\text{ mm/min}$  ความยาวเริ่มต้นที่ใช้ในการคำนวณ (gauge length) เท่ากับ 35 mm ทำการทดสอบที่อุณหภูมิห้อง ทดสอบ 5 ชิ้นต่อตัวอย่าง รายงานผลด้วยค่าเฉลี่ย

### 3.3.6 การวิเคราะห์ลักษณะเฉพาะของแผ่นใบโพลิสติก

#### 3.3.6.1 การวิเคราะห์สมบัติทางความร้อนด้วยเทคนิค thermogravimetric analysis

นำตัวอย่างแผ่นใบโพลิสติกวิเคราะห์ด้วยเครื่อง PerkinElmer<sup>®</sup> TGA 7 ภายใต้บรรยากาศในโตรเจนที่อุณหภูมิระหว่าง  $30\text{--}550^\circ\text{C}$  ด้วยอัตราการให้ความร้อนเท่ากับ  $10^\circ\text{C/min}$

#### 3.3.6.2 การวิเคราะห์สมบัติทางความร้อนด้วยเทคนิค dynamic mechanical thermal analysis

นำตัวอย่างแผ่นใบโพลิสติกวิเคราะห์ด้วยเครื่อง Rheometric Scientific<sup>®</sup> DMTA V ที่อุณหภูมิระหว่าง  $(-30)\text{--}80^\circ\text{C}$  ด้วยอัตราการให้ความร้อนเท่ากับ  $2^\circ\text{C/min}$  ใช้ความถี่ 1 Hz ควบคุมการดึงยืดที่ 0.01 %

### 3.3.6.3 การวิเคราะห์ด้วยเทคนิค differential scanning calorimetry

นำน้ำมัน ESO40 และ ESO100 ที่ผสม MTHPA ปริมาณ 50 - 70 pph และ 1-เมทิลอะมิดาโซล ปริมาณ 1 pph และแผ่นไนโอล่าสติก ESO40 และ EO100 วิเคราะห์ด้วยเครื่อง PerkinElmer® DSC 7 ที่อุณหภูมิระหว่าง 50 – 200°C ด้วยอัตราการให้ความร้อนเท่ากับ 10°C/min

### 3.3.6.4 การวัดความแข็ง

วัดความแข็ง (hardness) ตามมาตรฐาน ASTM D2240 แบบ shore A ใช้ชิ้นทดสอบที่มีความหนาอย่างน้อย 6 mm ก่อนทดสอบทำการปรับเทียบ (calibration) เครื่องวัดความแข็งโดยใช้แท่งเหล็กที่มีรูตรงกลางวงให้ตรงกับหัวเข็มกดของเครื่อง และปรับค่าที่หน้าปัดให้เป็นศูนย์ นำแท่งเหล็กที่มีค่าความแข็ง 40 shore A วางบนฐานของเครื่องทดสอบ กดหัวเข็มลงบนแท่งเหล็กที่มีค่าความแข็ง 40 shore A อ่านค่าความแข็ง ค่าที่ได้ควรกับ 40 shore A เมื่อทำการปรับเทียบเรียบร้อยแล้ว นำชิ้นทดสอบวางไว้ให้ตรงกับหัวเข็มกด เลื่อนหัวเข็มกดลงบนชิ้นทดสอบ โดยใช้น้ำหนักคงที่ 1 kg เป็นเวลา 30 sec ที่ตำแหน่งต่างๆ บนชิ้นทดสอบ 5 ตำแหน่ง บันทึกค่าความแข็งของชิ้นทดสอบในแต่ละสูตร และใช้ค่าเฉลี่ยเป็นความแข็งของชิ้นทดสอบ

### 3.3.6.5 การวัดความหนึ่งแบบดึง

พื้นที่ใต้กราฟของ stress – strain curves บ่งบอกพลังงานที่ใช้ในการดึงยืดชิ้นทดสอบจนขาด เรียกวิ่งงานนี้ว่าความหนึ่งแบบดึง (tensile toughness)

### 3.3.6.6 การทดสอบการบวมตัวในสารละลาย

ตัดชิ้นตัวอย่างแผ่นไนโอล่าสติก ESO100 และ ESO40 ใหม่ขนาดกว้าง 1 cm และยาว 1 cm ชั้นหนังกากชิ้นตัวอย่าง แซชชินตัวอย่างในตัวทำละลายประมาณ 5 ml ชั้นหนังกากชิ้นตัวอย่างหลังจากแซชชินตัวอย่างจนน้ำหนักคงที่ทำการซับผิวน้ำตัวอย่างด้วยกระดาษทิชชูก่อนชั่งน้ำหนัก คำนวณหาเบอร์เช็นต์การบวมตัวของน้ำหนักชิ้นตัวอย่างตามสมการ 3.7 ทำการทดลอง 3 ชิ้น รายงานค่าเฉลี่ย

$$\text{Degree of swelling} = \frac{W_w - W_d}{W_d} \times 100 \quad (3.7)$$

เมื่อ	Degree of swelling	= เบอร์เช็นต์การบวมตัวของชิ้นตัวอย่าง
	$W_w$	= น้ำหนักของชิ้นตัวอย่างหลังแซชตัวทำละลาย
	$W_d$	= น้ำหนักของชิ้นตัวอย่างก่อนแซชตัวทำละลาย

ตัวอย่างแผ่นไนโอล่าสติกที่ใช้ทดสอบในหัวข้อ 3.3.6.5 - 3.3.6.8 จะเป็นตัวอย่างเดียวกัน คือ ถ้าเป็น ESO40 จะมีการเติม MTHPA 60 pph และ 1-เมทิลอะมิดาโซล 1 pph อบที่ 150°C เป็นเวลา 75 min ส่วน ESO100 จะมีการเติม MTHPA 40 pph และ 1-เมทิลอะมิดาโซล 1 pph อบที่ 135°C เป็นเวลา 60 min

### 3.3.6.7 ทดสอบการบ่มด้วยความร้อน (thermal aging)

ตัดแผ่นไนโอล่าสติก ESO100 และ ESO40 เป็นชิ้นทดสอบรูปดั้มเลล์ตามมาตรฐาน ASTM D412 ใช้เครื่องตัดชิ้นทดสอบแบบ die C วัดความหนาและความกว้างของชิ้นทดสอบ 3 ตำแหน่งในช่วงระยะ  $L_0$  หากค่าเฉลี่ยของความหนาและความกว้าง นำชิ้นทดสอบเข้าตู้อบความร้อนที่อุณหภูมิ 100°C เป็นเวลา 24 h และนำไปทดสอบสมบัติความทนต่อแรงดึง ใช้ความเร็วในการดึง 50 mm/min ทำการทดสอบ 5 ชิ้นต่อ 1 ตัวอย่าง คำนวณการเปลี่ยนแปลงสมบัติความทนต่อแรงดึงก่อนและหลังการบ่มด้วยความร้อน เมื่อเทียบกับค่าเริ่มต้นก่อนบ่ม รายงานผลเป็นเบอร์เช็นต์การเปลี่ยนแปลงการคำนวณเป็นไปทำงานเดียวกันกับสมการที่ 3.7

### 3.3.6.8 ทดสอบความด้านกานต่อโอดิโซน

นำแผ่น ESO40 และ ESO100 ตัดเป็นรูปดัมเบล์เช่นเดียวกันกับข้อ 3.3.6.7 ดึงยึด 3% วางทึ้งไว้ในที่มีเดินเวลา 24 h ก่อนนำชิ้นทดสอบเข้าเครื่องทดสอบโอดิโซนที่มีความเข้มของโอดิโซนเท่ากับ 50 pphm ภายใต้อุณหภูมิ 40°C ใช้วิธีวัดความด้านกานต์ของชิ้นทดสอบ บันทึกลักษณะทางกายภาพของชิ้นทดสอบ

### 3.3.7 การทดสอบการเคลือบผิว ESO100 บนไม้ย่างพารา

ตัดไม้ย่างพาราที่หนา 1-1.5 cm ให้มีขนาด กว้าง 4 cm และ ยาว 5 cm ทำการทดสอบความด้านกานต์ไม้ด้วยกระดาษทรายสำหรับขัดไม้ จากนั้นนำไปจุ่มในสารละลายอะซิโตนเพื่อกำจัดฝุ่นที่ติดตามผิวน้ำไม้อีกครั้ง นำไปป้อนที่อุณหภูมิ 50-60°C เพื่อไล่ความชื้นที่อยู่ในเนื้อไม้ นำ ESO100 ผสมกับ MTHPA ในสัดส่วน 40, 50 และ 60 pph ชั่งน้ำหนักเทียบกับ 100 ส่วนโดยน้ำหนักของ ESO เติมตัวเร่งปฏิกิริยา 1-เมทธิลอะมิโนไซล์ในปริมาณ 1 pph กวนให้เข้ากัน สังเกตความหนืดของสารที่เตรียมได้ เคลือบไม้โดยการจุ่มหรือทาแล้วนำไปป้องน้ำด้วยใช้ถุงน้ำทำการปรับระดับความสม่ำเสมอของคาด อบไม้ที่อุณหภูมิ 150°C เป็นเวลา 1, 2 และ 3 h ตามลำดับ นำไปออกจากตู้อบ สังเกตลักษณะของ ESO100 ที่เคลือบบนผิวไม้

ทำการทดลองปรับความหนืดของ ESO ก่อนนำไปเคลือบ ทำการทดลอง 2 ชุด ดังนี้ นำ ESO ผสมกับ MTHPA ในสัดส่วน 60 pph เติมตัวเร่งปฏิกิริยา 1-เมทธิลอะมิโนไซล์ ในปริมาณ 1 pph กวนให้เข้ากัน วางทึ้งไว้ที่อุณหภูมิห้องเป็นเวลา 1, 2, 3, 4 h สังเกตลักษณะ ESO ที่ได้ก่อนจะนำไปเคลือบบนไม้ย่างพาราด้วยวิธีเดียวกันกับที่กล่าวมาแล้ว ส่วนชุดที่ 2 นำ ESO ผสมกับ MTHPA ในสัดส่วน 60 pph เติมตัวเร่งปฏิกิริยา 1-เมทธิลอะมิโนไซล์ ในปริมาณ 1 pph กวนให้เข้ากัน ก่อนนำไปป้อนที่อุณหภูมิ 80, 90 และ 100°C เป็นเวลา 1, 2, 3, 4 และ 5 h ตามลำดับ เมื่อครบเวลาที่กำหนดนำออกจากตู้อบ ทิ้งไว้ที่อุณหภูมิห้องหรือในน้ำเย็นเป็นเวลา 1 และ 2 h สังเกตความหนืดของ ESO ที่ได้นำไปเคลือบไม้โดยการจุ่มแล้วนำไปป้อนที่อุณหภูมิ 150°C เป็นเวลา 1 h

### 3.3.8 การเตรียมแผ่นใบโอดิโซนติดกับคอมโพสิตจากน้ำมันถั่วเหลืองอิพ็อกซิไดซ์สมดินเหนียวปรับสภาพ

#### 3.3.8.1 การศึกษาการกระจายตัวของดินเหนียวปรับสภาพในตัวทำละลายและในน้ำมันถั่วเหลืองอิพ็อกซิไดซ์

ทดสอบการกระจายตัวของดินเหนียวปรับสภาพในตัวทำละลาย (อะซิโตนและคลอร์ฟอร์ม) และใน ESO มีขั้นตอนการทดสอบดังนี้ เตรียมสารละลายดินเหนียวปรับสภาพในตัวทำละลายทั้งสองชนิดให้มีความเข้มข้น 5 wt% โดยชั่งดินเหนียวปรับสภาพปริมาณ 1 g และตัวทำละลายหรือ ESO ปริมาณ 20 g ลงในบีคเกอร์ วางในเครื่องโซนิเคชันขนาดความถี่ 60 kHz เป็นเวลา 4 h หลังจากนั้นตั้งทึ้งไว้เป็นเวลา 12 h สังเกตลักษณะทางกายภาพและการกระจายตัวของสารละลายดินเหนียวปรับสภาพในตัวทำละลายทั้งสองชนิด เปรียบเทียบระดับความสูงการพองตัวของดินเหนียวปรับสภาพในตัวทำละลาย/น้ำมัน

#### 3.3.8.2 การเตรียมน้ำมันถั่วเหลืองอิพ็อกซิไดซ์สมดินเหนียวปรับสภาพนาโนคอมโพสิตด้วยเทคนิคการละลาย

อบดินเหนียวปรับสภาพที่อุณหภูมิ 105°C ในตู้อบสูญญากาศเพื่อไล่ความชื้นก่อนนำไปใช้ เตรียมสารละลายดินเหนียวปรับสภาพ โดยใช้ปริมาณดินเหนียวปรับสภาพตามสัดส่วนที่คำนวณไว้ โดยทำการแปรปริมาณของดินเหนียวปรับสภาพ ตั้งแต่ 1, 3, 5 และ 8 wt% เทียบกับน้ำหนักของ ESO ลงในบีคเกอร์และเติมตัวทำละลาย (คลอร์ฟอร์ม) ใช้สัดส่วนดินเหนียวปรับสภาพ 1kg ต่อตัวทำละลาย 30 L นำไปป้องในเครื่องโซนิเคชันขนาดความถี่ 60 kHz เป็นเวลา 4 h ชั่ง ESO ปริมาณ 150 g เติมลงในสารละลายดินเหนียวปรับสภาพในข้อ 2 ใช้แท่งแม่เหล็กวนให้เข้ากัน แล้วนำไปป้องในเครื่องโซนิเคชันอีก 4 h ระหว่างคลอร์ฟอร์มด้วยเครื่องกลั่นตัวทำละลายแบบหมุน นำไปป้อนด้วยเครื่องอบสูญญากาศที่อุณหภูมิ 60°C เป็นเวลา 24 h ทำการวัดความหนืดบุรุคฟิล์ด โดยใช้เข็มเบอร์ 2 ทำการวัดทุกความเร็วตั้งแต่ 6, 12, 30 และ 60 rpm บันทึกผล 3 ครั้งและรายงานค่าเฉลี่ย

### 3.3.8.3 การขึ้นรูปน้ำมันถั่วเหลืองอิพ็อกซีไดซ์ฟลูอิดสมดิบเนี่ยวยปรับสภาพนาโนคอมโพสิต

นำน้ำมันถั่วเหลืองอิพ็อกซีไดซ์ชานิด ESO100 ที่ผสมดินเหนียวปรับสภาพนาโนคอมโพสิตใน ปริมาณที่กำหนดใส่ในมีคเกอร์ เติมสารเชื่อมโยง MTHPA ปริมาณ 40 pph และตามด้วยเร่งปฏิกิริยาชนิด 1-เมทิลอะมิดาโซล ปริมาณ 1 pph กวนให้เข้ากันด้วยแท่งแม่เหล็กประมาณ 3 min ใส่ฟองอากาศที่เกิดขึ้นในตู้อบสูญญากาศเป็นเวลา 10 min เท孝ของผสมลงในเบ้ากระจากที่มีความหนา 3 mm กำหนดปริมาณที่เทลงไปเพื่อควบคุมความหนาของชั้นงาน นำไปอบในตู้อบความร้อนที่อุณหภูมิ 135°C เป็นเวลา 60 min แกะแผ่นชั้นงานออกจากเบ้ากระจาก นำไปทดสอบสมบัติต่างๆ

### 3.3.9 การวัดความหนืดด้วยเครื่องวัดความหนืดบุรคพิล์ล์

ปรับบริเวณขาตั้งของเครื่องวัดความหนืด ให้ตำแหน่งของลูกน้ำอยู่ตรงกลางพร้อมทั้งใส่เข็มวัด โดยเลือกขนาดของเข็มวัดให้มีความเหมาะสม นำตัวอย่างน้ำมันที่ต้องการทดสอบใส่ภาชนะทรงสูงในปริมาณ 100 ml ปรับระดับของเข็มวัดให้จมลงในตัวอย่างน้ำมัน โดยให้ระดับของตัวอย่างอยู่เหนือขีดระดับบน เข็มพอสมควร ทำการวัดความหนืดโดยใช้ความเร็วรอบของแกนหมุนที่แตกต่างกัน ทำการวัดประมาณ 3 ครั้ง จดบันทึกและนำค่าที่ได้จากการอ่านสเกล กฎตัวคงที่ตามชนิดของเข็มและความเร็วที่ใช้ จะได้เป็นค่าความหนืด

### 3.3.10 การวิเคราะห์ลักษณะโครงสร้างของน้ำมันถั่วเหลืองอิพ็อกซีไดซ์ฟลูอิดสมดิบเนี่ยวยปรับสภาพ

#### 3.3.10.1 การตรวจสอบโครงสร้างผลลัพธ์ด้วยการเลี้ยวเบนด้วยรังสีเอกซ์

วิธีการหาค่าระยะห่างระหว่างชั้น (d-spacing) ของดินเหนียวปรับสภาพด้วยเครื่องตรวจสอบการเลี้ยวเบนด้วยรังสีเอกซ์ (X-ray diffractometer, XRD) มีขั้นตอนการทดสอบดังนี้ ตัดแผ่นของน้ำมันถั่วเหลืองอิพ็อกซีไดซ์ฟลูอิดสมดิบเนี่ยวยปรับสภาพนาโนคอมโพสิต ขนาดความกว้าง 2.5 cm ความยาว 2.5 cm วางทับลงบนแผ่นกระดาษแข็งเดียวกัน ทابนแผ่นน้ำมันถั่วเหลืองอิพ็อกซีไดซ์ฟลูอิดสมดิบเนี่ยวยปรับสภาพนาโนคอมโพสิตให้แน่นบนแผ่นกระดาษแข็งด้วยเทปการสองหน้าโดยไม่ให้มีฟองอากาศระหว่างแผ่นฟลิปและกระดาษ นำแผ่นกระดาษที่ติดน้ำมันถั่วเหลืองอิพ็อกซีไดซ์ฟลูอิดสมดิบเนี่ยวยปรับสภาพนาโนคอมโพสิต วางลงในช่องใส่ตัวอย่าง นำช่องใส่ตัวอย่างเข้าสู่แท่นวางตัวอย่างภายในเครื่องตรวจสอบการเลี้ยวเบนด้วยรังสีเอกซ์ ทำการทดสอบโดยใช้อัตราหมุนตกลงบนของรังสีเอกซ์ต่อเวลาเท่ากับ  $0.02^\circ/3\text{s}$  เลือกมุมองศาในการทดสอบตั้งแต่  $1-10^\circ$  ใช้กำลังไฟฟ้าและกระแสไฟฟ้าในการทดสอบเท่ากับ 40 KV และ 40 mA ตามลำดับ แบบแผนการเลี้ยวเบน (XRD pattern) ที่ตรวจสอบได้ เป็นความสัมพันธ์ระหว่างมุมองศาที่รังสีเอกซ์เกิดการเลี้ยวเบนและผลลัพธ์ของสารที่ทำการทดสอบ นำค่ามุมองศาที่ได้จากการทดสอบจากเครื่องตรวจสอบการเลี้ยวเบนด้วยรังสีเอกซ์มาคำนวณค่าระยะห่างระหว่างชั้นของดินเหนียวตามสมการ 3.8

$$\lambda = 2ds\sin\theta \quad (3.8)$$

เมื่อ	$\lambda$	= ความยาวคลื่น (nm)
	$d$	= ระยะห่างระหว่างชั้นของผลลัพธ์ ( $\text{\AA}$ )
	$\theta$	= มุมของการเลี้ยวเบน

#### 3.3.10.2 การตรวจสอบสัญญาณวิทยาของดินเหนียวปรับสภาพด้วยกล้องจุลทรรศน์อิเล็กตรอนแบบส่องผ่าน

ทำการตัดตัวอย่างตามความหนาของชั้นทดสอบด้วยเครื่องอัลตราคัทไมโครโทม (ultracut microtome) ที่อุณหภูมิในการตัด  $-110^\circ\text{C}$  ถ่ายภาพที่กำลังขยายตั้งแต่ 25,000-100,000 เท่า ภายใต้กำลังไฟฟ้า 160 KV

## บทที่ 4 ผลการทดลองและวิจารณ์ผลการทดลอง

### 4.1 การวิเคราะห์การเกิดอิพ็อกซิเดชัน

ในช่วงเริ่มต้นของการทดลองได้ทำการทดลองปรับเปลี่ยนปริมาณสารเคมีต่างๆ ดังแสดงในตารางที่ 4.1 และทำการวิเคราะห์หาปริมาณหมู่อิพ็อกไซด์ด้วยการไถเตรตด้วยกรดโบราณิกและด้วยเครื่อง  $^1\text{H-NMR}$

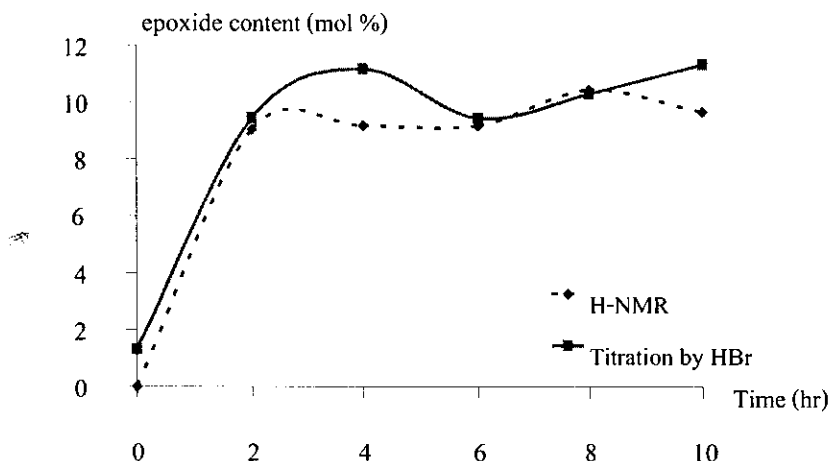
ตารางที่ 4.1 สูตรการสังเคราะห์ครั้งที่ 1

น้ำมันก๊วเหลือง	กรดแอกซีติก	ไฮโดรเจนเปอร์ออกไซด์	กรดซัลฟิวริก
0.114 mol	0.139 mol	0.210 mol	0.0019 – 0.0094 mol
100 g	4.36 g	9.75 g	0.1 – 0.5 ml

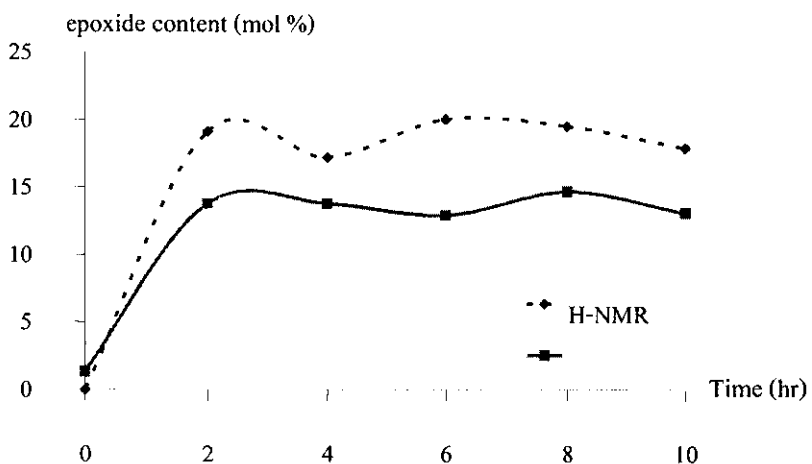
จำนวนตัวอย่างที่สังเคราะห์สรุปในตารางที่ 4.2 ผลการวิเคราะห์ปริมาณอิพ็อกไซด์ด้วยเทคนิคการไถเตรตด้วยกรดโบราณิกและเครื่อง  $^1\text{H-NMR}$  ของตัวอย่างที่สังเคราะห์ได้ตามตารางที่ 4.2 แสดงในรูปที่ 4.1a – 4.1e ถึง 4.3a – 4.3e สำหรับการสังเคราะห์ที่อุณหภูมิ 55, 60 และ  $65^\circ\text{C}$  ตามลำดับ ซึ่งผลการไถเตรตมีค่าต่างจากผลการวิเคราะห์ด้วยเครื่อง  $^1\text{H-NMR}$

ตารางที่ 4.2 สภาวะที่ใช้ในการสังเคราะห์น้ำมันก๊วเหลืองอิพ็อกซิเดชัน

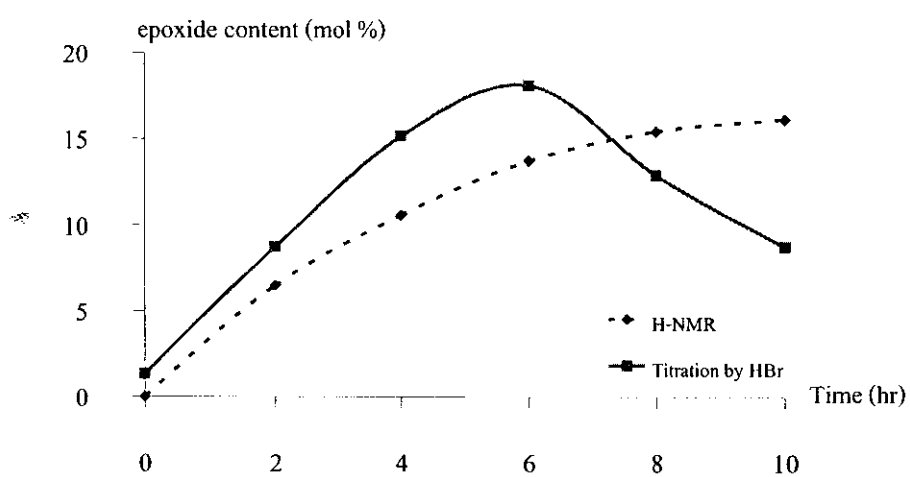
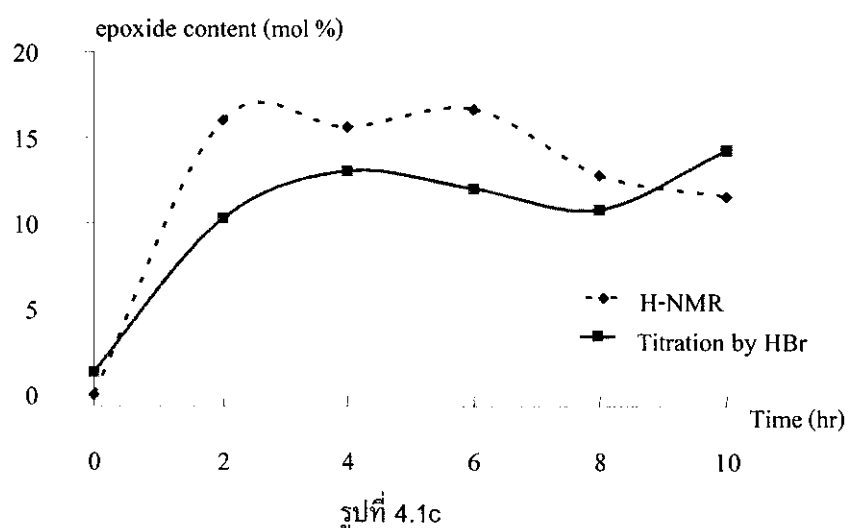
อุณหภูมิ ( $^\circ\text{C}$ )	ปริมาณ $\text{H}_2\text{SO}_4$ (ml)	เวลาที่ใช้ (h)
55	0.50, 0.35, 0.25, 0.15, 0.10	2, 4, 6, 8 และ 10
60	0.50, 0.35, 0.25, 0.15, 0.10	2, 4, 6, 8 และ 10
65	0.50, 0.35, 0.25, 0.15, 0.10	2, 4, 6, 8 และ 10

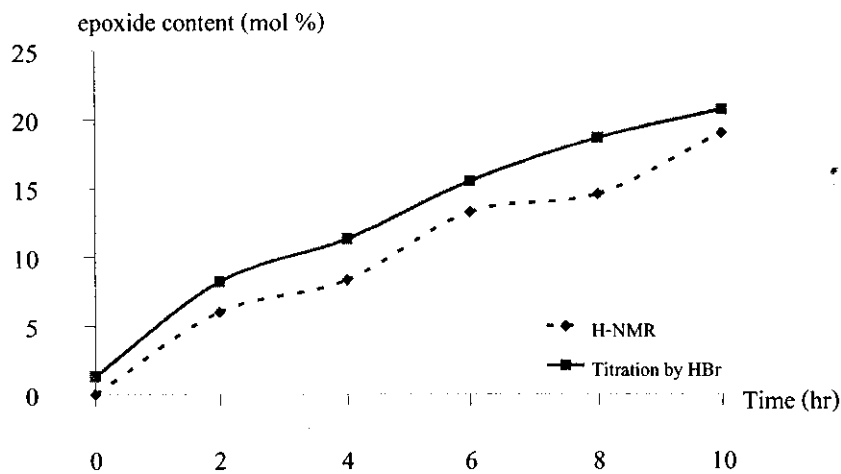


รูปที่ 4.1a



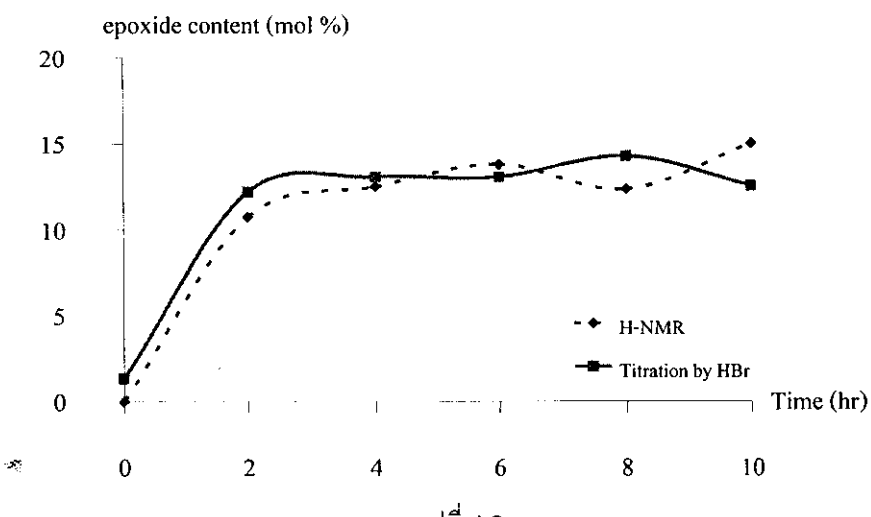
รูปที่ 4.1b



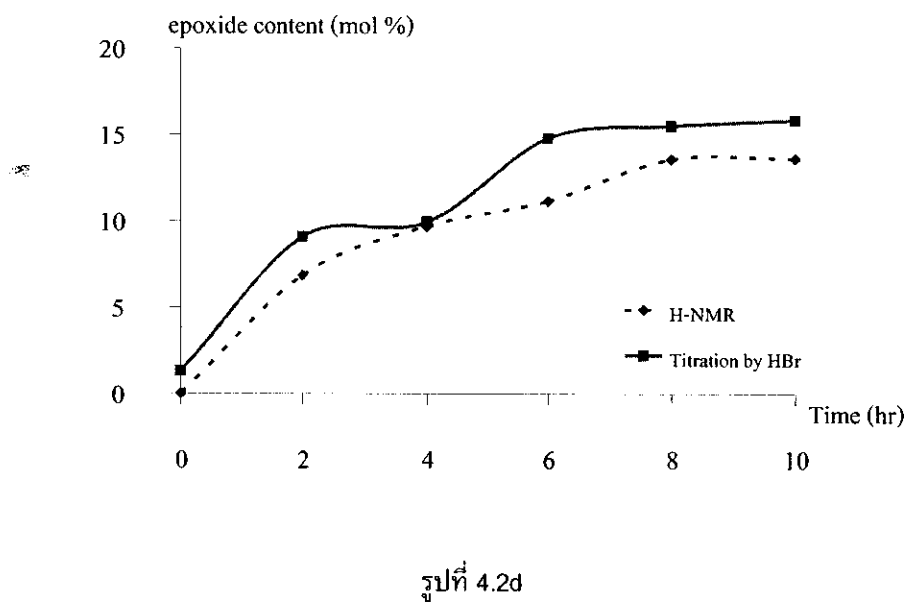
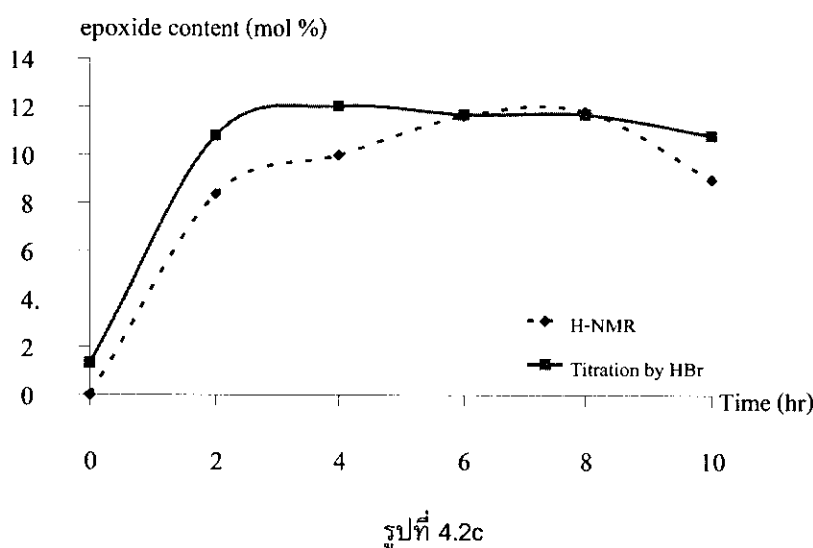
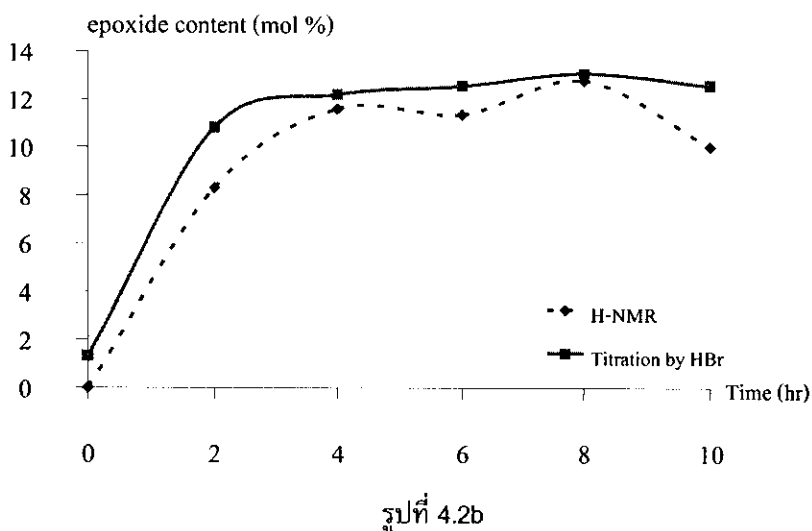


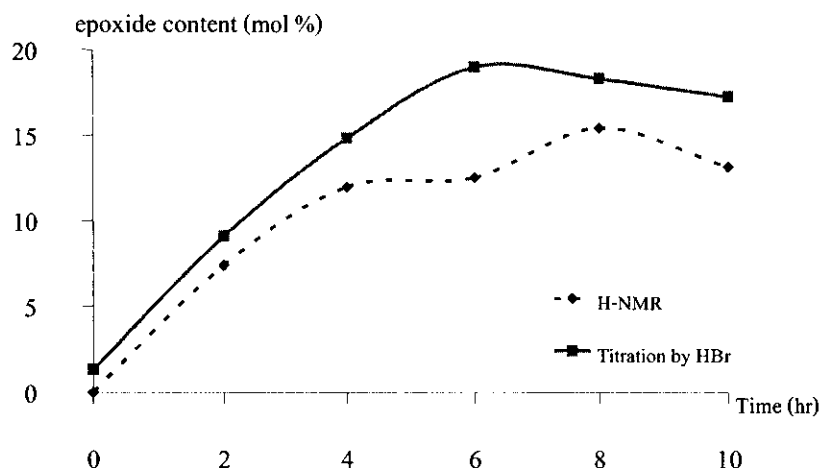
รูปที่ 4.1e

รูปที่ 4.1 ปริมาณอิพอกไซด์ที่วิเคราะห์ได้ด้วยการไตเตอร์ตด้วยกรดโบรมิกและเครื่อง  $^1\text{H-NMR}$  ของน้ำมันถั่วเหลืองอิพอกไซด์ที่สังเคราะห์ที่  $55^\circ\text{C}$  ใช้ปริมาณกรดซัลฟิวริกต่างกัน (a) 0.50 ml, (b) 0.35 ml, (c) 0.25 ml, (d) 0.15 ml และ (e) 0.10 ml



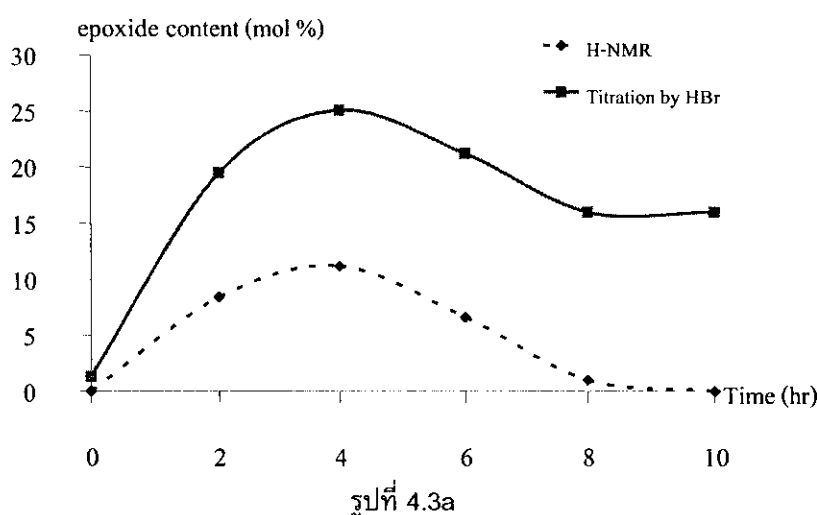
รูปที่ 4.2a



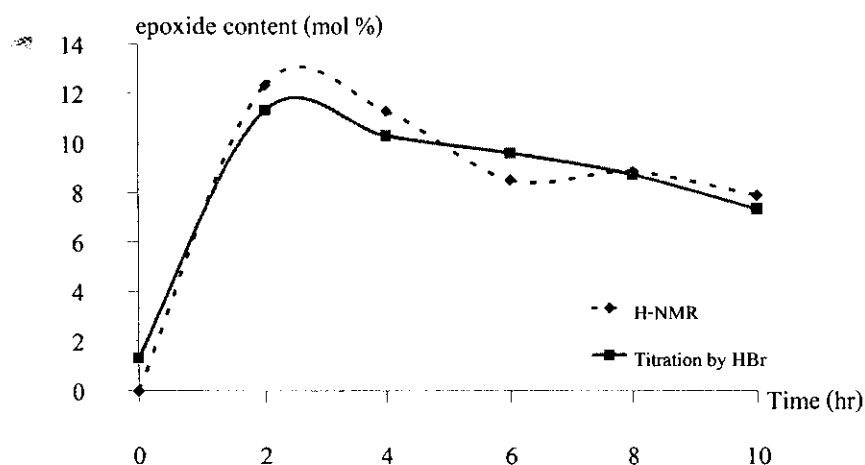


รูปที่ 4.2e

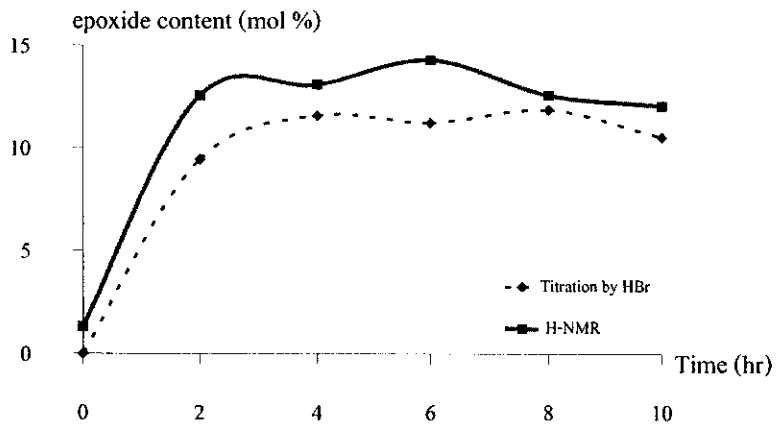
รูปที่ 4.2 ปริมาณอิพอกไซด์ที่วิเคราะห์ได้ด้วยการ titrateด้วยกรดบอร์มิกและเครื่อง  $^1\text{H-NMR}$  ของน้ำมันทั่วเหลืองอิพอกไซด์ที่สังเคราะห์ที่  $60^\circ\text{C}$  ใช้ปริมาณกรดขัลฟิวเริกต่างกัน (a) 0.50 ml, (b) 0.35 ml, (c) 0.25 ml, (d) 0.15 ml และ (e) 0.10 ml



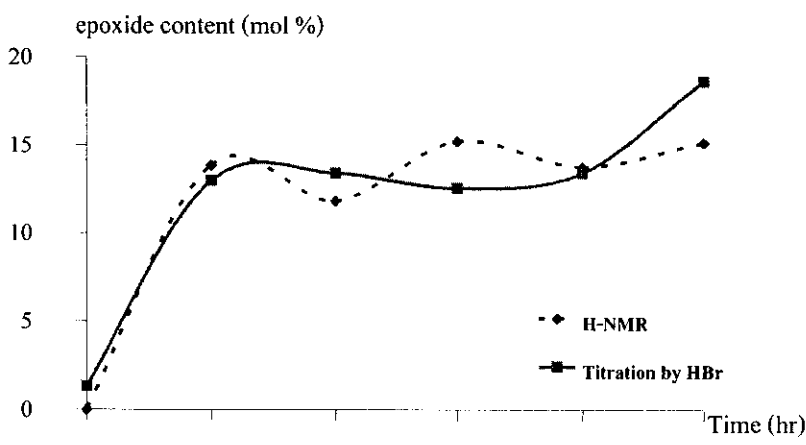
รูปที่ 4.3a



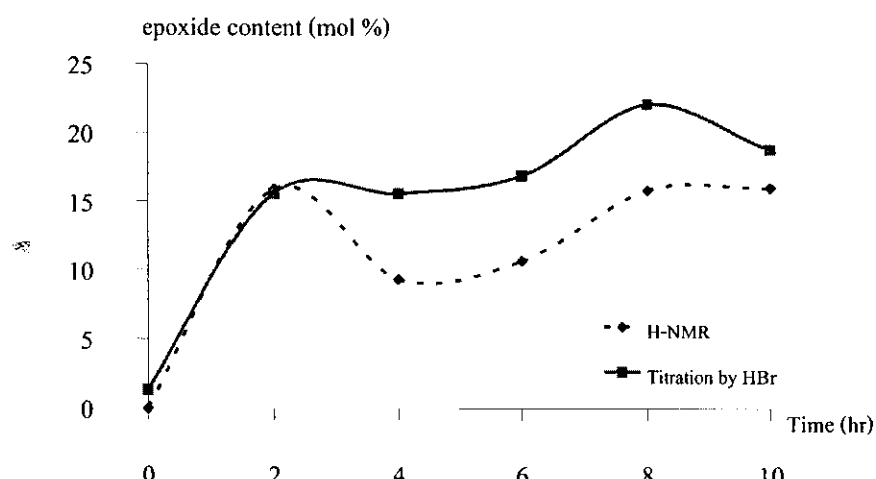
รูปที่ 4.3b



รูปที่ 4.3c



รูปที่ 4.3d



รูปที่ 4.3e

รูปที่ 4.3 ปริมาณอิพอกไซด์ที่วิเคราะห์ได้ด้วยการไนเตรตด้วยกรดโบรมิกและเครื่อง  $^1\text{H-NMR}$  ของน้ำมันถั่วเหลืองอิพอกไซด์ที่สังเคราะห์ที่  $65^\circ\text{C}$  ใช้ปริมาณกรดซัลฟิวริกต่างกัน (a) 0.50 ml, (b) 0.35 ml, (c) 0.25 ml, (d) 0.15 ml และ (e) 0.10 ml

จะเห็นได้ว่าผลการได้เตอร์จะให้ค่าที่สูงกว่าการวิเคราะห์ด้วยเครื่อง  $^1\text{H-NMR}$  ซึ่งน่าจะเกิดจากข้อบกพร่องในการตีเตอร์ ที่จะต้องใช้สายตาของนักวิจัยสังเกตการณ์เปลี่ยนเสียงสารละลาย จึงทำให้มีข้อผิดพลาดในการทดลองได้ง่าย ด้วยเหตุนี้จึงไม่นิยมใช้การได้เตอร์ในการวิเคราะห์ประเมินอิพ็อกไซด์ในปัจจุบันนี้ เนื่องจากสูตรที่ใช้สังเคราะห์ในการทดลองตอนนี้ เป็นสูตรที่ใช้ศึกษาเบื้องต้น และเป็นสูตรที่ไม่เหมาะสมต่อการนำไปใช้จริง จึงได้มีการปรับสูตรโดยเพิ่มปริมาณสารเคมี ดังนั้นจึงเลือกใช้การวิเคราะห์ด้วยเครื่อง  $^1\text{H-NMR}$  เพียงอย่างเดียวเท่านั้น ในการทดลองครั้งต่อไป โดยผลกระทบทดลองที่จะรายงานต่อไปนี้ เป็นผลการทดลองที่ได้จากการทดลองคงที่ที่ดีที่สุด คือ อัตราส่วนสารเคมี ดังนี้ น้ำมันถั่วเหลือง : กรดแอกซิติก : ไฮโดรเจนเปอร์ออกไซด์ : กรดชัลฟิวริก เท่ากัน  $1 : 3 : 5 : 0.0092$  (by mol) อุณหภูมิ  $55^\circ\text{C}$  เป็นเวลา  $7\text{ h}$

การควบคุมอุณหภูมิในการสังเคราะห์มีความสำคัญต่อปฏิกิริยาอย่างมาก ในการสังเคราะห์ชุดแรก ได้ผลการทดลองที่แปรปรวนมาก ดังที่แสดงไว้ในตารางที่ 4.3 สาเหตุเนื่องมาจากเครื่องให้ความร้อนไม่มีคุณภาพ เมื่อซื้อเครื่องใหม่ สามารถควบคุมปฏิกิริยาได้ ตามผลการทดลองที่แสดงในตารางที่ 4.4

ตารางที่ 4.3 ผลการวิเคราะห์ปริมาณอิพ็อกไซด์จากการใช้เครื่องให้ความร้อนเครื่องเก่า

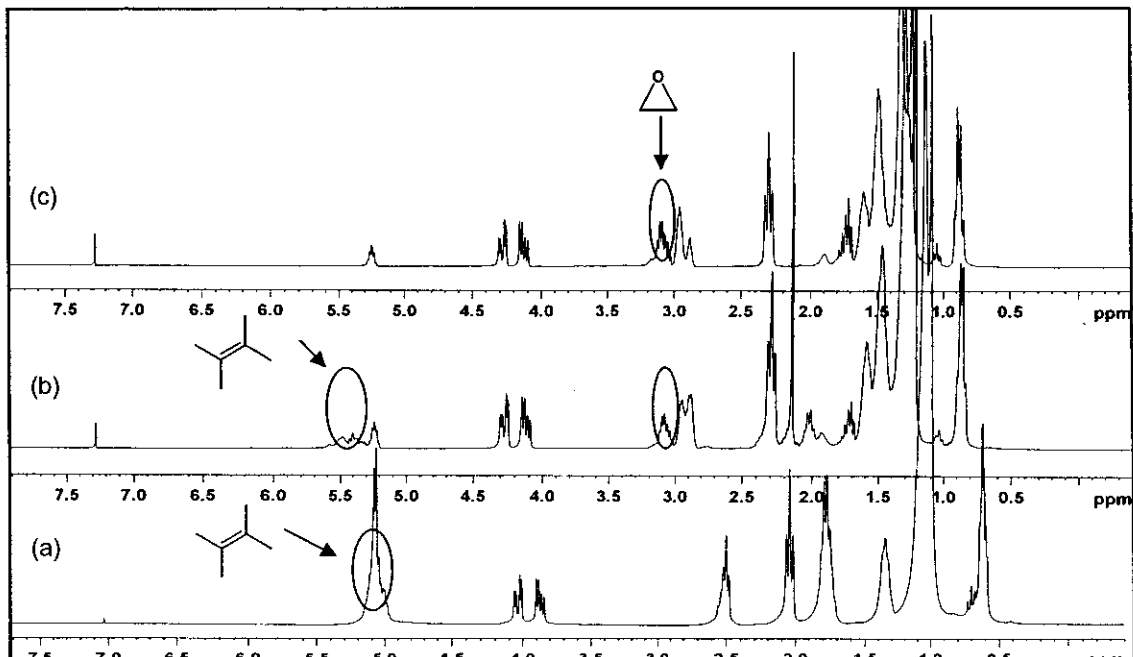
Run number	Epoxide content (%)	Run number	Epoxide content (%)
1	16.90	7	32.72
2	28.70	8	50.86
3	28.06	9	40.63
4	26.51	10	55.10
5	41.71	11	35.58
6	38.38	12	36.92

จากตารางที่ 4.3 พนว่าการสังเคราะห์น้ำมันถั่วเหลืองอิพ็อกซิไดซ์ที่ได้นั้นให้ปริมาณหมู่อิพ็อกไซด์อยู่ในช่วงกว้าง ตั้งแต่  $16.90\text{--}55.10\text{ mol\%}$  สาเหตุมาจากการควบคุมอุณหภูมิจากเครื่องให้ความร้อนซึ่งยังไม่คงที่ตามต้องการ จึงได้เปลี่ยนเครื่องให้ความร้อนใหม่ โดยใช้สภาวะการสังเคราะห์คงเดิม ซึ่งจากการสังเคราะห์น้ำมันถั่วเหลือง อิพ็อกซิไดซ์ทั้ง 25 ครั้ง ครั้งละ  $200\text{ g}$  จะให้ปริมาณหมู่อิพ็อกไซด์คงที่ประมาณ  $40.10\text{ mol\%} \pm 2.89$  ดังแสดงในตารางที่ 4.4 นำน้ำมันถั่วเหลืองและน้ำมันถั่วเหลืองอิพ็อกซิไดซ์ที่ผลิตทางการค้า (*Vikoflex<sup>®</sup> 7170*) ซึ่งมีจำนวนโมลอิพ็อกซิไดซ์เท่านั้น 100% ทำการวิเคราะห์ด้วยเครื่อง  $^1\text{H-NMR}$  ได้ผลการทดลองเป็นไปตามที่คาดไว้ คือ สเปกตรัมจาก  $^1\text{H-NMR}$  ของน้ำมันถั่วเหลืองไม่แสดงพีคของหมู่อิพ็อกไซด์ ในขณะที่ *Vikoflex<sup>®</sup> 7170* แสดงปริมาณ  $100\text{ mol\% epoxidation}$  ดังที่แสดงไว้ในรูปที่ 4.4 สารละลายที่ใช้ในการวิเคราะห์คือดิวเทอเรตเทตคลอโรฟอร์ม

ตารางที่ 4.4 ผลการวิเคราะห์ปริมาณอิพ็อกไซด์จากการใช้เครื่องให้ความร้อนใหม่

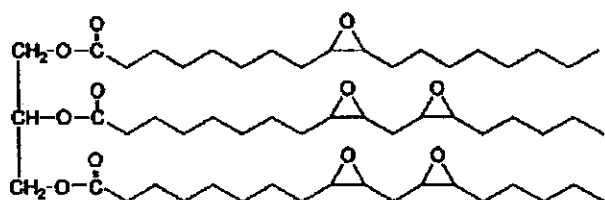
Run number	Epoxide content (%)	Run number	Epoxide content (%)
1	39.89	14	43.86
2	38.83	15	39.05
3	43.19	16	48.04
4	41.30	17	40.09
5	41.71	18	37.44
6	39.93	19	41.53
7	40.82	20	36.38
8	37.44	21	35.65

9	34.54	22	39.07
10	39.88	23	43.20
11	38.20	24	40.29
12	38.07	25	41.52
13	42.62	Average $\pm$ STDV	40.10 $\pm$ 2.89



รูปที่ 4.4 สเปกตรัมจาก  $^1\text{H}$ -NMR ของ (a) น้ำมันถั่วเหลือง, (b) ESO40 ที่ได้จากการสังเคราะห์ และ (c) ESO100 ชนิด Vifiklex<sup>®</sup> 7170

ผลการวิเคราะห์หาปริมาณอิพ็อกไซด์ของน้ำมันถั่วเหลืองอิพ็อกซิไดซ์ ด้วยเครื่อง  $^1\text{H}$  NMR แสดงในรูปที่ 4.4 โดยรูปที่ 4.4(a) เป็นสเปกตรัมของน้ำมันถั่วเหลือง พิกที่สำคัญคือ พิกที่ต่าแห่ง  $\delta$  5.0 - 5.3 ppm ซึ่งเป็นพิกที่ shift มาจากพิก  $\delta$  5.3-5.6 ppm ซึ่งบ่งบอกถึงพันธะคู่ ( $\text{C}=\text{C}$ ) รูปที่ 4.4(b) เป็นสเปกตรัมของน้ำมันถั่วเหลืองอิพ็อกซิไดซ์ พบว่าต่าแห่ง  $\delta$  5.3-5.6 ppm ในน้ำมันถั่วเหลืองอิพ็อกซิไดซ์มีความเข้มของสัญญาณลดลงอย่างมาก ในขณะเดียวกัน จะมีพิกที่ต่าแห่งใหม่เกิดขึ้นที่  $\delta$  3.0-3.15 ppm ซึ่งเป็นต่าแห่งของอิพ็อกไซด์โปรดอน พิกนี้ไม่ปรากฏใน สเปกตรัมของน้ำมันถั่วเหลือง ปริมาณอิพ็อกไซด์ที่เกิดขึ้นสามารถคำนวณได้จากการ 3.1 ส่วนรูปที่ 4.4(c) เป็น สเปกตรัมของน้ำมันถั่วเหลืองอิพ็อกซิไดซ์ที่ได้จากการกราด พบว่าจะมีพิกที่ต่าแห่งใหม่เกิดขึ้นที่  $\delta$  3.0-3.15 ppm ซึ่งเป็นต่าแห่งของอิพ็อกไซด์โปรดอน และไม่พบพิกที่  $\delta$  5.3-5.6 ppm ซึ่งเป็นต่าแห่งของพันธะคู่ แสดงว่าโครงสร้าง ทางเคมีของน้ำมันถั่วเหลืองนั้นพันธะคู่ทั้งหมดถูกเปลี่ยนเป็นวงแหวนอิพ็อกไซด์แสดงในรูปที่ 4.5

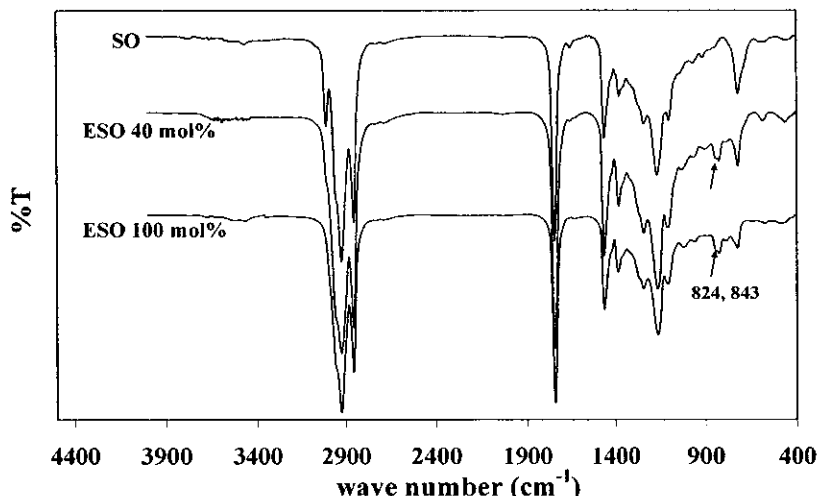


รูปที่ 4.5 โครงสร้างทางเคมีของน้ำมันถั่วเหลืองอิพ็อกซิไดซ์ที่มีปริมาณอิพ็อกไซด์ 100 mol% (Rusch et al., 1999)

ผลการวิเคราะห์น้ำมันถั่วเหลืองอิพ็อกซิไดซ์ด้วยเครื่อง FTIR แสดงในรูปที่ 4.6 พบร่วมน้ำมันถั่วเหลืองอิพ็อกซิไดซ์ 40 mol% ที่ได้จากการสังเคราะห์จะพบพีคที่ตัวแหน่งเลขคู่คือ 824 และ 843  $\text{cm}^{-1}$  ซึ่งเป็นตัวแหน่งของหมู่อิพ็อกซิเดช์ (Soo et al., 2004) น้ำมันถั่วเหลืองอิพ็อกซิไดซ์ที่ได้จากการค้าก็แสดงพีคดังกล่าวด้วย ส่วนน้ำมันถั่วเหลืองจะไม่พบพีคนี้

สภาวะการสังเคราะห์ที่เลือกใช้มานี้ ดัดแปลงมาจาก Soo และคณะ (2004) และเป็นสภาวะที่ให้หมู่อิพ็อกซิเดช์ เนลี่ย 40 mol% ซึ่งน่าจะเหมาะสมต่อการนำไปใช้งาน เพราะยังคงมีความยืดหยุ่นอยู่มากกว่า น้ำมันถั่วเหลืองอิพ็อกซิไดซ์ที่มีปริมาณหมู่อิพ็อกซิเดช์ 100 mol% ที่ผลิตขายนทางการค้า

ที่กล่าวมาเบื้องต้นนี้เป็นผลการทดลองที่ใช้กรดซัลฟิวริกเป็นตัวเร่งปฏิกิริยา คือเป็นตัวให้ประตอน กระตุ้นให้เกิดปฏิกิริยาอิพ็อกซิเดชัน ปัจจุบันนี้มีการใช้ cationic exchange resin แทนกรดซัลฟิวริก เนื่องจากถังปฏิกิริณ์มีลักษณะเป็นภาชนะที่มีการบรรจุเม็ดเรซินเหล่านี้ไว้แล้ว การทดลองที่ใช้ Amberlite<sup>®</sup> IR-120 แทนที่กรดซัลฟิวริกนั้น ได้ใช้อัตราส่วนน้ำมัน และสารเคมีเดียวกัน คือ สัดส่วนโมลของน้ำมันถั่วเหลือง : กรดอะซิติก : ไฮโดรเจนเปอร์ออกไซด์ เท่ากับ 1 : 3 : 5 อุณหภูมิที่ใช้ในการสังเคราะห์เท่ากับ 55 °C เป็นเวลา 7 h ทดลองแบบปริมาณของเรซินตามตารางที่ 4.5 ผลการวิเคราะห์ปริมาณอิพ็อกซิเดช์ด้วยเครื่อง  $^1\text{H-NMR}$  แสดงในตารางที่ 4.5



รูปที่ 4.6 สเปกตรัมจาก FTIR ของน้ำมันถั่วเหลือง (SO), น้ำมันถั่วเหลืองอิพ็อกซิไดซ์ที่สังเคราะห์ได้ (ESO40) และน้ำมันถั่วเหลืองอิพ็อกซิไดซ์ทางการค้า, Vikoflex<sup>®</sup> 7170 (ESO100)

ตารางที่ 4.5 ผลการสังเคราะห์น้ำมันถั่วเหลืองอิพ็อกซิไดซ์โดยการใช้ Amberlite<sup>®</sup> IR-120

Condition	A1	A2-1	A2-2	A3-1	A3-2
Soybean oil (g)	200	200	200	200	200
$\text{CH}_3\text{COOH}$ (g)	50.4	50.4	50.4	50.4	50.4
30% $\text{H}_2\text{O}_2$ (g)	158.8	158.8	158.8	158.8	158.8
Amberlite (g)	50	25	21	21	21
Epoxide content (%)	88.41	61.62	62.37	30.71	31.02

วิธีการสังเคราะห์เหมือนกันทุกประการ โดยแทนที่กรดซัลฟิวริกด้วยเรซินในขั้นตอนเดียวกัน พบร่วมน้ำมันถั่วเหลืองอิพ็อกซิไดซ์โดยการใช้ Amberlite<sup>®</sup> IR-120 เป็นตัวเร่งปฏิกิริยานั้น ปริมาณหมู่อิพ็อกซิเดช์ที่

ได้รับอนุญาตเบริมาน Amberlite® IR-120 โดยเบริมาน 50, 25 และ 21 g นั้นจะให้บริมาณหมู่อิพ็อกไซด์ประมาณ 88, 62 และ 31 mol% ตามลำดับ จากที่กล่าวมาข้างต้นว่างานวิจัยนี้ได้ดัดแปลงการทดลองของ Park และคณะ กล่าวคือ กำหนดใช้อัตราส่วนต่อโมลของน้ำมันและสารเคมีต่างๆ เมื่อกัน กัน แต่งานวิจัยนี้ไม่ได้ใช้ตัวทำละลายในการทำปฏิกิริยา ในขณะที่ Park และคณะ ได้ใช้โทกูลอินเป็นตัวควบคุมความร้อนของปฏิกิริยา โดยใส่ในเบริมานน้ำมันถ้วนเหลืองต่อโทกูลอินเท่ากัน 100:40 โดยน้ำหนัก จึงทำให้ได้ปฏิกิริยาอิพ็อกซิเดชันที่สมบูรณ์ คือสังเคราะห์ได้ ESO100 โดยมีการใช้ Amberlite® ชนิดเดียวกันในขณะที่งานวิจัยนี้จะสังเคราะห์ได้เพียง 88 mol% epoxidation เมื่อเทียบกับการใส่ Amberlite ต่อน้ำหนักน้ำมันถ้วนเหลืองเท่ากัน อย่างไรก็ตาม โครงการวิจัยนี้ไม่มีวัตถุประสงค์ในการสังเคราะห์ ESO100 นอกจากนี้ การสังเคราะห์ที่มีการใช้โทกูลอินมีความยุ่งยากมาก และไม่เป็นมิตรกับสิ่งแวดล้อมและนภภัยมากนัก

## 4.2 ผลการทดสอบลักษณะเฉพาะของน้ำมันแต่ละชนิด

### 4.2.1 สมบัติทางเคมีของน้ำมันถ้วนเหลืองและน้ำมันถ้วนเหลืองอิพ็อกซิไดซ์

ผลการวิเคราะห์น้ำมันทั้งสามชนิดแสดงในตารางที่ 4.6 ค่าความถ่วงจำเพาะของน้ำมันถ้วนเหลืองมีค่าเพิ่มขึ้น ตามเบริมานหมู่อิพ็อกไซด์ ซึ่งสอดคล้องกับทฤษฎีที่ว่า เมื่อโครงสร้างมีหมู่อิพ็อกไซด์เพิ่มขึ้นมาแทนที่พันธะคู่ในไตรกลีเซอโรด ทำให้มีน้ำหนักโมเลกุลเพิ่มขึ้น แต่ในภาพรวมค่าความถ่วงจำเพาะของน้ำมันถ้วนเหลืองอิพ็อกซิไดซ์นี้มีค่าสูงขึ้น เล็กน้อย

ตารางที่ 4.6 สมบัติทางเคมีของน้ำมันถ้วนเหลืองและน้ำมันถ้วนเหลืองอิพ็อกซิไดซ์

Property	Soybean oil	ESO40	ESO100
Specific gravity at 25°C	0.919	0.972	0.980
Acid value (mgKOH/g)	0.54	0.91	0.21
Saponification value (mgKOH/g)	182.3	176.0	174.9
Iodine value (gI <sub>2</sub> /100g)	135.6	29.2	6.8
% Free fatty acid (as linoleic acid)	0.26	0.56	0.75
Viscosity at 25°C (cP)	38-51	211-261	258-328
Surface tension (dyne/cm)	35	37	37

ค่าสปอนนิฟิเคชันบ่งชี้นาดหรือน้ำหนักโมเลกุลของกรดไขมันที่เป็นองค์ประกอบ ถ้า'n้ำหนักโมเลกุลของกรดไขมันมีค่าต่ำจะทำให้ได้ค่าสปอนนิฟิเคชันสูง ในที่นี้น้ำมันถ้วนเหลืองซึ่งประกอบด้วยกรดไขมันที่มีน้ำหนักโมเลกุลต่ำที่สุด เนื่องจากไม่มีหมู่อิพ็อกไซด์เป็นองค์ประกอบ จึงทำให้มีค่าสปอนนิฟิเคชันสูงที่สุด รองลงมาคือ ESO40 และ ESO100 ตามลำดับ สอดคล้องกับค่าความถ่วงจำเพาะ

ค่าไอโอดีน เป็นค่าที่บ่งบอกเบริมานพันธะคู่ในโครงสร้าง หากมีพันธะคู่มากจะมีค่าไอโอดีนสูง ในที่นี้ ESO100 ซึ่งมีวงแหวนอิพ็อกไซด์เกิดขึ้นแทนที่พันธะคู่บนไตรกลีเซอโรดทุกตำแหน่ง จึงมีค่าไอโอดีนต่ำที่สุด รองลงมาคือ ESO40 ซึ่งยังมีพันธะคู่เหลืออยู่บางตำแหน่ง ในขณะที่น้ำมันถ้วนเหลืองมีค่าไอโอดีนสูงมากที่สุดเนื่องจากมีเบริมานพันธะคู่มากที่สุดนั่นเอง

ค่ากรดและค่ากรดไขมันอิสระนั้นมีความเหมือนและความต่างดังนี้ ทั้งสองวิธีมีวิธีการทดลองเหมือนกันแต่การคำนวณต่างกัน โดยที่ค่ากรดจะใช้น้ำหนักของน้ำมันเท่านั้นในการคำนวณ ในขณะที่ค่ากรดไขมันอิสระจะเลือกใช้น้ำหนักโมเลกุลของกรดไขมันที่มีเบริมานมากที่สุดในน้ำมันในการคำนวณร่วมกับน้ำหนักของน้ำมัน โดยทั่วไป น้ำมันถ้วนเหลืองจะใช้น้ำหนักโมเลกุลของกรดไลโนเลอิก และรายงานผลเป็นเบอร์เซ็นต์ ดังนั้น ค่าที่ได้จึงไม่เท่ากัน ถึงแม้ว่า

น้ำมันกังสานชนิดจะมีค่าการด่างกันรวมทั้งค่าการดูดไขมันอิสระต่างกัน แต่ค่าที่วิเคราะห์ได้ในแต่ละสมบัตินี้มีค่าใกล้เคียงกัน ถือได้ว่ามีความแตกต่างกันไม่มากนัก

\* ค่าความหนืดที่อุณหภูมิ 25°C ของน้ำมันถั่วเหลืองจะมีค่าในช่วง 38-51 cP แต่เมื่อผ่านกระบวนการอิพ็อกซี่เดชันเป็น ESO40 ทำให้โครงสร้างของสายโซ่กลีเซอโรล์มีวงแหวนอิพ็อกซี่เกิดขึ้นบางส่วน จึงมีความเกะกะของโครงสร้างเพิ่มมากขึ้น การไฟล์ผ่านกันของสายโซ่เกิดได้ยากขึ้น ค่าความหนืดของ ESO40 จึงเพิ่มขึ้น สำหรับ ESO100 ซึ่งมีความเกะกะของโครงสร้างจากวงแหวนอิพ็อกซี่เพิ่มขึ้น ทำให้ค่าความหนืดสูงกว่า ESO40

ค่าแรงตึงผิวของน้ำมันถั่วเหลืองเท่ากับ 35 dyne/cm ส่วน ESO40 และ ESO100 มีค่าแรงตึงผิว 37 dyne/cm ซึ่งใกล้เคียงกับอิพ็อกซี่ที่ใช้ในงานเคลือบผิวที่มีค่าประมาณ 40 dyne/cm

ผลการทดสอบสามารถสรุปได้ดังนี้ เมื่อปริมาณอิพ็อกซี่เพิ่มขึ้น ค่าความถ่วงจำเพาะเพิ่มขึ้นเล็กน้อย ปริมาณกรดไขมันอิสระมีค่าใกล้เคียงกัน กรดไขมันอิสระมีน้ำหนักโมเลกุลเพิ่มขึ้นเล็กน้อย และความหนืดเพิ่มขึ้นเล็กน้อย

#### 4.2.2 ชนิดและปริมาณกรดไขมันในน้ำมันถั่วเหลืองจากการวิเคราะห์ด้วยเทคนิค GC

ผลการวิเคราะห์องค์ประกอบต่างๆของน้ำมันถั่วเหลืองด้วยเครื่องแก๊สโครมาโทกราฟี (gas chromatograph, GC) รายงานผลในรูปปริมาณกรดไขมัน (mg/l) และเบอร์เท็นต์การเบี่ยงเบนสัมพัทธ์ (%relative standard deviation, %RSD) แสดงในตารางที่ 4.7 น้ำมันถั่วเหลืองประกอบด้วยกรดไขมันหลักในปริมาณสูงถึง 28,792.60 mg/l หรือคิดเป็น 58.53 wt% กรดไขมันชนิดนี้จัดเป็นกรดไขมันไม่อิมดัว มีความยาวสายโซ่เท่ากับ 18 คาร์บอนและมีพันธะคู่ 2 ตำแหน่ง ต่อกรดไขมันหนึ่งโมเลกุลบนคาร์บอนตำแหน่งที่ 9 และ 12 เมื่อวิเคราะห์ปริมาณกรดไขมันเป็นสัดส่วนโดยน้ำหนักแล้ว สามารถคำนวณหาอัตราส่วนน้ำหนักโมเลกุลเฉลี่ยของน้ำมันถั่วเหลืองตามสมการที่ 3.1 พนวจว่ามีค่าเท่ากับ 871.79 g/mol ใกล้เคียงกับน้ำหนักโมเลกุลของน้ำมันถั่วเหลืองที่มีในรายงานของ Lu และคณะ (2005) มีค่าประมาณ 871 g/mol

ตารางที่ 4.7 ชนิดและปริมาณกรดไขมันในน้ำมันถั่วเหลืองตราอยุ่งที่นำมาใช้สังเคราะห์

ชนิดกรดไขมัน	โครงสร้างกรดไขมัน	น้ำหนักโมเลกุลของกรดไขมัน (g/mol)	ปริมาณกรดไขมัน (mg/l), %RSD**	ปริมาณกรดไขมัน (wt%)
Miristic acid	C 14:0	228	51.72, 6.52	0.11
Palmitic acid	C 16:0	256	5258.39, 2.97	10.69
Palmitoleic acid	C 16:1	254	70.46, 7.10	0.14
Stearic acid	C 18:0	284	1769.82, 0.97	3.60
Oleic acid	C 18:1	282	10606.07, 1.07	21.56
Linoleic acid	C 18:2	280	28792.60, 1.23	58.53
Linolenic acid	C 18:3	278	2473.69, 1.12	5.03
Arachidic acid	C 20:0	312.5	169.72, 8.30	0.35
รวม			49192.47	100

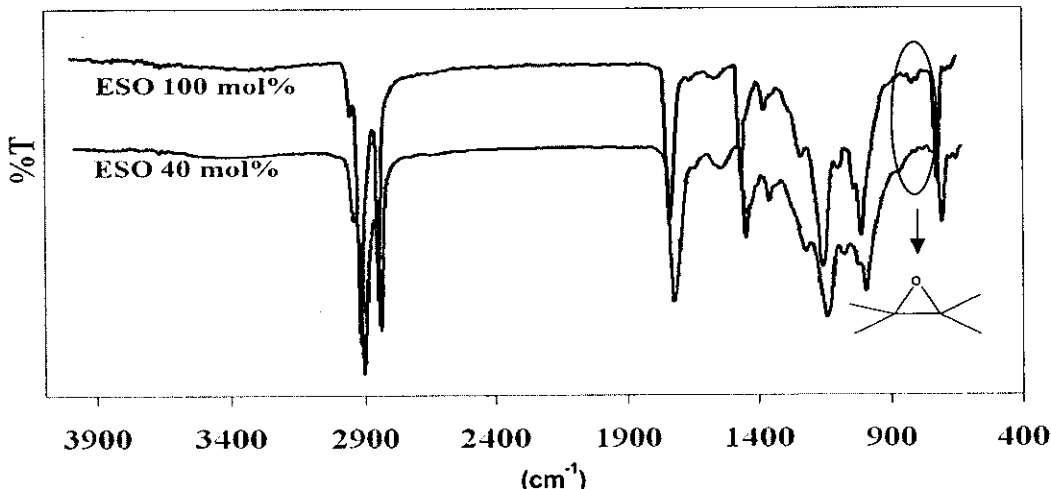
\* อัตราส่วนระหว่างจำนวนคาร์บอนต่อจำนวนพันธะคู่ที่อยู่ในสายโซ่กลีเซอโรล์ของกรดไขมันแต่ละชนิด

$$** \%RSD = \frac{SD}{X} \times 100$$

#### 4.2.3 ผลการวิเคราะห์หมู่อิพ็อกซี่ในแผ่นใบโพลีสติกด้วยเทคนิค FTIR

ผลการวิเคราะห์หมู่อิพ็อกซี่ที่เหลือภายหลังจากขึ้นรูปเป็นแผ่นใบโพลีสติก จากน้ำมันถั่วเหลืองอิพ็อกซี่ไดร์ 40 mol% (ESO40) เปรียบเทียบกับพลาสติกจากน้ำมันถั่วเหลืองอิพ็อกซี่ไดร์ 100 mol% (ESO100) ด้วยเทคนิค FTIR

แสดงในรูปที่ 4.7 ชิ้นตัวอย่างเป็นชุดเดียวกันกับที่นำไปทดสอบสมบัติความทนต่อแรงดึง แผ่นไนโอลาสติก ESO40 ไม่ปรากฏพิคของหมู่อิพ็อกซีที่เลขค่า 824 และ  $843\text{ cm}^{-1}$  (Park et al., 2004; Lin et al., 2008) ในขณะที่แผ่นไนโอลาสติก ESO100 ยังมีหมู่อิพ็อกซีบางส่วนที่หลงเหลืออยู่ แสดงว่าหมู่อิพ็อกซีใน ESO40 ถูกใช้งานหมดในขณะที่ ESO100 ยังมีหมู่อิพ็อกซีบางส่วนที่หลงเหลืออยู่ แสดงว่าปริมาณสารเชื่อมขวางโมเลกุล (MTHPA) 60 pph เพียงพอต่อปริมาณอิพ็อกไซด์ใน ESO40 เนื่องจากไม่ได้ทำการวิเคราะห์เชิงปริมาณ ดังนั้นจึงไม่สามารถระบุปริมาณอิพ็อกไซด์ที่หลงเหลืออยู่ใน ESO100 ได้ แต่ผลจากการวิเคราะห์ด้วยเทคนิค DSC ในหัวข้อ 4.6.3 พบว่าปริมาณสารเคมีดังกล่าวในน้ำจะมีเพียงเล็กน้อย เพราะปริมาณการเกิดปฏิกิริยาภายในแผ่นไนโอลาสติก ESO100 ที่มี MTHPA 60 pph มีเพียง 2.2% ในระหว่างการให้ความร้อนภายในเครื่อง DSC อย่างไรก็ตาม การมีหมู่อิพ็อกซีหลงเหลืออยู่ใน ESO100 นี้ ไม่มีผลต่อการทดลอง เนื่องจากโครงการวิจัยเน้นการเตรียมแผ่นไนโอลาสติกจาก ESO40 หากใส่สารเชื่อมขวางโมเลกุลที่มากเกิน พอนอกใน ESO40 จะไม่มีประโยชน์ต่องานวิจัย เพราะจะมีสารเคมีตกค้าง และจากการทดลองเบื้องต้นที่ผ่านมา ไม่ควรเติม MTHPA ใน ESO100 มากเกินกว่า 60 pph ตัวอย่างที่ใช้วิเคราะห์ที่เป็นชุดเดียวกันกับตัวอย่างที่ทำการทดสอบสมบัติความทนต่อแรงดึง คือ มี MTHPA 60 pph และ 1-เมทิลอะมิดาโซล 1 pph



รูปที่ 4.7 สเปกตรัมจาก FTIR ของแผ่นไนโอลาสติกจาก ESO40 และ ESO100 ใช้ MTHPA 60 pph และ 1-เมทิลอะมิดาโซล 1 pph อบที่อุณหภูมิ  $150^\circ\text{C}$  เป็นเวลา 75 min

#### 4.3 สมบัติความทนต่อแรงดึงของแผ่นไนโอลาสติกชนิด ESO40

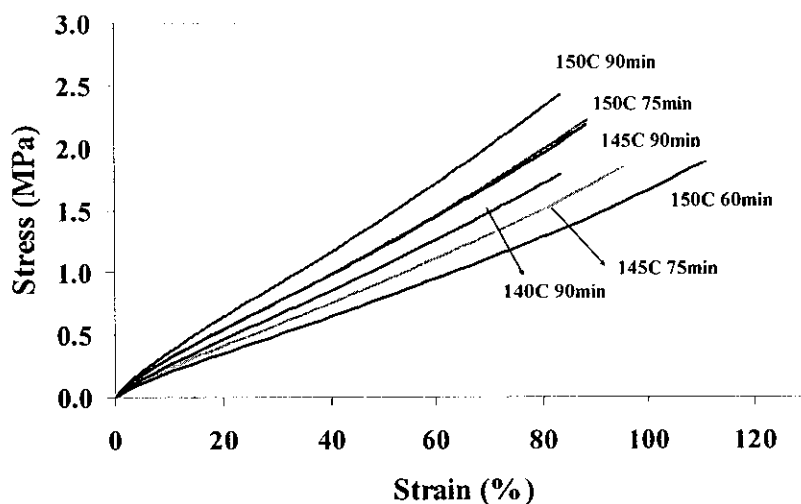
เลือกใช้ 1-เมทิลอะมิดาโซล เป็นตัวเร่งปฏิกิริยา และ MTHPA เป็นสารเชื่อมโยงโมเลกุล เพราะเป็นสารเคมีที่นิยมใช้ในการเชื่อมโยงโมเลกุลของอิพ็อกซีเรซิน ซึ่งมีการรายงานผลการวิจัยของ Miyagawa และคณะ (2005) ใช้สารเคมีสองตัวนี้ในการขึ้นรูปอิพ็อกซีเรซินที่มีน้ำมันถั่วเหลืองอิพ็อกซีไดซ์ทางการค้า (ESO100) เป็นสารเพิ่มความต้านทานแรงกระแทกให้กับอิพ็อกซี ส่วนงานวิจัยอื่นที่มีการขึ้นรูป ESO100 นั้น ไม่ใช้สารเคมีสองตัวนี้ แต่จะใช้ triethylenetetramine (TETA) เป็นสารเชื่อมโยงโมเลกุล (Liu et al., 2005) ดังนั้น โครงการวิจัยนี้ จึงมีความใหม่ในแง่ที่ว่ามีการใช้ระบบการเชื่อมโยงโมเลกุลของน้ำมันถั่วเหลืองอิพ็อกซีไดซ์ด้วย MTHPA ทดลองเติม MTHPA ในปริมาณต่างๆ คือ 50–70 pph (part per hundred of ESO) และเติมตัวเร่งปฏิกิริยา 1 pph ผลการทดลองมีสองส่วนดังนี้ เบื้องต้นทำการทดลองทดสอบภาวะการขึ้นรูป (อุณหภูมิและเวลาในการอบ) โดยเลือกใช้ MTHPA คงที่ค่าหนึ่ง เมื่อได้สภาวะการขึ้นรูปที่เหมาะสมแล้ว นำสภาวะนี้ไปใช้ทดลองเปรียบเทียบอิทธิพลของปริมาณ MTHPA ที่มีผลต่อสมบัติความทนต่อแรงดึง

#### 4.3.1 อิทธิพลของสภาวะการอบ

นำ ESO40 ผสมกับ MTHPA ปริมาณ 60 pph และ 1-เมทิลอะมิดาโซล ปริมาณ 1 pph นำไปอบที่อุณหภูมิและเวลาต่างๆ ดังที่แสดงในตารางที่ 4.8 ผลการทดสอบสมบัติความทนต่อแรงดึงแสดงในตารางที่ 4.8 เช่นกัน และกราฟความเค้น-ความเครียดของชิ้นงานแสดงในรูปที่ 4.8

ตารางที่ 4.8 สมบัติความทนต่อแรงดึงของแผ่นไวนิลคลาสติกเรียบจาก ESO40 เมื่อบอบที่สภาวะต่างๆ โดยมี MTHPA 60 pph และ 1-เมทิลอะมิดาโซล 1 pph

Condition	E (MPa)	$\delta_b$ (MPa)	$\varepsilon_b$ (%)
140°C 90 min	3.11 ± 0.58	1.75 ± 0.37	88 ± 9
145°C 75 min	3.28 ± 0.16	1.90 ± 0.33	98 ± 15
145°C 90 min	4.42 ± 0.52	2.25 ± 0.16	90 ± 5
150°C 60 min	2.52 ± 0.18	1.85 ± 0.16	113 ± 5
150°C 75 min	4.11 ± 0.48	2.29 ± 0.24	91 ± 9
150°C 90 min	4.52 ± 0.84	2.43 ± 0.58	83 ± 13



รูปที่ 4.8\* กราฟความเค้น-ความเครียดของแผ่นไวนิลคลาสติกจาก ESO40 ใช้ MTHPA 60 pph และ 1-เมทิลอะมิดาโซล 1 pph ทำการอบที่อุณหภูมิและเวลาต่างๆ

จากราฟความเค้น-ความเครียดของชิ้นงานสังเกตได้ว่า แผ่นไวนิลคลาสติกที่ได้จากการอบที่อุณหภูมิและเวลาต่างๆ มีลักษณะเปรียบ ไม่มีจุดคราก (yield point) มีความแข็งแรงไม่มากนักซึ่งสังเกตได้จากค่ามอดูลัส (E) และความเครียด ณ จุดขาด ( $\sigma_b$ ) แต่ความสามารถในการดึงยืดไม่ต่ำกว่านัก เนื่องจากความเค้น ณ จุดขาด ( $\varepsilon_b$ ) มีค่าปานกลาง (90 - 110 %) ผลการทดลองในตารางที่ 4.6 แสดงให้เห็นว่าสภาวะการอบที่อุณหภูมิ 150°C เป็นเวลา 90 min นั้น ให้สมบัติความทนต่อแรงดึงสูงที่สุด แต่ขึ้นตัวอย่างนั้นคือหัวงับประแจและแตกได้ง่ายมากที่สุด โดยสังเกตจาก การดึงลอกออกมากจากเบ้ากระจะ จะฉีกขาดง่าย ต้องใช้ความร้อนมั่นคงในการแกะลอกออกมาก ในขณะที่สภาวะอื่นจะให้ความเหนียวมากกว่า ผลการทดลองสอดคล้องกับทฤษฎีการเชื่อมโยงโมเลกุลของพลาสติกเทอร์โมเซต คือ ปริมาณการเชื่อมโยงโมเลกุล (crosslink density) ขึ้นอยู่กับอุณหภูมิและเวลาในการอบ ถ้าใช้อุณหภูมิและเวลาในการอบนาน

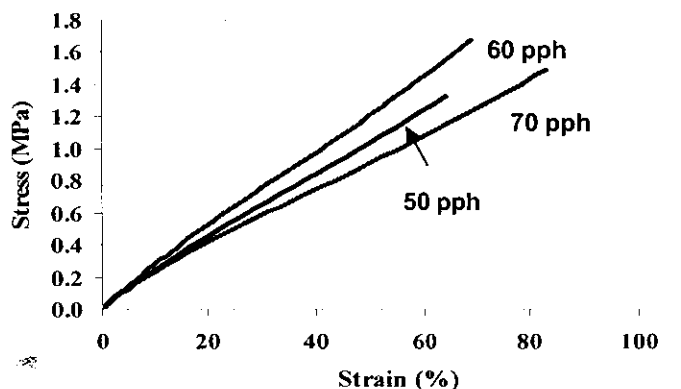
ขึ้น ปริมาณการเชื่อมโดยไม่เลกูลมากขึ้น ส่งผลพลาสติกมีความแข็งแรงมากขึ้นและมีความประمامากขึ้น นั่นคือ E และ  $\sigma_b$  เพิ่มขึ้น และ  $\epsilon_b$  ลดลง เวลาที่ใช้ในการอบไม่ควรต่ำกว่า 75 min สังเกตได้จากสภาวะ 150°C / 60 min ให้ความแข็งแรงต่างกว่าสภาวะการอบที่ 145°C / 90 min และ 150°C / 75 min ให้ความแข็งแรงใกล้เคียงกัน โดยที่สภาวะแรกจะให้ค่าสูงกว่าเล็กน้อย ทั้งสองสภาวะนี้ให้ค่าต่ำกว่าสภาวะ 150°C / 90 min เล็กน้อยและลอกแกะออกได้ง่ายกว่า จากข้อมูลที่ได้จากภาคอุตสาหกรรมในการใช้งานจริงของ MTHPA ร่วมกับอิพ็อกซี่เรซิน รวมทั้งข้อแนะนำจากบริษัทผู้ผลิต MTHPA จะมีการระบุอุณหภูมิในการอบที่ 150°C ดังนั้น จึงเลือกใช้สภาวะการอบที่อุณหภูมิ 150°C เป็นเวลา 75 min ในกรณีรูปต่อไป เพื่อศึกษาหารบิริมาณสารเชื่อมโดย MTHPA ที่เหมาะสมที่มีต่อสมบัติความทนต่อแรงดึง

#### 4.3.2 อิทธิพลของปริมาณ MTHPA

นำ ESO40 ผสมกับ MTHPA ปริมาณ 50, 60 และ 70 pph เดิม 1-เมทธิลอะมิดาโซล ปริมาณ 1 pph นำไปอบที่อุณหภูมิ 150°C เป็นเวลา 75 min ผลการทดสอบสมบัติความทนต่อแรงดึงแสดงในตารางที่ 4.9 และ stress-strain curves ของชิ้นทดสอบแสดงในรูปที่ 4.9 จะเห็นได้ว่าปริมาณ MTHPA ที่เหมาะสมคือ 60 pph

ตารางที่ 4.9 สมบัติความทนต่อแรงดึงของแผ่นไนโอล์ฟลาสติกเดรียมจาก ESO40 เมื่ออบที่อุณหภูมิ 150°C เป็นเวลา 75 min โดยมี MTHPA 50-70 pph และ 1-เมทธิลอะมิดาโซล 1 pph

MTHPA content (pph)	E (MPa)	$\delta_b$ (MPa)	$\epsilon_b$ (%)
50	3.26 ± 0.12	1.29 ± 0.16	64 ± 6
60	4.08 ± 0.48	2.29 ± 0.24	91 ± 9
70	3.40 ± 0.19	1.83 ± 0.19	101 ± 7



รูปที่ 4.9 กราฟความเด่น-ความเครียดของแผ่นไนโอล์ฟลาสติกจาก ESO40 ใช้ MTHPA 50-70 pph และ 1-เมทธิลอะมิดาโซล 1 pph อบที่อุณหภูมิ 150°C เป็นเวลา 75 min

#### 4.4 สมบัติความทนต่อแรงดึงของแผ่นไนโอล์ฟลาสติกชนิด ESO100 (Vikoflex® 7170)

##### 4.4.1 การใช้ BDMA เป็นตัวเร่งปฏิกิริยา

เนื่องจากน้ำมันถั่วเหลืองอิพ็อกซี่ไดซ์ที่ผลิตทางการค้านี้ มีปริมาณอิพ็อกไซด์ 100 mol% ดังนั้น จึงทดลองขึ้นรูปโดยใช้ระบบสารเชื่อมโดยไม่เลกูลเช่นเดียวกับที่ใช้กับอิพ็อกซี่เรซินในอุตสาหกรรม คือ ใช้ MTHPA ร่วมกับ BDMA ซึ่งได้ทดลองใช้สารเคมีนี้กับน้ำมันถั่วเหลืองอิพ็อกซี่ไดซ์ที่สังเคราะห์ขึ้นมา แต่ไม่สามารถขันรูปได้ จึงต้องใช้ 1-เมทธิลอะมิดาโซล ดังที่รายงานไว้แล้วในหัวข้อ 4.3 วัตถุประสงค์ของการทดลองใช้สารเคมีนี้คือ ถ้าหากสามารถใช้ได้ ก็

จะนำไปประยุกต์ใช้กับอุตสาหกรรมผลิตห่ออพ็อกซีคอมโพสิต เป็นการเพิ่ม toughness ให้กับอพ็อกซีด้วยน้ำมันถั่วเหลืองอพ็อกซีไดซ์ ซึ่งไม่ต้องเปลี่ยนแปลงระบบการเชื่อมโดยไม่เลกฤทธิ์ใช้อยู่ในโรงงาน

การขึ้นรูป ESO100 (Vikoflex® 7170) ยกกว่าการขึ้นรูปน้ำมันถั่วเหลืองอพ็อกซีไดซ์ เนื่องจากการมีปริมาณหมู่อพ็อกไซด์เป็นจำนวนมาก ทำให้แข็งและเปราะ จึงขาด่ายระหว่างการแกะออกจากเบ้าพิมพ์กระจาย ซึ่งบางครั้งต้องใช้เบ้าพิมพ์เทفلอน สำหรับบางสูตรและบางสภาวะการอบ นอกจากนี้ ยังมีโอกาสเกิดออกซิเดชันได้ร้ายกว่า ซึ่งสังเกตได้จากการมีผิวน้ำหนาเหนียวเหนอะ สูตรที่ใช้ในการเตรียมแผ่นไปโอลูสติกแสดงในตารางที่ 4.10 บริมาณที่ใช้เทียบกับน้ำหนักของน้ำมันถั่วเหลืองอพ็อกซีไดซ์ (per hundred of ESO, pph) ทำการอบที่ 150°C เป็นระยะเวลา 2-3.5 h เนื่องจากไม่สามารถใช้ระยะเวลาอบต้นเทากับที่ใช้ในระบบ 1-เมทิลอะมิดาโซล เพราะใช้บริมาณ MTHPA น้อยลง ได้ทำการทดลองใช้ MTHPA บริมาณเทากับที่ใช้กับ ESO40 จะได้แผ่นไปโอลูสติกที่แข็งประมาณมากๆ แต่เป็นชิ้นๆ ตั้งแต่อยู่ในตู้อบ จึงต้องทำการลดปริมาณสารเชื่อมโดยไม่เลกฤทธิ์และเพิ่มระยะเวลาในการอบ การทดลองชุดนี้ใช้เบ้าพิมพ์เทฟลอน เนื่องจากแผ่นไปโอลูสติกที่ได้หลังจากการอบจะดีดแตกกับเบ้าพิมพ์กระจาย ไม่สามารถแกะออกมาได้ ผลการทดสอบสมบัติความทนต่อแรงดึงแสดงในตารางที่ 4.11

ตารางที่ 4.10 สูตรที่ใช้ในการเตรียมแผ่นไปโอลูสติกจากน้ำมันถั่วเหลืองอพ็อกซีไดซ์ที่ผลิตทางการค้า (Vikoflex® 7170)

No.	MTHPA (pph)	BDMA (pph)
1	30	4
2		6
3		8
4		4
5	40	4

ตารางที่ 4.11 ผลการทดสอบสมบัติความทนต่อแรงดึงของ Vikoflex® 7170 หลังจากการอบด้วยเบ้าพิมพ์เทฟลอน

No.	Cure time (h)	E (MPa)	$\sigma_b$ (MPa)	$\epsilon_b$ (%)
1	2	$0.71 \pm 0.17$	$0.24 \pm 0.05$	$39.84 \pm 5.01$
	2.5	$0.90 \pm 0.15$	$0.41 \pm 0.08$	$51.53 \pm 5.12$
	3	$1.11 \pm 0.17$	$0.45 \pm 0.12$	$46.84 \pm 8.61$
	3.5	$0.91 \pm 0.19$	$0.42 \pm 0.09$	$49.71 \pm 3.85$
2	2	$1.05 \pm 0.03$	$0.40 \pm 0.04$	$46.35 \pm 5.45$
	2.5	$0.90 \pm 0.06$	$0.38 \pm 0.08$	$50.52 \pm 3.96$
	3	$0.88 \pm 0.21$	$0.35 \pm 0.09$	$46.43 \pm 7.24$
	3.5	$1.40 \pm 0.52$	$0.51 \pm 0.05$	$45.23 \pm 4.76$
3	2	$1.00 \pm 0.19$	$0.48 \pm 0.06$	$57.66 \pm 3.58$
	2.5	$1.03 \pm 0.11$	$0.43 \pm 0.07$	$48.63 \pm 5.82$
	3	$0.93 \pm 0.06$	$0.42 \pm 0.03$	$53.24 \pm 4.79$
	3.5	$1.67 \pm 0.55$	$0.48 \pm 0.06$	$42.78 \pm 5.77$
4	2	$0.78 \pm 0.25$	$0.42 \pm 0.18$	$52.65 \pm 9.52$
	2.5	$0.81 \pm 0.18$	$0.33 \pm 0.14$	$43.18 \pm 10.50$
	3	$1.42 \pm 0.13$	$0.64 \pm 0.07$	$54.99 \pm 4.72$

	3.5	$1.40 \pm 0.61$	$0.52 \pm 0.21$	$48.75 \pm 8$
5	2	$1.17 \pm 0.21$	$0.05 \pm 0.02$	$58.63 \pm 6.50$
	2.5	$1.04 \pm 0.17$	$0.11 \pm 0.17$	$57.35 \pm 7.45$
	3	$2.59 \pm 0.48$	$0.46 \pm 0.37$	$56.97 \pm 7.95$
	3.5	$1.64 \pm 0.18$	$0.71 \pm 0.07$	$46.32 \pm 1.67$

จะเห็นได้ว่าแผ่นใบโพลีสติกที่เตรียมได้นี้ไม่มีความแข็งแรง สมบัติความทนต่อแรงดึงต่ำมากๆ และต่ำกว่า แผ่นใบโพลีสติกที่เตรียมได้จาก ESO40 คาดว่าเป็นเพราะ BDMA ไม่เหมาะสม ดังนั้น การทดลองที่ทำต่อๆ ไป ใช้ 1-เมทธิลอะมิดาโซล แทนที่ BDMA

#### 4.4.2 การใช้ 1-เมทธิลอะมิดาโซล เป็นตัวเร่งปฏิกิริยา

ทดลองใช้ 1-เมทธิลอะมิดาโซล ปริมาณ 1 pph เติม MTHPA ในปริมาณ 30 – 60 pph ใช้สภาวะการอบที่ อุณหภูมิ 135, 140, 145 และ  $150^{\circ}\text{C}$  เป็นระยะเวลา 60 min และใช้เบ้าพิมพ์กระเจก ตัวอย่างที่สามารถขึ้นรูปเป็น แผ่นใบโพลีสติกได้จะนำไปทดสอบสมบัติความทนต่อแรงดึง ลักษณะทางกายภาพของตัวอย่างที่ได้จากการอบ อธิบายในตารางที่ 4.12 และผลการทดสอบสมบัติความทนต่อแรงดึงแสดงในตารางที่ 4.13

จากการตรวจสอบลักษณะทางกายภาพเบื้องต้น พบร่วมตัวอย่างที่ผสม MTHPA ในปริมาณ 30 pph น่าจะเกิด การเชื่อมโยงไม่เลกุล (crosslink) ไม่สมบูรณ์หรือไม่มากพอ เนื่องจากไม่แข็งตัวเป็นแผ่นทึบชิงงาน มีลักษณะยุ่ยและมี ผิวน้ำหนึบเนียนน่า เป็นเพราะมีการใส่สารเชื่อมยงไม่เลกุลน้อยเกินไป ส่วนตัวอย่างที่มีการเชื่อมโยงไม่เลกุลมาก เกินไป ได้แก่ตัวอย่างที่อบที่อุณหภูมิ  $145^{\circ}\text{C}$  และ  $150^{\circ}\text{C}$  ในตัวอย่างที่มี MTHPA 50 - 60 pph

ตารางที่ 4.12 ลักษณะทางกายภาพของแผ่นใบโพลีสติกที่ได้จาก Vikoflex® 7170 หลังจากการอบด้วยเบ้าพิมพ์ กระเจกที่อุณหภูมิต่างกันเป็นเวลา 60 min มี MTHPA ในปริมาณต่างกัน

MTHPA (pph)	Curing temperature ( $^{\circ}\text{C}$ )			
	135	140	145	150
30	*สีน้ำตาลแดง ผิวน้ำหนึบเนียน ยุ่ยแกะยาก	*สีน้ำตาลแดง ผิวน้ำหนึบเนียน แกะยาก	*สีน้ำตาลแดงเข้ม ผิวน้ำไม่หนึบ ยุ่ยแกะยาก	*สีน้ำตาลแดงเข้ม ผิวน้ำไม่หนึบ ยุ่ยแกะยาก
40	สีเหลืองใส หน้าไม่หนึบ แกะง่าย	สีเหลืองใส หน้าไม่หนึบ แกะง่าย	สีน้ำตาลแดง หน้าไม่หนึบ แกะง่าย	สีน้ำตาลแดง หน้าไม่หนึบ แกะง่าย
50	สีเหลืองใส หน้าไม่หนึบ แกะง่าย	สีเหลืองใส หน้าไม่หนึบ แกะง่าย	**สีเหลืองใส หน้าไม่หนึบ แกะง่าย	**สีน้ำตาลแดง หน้าไม่หนึบ แกะง่าย
60	สีเหลืองใส หน้าไม่หนึบ แกะง่าย	สีเหลืองใส หน้าไม่หนึบ แกะง่าย	**สีเหลืองใส ไม่หนึบ แกะง่าย	**สีน้ำตาลแดง ไม่หนึบ แกะง่าย

(\* การเชื่อมโยงไม่สมบูรณ์)

\*\* ตัวอย่างเปราะมากเกินไป)

ผลการทดลองนับจากนี้ต่อไป มีการเติม 1-เมทธิลอะมิดาโซล ปริมาณ 1 pph เป็นตัวเร่งปฏิกิริยาเสมอ ถึงแม้ว่า จะไม่มีการระบุในผลการทดลองหรือในรูปภาพและตาราง

ตารางที่ 4.13 สมบัติความทนต่อแรงดึงของแผ่นไบโอลาสติกที่ได้จาก Vikoflex® 7170 หลังจากการอบด้วยเนื้อพิมพ์กระเจรจ์ที่อุณหภูมิต่างกันเป็นเวลา 60 min มี MTHPA ในปริมาณต่างกัน

MTHPA (pph)	Temperature (°C)	E (MPa)	$\sigma_b$ (MPa)	$\epsilon_b$ (%)
40	135	11.63 ± 1.92	1.56 ± 0.35	27.38 ± 4.41
	140	24.89 ± 1.99	2.70 ± 0.23	25.27 ± 3.67
	145	22.87 ± 1.1	2.51 ± 0.22	22.99 ± 2.27
	150	19.05 ± 1.40	2.31 ± 0.19	25.36 ± 1.05
50	135	25.53 ± 2.22	3.22 ± 0.15	35.19 ± 3.49
	140	44.11 ± 8.59	4.37 ± 0.66	29.15 ± 3.27
60	140	84.20 ± 4.62	4.62 ± 0.51	14.98 ± 4.84

จะเห็นได้ว่าแผ่นไบโอลาสติกที่ได้จาก ESO100 นี้มีค่าสูงมากขึ้น ถ้าเลือกใช้สารเคมีและสภาวะการอบที่เหมาะสม สามารถนำไปพัฒนาเป็นแผ่นไบโอลาสติกได้ เลือกด้วยอุ่นที่ 140°C นักทดสอบสมบัติความต้านทานการฉีกขาด (tear resistance) ได้ค่าเท่ากับ  $5.72 \pm 1.11 \text{ N/mm}$  ซึ่งนับว่าเป็นค่าที่สูงกว่า ค่าที่ได้จากน้ำมันถั่วเหลืองอิพ็อกซิไดร์ทที่สังเคราะห์เอง ดังที่ระบุในหัวข้อ 4.5 ต่อไป การเบรียบเทียบผลการทดสอบระหว่างน้ำมันถั่วเหลืองอิพ็อกซิไดร์ทที่มีหมูอิพ็อกไซด์ต่างกัน ไม่จำเป็นใช้สภาวะการอบเหมือนกันก็ได้ ให้พิจารณาจากสมบัติที่ได้เป็นเกณฑ์การตัดสินใจ

#### 4.5 สมบัติความทนต่อแรงดึงของแผ่นไบโอลาสติกที่มีปริมาณอิพ็อกซิไดร์ต่าง ๆ

##### 4.5.1 อิทธิพลสภาวะการอบและแปรปริมาณ MTHPA<sup>3</sup>

เลือกใช้น้ำมันถั่วเหลืองอิพ็อกซิไดร์ทบางตัวทำการทดสอบด้วย MTHPA และเดิม 1-เมทิลอะมิดาโซล ปริมาณ 1 pph อบเป็นเวลาต่างกัน นำไปทดสอบสมบัติความทนต่อแรงดึง ค่าที่ทดสอบได้แสดงในตารางที่ 4.14

ตารางที่ 4.14 สมบัติความทนต่อแรงดึงของแผ่นไบโอลาสติกที่ได้จาก ESO ที่มีปริมาณอิพ็อกไซด์ต่างกัน อบด้วยเนื้อพิมพ์กระเจรจ์ที่อุณหภูมิ 150°C เป็นเวลาต่างกัน มี MTHPA ในปริมาณต่างกัน

Epoxide content (%)	MTHPA content (pph)	Cure time	E (MPa)	$\sigma_b$ (MPa)	$\epsilon_b$ (%)
25	60	60 min	1.71 ± 0.08	1.34 ± 0.11	51 ± 4
		75 min	2.49 ± 0.08	1.79 ± 0.07	47 ± 2
		90 min	2.30 ± 0.07	1.46 ± 0.19	43 ± 4
31	70	60 min	2.23 ± 0.13	1.31 ± 0.18	44 ± 6
		75 min	3.68 ± 0.71	2.25 ± 0.64	44 ± 7
		90 min	3.44 ± 0.09	3.01 ± 0.30	58 ± 5
35	80	60 min	0.94 ± 0.12	0.78 ± 0.04	63 ± 8
		75 min	1.98 ± 0.03	0.99 ± 0.33	41 ± 9
		60 min	2.98 ± 0.32	1.61 ± 0.25	36 ± 4
		75 min	3.52 ± 0.19	1.65 ± 0.18	43 ± 2

<sup>3</sup> ผลการทดลองได้รับการตีพิมพ์ในวารสารวิจัยและพัฒนา นช. ฉบับพิเศษ ปีที่ 30 ฉบับที่ 4 (ตุลาคม-ธันวาคม 2550) หน้า 583-590

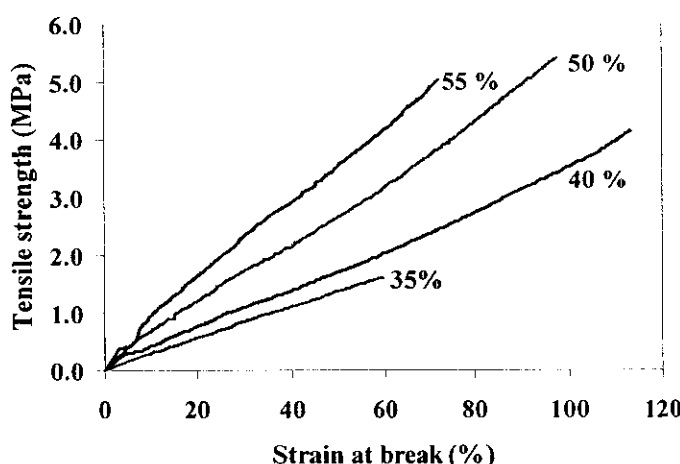
#### 4.5.2 อิทธิพลปริมาณอิพ็อกซิเดชัน<sup>4</sup>

นำน้ำมันถั่วเหลืองอิพ็อกซิไดซ์ที่สังเคราะห์ได้ในชุดแรก (ก่อนเปลี่ยนเครื่องให้ความร้อน) ที่ทราบปริมาณอิพ็อกไซด์จากเครื่อง <sup>1</sup>H-NMR ทำการเข้นรูปเป็นไบโอลาสติก โดยใช้สภาวะการอบที่ 150 °C 75 min ผลการทดสอบสมบัติความทนต่อแรงดึงแสดงในตารางที่ 4.15 stress-strain curves ของแผ่นไบโอลาสติกแสดงในรูปที่ 4.10 จากผลการทดลองจะเห็นว่า เมื่อปริมาณอิพ็อกไซด์เพิ่มขึ้น แผ่นไบโอลาสติกมีความแข็งแรงเพิ่มขึ้น และมีระยืด ณ จุดขาด ลดลง เป็นที่น่าสังเกตว่าปริมาณอิพ็อกไซด์ 35% จะให้สมบัติความทนต่อแรงดึงมากกว่า 55% คิดว่าจะเป็นเพราะมีปริมาณอิพ็อกไซด์ไม่เพียงพอ ดังนั้น โครงการวิจัยจึงเลือกใช้ ESO40 ดังที่ได้รายงานในหัวข้อ 4.3

ตารางที่ 4.15 สมบัติความทนต่อแรงดึงของแผ่นไบโอลาสติกที่ได้จาก ESO ที่มีปริมาณอิพ็อกไซด์ต่างกัน อบด้วยเน้า

พิมพ์กระดาษที่อุณหภูมิ 150 °C เป็นเวลา 75 min มี MTHPA 60 pph และ 1-เมทิลอะมิดาโซล 1 pph

Epoxidation (%)	E (MPa)	$\sigma_b$ (MPa)	$\epsilon_b$ (%)
35	2.93	1.65	56
40	4.19	4.23	115
50	6.50	5.45	99
55	8.89	4.78	69

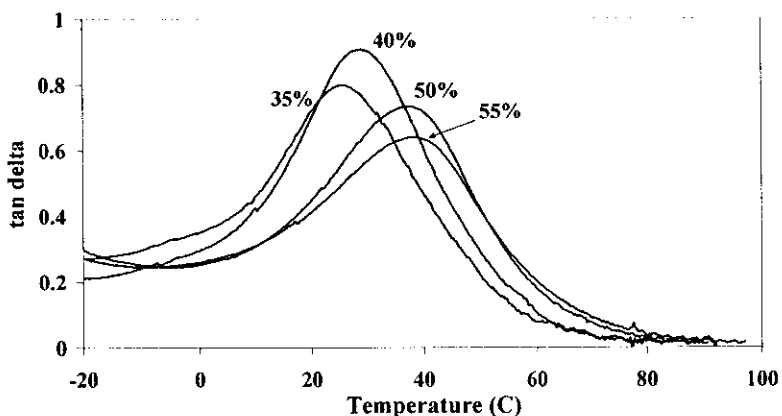


รูปที่ 4.10 กราฟความเค้น-ความเครียดของแผ่นไบโอลาสติก ESO ที่มีปริมาณอิพ็อกไซด์ต่างกัน  
⇒ ทำการเชื่อมโยงโมเลกุลด้วย MTHPA และ 1-เมทิลอะมิดาโซล

นำน้ำมันถั่วเหลืองอิพ็อกซิไดซ์ที่สังเคราะห์ได้ในชุดแรก มาทำการทดสอบขั้นรูปอิกครังหนึ่ง ทดสอบสมบัติความทนต่อแรงดึงและความด้านงานต่อการฉีดขาด และทำการเปรียบเทียบกับ Vikoflex<sup>®</sup> 7170 ผลการทดลองแสดงใน

<sup>4</sup> ผลการทดลองได้นำเสนอในงานประชุมวิชาการ PPC10 ประเทศไทย วันที่ 5 ธันวาคม 2550

ตารางที่ 4.16 สภาวะการอบมีความแตกต่างกันขึ้นอยู่กับปริมาณอิพ็อกไซด์ ตัวอย่างที่มีปริมาณอิพ็อกไซด์ตั้งแต่ 62% ขึ้นไป ทำการอบที่  $140^{\circ}\text{C}$  เป็นเวลา 60 min ในขณะที่ตัวอย่างทั่วไปจะอบที่  $150^{\circ}\text{C}$  เป็นเวลา 75 min



รูปที่ 4.11 กราฟ  $\tan \delta$  - temperature ของแผ่นไนโอลลัสติก ที่มีปริมาณอิพ็อกไซด์ต่างกัน ทำการเชื่อมโดยไม้เล็กด้วย MTHPA และ 1-เมทชิลอะมิดาโซล

ตารางที่ 4.16 สมบัติเชิงกลของแผ่นไนโอลลัสติกที่ได้จาก ESO ที่มีปริมาณอิพ็อกไซด์ต่างกัน อบด้วยเน้าพิมพ์กระเจ้า มี MTHPA 60 pph และ 1-เมทชิลอะมิดาโซล 1 pph

Epoxide content (%)	E (MPa)	$\delta_b$ (MPa)	$\varepsilon_b$ (%)	Tear strength (N/mm)
24	$0.70 \pm 0.04$	$0.38 \pm 0.04$	$97.836 \pm 10.96$	$0.87 \pm 0.11$
31	$1.97 \pm 0.11$	$0.80 \pm 0.05$	$57.69 \pm 3.85$	$2.30 \pm 0.48$
35	$2.19 \pm 0.22$	$1.00 \pm 0.2$	$65.62 \pm 10.85$	$2.85 \pm 0.30$
40	$4.79 \pm 0.40$	$1.88 \pm 0.35$	$69.25 \pm 12.8$	$3.56 \pm 0.23$
51	$17.04 \pm 2.07$	$3.35 \pm 0.53$	$69.35 \pm 8.8$	$7.98 \pm 1.01$
57	$20.81 \pm 2.15$	$3.75 \pm 0.32$	$59.1 \pm 5.6$	$9.58 \pm 0.91$
62*	$5.63 \pm 1.06$	$3.02 \pm 0.38$	$72.99 \pm 4.26$	$3.15 \pm 0.44$
88*	$37.71 \pm 7.7$	$5.75 \pm 0.9$	$53.35 \pm 8.1$	$4.48 \pm 0.27$
100* (Vikoflex® 170)	$84.20 \pm 4.62$	$5.15 \pm 0.51$	$21.99 \pm 4.84$	$5.72 \pm 1.11$

(\* ขึ้นรูปที่  $140^{\circ}\text{C}$  เป็นเวลา 60 min)

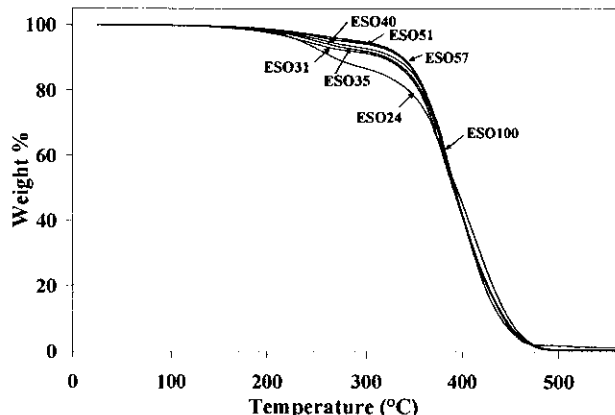
#### 4.6 ผลการวิเคราะห์ลักษณะเฉพาะของแผ่นไนโอลลัสติก

##### 4.6.1 ผลการวิเคราะห์อุณหภูมิการเสื่อมสภาพของแผ่นไนโอลลัสติกด้วยเทคนิค TGA

TGA thermograms ของแผ่นไนโอลลัสติกแสดงในรูปที่ 4.12 อุณหภูมิในการเสื่อมสภาพ (degradation temperature) นิยามโดยอุณหภูมิที่ทำให้น้ำหนักตัวอย่างหายไปตามปริมาณที่กำหนด คือ น้ำหนักหายไป 5%, 10% และ 50% เรียกอุณหภูมิที่ต่าแห่งนั้นๆ ว่า  $T_5$ ,  $T_{10}$  และ  $T_{50}$  ตามลำดับ อุณหภูมิการเสื่อมสภาพแสดงในตารางที่ 4.17 จะเห็นได้ว่า  $T_5$ , และ  $T_{10}$  มีค่าเพิ่มขึ้นเมื่อปริมาณอิพ็อกไซด์เพิ่มขึ้น ตัวอย่าง ESO57<sup>5</sup> และ ESO100 มีค่าอยู่ในช่วง

<sup>5</sup> การเรียกชื่อตัวอย่างแผ่นไนโอลลัสติกจะใช้ตัวเลขบ่งบอกปริมาณอิพ็อกไซด์

เดียวกัน ส่วนค่า  $T_{50}$  ของ ESO ทุกชนิดมีค่าใกล้เคียงกันมาก จัดได้ว่าอยู่ในช่วงเดียวกัน ที่เป็นเช่นนี้ เพราะ ESO ทุกชนิดจะเริ่มน้ำหนักลดลงอย่างรวดเร็วที่  $350^{\circ}\text{C}$  หรือเมื่อน้ำหนักหายไปตั้งแต่  $10\%$  ขึ้นไป เนื่องจากแผ่นไบโอลพลาสติกนี้เป็นสารอินทรีย์ประเภทไฮโดรคาร์บอน จึงทนความร้อนได้ไม่ดีและมีการสลายตัวที่อุณหภูมิค่อนข้างต่ำ ซึ่งเป็นธรรมชาติของสารจำพวกไฮโดรคาร์บอน



รูปที่ 4.12 TGA thermograms ของแผ่นไบโอลพลาสติกเตรียมจาก ESO ที่มีปริมาณอิพอกไซด์ต่างกัน

ตารางที่ 4.17 อุณหภูมิการเสื่อมสลายของแผ่นไบโอลพลาสติกที่เตรียมจาก ESO ที่มีปริมาณอิพอกไซด์ต่างกัน

Epoxide content (mol%)	$T_5$ ( $^{\circ}\text{C}$ )	$T_{10}$ ( $^{\circ}\text{C}$ )	$T_{50}$ ( $^{\circ}\text{C}$ )
24	234.78	267.97	393.78
31	239.26	317.08	389.93
35	251.04	321.89	390.79
40	260.44	328.16	390.77
51	279.22	336.34	391.31
57	295.88	337.91	391.19
100	291.39	335.81	392.12

#### 4.6.2 ผลการวิเคราะห์ปริมาณการเชื่อมโยงโมเลกุลของแผ่นไบโอลพลาสติกด้วยเทคนิค DMTA

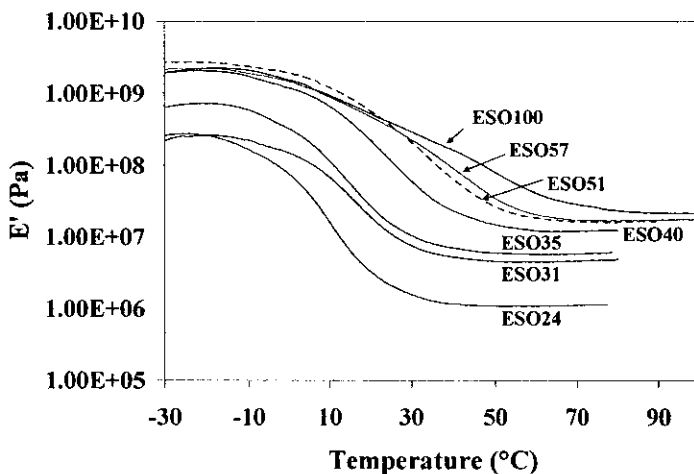
การวิเคราะห์แผ่นไบโอลพลาสติกที่มีปริมาณอิพอกไซด์ต่างๆ ด้วยเทคนิค DMTA นี้ จะได้ข้อมูลที่สามารถเปรียบเทียบปริมาณการเชื่อมโยงโมเลกุลได้ โดยการคำนวณค่า storage modulus ( $E'$ ) ในช่วง rubbery plateau ( $\sim 80^{\circ}\text{C}$ ) ดังแสดงในรูปที่ 4.13 และใช้สมการต่อไปนี้คำนวณ

$$n = \frac{E}{3RT}$$

โดยที่  $n$  บ่งบอกปริมาณการเชื่อมโยงโมเลกุล  $E$  คือค่าคงอุดลัส (ในที่นี้คือ  $E'$ )  $R$  และ  $T$  คือค่าคงที่ของกําชและอุณหภูมิตามลำดับ ตารางที่ 4.18 แสดงค่า  $n$  ที่ได้จากการคำนวณ จะเห็นว่าค่า  $n$  มีค่าเพิ่มขึ้นตามปริมาณอิพอกไซด์จากทฤษฎีวิสโคลาสติกตัวของพอลิเมอร์ ในช่วงระหว่างของยางจะมีค่าคงอุดลัสคงที่ และค่าคงอุดลัสในช่วงนี้ขึ้นอยู่กับปริมาณร่างแห่งภายในโครงสร้างโมเลกุล ถ้ามีโครงสร้างร่างแหหรือการเชื่อมโยงโมเลกุลมาก ค่าคงอุดลัสจะสูงขึ้น

ผลการทดลองแสดงค่าคงกันทฤษฎี คือ ตัวอย่างมีความแข็งแรงมากขึ้นในช่วงนี้เป็นลำดับตามปริมาณอิพอกไซด์ เพราะการเชื่อมโยงโมเลกุลของ ESO ด้วย MTHPA นั้นจะเกิดจากหมุ้อพอกไซด์ในน้ำมัน รูปที่ 4.14 แสดงค่า  $\tan$

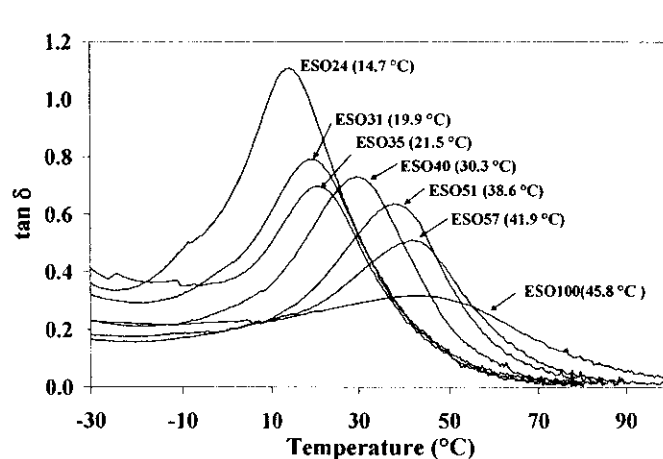
δ ที่อุณหภูมิต่างๆ ของ ESO แต่ละชนิด ตัวเลขในวงเล็บแสดงค่าอุณหภูมิที่ตำแหน่ง  $\delta$  ออก δ สูงสุด ซึ่งเป็นอุณหภูมิเทียบเท่ากับ glass transition temperature อุณหภูมนี้มีค่าเพิ่มขึ้นตามปริมาณอิพ็อกไซด์หรือตามปริมาณการเชื่อมโยงไมเลกุล โดยส่วนใหญ่มีค่าต่ำมาก ESO40 มีค่า  $T_g$  ใกล้เคียงกับอุณหภูมิห้อง



รูปที่ 4.13 กราฟแสดงความสัมพันธ์ storage modulus – temperature ของ ESO ชนิดต่างๆ

ตารางที่ 4.18 ปริมาณการเชื่อมโยงไมเลกุลของ ESO ชนิดต่างๆ ที่คำนวณได้จากการทดลองด้วยเทคนิค DMTA

Epoxide content (mol%)	Storage modulus (N/mm <sup>2</sup> )	Temperature (°C)	Temperature (K)	$n = \frac{E}{3RT}$
24	$1.15 \times 10^6$	80.24	353.24	130.59
31	$6.08 \times 10^6$	80.35	353.05	551.04
35	$4.85 \times 10^6$	80.05	353.35	690.20
40	$1.24 \times 10^7$	80.20	353.20	1408.25
51	$1.64 \times 10^7$	80.09	353.09	1863.10
57	$1.69 \times 10^7$	80.23	353.23	1919.14
100	$2.30 \times 10^7$	80.37	353.37	2610.81



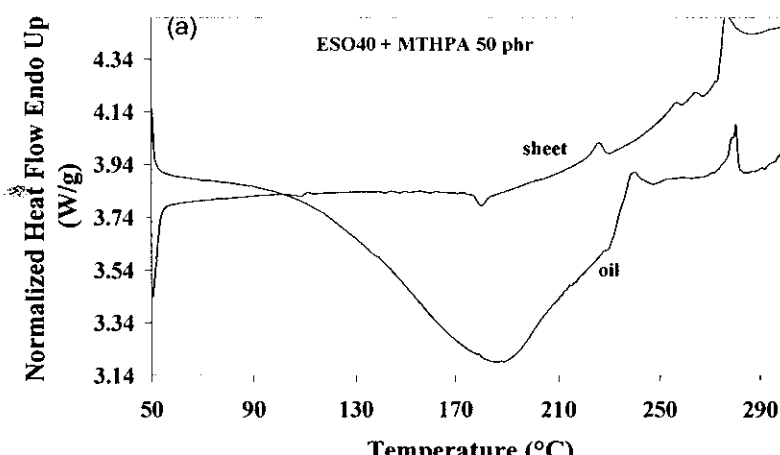
รูปที่ 4.14 กราฟแสดงความสัมพันธ์ tan δ – temperature ของ ESO ชนิดต่างๆ

#### 4.6.3 ผลการตรวจสอบการเกิดปฏิกิริยาในแผ่นใบโพลีสติกด้วยเทคนิค DSC

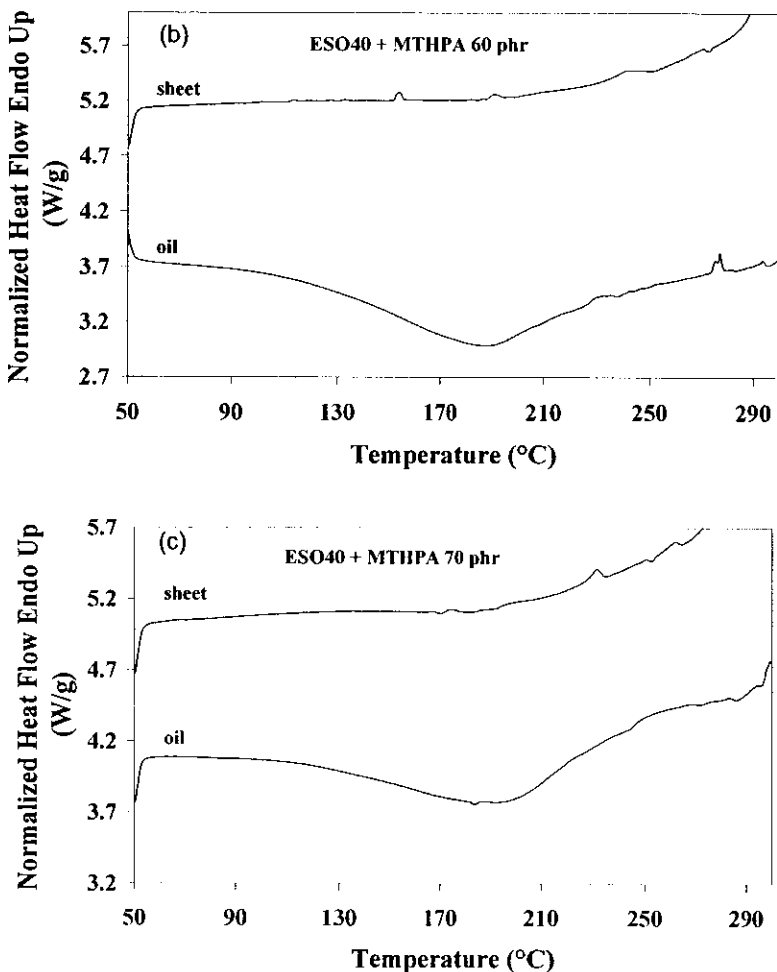
เนื่องจากแผ่นใบโพลีสติกที่เตรียมมาจาก ESO ที่มีปริมาณหมู่อิพ็อกไซด์ต่างกันและขั้นรูปเป็นแผ่นใบโพลีสติกด้วยสารเคมีในปริมาณเท่ากัน อาจทำให้มีการเกิดปฏิกิริยาเชื่อมโยงไม่เลกุลไม่เท่ากันได้ ดังนั้น จึงทำการทดลองนำแผ่นใบโพลีสติกวิเคราะห์ด้วยเทคนิค DSC ซึ่งก้ามีสารเคมีตกลักษณ์ (ส่วนที่เหลือจากการเกิดปฏิกิริยา) หรือการมีหมู่อิพ็อกไซด์ที่ยังไม่ได้ทำปฏิกิริยา สิ่งเหล่านี้จะทำให้ตัวอย่างแผ่นใบโพลีสติกเกิดปฏิกิริยาเชื่อมโยงไม่เลกุลระหว่างการให้ความร้อนในเครื่อง DSC และจะปรากฏพีคค่ายความร้อน (exothermic peak) เพื่อให้สามารถคำนวณหาปริมาณการเกิดปฏิกิริยาจากพีคค่ายความร้อนนี้ได้ จะต้องทราบปริมาณการเกิดปฏิกิริยาที่สมบูรณ์ (100%) โดยจะต้องทราบค่าความร้อนจากการเกิดปฏิกิริยาที่สมบูรณ์หรือพื้นที่ได้พิคนั้นเอง ในกรณีสามารถหาได้จากการนำ ESO ชนิดต่างๆ ผสมกับสารเคมีเท่ากันปริมาณที่ใช้ในการเตรียมแผ่นใบโพลีสติก แล้วทำการวิเคราะห์ในเครื่อง DSC ภายใต้สภาวะเดียวกันกับที่วิเคราะห์แผ่นใบโพลีสติก กำหนดให้พื้นที่ได้พีคค่ายความร้อนของ ESO เท่ากับการเกิดปฏิกิริยา 100 % แล้วนำพื้นที่ได้พีคที่ปราภูมิในแผ่นใบโพลีสติกคำนวณเปรียบเทียบตามสมการต่อไปนี้

$$X (\%) = \frac{\Delta H_S}{\Delta H_O} \times 100$$

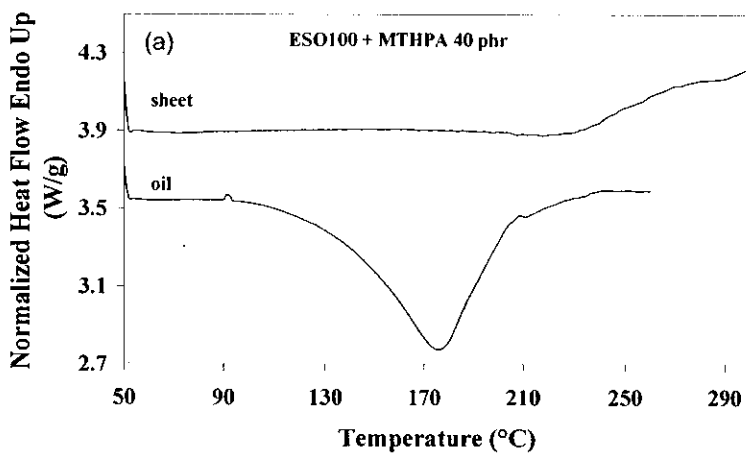
โดยที่ X คือปริมาณการเกิดปฏิกิริยา (extent of reaction) ในแผ่นใบโพลีสติก  $\Delta H_S$  และ  $\Delta H_O$  คือ พื้นที่ได้พีคค่ายความร้อนของแผ่นใบโพลีสติกและของน้ำมัน ESO ตามลำดับ รูปที่ 4.15 แสดงภาพ DSC thermograms ของ ESO40 และแผ่นใบโพลีสติกที่มีปริมาณหมู่อิพ็อกไซด์ 40% และมีสารเชื่อมโยงไม่เลกุลปริมาณต่างกัน รูปที่ 4.16 แสดงภาพ DSC thermograms ของ ESO100 และแผ่นใบโพลีสติกที่มีปริมาณหมู่อิพ็อกไซด์ 100% และมีสารเชื่อมโยงไม่เลกุลปริมาณต่างกัน พื้นที่ได้พีคและปริมาณการเกิดปฏิกิริยาที่คำนวนได้แสดงในตารางที่ 4.19 กำหนดเรียกอุณหภูมิที่ค่ายความร้อนมากที่สุดว่า  $T_p$  อุณหภูมิที่เริ่มเกิดปฏิกิริยาเชื่อมโยงไม่เลกุล ( $T_i$ ) สังเกตได้จากเส้นกราฟที่เริ่มเบี่ยงเบนออกจากเส้นฐาน (base line) สังเกตได้ว่าทุกด้วยตัวอย่างต้องใช้อุณหภูมิมากกว่า 100°C ในการทำให้เกิดปฏิกิริยาดังกล่าว ควรใช้อุณหภูมิในการอบในช่วงระหว่าง  $T_i$  -  $T_p$  การอบที่  $T_p$  จะใช้เวลาหน่อยที่สุดเพื่อทำให้เกิดปฏิกิริยาได้สมบูรณ์



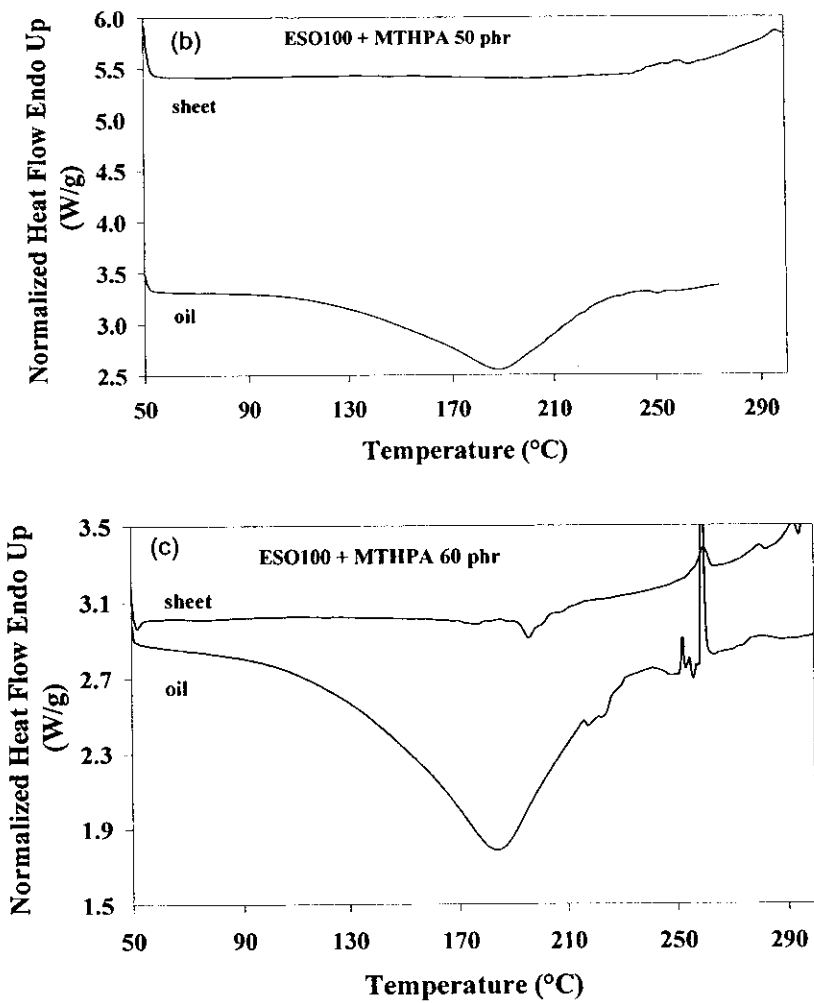
รูปที่ 4.15 a



รูปที่ 4.15 DSC thermograms ของ ESO40 และแผ่นใบโพลีแลสติกที่มีปริมาณหมู่อิพ็อกไซด์ 40 % และมีสารเชื่อมโยงโมเลกุลปริมาณต่างกัน: (a) 50 phr, (b) 60 phr และ (c) 70 phr



รูปที่ 4.16 a



รูปที่ 4.16 DSC thermograms ของ ESO100 และแผ่นในโพลีสติกที่มีปริมาณหมู่อิพ็อกไซด์ 100 % และมีสารเชื่อมโยงไม่เลกุลปริมาณต่างกัน: (a) 40 pph, (b) 50 pph และ (c) 60 pph

ตารางที่ 4.19 ปริมาณการเกิดปฏิกิริยาภายใน ESO และแผ่นในโพลีสติกระหว่างการให้ความร้อนในเครื่อง DSC

Sample		T <sub>p</sub>	ΔH	X (%)
ESO40 + MTHPA 50 pph	oil	188.83	325.616	100
	sheet	-	-	0
ESO40 + MTHPA 60 pph	oil	188.50	348.424	100
	sheet	-	-	0
ESO40 + MTHPA 70 pph	oil	195.33	255.552	100
	sheet	182.33	3.265	1.28
ESO100 + MTHPA 40 pph	oil	176.00	234.505	100
	sheet	-	-	0
ESO100 + MTHPA 50 pph	oil	187.83	277.760	100
	sheet	-	-	0
ESO100 + MTHPA 60 pph	oil	183.50	358.708	100
	sheet	195.66	7.928	2.21

จากที่กล่าวมาแล้วว่า กำหนดให้การเกิดปฏิกิริยาใน ESO เท่ากัน 100% และใช้เบรียบเทียบกับปริมาณการเกิดปฏิกิริยาในแผ่นใบโพลีสติก มีแผ่นใบโพลีสติกบางดัวอย่างที่ปราศพิเศษความร้อนซึ่งมีปริมาณน้อยมาก คือ 2.21% จัดได้ว่าไม่มีความสำคัญ เพราะอาจเป็น noise ของ base line ได้ ดังนั้น จึงสรุปได้ว่าการขึ้นรูปแผ่นใบโพลีสติกไม่มีสารเชื่อมโยงโมเลกุลตกค้างภายในแผ่นซึ่งที่เตรียมได้ แสดงให้เห็นว่าอุณหภูมิที่ใช้อ่อน (140-150°C) และระยะเวลาที่ใช้อ่อน (60-75 min) เพียงพอที่จะทำให้เกิดการเชื่อมโยงได้ตามปริมาณสารเคมีที่ใช้ ถึงแม้ว่าอุณหภูมิที่ใช้อ่อน จะต่ำกว่า  $T_g$  แต่ระยะเวลาที่อ่อนนานเพียงพอต่อการเกิดปฏิกิริยา

#### 4.6.4 การวัดความแข็งและความเหนียวแบบดึง

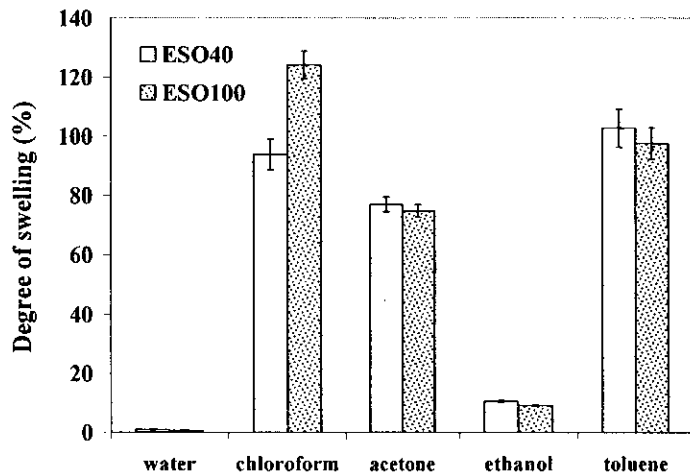
ค่าความแข็งและความเหนียวแบบดึงของ ESO ที่มีปริมาณอิพ็อกไซด์ 24-100 mol% แสดงในตารางที่ 4.20 เห็นว่าความแข็งมีค่าเพิ่มขึ้นตามปริมาณอิพ็อกไซด์ การเชื่อมโยงโมเลกุลมากขึ้นทำให้แผ่นใบโพลีสติกแข็งมากขึ้น สอดคล้องกับค่ามอดูลัสที่รายงานไปแล้ว ค่าความเหนียวแบบดึงมีค่าเพิ่มขึ้นตามปริมาณอิพ็อกไซด์เข่นกัน แต่เมื่อปริมาณอิพ็อกไซด์เพิ่มเป็น 100 mol% ค่าความเหนียวแบบดึงมีค่าลดลง แสดงถึงลักษณะประมาณมากขึ้น สอดคล้องกับค่าระยะยืด ณ จุดขาด ดังที่รายงานไปแล้วเข่นกัน

ตารางที่ 4.20 ความแข็งและความเหนียวแบบดึงของแผ่นใบโพลีสติกจาก ESO เกรดต่างๆ

Epoxide content (mol%)	Hardness (shore A)	Tensile toughness (MPa)
24	11 ± 1	0.17 ± 0.00
31	46 ± 1	0.29 ± 0.01
35	50 ± 3	0.52 ± 0.01
40	64 ± 1	0.89 ± 0.01
51	75 ± 1	1.34 ± 0.00
57	79 ± 1	1.08 ± 0.01
88	91 ± 0	1.94 ± 0.02
100	96 ± 1	0.42 ± 0.01

#### 4.6.5 การบวมตัวในตัวทำละลายต่างๆ

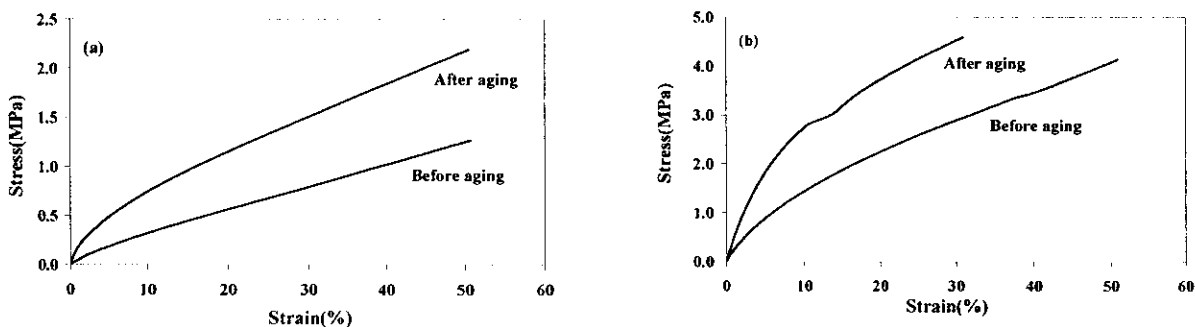
ทำการทดสอบการบวมตัวของแผ่นใบโพลีสติกเตรียมจาก ESO40 และ ESO100 โดยการแช่ในสารต่อไปนี้ น้ำ คลอรอฟอร์ม อะซิโตน เอทานอล และโถวอิน เนื่องจากความสามารถในการด้านทานสารเคมีต่างๆของ ESO มีค่าไม่เท่ากัน ดังนั้นระยะเวลาในการแช่จะแตกต่างกัน ได้ทำการตรวจสอบชิ้นงานเมื่อเป็นระยะเวลาต่างๆ พบว่าชิ้นงานจะเกิดการแตกเมื่อแช่เป็นเวลานาน รายงานผลจากระยะเวลา ก่อนขึ้นงานแตก ช่วงระยะเวลาดังกล่าว นี้ ดัวอย่างมีหน้างคงที่แล้ว การทดสอบในอะซิโตนและเอทานอลใช้ค่าการบวมตัวที่ระยะเวลา 200 min การทดสอบด้วยเอทานอลใช้ค่าการบวมตัวที่ระยะเวลา 150 min และการทดสอบด้วยคลอรอฟอร์มใช้ค่าการบวมตัวที่ระยะเวลา 100 min การแช่ที่มีระยะเวลา กว่านี้จะทำให้ดัวอย่างเกิดการแตก ส่วนการทดสอบด้วยน้ำจะใช้เวลา 4 วัน ดัวอย่างไม่เกิดการแตก รูปที่ 4.17 แสดงค่าปริมาณการบวมตัวของแผ่นใบโพลีสติก ESO40 และ ESO100 ผลการทดลองแสดงให้เห็นว่า แผ่นใบโพลีสติกมีความด้านทานต่ำน้ำดี แต่ความด้านทานต่อสารเคมีค่อนข้างต่ำมาก



รูปที่ 4.17 ปริมาณการบวมตัวของแผ่นไบโอพลาสติกจาก ESO40 และ ESO100 ในตัวทำละลายต่างๆ

#### 4.6.6 การทดสอบการบ่มด้วยความร้อน

การทดสอบความต้านทานต่อความร้อน โดยเปรียบเทียบสมบัติความทนต่อแรงดึงก่อนและหลังการบ่ม รูปที่ 4.18 และ 4.19 แสดงกราฟความเค้น-ความเครียด ของแผ่นไบโอพลาสติก ESO40 และ ESO100 ก่อนและหลังการบ่ม จะเป็นว่าไบโอพลาสติกทั้งสองชนิดมีพฤติกรรมเหมือนกันคือ หลังการบ่มด้วยความร้อน จะมีความแข็งแรงมากขึ้น ค่ามอดูลัสและความเค้น ณ จุดขาด มีค่าเพิ่มขึ้น และความเครียด ณ จุดขาด มีค่าลดลง ค่าปริมาณการเปลี่ยนแปลงสมบัติถังกล่าวนี้รายงานในตารางที่ 4.21



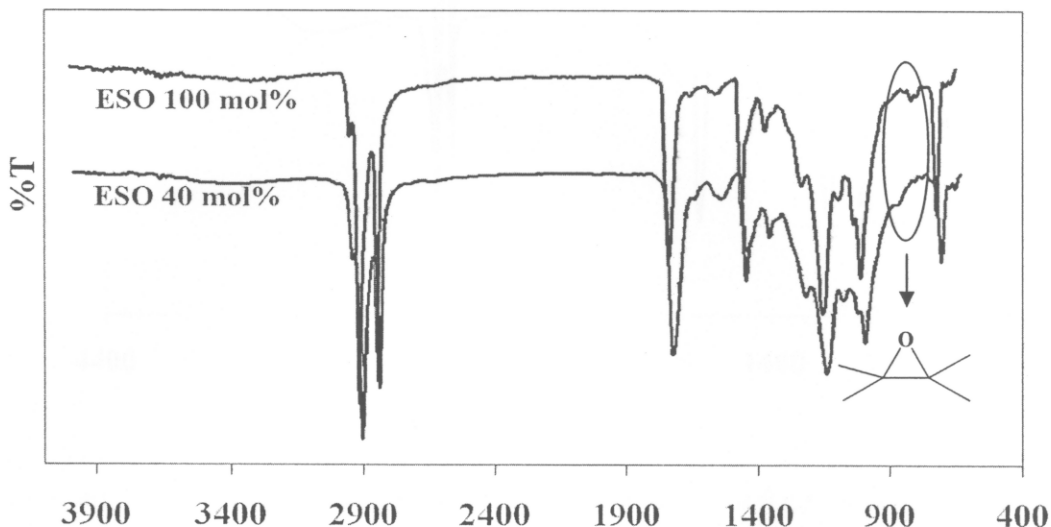
รูปที่ 4.18 กราฟความเค้น-ความเครียดของแผ่นไบโอพลาสติกก่อนและหลังบ่มด้วยความร้อนที่อุณหภูมิ  $100^{\circ}\text{C}$  เวลา 24 h: (a) ESO40 และ (b) ESO100

ตารางที่ 4.21 ค่าการเปลี่ยนแปลงสมบัติความทนต่อการดึงหลังการบ่มด้วยความร้อนของแผ่นไบโอพลาสติก

Sample	$\Delta E$ (%)	$\Delta \sigma_b$ (%)	$\Delta \varepsilon_b$ (%)
ESO40	393.28	84.09	-0.02
ESO100	79.67	107.81	-2.87

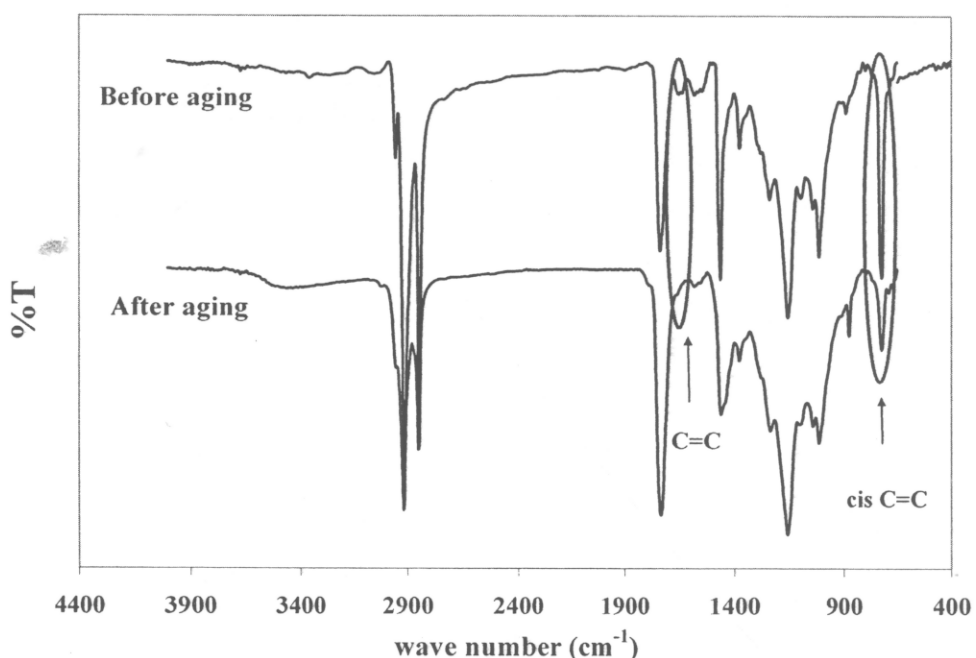
การที่แผ่นไบโอพลาสติก ESO มีความแข็งแรงเพิ่มขึ้นหลังการบ่มด้วยความร้อน น่าจะเป็นเพราะมีการซึมอยู่ในโมเลกุลเพิ่มขึ้น ESO40 มีทั้งหมู่อิพ็อกซี่และพันธะคู่ โดยที่มีพันธะคู่มากกว่า (พันธะคู่ถูกเปลี่ยนเป็นวงแหวนอิพ็อกซี่ไป 40 mol%) ส่วน ESO100 ไม่มีพันธะคู่เหลืออยู่ ทำการวิเคราะห์แผ่นไบโอพลาสติก เพื่อตรวจสอบหมู่ฟังก์ชันอิพ็อกซี่ที่เหลืออยู่ภายหลังจากนั้นรูปด้วยเทคนิค FTIR พบว่าแผ่นไบโอพลาสติก ESO40 ไม่ปรากฏพีคของหมู่ฟังก์ชันอิพ็อกซ์ิดที่เลขคลื่น  $824$  และ  $843\text{ cm}^{-1}$  (Park et al., 2004; Lin et al., 2008) เหลืออยู่ ดังแสดงในรูปที่ 4.19

อธิบายได้จากการแหนนอิพ็อกไซด์จาก ESO40 ได้ถูกเปิดออกเพื่อใช้ในการเชื่อมขาวงโนเลกุลชนิดขั้นรูปจนหมดเมื่อใช้สารเชื่อมขาวงในปริมาณ 60 pphr แสดงว่าการใช้สารเชื่อมขาวงในปริมาณดังกล่าวสามารถเกิดปฏิกิริยาอย่างน้อยที่พอดีกับหมูอิพ็อกไซด์ปริมาณ 40 mol% ในขณะที่แผ่นไบโอลพลาสติกจาก ESO100 ยังมีหมูพังก์ชันอิพ็อกไซด์เหลืออยู่เนื่องมาจากการเกิดปฏิกิริยาเชื่อมขาวงได้ไม่หมด

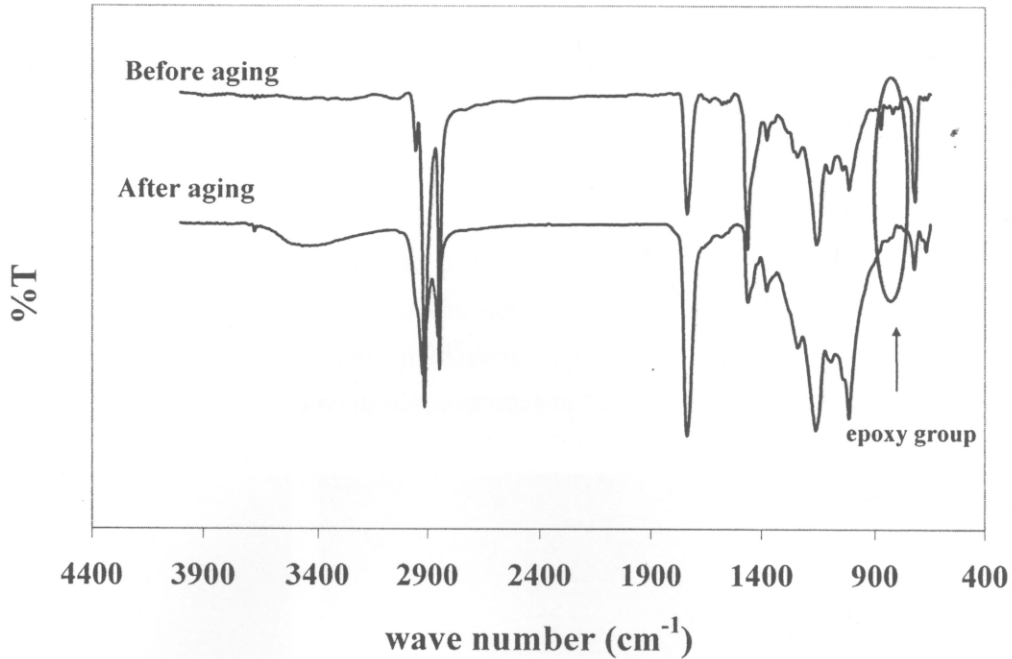


รูปที่ 4.19 สเปกตรัม FTIR ของแผ่นไบโอลพลาสติก ESO40 และ ESO100

นำแผ่นไบโอลพลาสติกของ ESO40 และ ESO100 หลังทำการบ่มด้วยความร้อนวิเคราะห์ด้วยเทคนิค FTIR และเปรียบเทียบกับสเปกตรัมก่อนทำการบ่มดังแสดงในรูปที่ 4.20 และ 4.21



รูปที่ 4.20 สเปกตรัม FTIR ของแผ่นไบโอลพลาสติก ESO40 ก่อนและหลังบ่มด้วยความร้อนที่อุณหภูมิ 100°C เป็นเวลา 24 h



รูปที่ 4.21 สเปกตรัม FTIR ของแผ่นใบโพลีอีโซติก ESO100 ก่อนและหลังบ่มด้วยความร้อนที่อุณหภูมิ  $100^{\circ}\text{C}$  เป็นเวลา 24 h

ผลการวิเคราะห์พบว่าหลังการบ่มด้วยความร้อน พันธะคู่ใน ESO40 มีปริมาณลดลง ส่วนหมู่อิพ็อกซ์ใน ESO100 มีปริมาณลดลงชั่นกัน สังเกตจากความสูงของพีคที่เกี่ยวข้องที่แสดงในรูปทั้งสองมีการลดลง แต่เป็นที่น่าเสียดายที่ไม่ได้ทำการตรวจสอบเชิงปริมาณอย่างแน่ชัด อย่างไรก็ตาม สเปกตรัมที่เปรียบเทียบกันนี้ สอดคล้องกับผลของการทดสอบสมบัติความทนต่อแรงดึง การบ่มด้วยความร้อนน่าจะทำให้ ESO เกิดการซึมโคงโยเกลกุลระหว่างการให้ความร้อน ทำให้จำนวนพันธะคู่และหมู่อิพ็อกซ์น้อยลง เนื่องจากเกิดปฏิกิริยาซึมโคงดังกล่าว ดังนั้น แผ่นใบโพลีอีโซติก ESO จึงมีความแข็งแรงมากขึ้น

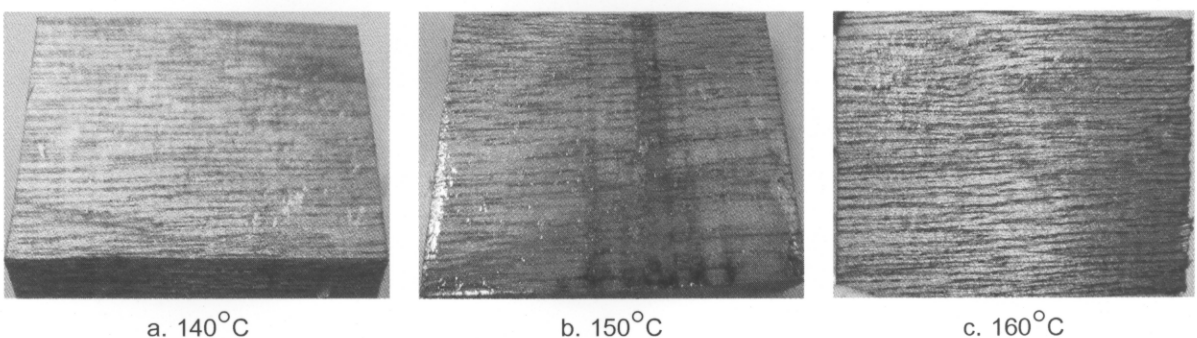
#### 4.6.7 การทดสอบความต้านทานต่อโอโซน

การทดสอบความต้านทานต่อโอโซนเมื่อปัจุหัดังนี้ การทดลองครั้งแรกไม่สามารถดึงยืดชิ้นงานได้ เพราะการทดสอบจะต้องดึงชิ้นทดสอบ ในการทดลองใช้ระยะยืดของ การดึงเพียง 3% strain เท่านั้น แต่ด้วยอย่างขาดหลังการถูกดึงยืด จึงเปลี่ยนแปลงวิธีการทดสอบ ลดการดึงยืดเป็นการดึงชิ้นตัวอย่างเพียงเล็กน้อยหรือขึ้นให้ตึง นำไปป้อนในเครื่องทดสอบที่มีความเข้มโอโซน 50 ppbh ที่อุณหภูมิ  $40^{\circ}\text{C}$  พบว่าทั้ง ESO40 และ ESO100 ไม่ปรากฏรอยแตกตามที่สังเกตด้วย肉眼โดยไม่ทำการอบเป็นเวลา 8 วัน หลังการทดสอบครั้งนี้ เครื่องทดสอบชำรุดจนถึงปัจจุบัน

#### 4.7 การทดสอบการเคลือบผิว ESO100 บนไม้ย่างพารา

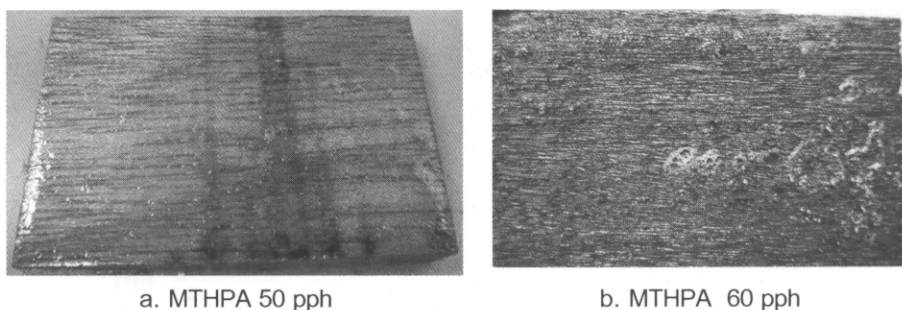
ทดลองเคลือบ ESO100 บนแผ่นอลูมิเนียม โดยผสม ESO100 กับ MTHPA 40 ppbh และ 1-เมทธิลอะมิดาโซล 1 ppbh และนำแผ่นอลูมิเนียมขนาด  $4\text{ cm} \times 5\text{ cm}$  (กว้าง x ยาว) หนา  $1\text{ mm}$  จุ่มลงในสารละลาย ESO100 ประมาณ 1-2 min และนำป้อนในตู้อบที่อุณหภูมิ  $135^{\circ}\text{C}$  เป็นเวลา 1 h พบร้า ผิวชิ้นงานไม่เรียบเพราะ ESO100 เคลือบไม่ทั่ว แผ่นอลูมิเนียม มี ESO100 หลักไปรวมกันเป็นกลุ่มก้อน คาดว่าห่าจะเกี่ยวข้องกับแรงตึงผิวที่ไม่เหมาะสม จึงยุติการทดลองการเคลือบบนแผ่นอลูมิเนียม

ทำการทดลองเคลือบ ESO100 บนไม้ย่างพาราขนาด 4 cm x 5 cm (กว้าง x ยาว) โดยเตรียมสารละลาย ESO100 ตามที่กล่าวมาแล้ว ใช้ประทสารละลาย ESO ให้ทั่วชิ้นงาน ทำการทดลองท่า 1-3 ครั้ง แล้วนำไปอบในตู้อบที่อุณหภูมิ 135°C เป็นเวลา 1 h พบว่า ESO100 ไม่แห้งทั่วทั้งชิ้นไม้ และจำนวนครั้งของการทาไม่มีผลต่อลักษณะของ ESO100 ที่เคลือบบนผ้าไม้ย่างพารา คาดว่าอุณหภูมิที่ใช้ในการอบน่าจะต่ำเกินไปหรือเวลาในการอบสั้นเกินไป ถึงแม้ว่าการเตรียมแผ่นใบโพลีอะสติกจาก ESO100 จะมีการใช้สารเคมีทึบส่องในปริมาณดังกล่าวและถูกอบที่สภาวะดังกล่าวได้ดี แต่การใช้สภาวะการอบนี้กับชิ้นไม้ย่างพาราที่หนา 1 cm ทำให้ความร้อนถูกใช้ไปกับเนื้อไม้ก่อน ดังนั้น จึงทดลองเพิ่มอุณหภูมิในการอบเป็น 140, 150 และ 160°C และใช้เวลาในการอบ 1 h เช่นเดิม ผลการทดลองพบว่า ESO100 แห้งสนิท แต่ผิวชิ้นงานไม่เรียบ มีฟองเกิดขึ้นบนผิวชิ้นงาน ดังแสดงในรูปที่ 4.22 เนื่องจากสารละลาย ESO100 มีความหนืดคล�นข้างต่ำ ไม่เหมาะสมกับการทา ทำให้ไม่สามารถเคลือบทั่วชิ้นไม้ย่างพารา เพราะมีการหลอกจากชิ้นไม้ย่างพารา จึงต้องสมมติฐานว่า ควรเพิ่มความหนืดของสารละลาย ESO100 ด้วยการเพิ่มปริมาณ MTHPA



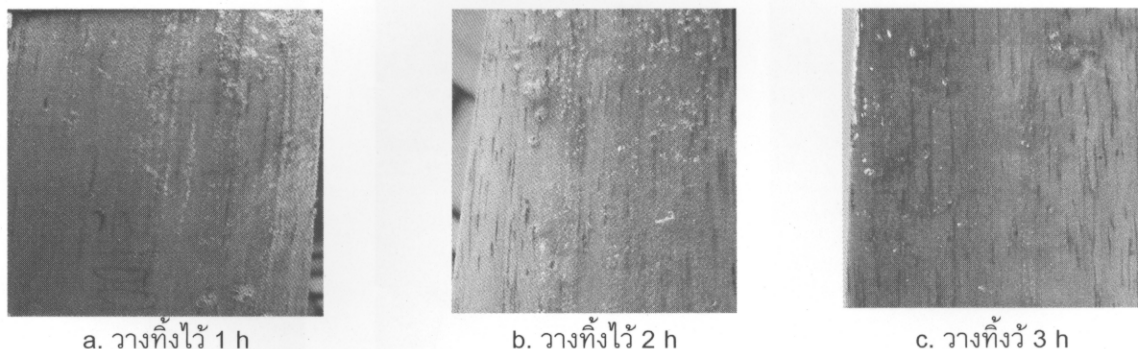
รูปที่ 4.22 ภาพไม้ย่างพาราเคลือบด้วย ESO100 ที่ใช้ MTHPA 40 pph และ 1-เมทิลอะมิโนไซด์ 1 pph อบเป็นเวลา 1 h ที่อุณหภูมิต่างๆ

ทดลองเพิ่ม MTHPA และเวลาในการอบ โดยใช้ MTHPA 40, 50 และ 60 pph อบไม้ที่อุณหภูมิ 150°C เป็นเวลา 1, 2 และ 3 h ตามลำดับ และมี 1-เมทิลอะมิโนไซด์ 1 pph พบว่า ESO100 แห้งสนิท ลักษณะผิวน้ำขึ้นไม่ทันที ไม่เรียบ มีฟองอากาศเกิดขึ้นบนผิวน้ำไม้และด้านข้าง ถึงแม้ว่าการเพิ่มปริมาณ MTHPA จะทำให้ความหนืดของสารละลาย ESO100 เพิ่มขึ้นจากการสังเกตเมื่อทำการทาด้วยแปรง เมื่อสังเกต MTHPA ด้วยตาเปล่า พบว่าที่ 60 pph จะมีความหนืดมากกว่าที่ 40 และ 50 pph แต่อย่างไรก็ตาม ความหนืดยังไม่เหมาะสมที่จะใช้เป็นสารเคลือบผิวด้วยการทำ พราะเมื่อหalog ไปบนไม้แล้วจะเกิดการหลอกไป ทำให้ความหนาของสารเคลือบผิว ESO100 บนเนื้อไม้แต่ละที่ไม่สม่ำเสมอ กัน แต่ไม่สามารถแสดงในภาพถ่ายได้ รูปที่ 4.23 แสดงฟองอากาศในสารเคลือบผิว ESO100



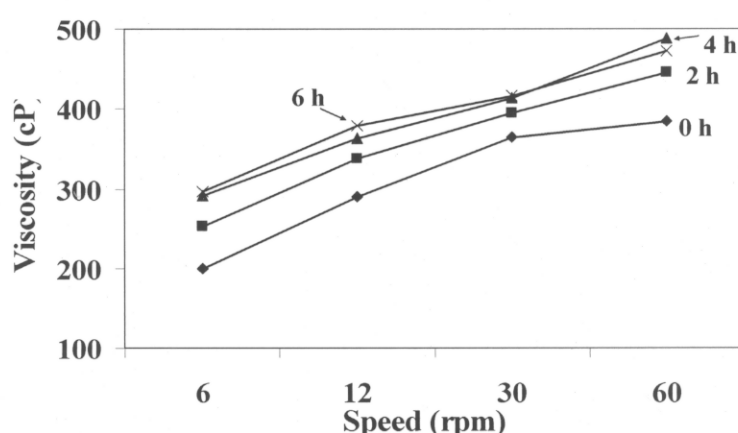
รูปที่ 4.23 ภาพไม้ย่างพาราเคลือบด้วย ESO100 ที่ใช้ MTHPA 50-60 pph และ 1-เมทิลอะมิโนไซด์ 1 pph อบเป็นเวลา 1 h ที่ 150°C

จากการทดลองที่ผ่านมา พบว่า MTHPA 60 pph มีความหนืดมากที่สุด แต่ยังมีความจำเป็นที่จะต้องเพิ่มความหนืดของสารละลาย ESO100 เพื่อให้เหมาะสมต่อการนำไปทาหรือจุ่ม ดังนั้น จึงทดลองเตรียมเป็นพรีโพลิเมอร์ (prepolymer) โดยการปล่อยให้เกิดปฏิกิริยาระหว่าง ESO100 และ MTHPA ก่อนนำไปใช้งาน เตรียมสารละลาย ESO100 ที่มี 1-เมทธิลอะมิดาโซล 1 pph และ MTHPA 60 pph วางทิ้งไว้ที่อุณหภูมิห้องเป็นเวลา 1-3 h สังเกตเห็นว่าสารละลาย ESO100 มีความหนืดเพิ่มขึ้นตามเวลาที่เพิ่มขึ้น นำชิ้นงานไม้ยางพาราจุ่มลงในสารละลาย ESO100 (คาดว่าจะให้ความหนาสู่เสมอมากกว่าการทาด้วยแบรงก้าสี) และนำไปอบที่ 150°C เป็นเวลา 1 h ปรากฏว่า ลักษณะผิวน้ำของไม้จะไม่เรียบ พิล์มหนาไม่สู่เสมอ ผิวบางส่วนยังเห็นรอยแต้มเงาเด่นชัด แสดงว่าฟองอากาศดังแสดงในรูปที่ 4.24



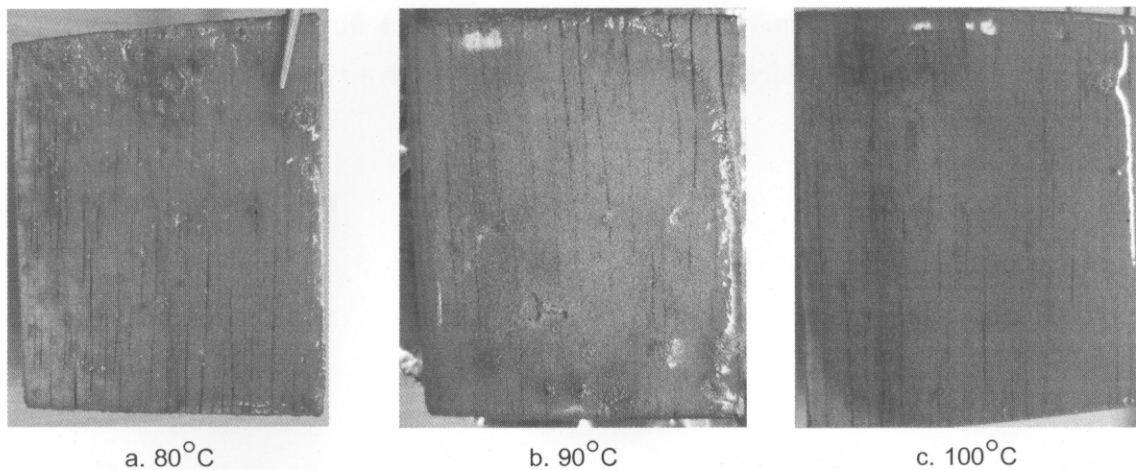
รูปที่ 4.24 ภาพไม้ยางพาราเคลือบด้วย ESO100 ที่มีการบ่มสารละลาย ESO100 ที่อุณหภูมิห้องเป็นเวลา 1-3 h ก่อนนำไปเคลือบบนไม้ยางพารา อบชี้ไม้ยางพาราที่ 150°C เป็นเวลา 1 h

ตรวจสอบความหนืดของสารละลาย ESO100 ที่วางทิ้งไว้เป็นเวลา 0, 2, 4, 6 และ 24 h ด้วยเครื่องวัดความหนืดแบบบрукฟิลด์ พบว่าความหนืดจะเพิ่มขึ้นเรื่อยๆ ตามระยะเวลาที่วางสารละลาย ESO100 ทิ้งไว้ ดังแสดงในรูปที่ 4.25 ส่วนความหนืดของสารละลาย ESO100 ที่วางทิ้งไว้เป็นเวลา 24 h ไม่สามารถวัดค่าได้ด้วยเครื่องทดสอบนี้ เนื่องจากมีค่าความหนืดสูงเกินกว่าที่เครื่องมือจะวัดได้ จะเห็นได้ว่าความหนืดมีค่าสูงขึ้นเมื่อเวลาผ่านไป แต่ไม่เพิ่มขึ้นมากนัก ส่วนการวางทิ้งไว้เป็นเวลา 24 h ไม่น่าจะเหมาะสมต่อการนำไปใช้งาน คาดว่าการให้ความร้อนแก่สารละลาย ESO100 ใน การทดลองชุดนี้ยังไม่สูงเพียงพอต่อการนำไปใช้งาน คาดว่าการให้ความร้อนแก่สารละลาย ESO100 ก่อนนำไปใช้ จะช่วยเร่งการเกิดปฏิกิริยามากขึ้น น่าจะทำให้ความหนืดสูงขึ้น



รูปที่ 4.25 ค่าความหนืดแบบบрукฟิลด์ของสารละลาย ESO100 ที่วางทิ้งไว้เป็นเวลา 0-6 h ที่อุณหภูมิห้อง

เตรียมสารละลายน้ำ ESO100 ที่มี 1-เมทธิลอะมิดาโซล 1 pph และ MTHPA 60 pph นำไปอบที่อุณหภูมิ 80, 90 และ 100°C เป็นเวลา 1, 2, 3, 4 และ 5 h ตามลำดับ พบร้าที่อุณหภูมิ 80 และ 90°C ในเวลา 4 และ 5 h สารละลาย ESO100 จะแห้งแข็งติดบีกเกอร์ ไม่สามารถนำมาใช้ได้ ที่อุณหภูมิ 100°C ต้องใช้เวลาในการอบ 1 h เท่านั้น ถ้าเวลาอบนานกว่านี้ สารละลาย ESO100 จะแห้งแข็งติดบีกเกอร์ ทำการจุ่มน้ำมายังพาราในสารละลาย ESO100 และนำไปอบที่ 150°C เป็นเวลา 1 h พบร้า ผิวน้ำและด้านข้างของไม้ยังมีฟองอากาศอยู่ มีสารละลาย ESO100 บางส่วนไหลลงไปด้านข้างของไม้ และที่อุณหภูมิ 100°C ผิวน้ำของไม้จะหนาและมีความสม่ำเสมอมากที่สุด รองลงมาคืออุณหภูมิ 90 และ 80°C ตามลำดับ ดังรูปที่ 4.26



รูปที่ 4.26 ภาพไม้ยังพาราเคลือบด้วย ESO100 ที่มีการบ่มสารละลาย ESO100 ที่อุณหภูมิ 80-100°C เป็นเวลา 1 h ก่อนนำไปเคลือบบนไม้ยังพาราด้วยวิธีจุ่ม อบชั้นไม้ยังพาราที่ 150°C เป็นเวลา 1 h

จากการทดลองที่ผ่านมา มีทั้งการใช้แปรสภาพและ การจุ่ม ซึ่งพบว่าการจุ่มให้ชั้นงานที่ดีกว่าการใช้แปรสภาพ แต่สิ่งที่สังเกตเห็นจากการจุ่มคือ การมีฟองอากาศที่ผิวน้ำชั้นงานซึ่งเกิดขึ้นระหว่างการจุ่ม ดังนั้น จึงหารือวิธีการที่จะลดหรือกำจัดฟองอากาศนี้ออกไป เลือกใช้พู่กันทาไม้ในการทำสารละลาย ESO100 เนื่องจากพู่กันมีข้อที่อ่อนนุ่มกว่าแปรสภาพ การทาหนาจะช่วยลดฟองอากาศที่เกิดบนผิวได้ การทดลองตอนนี้แบ่งเป็น 3 ชุด โดยใช้สารละลาย ESO100 ที่มี MTHPA 60 pph และ 1-เมทธิลอะมิดาโซล 1 pph วิธีการเตรียมตัวอย่างและผลการทดลองแต่ละชุดมีดังนี้

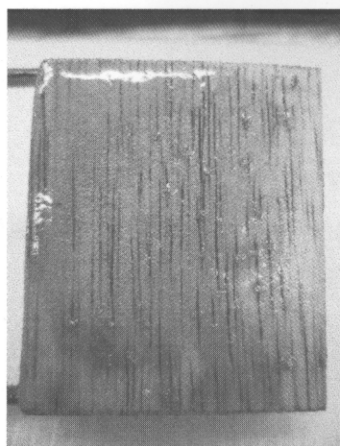
- ชุดที่หนึ่ง นำสารละลาย ESO100 ไปอบที่อุณหภูมิ 80°C เป็นเวลา 1-3 h เมื่อครบเวลาที่กำหนดนำสารละลาย ESO100 ออกจากตู้อบ วางทิ้งไว้เป็นเวลา 1 h ที่อุณหภูมิห้อง ใช้พู่กันทาสารละลาย ESO100 ให้ทั่วชั้นไม้และนำไปอบที่อุณหภูมิ 150°C เป็นเวลา 1 h พบร้าสารละลาย ESO100 ที่อบเป็นเวลา 1 h จะมีผิวน้ำที่ไม่สม่ำเสมอ บางส่วนจะเลือบไม่ติด และเมื่อเวลาที่ใช้อบสารละลาย ESO100 นานขึ้น ความหนาของฟิล์ม ESO100 บนผิวน้ำของไม้ก็จะเพิ่มขึ้นตามลำดับ ถึงแม้ว่าจะได้แผ่นฟิล์ม ESO100 แห้งสนิทดี แต่สารละลาย ESO100 ยังคงไหลออกจากชั้นไม้ระหว่างการทำ

- ชุดที่สอง นำสารละลาย ESO100 ไปอบที่อุณหภูมิ 90°C เป็นเวลา 1-3 h เมื่อครบเวลาที่กำหนดนำสารละลาย ESO100 ออกจากตู้อบ วางทิ้งไว้เป็นเวลา 1 h ที่อุณหภูมิห้อง ใช้พู่กันทาสารละลาย ESO100 ให้ทั่วชั้นไม้และนำไปอบที่อุณหภูมิ 150, 160 และ 170°C เป็นเวลา 30, 45 และ 60 min พบร้าการอบสารละลาย ESO100 นานขึ้น จะทำให้ได้แผ่นฟิล์ม ESO100 บนผิวไม้ยังพาราหนามากขึ้น เช่นเดียวกันกับผลการทดลองชุดที่หนึ่ง การอบไม่ที่เวลานานขึ้นจะทำให้ได้แผ่นฟิล์มดีขึ้นในทุกอุณหภูมิของการอบ นั่นคือ เวลาอบที่ 60 min ให้แผ่นฟิล์มที่มีความ

หนาสม่ำเสมอมากที่สุดและมีฟองอากาศน้อยที่สุด ส่วนผลการอบไม้ที่อุณหภูมิต่างกันพบว่า การอบไม้ที่  $170^{\circ}\text{C}$  ให้แผ่นพิล์มที่ดีที่สุด คือ มีฟองอากาศน้อยที่สุด

- ชุดที่สาม นำสารละลาย ESO100 ไปอบที่อุณหภูมิ  $100^{\circ}\text{C}$  เป็นเวลา 1 และ  $1.30\text{ h}$  เมื่อครบเวลาที่กำหนดนำสารละลาย ESO100 ออกจากตู้อบ วางทึ้งไว้เป็นเวลา 1 h ที่อุณหภูมิห้อง ใช้พู่กันทดสอบสารละลาย ESO100 ให้ทั่วชิ้นไม้ และนำไปปะปอนที่อุณหภูมิ  $150^{\circ}\text{C}$  เป็นเวลา 1 h พบร้า ESO เมื่ออบที่อุณหภูมิ  $100^{\circ}\text{C}$  เป็นเวลา 1 h จะมีผิวน้ำที่เรียบและหนาสม่ำเสมอมากกว่าอบที่  $1\text{ h }30\text{ min}$

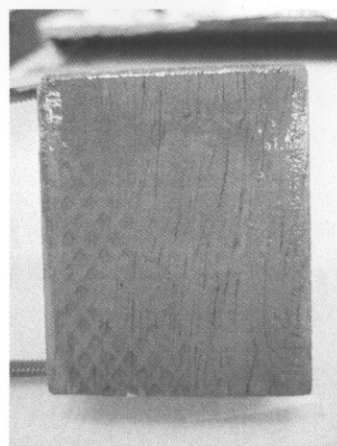
การอบสารละลาย ESO100 ที่อุณหภูมิสูง เช่น  $80\text{-}100^{\circ}\text{C}$  ในระยะเวลาหนึ่งๆ หรือที่เรียกว่า การบ่ม ช่วยให้ความหนืดของสารละลาย ESO100 สูงขึ้น การบ่มในบางสภาวะสามารถให้ความหนืดที่เหมาะสมต่อการนำไปใช้งาน เช่น การบ่มในชุดที่สองและสาม รูปที่ 4.27 แสดงภาพตัวอย่างไม้ยังพาราที่เคลือบด้วยสารละลาย ESO100 ที่บ่มหรืออบที่อุณหภูมิ  $80\text{-}100^{\circ}\text{C}$  เป็นเวลา 1 h ก่อนนำไปทابนไม้ยังพารา จะเห็นว่าได้ผลที่ดี มีฟองอากาศน้อยมาก และได้ผิวเรียบสม่ำเสมอมากขึ้น



a. อบ ESO ที่  $80^{\circ}\text{C}$



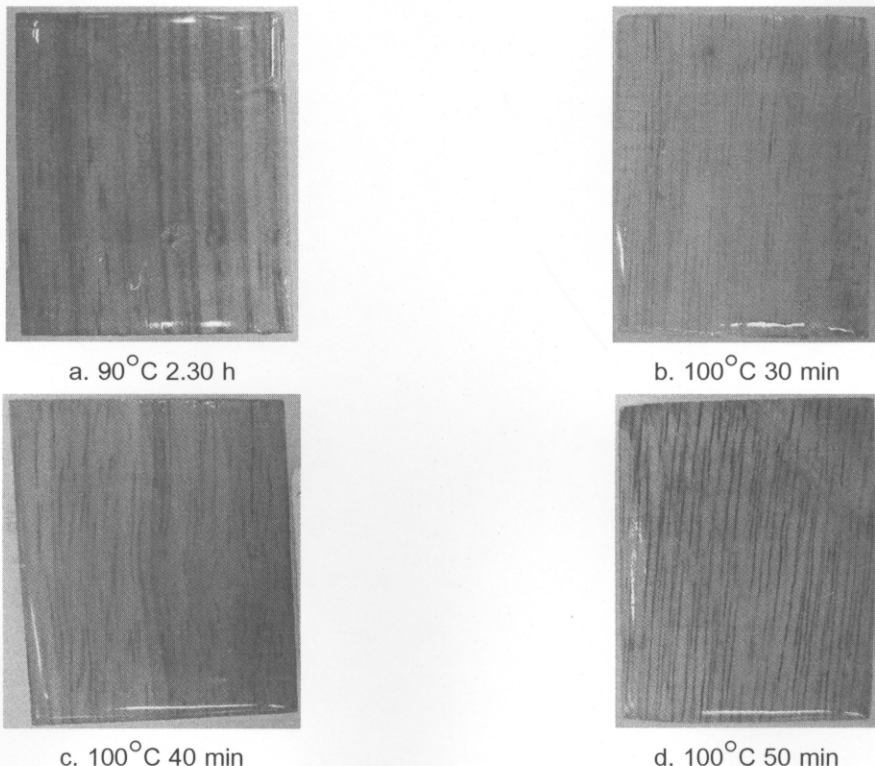
b. อบ ESO ที่  $90^{\circ}\text{C}$



c. อบ ESO ที่  $100^{\circ}\text{C}$

รูปที่ 4.27 ภาพไม้ยังพาราเคลือบด้วย ESO100 ที่มีการบ่มสารละลาย ESO100 ที่อุณหภูมิ  $80\text{-}100^{\circ}\text{C}$  เป็นเวลา 1 h ก่อนนำไปเคลือบบนไม้ยังพาราด้วยวิธีการทาด้วยพู่กัน อบชิ้นไม้ยังพาราที่  $150^{\circ}\text{C}$  เป็นเวลา 1 h

จากการทดลองที่มีการอบหรือการบ่มสารละลาย ESO100 ที่อุณหภูมิสูง ช่วยให้สารละลาย ESO100 สามารถนำไปใช้ทابนไม้ยังพาราได้ แต่เนื่องจากกระบวนการอบที่อุณหภูมิสูง ทำให้ไม่สามารถนำสารละลาย ESO100 มาใช้งานได้ทันที เพราะยังร้อนและความหนืดยังไม่สูงพอ ต้องวางทึ้งไว้ที่อุณหภูมิห้องหลังจากนำออกมาจากตู้อบเป็นเวลา 1 h จึงจะสามารถนำมาใช้งานได้ เพราะมีความหนืดสูงพอ แสดงให้เห็นว่าจะมีการหล่อเย็นสารละลาย ESO100 ทันทีที่นำออกมาจากตู้อบ จึงทำการทดลองเปรียบเทียบผลของการหล่อเย็นนี้ โดยเตรียมสารละลาย ESO100 ที่ผสมกับ 1-เมทิลอะมิดาโซล 1 pph และ MTHPA 60 pph แบ่งสารละลาย ESO 100 เป็น 2 ชุด ดังนี้ ชุดแรกอบที่อุณหภูมิ  $90^{\circ}\text{C}$  เป็นเวลา 1, 2, 2.30 และ 3 h ชุดที่สองอบที่อุณหภูมิ  $100^{\circ}\text{C}$  เป็นเวลา 30, 40, 50 และ 60 min ตามลำดับ หลังจากการอบนำไปแข็งในน้ำเย็นทันที รอให้สารละลาย ESO100 มีอุณหภูมิใกล้เคียงอุณหภูมิห้อง แล้วจึงนำไปทابไม้ใช้เวลาช่วง 2-3 min พบร้า ESO ที่นำไปอบที่อุณหภูมิ  $90^{\circ}\text{C}$  เป็นเวลา 2 h 30 min จะมีลักษณะที่ผิวน้ำที่เรียบและสม่ำเสมอมากกว่าอุณหภูมิอื่นๆ และ ESO เมื่ออบที่อุณหภูมิ  $100^{\circ}\text{C}$  เป็นเวลา 30, 40, และ 50 min จะมีผิวน้ำที่สม่ำเสมอมากกว่าอบเป็นเวลา 60 min รูปที่ 4.28 แสดงภาพไม้ยังพาราที่ได้จากการทดลองชุดนี้



รูปที่ 4.28 ภาพไม้ย่างพาราเคลือบด้วย ESO100 ที่มีการปั่นสารละลาย ESO100 ที่อุณหภูมิ  $90-100^{\circ}\text{C}$  เป็นเวลาต่างๆ และหล่อเย็นก่อนนำไปเคลือบบนไม้ย่างพาราด้วยวิธีการทาด้วยพู่กัน อบชิ้นไม้ที่  $150^{\circ}\text{C}$  เป็นเวลา 1 h

จากการทดลองนำสารละลาย ESO100 เป็นสารเคลือบผิวนไม้ย่างพารา สามารถแก้ปัญหาการควบคุมความหนืดได้ในระดับหนึ่ง แต่เนื่องจาก MTHPA หมวดและไม่สามารถจัดหาซื้อภายใต้ประเทศได้ ต้องสั่งซื้อจากต่างประเทศ และต้องสั่งซื้อเป็นจำนวนมาก (1 ตัน) เพราะเป็นเกรดที่ใช้ในอุตสาหกรรม จึงยังต้องการทดลองการเคลือบผิว

4.8 ผลการตรวจสอบสมบัติของ ESO100-Bengel<sup>®</sup> 434 นาโนคอมโพสิต

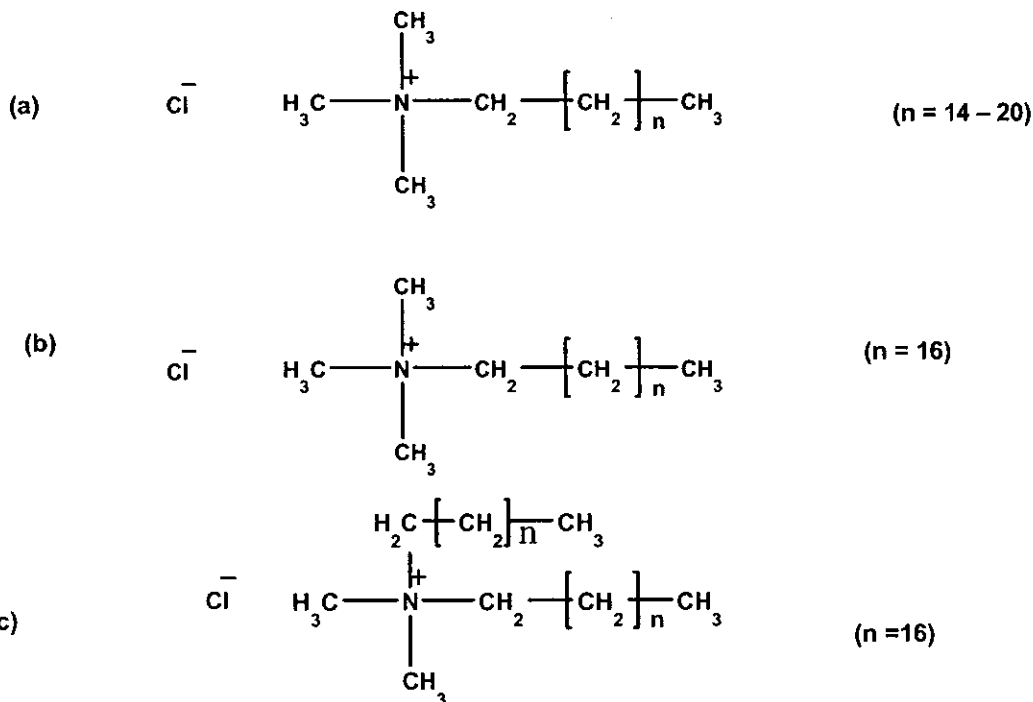
#### 4.8.1 การกระจายตัวของ Bengel<sup>®</sup> 434 ในตัวทำละลายและ ESO

ดินเหนียวปรับสภาพที่กระจายตัวได้ดีที่สุดในน้ำมันถั่วเหลืองอิพ็อกซี่ไดซ์ชนิด ESO100 คือ Bengel® 434 จึงเลือกใช้ Bengel® 434 ในการเตรียมพอลิเมอร์นาโนคอมโพสิตใน ESO100 ต่อไป ส่วน ESO40 สามารถเข้ากันกับ OTAC "ไดดีที่สุด" ดินเหนียวปรับสภาพกลุ่ม Bentone® บางตัวสามารถเข้ากันได้พอสมควรกับ ESO100 แต่ทุกตัวไม่เข้ากันกับ ESO40 ส่วน DTAC ไม่เข้ากับ ESO ทั้งสองชนิด ดังแสดงในตารางที่ 4.22 ดังนั้นจึงเลือกใช้ Bengel® 434 และ OTAC สำหรับ ESO100 และ ESO40 ตามลำดับ รูปที่ 4.29 แสดงโครงสร้างทางเคมีของสารลดแรงตึงผิวในดินเหนียวปรับชนิด Bengel® 434 OTAC และ DTAC ผลการทดสอบการกระจายตัวในตัวทำละลายพบว่า ดินเหนียวปรับสภาพทั้งหมดกระจายตัวได้ดีในคลอร์ฟอร์มและกระจายตัวได้ไม่ดีในอะซิโโน

ตารางที่ 4.22 ผลการทดสอบการกระจายตัวของдинเนี่ยร์ปรับสภาพใน ESO100

ชนิดของดินเหนียว ปรับสภาพ	ลักษณะการกระจายตัว			
	ไม่กระจายตัว	กระจายตัวเล็กน้อย	กระจายตัวได้ดี	กระจายตัวได้ดีที่สุด
Bentone® SD 1		✓		
Bentone® SD 2			✓	

Bentone® SD 3		✓		
Bentone® 34			✓	
Bentone® 38			✓	
DTAC	✓			
OTAC			✓	
Bengel® 434				✓



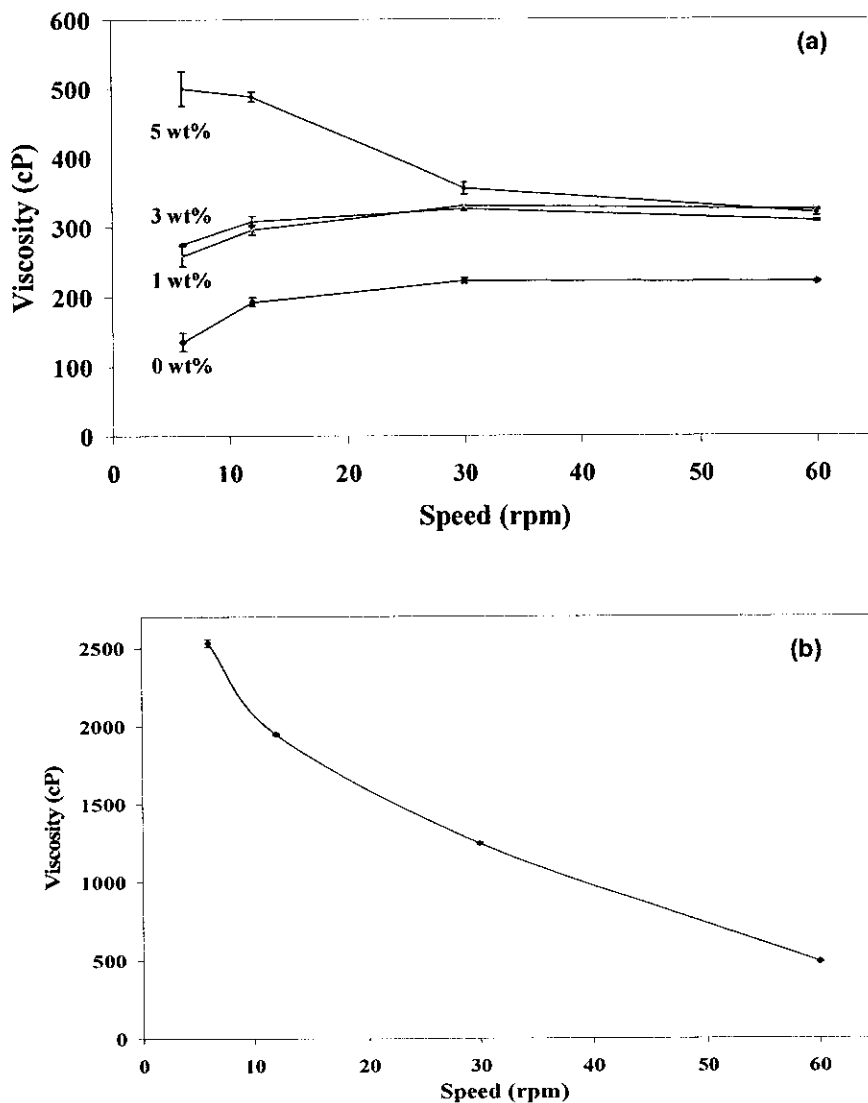
รูปที่ 4.29 โครงสร้างทางเคมีของสารลดแรงตึงผิวในดินเหนียวปรับสภาพ (a) Bengel® 434, (b) OTAC, (c) DTAC

#### 4.8.2 ความหนืดของ ESO100 ผสม Bengel® 434

จากการศึกษาอิทธิพลของปริมาณดินเหนียวปรับสภาพ Bengel® 434 ที่มีต่อค่าความหนืดของ ESO100 พบว่าเมื่อปริมาณดินเหนียวปรับสภาพเพิ่มขึ้น ทำให้ค่าความหนืดสูงขึ้นตามลำดับ และเมื่อศึกษาการวัดความหนืดโดยใช้ความเร็วอนุภูมิในการวัดสูงขึ้น พบว่าค่าความหนืดมีแนวโน้มที่ลดลงเมื่อใช้ปริมาณดินเหนียวปรับสภาพตั้งแต่ 5 wt% ขึ้นไป และค่าความหนืดค่อนข้างคงที่เมื่อใช้ปริมาณดินเหนียวปรับสภาพไม่เกิน 1-3 wt% ตารางที่ 4.23 และรูปที่ 4.30 แสดงค่าความหนืดของสารละลายดังกล่าว

ตารางที่ 4.23 ค่าความหนืดของ ESO100 หลังจากผสมดินเหนียวปรับสภาพ Bengel® 434

Organoclay Content (wt%)	Viscosity (cP)			
	Speed 6	Speed 12	Speed 30	Speed 60
0	$135.0 \pm 68.4$	$192.5 \pm 80.9$	$222.7 \pm 86.2$	$220.8 \pm 71.9$
1	$275.7 \pm 8.1$	$308.3 \pm 26.2$	$326.0 \pm 35.3$	$308.3 \pm 26.2$
3	$258.3 \pm 14.4$	$295.8 \pm 7.2$	$330.0 \pm 1.2$	$324.2 \pm 1.4$
5	$500.0 \pm 28.8$	$408.3 \pm 28.9$	$355.0 \pm 25.8$	$320.0 \pm 18.1$
8	$2533.3 \pm 9.2$	$1950.0 \pm 8.9$	$1246.7 \pm 9.6$	$488.0 \pm 9.1$



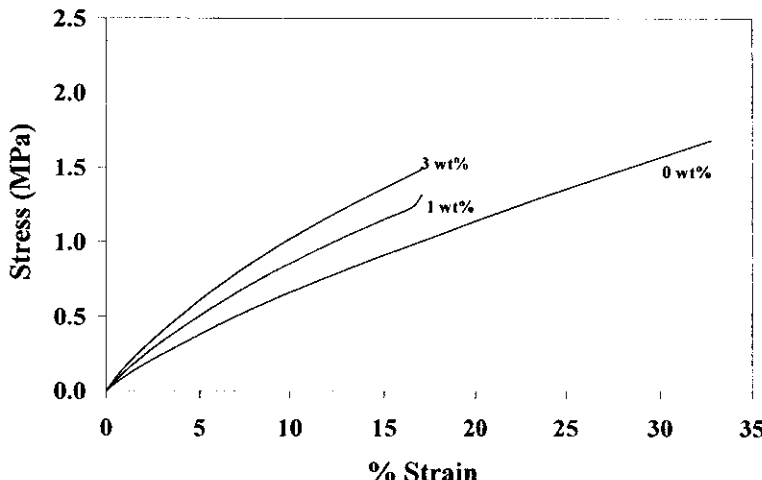
รูปที่ 4.30 ค่าความหนืดของ ESO100 ที่มีปริมาณ Bengel® 434 ต่างๆ กัน: (a) 0-5 wt% และ (b) 8 wt%

#### 4.8.3 สมบัติความหนืดต่อแรงดึงของแผ่นในโอลูพลาสติกอนโนคอมโพลิค (ESO100-Bengel® 434)

ทำการทดลองขึ้นรูปแผ่นในโอลูพลาสติกอนโนคอมโพลิคเตรียมจาก ESO100 และ Bengel® 434 โดยใช้เบ้ากระเจร มี MTHPA เป็นสารเชื่อมขวางโมเลกุล และ 1-เมทธิลอะมิดาซอล เป็นตัวเร่งปฏิกิริยา จากการทดลองพบว่า หลังจากเติม Bengel® 434 แล้ว จำเป็นต้องลดปริมาณ MTHPA ลงเป็น 40 pph เพื่อให้แผ่นในโอลูพลาสติกอนโนคอมโพลิคไม่ฉีกขาด ระหว่างทำการแกะออกจากเบ้ากระเจร เพราะปริมาณ MTHPA ที่ 60 pph ทำให้แผ่นตัวอย่างมีลักษณะแข็งเปรี้ยวมาก ขึ้น เนื่องจาก ESO100 มีปริมาณอิพ็อกไซด์สูงมาก จึงทำการทดลองหาสภาวะการณ์อบที่เหมาะสมที่สุด พบว่าการอบที่ อุณหภูมิ 135 °C เป็นเวลา 60 min ให้ลักษณะทางกายภาพที่ดีที่สุด แต่ตัวอย่างที่มี Bengel® 434 ปริมาณมากกว่า 3 wt% จะได้แผ่นในโอลูพลาสติกที่มีผิวน้ำไม่เรียบ เป็นคลื่นจนกระทั่งไม่สามารถตัดเป็นชิ้นทดสอบสมบัติเชิงกลได้ ดังนั้น ทำการเตรียมพอลิเมอร์ดินเหนียวปรับสภาพนาโนคอมโพลิค จาก ESO100 ที่มีส่วนผสม Bengel® 434 ปริมาณ 1 และ 3 wt% เท่านั้น ลักษณะทางกายภาพที่ดีของแผ่นในโอลูพลาสติกที่เตรียมได้ คือ มีลักษณะใสทึบชั้นงาน ผิวน้ำเรียบ ไม่เห็นไขวเหนอ แกะออกจากเบ้าได้ง่าย

รูปที่ 4.31 แสดง stress – strain curves จากการทดสอบสมบัติความหนืดต่อแรงดึงของ ESO100 ผสม Bengel® 434 ในปริมาณ 0-3 wt% โดยใช้สารเชื่อมขวางโมเลกุล MTHPA 40 pph และตัวเร่งปฏิกิริยา 1-เมทธิลอะมิดาซอล 1 pph อบที่อุณหภูมิ 135 °C เป็นเวลา 60 min ตารางที่ 4.24 แสดงอิทธิพลของ Bengel® 434 ที่มีต่อสมบัติความ

ทนต่อแรงดึงและความต้านทานต่อการฉีกขาดของ ESO100 ค่าความทันต่อแรงดึงสูงขึ้นเมื่อเติมดินเหนียวปรับสภาพเพิ่มขึ้น แต่ค่าความเครียด ณ จุดขาดลсталสูงเมื่อมีปริมาณดินเหนียวปรับสภาพเพิ่มขึ้น ความต้านทานต่อแรงฉีกขาดดีที่สุดเมื่อใช้ปริมาณดินเหนียวปรับสภาพในปริมาณ 1 wt%



รูปที่ 4.31 กราฟความเค้น-ความเครียดของพลาสติกจาก ESO100 ผสมดินเหนียวปรับสภาพ Bengel® 434

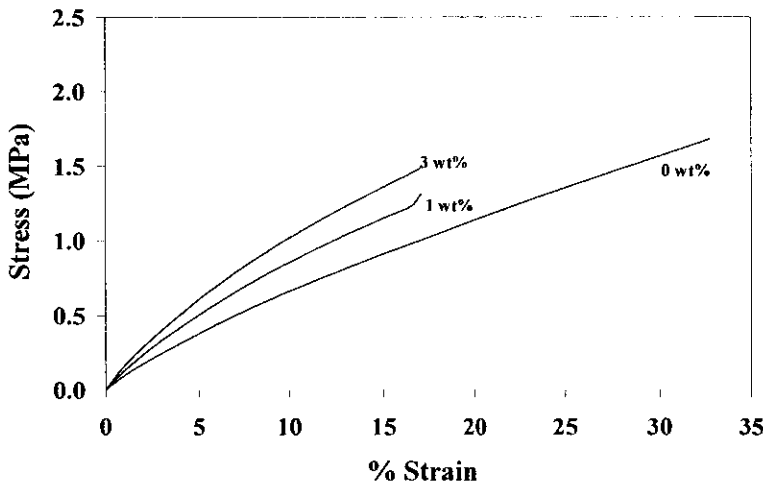
ตารางที่ 4.24 สมบัติเชิงกลของแผ่นไบโอลาสติกคอมโพลิทที่จาก ESO100 ผสม Bengel® 434

Clay content (%wt)	E (MPa)	$\sigma_b$ (MPa)	$\epsilon_b$ (%)	Tear strength (N/mm)
0	$9.73 \pm 1.97$	$1.68 \pm 0.29$	$32.74 \pm 1.85$	$3.73 \pm 0.45$
1	$11.96 \pm 1.92$	$2.14 \pm 0.16$	$33.32 \pm 2.82$	$6.05 \pm 0.69$
3	$15.91 \pm 1.22$	$1.73 \pm 0.31$	$21.12 \pm 4.48$	$4.08 \pm 0.50$

#### 4.8.4 ผลการตรวจสอบโครงสร้างของ Bengel® 434 ในแผ่นไบโอลาสติกคอมโพลิท ESO100 ด้วยเทคนิค XRD

ผลการตรวจสอบผลลัพธ์ของ Bengel® 434 ในแผ่นไบโอลาสติกคอมโพลิท ESO100 แสดงในรูปที่ 4.32 และตารางที่ 4.25 ได้ทำการตรวจสอบปริมาณผลลัพธ์ในชั้นตัวอย่างที่มี Bengel® 434 ปริมาณ 5 และ 8 wt% ด้วยถึงแม้ว่าจะไม่สามารถทดสอบสมบัติเชิงกลได้ก็ตาม จะเห็นว่าระยะห่างระหว่างชั้นของ Bengel® 434 ขยายเพิ่มขึ้นเมื่อผสมใน ESO100 และมีระยะห่างใกล้เคียงกัน ยกเว้นตัวอย่างที่มี Bengel® 434 ปริมาณ 1 wt% ไม่พบพีคในช่วงการทดสอบการที่ชั้นของดินเหนียวปรับสภาพมีระยะห่างเพิ่มขึ้น หมายความว่าไม่เกิด exfoliation ของ ESO บางส่วนแทรกเข้าไปในชั้นของ Bengel® 434 ได้ นั่นคือลักษณะที่เรียกว่า intercalation ดังนั้น การทดสอบนี้ประสบความสำเร็จที่สามารถตรวจพอลิเมอร์นาโนคอมโพลิทจากการผสม ESO กับดินเหนียวปรับสภาพนี้ได้ ส่วนตัวอย่างที่ไม่ปราฏพีคเลย (1 wt% Bengel® 434) นี้ ยังไม่สามารถสรุปได้ว่าเกิดลักษณะที่เรียกว่า exfoliation คือ ชั้นของดินเหนียวปรับสภาพแตกกระจายออกไป เนื่องจากการวิเคราะห์ด้วยเครื่อง XRD นี้ ยังมีข้อจำกัดในเรื่องค่า 2θ ในการวัดที่ไม่สามารถวิเคราะห์ได้ที่ 0° จำเป็นที่จะต้องตรวจสอบด้วยกล้องจุลทรรศน์อิเล็กตรอนแบบส่องผ่าน

ทันต่อแรงดึงและความต้านทานต่อการฉีกขาดของ ESO100 ค่าความทันต่อแรงดึงสูงขึ้นเมื่อเพิ่มดินเหนียวปรับสภาพเพิ่มขึ้น แต่ค่าความเครียด ณ จุดขาดถลุงเมื่อมีปริมาณดินเหนียวปรับสภาพเพิ่มขึ้น ความต้านทานต่อแรงฉีกขาดดีที่สุดเมื่อใช้ปริมาณดินเหนียวปรับสภาพในปริมาณ 1 wt%



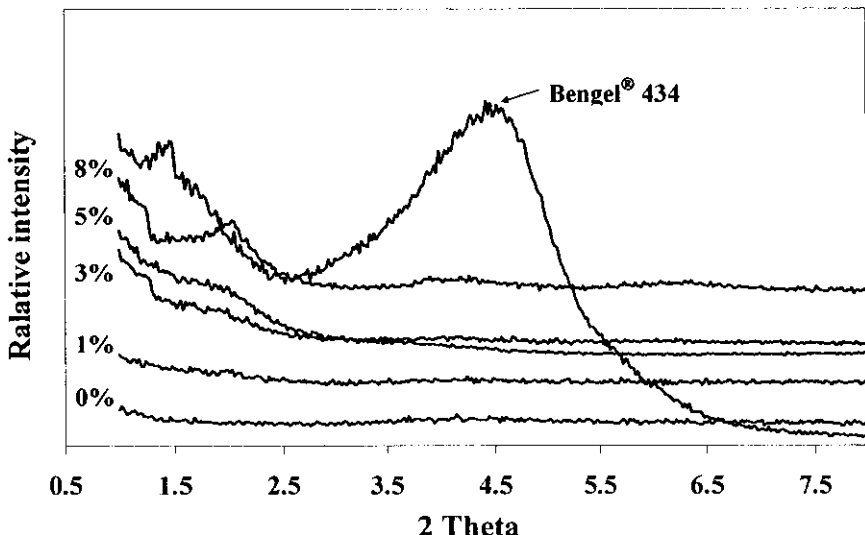
รูปที่ 4.31 กราฟความเค้น-ความเครียดของพลาสติกจาก ESO100 ผสมดินเหนียวปรับสภาพ Bengel® 434

ตารางที่ 4.24 สมบัติเชิงกลของแผ่นไบโอลาสติกคอมโพสิตที่จาก ESO100 ผสม Bengel® 434

Clay content (%wt)	E (MPa)	$\sigma_b$ (MPa)	$\varepsilon_b$ (%)	Tear strength (N/mm)
0	$9.73 \pm 1.97$	$1.68 \pm 0.29$	$32.74 \pm 1.85$	$3.73 \pm 0.45$
1	$11.96 \pm 1.92$	$2.14 \pm 0.16$	$33.32 \pm 2.82$	$6.05 \pm 0.69$
3	$15.91 \pm 1.22$	$1.73 \pm 0.31$	$21.12 \pm 4.48$	$4.08 \pm 0.50$

#### 4.8.4 ผลการตรวจสอบโครงสร้างของ Bengel® 434 ในแผ่นไบโอลาสติกคอมโพสิต ESO100 ด้วยเทคนิค XRD

ผลการตรวจสอบผลึกของ Bengel® 434 ในแผ่นไบโอลาสติกคอมโพสิต ESO100 แสดงในรูปที่ 4.32 และตารางที่ 4.25 ได้ทำการตรวจสอบปริมาณผลึกในชั้นตัวอย่างที่มี Bengel® 434 ปริมาณ 5 และ 8 wt% ด้วยถึงแม้ว่าจะไม่สามารถทดสอบสมบัติเชิงกลได้ก็ตาม จะเห็นว่าระยะห่างระหว่างชั้นของ Bengel® 434 ขยายเพิ่มขึ้นเมื่อผสมใน ESO100 และมีระยะห่างใกล้เคียงกัน ยกเว้นตัวอย่างที่มี Bengel® 434 ปริมาณ 1 wt% ไม่พบพีคในช่วงการทดสอบ การที่ชั้นของดินเหนียวปรับสภาพมีระยะห่างเพิ่มขึ้น หมายความว่าไม่เกิดการ exfoliation ของ ESO บางส่วนแทรกเข้าไปในชั้นของ Bengel® 434 ได้ นั่นคือลักษณะที่เรียกว่า intercalation ดังนั้น การทดลองนี้ประสบความสำเร็จที่สามารถเตรียมพอลิเมอร์นาโนคอมโพสิตจากการผสม ESO กับดินเหนียวปรับสภาพนี้ได้ ส่วนตัวอย่างที่ไม่ปรากฏพีคเลย (1 wt% Bengel® 434) นี้ ยังไม่สามารถทดสอบได้ว่าเกิดลักษณะที่เรียกว่า exfoliation คือ ชั้นของดินเหนียวปรับสภาพแตกกระจายออกไป เนื่องจากการวิเคราะห์ด้วยเครื่อง XRD นี้ ยังมีข้อจำกัดในเรื่องค่า  $2\theta$  ในการวัดที่ไม่สามารถวิเคราะห์ให้ที่  $0^\circ$  จำเป็นที่จะต้องตรวจสอบตัวอย่างลักษณะของจุลทรรศน์เล็กต่อนแบบส่องผ่าน



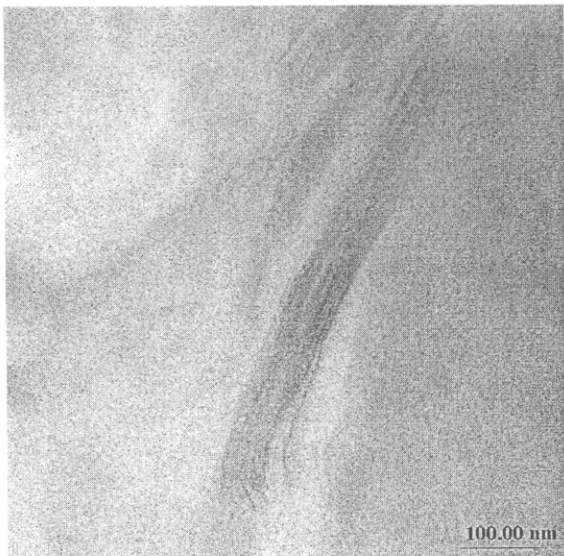
รูปที่ 4.32 XRD patterns ของแผ่นไบโอลาสติกคอมโพลิทเตอรีมจาก ESO100 ผสมกับ Bengel® 434 ปริมาณต่างๆ

ตารางที่ 4.25 ค่าระยะห่างระหว่างชั้นของดินเหนียวปรับสภาพนิด Bengel® 434 ในแผ่น ESO100

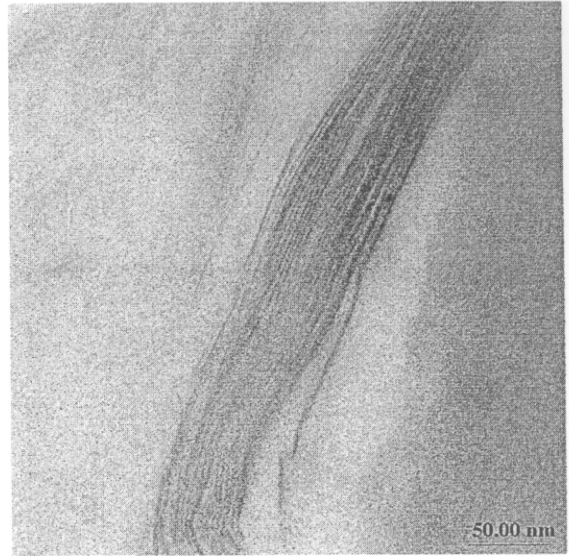
Sample	d-spacing at $d_{001}$ (Å)
Bengel® 434	19.61
ESO100 + 1% Bengel® 434	-
ESO100 + 3% Bengel® 434	46.69
ESO100 + 5% Bengel® 434	46.69
ESO100 + 8% Bengel® 434	44.12

#### 4.8.5 ผลการตรวจสอบโครงสร้างของ Bengel® 434 ในแผ่น ESO100 ด้วยเทคนิค TEM

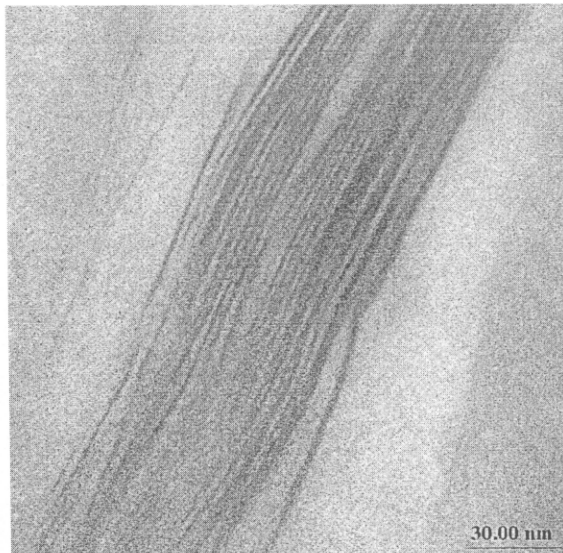
รูปที่ 4.33-4.36 แสดงภาพถ่าย TEM ของ Bengel® 434 ในแผ่น ESO100 ที่ปริมาณต่างๆ กัน พบว่าสัณฐานวิทยาของแผ่นไบโอลาสติกคอมโพลิททั้งหมดมีลักษณะเป็น intercalation มองเห็นชั้นแต่ละชั้นของ Bengel® 434 แยกห่างกันอย่างชัดเจนและเรียงขนาดกันเป็นระเบียบ ในขณะที่บางส่วนมีการจัดเรียงตัวของชั้นผลึกไม่เป็นระเบียบ ด้วย กำลังขยายที่เหมาะสมต่อการพิจารณาสัณฐานวิทยาการเป็นกำลังขยายตั้งแต่ 100,000 เท่าขึ้นไป



(a)

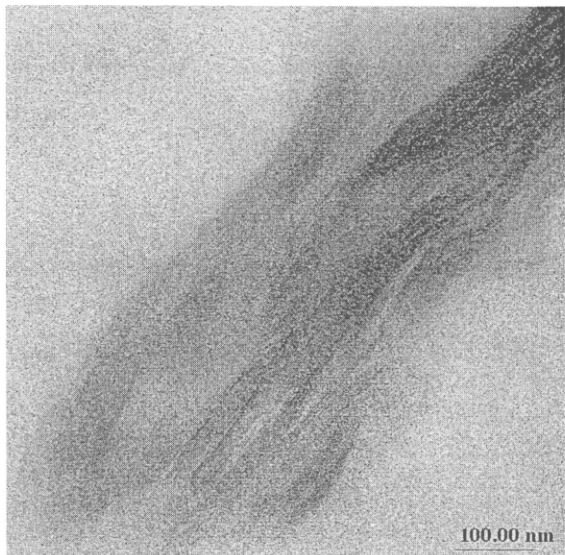


(b)

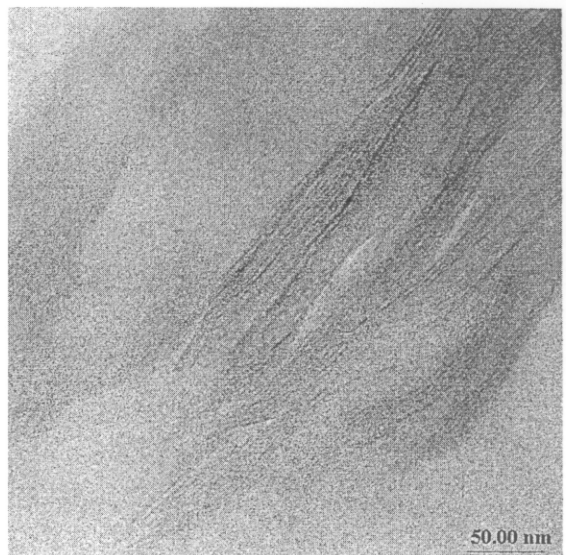


(c)

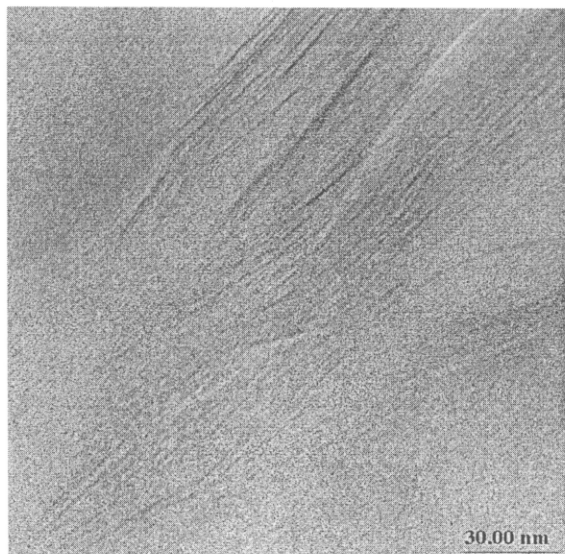
รูปที่ 4.33 ภาพถ่าย TEM ของ ESO100 ผสม Bengel<sup>®</sup> 434 ปริมาณ 1 wt% ที่กำลังขยายต่างๆ: (a) 25,000 เท่า, (b) 50,000 เท่า และ (c) 100,000 เท่า



(a)

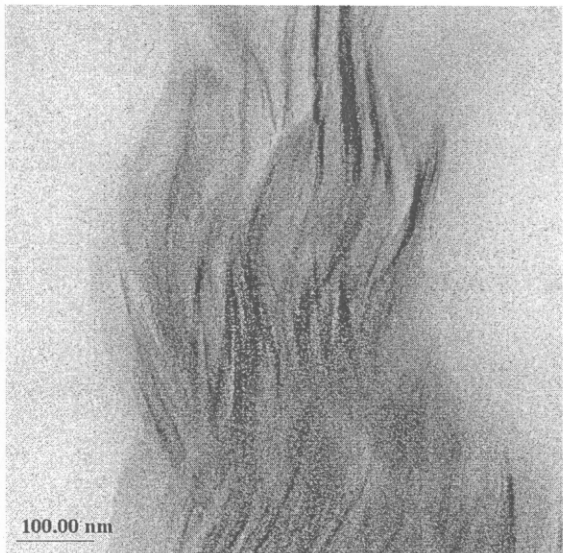


(b)

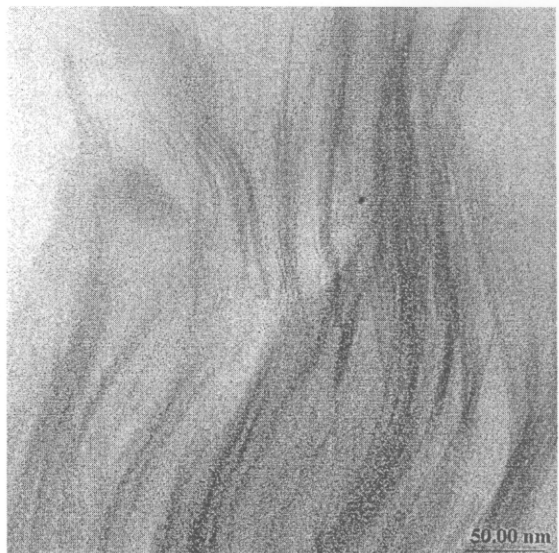


(c)

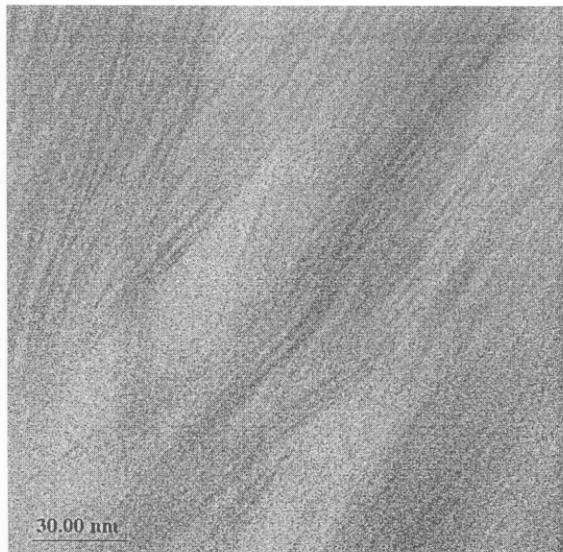
รูปที่ 4.34 ภาพถ่าย TEM ของ ESO100 ผสม Bengel<sup>®</sup> 434 ปริมาณ 3 wt% ที่กำลังขยายต่างๆ: (a) 25,000 เท่า, (b) 50,000 เท่า และ (c) 100,000 เท่า



(a)

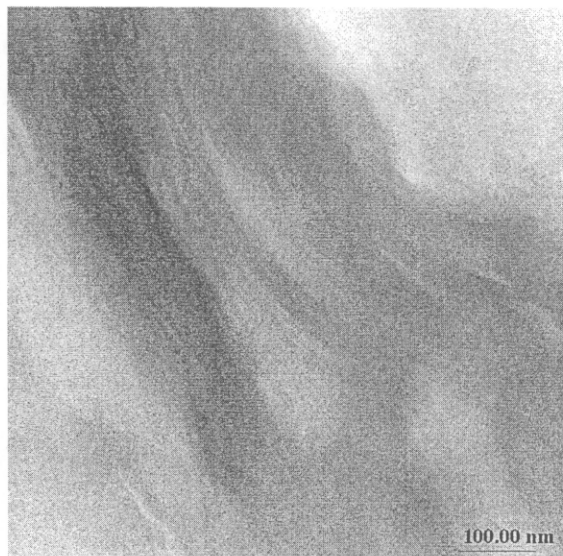


(b)

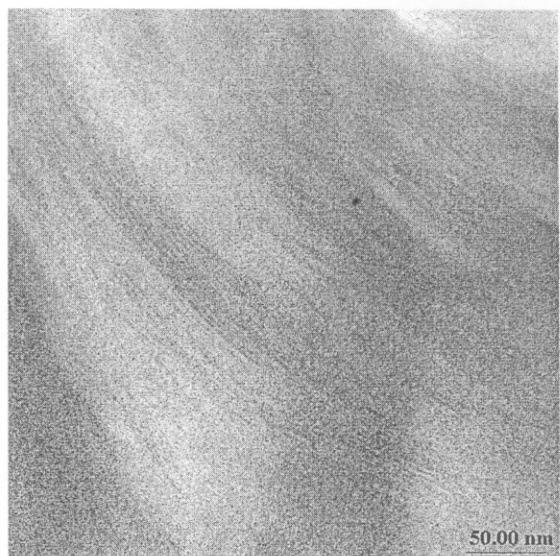


(c)

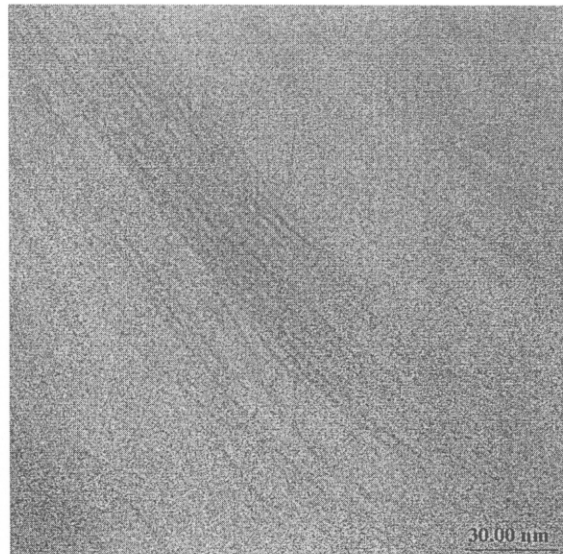
รูปที่ 4.35 ภาพถ่าย TEM ของ ESO100 ผสม Bengel<sup>®</sup> 434 ปริมาณ 5 wt% ที่กำลังขยายต่างๆ: (a) 25,000 เท่า, (b) 50,000 เท่า และ (c) 100,000 เท่า



(a)



(b)



(c)

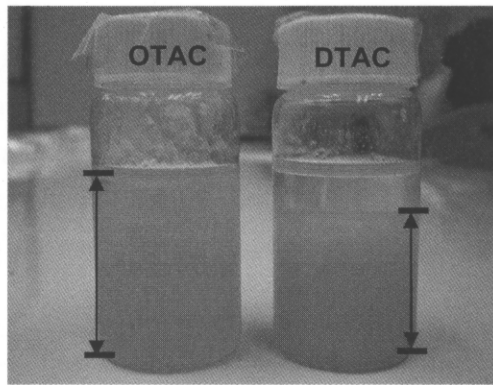
รูปที่ 4.36 ภาพถ่าย TEM ของ ESO100 ผสม Bengel<sup>®</sup> 434 ปริมาณ 8 wt% ที่กำลังขยายต่างๆ: (a) 25,000 เท่า, (b) 50,000 เท่า และ (c) 100,000 เท่า

#### 4.9 ผลการตรวจสอบสมบัติของ ESO40-ดินเหนียวปรับสภาพโนโคนมโพลิท

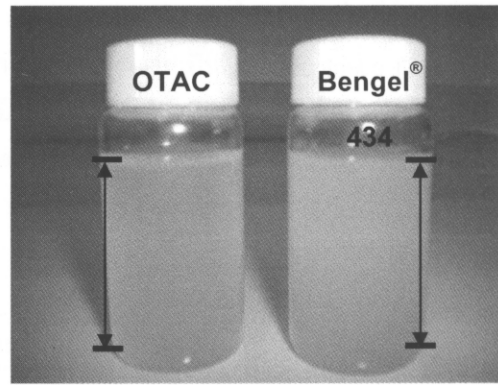
##### 4.9.1 การกระจายตัวของดินเหนียวปรับสภาพในตัวทำละลายและ ESO40

การทดสอบการกระจายตัวของดินเหนียวปรับสภาพ 3 ชนิด ได้แก่ OTAC DTAC และ Bengel<sup>®</sup> 434 ใน ESO40 หลังจากผ่านการสั่นสะเทือนด้วยคลื่นเสียงด้วยเครื่องโซนิคเข้าเป็นเวลา 4 h และตั้งทิ้งไว้เป็นเวลา 12 h สังเกตการกระจายตัวของดินเหนียวปรับสภาพด้วยสายตา ดังแสดงในรูปที่ 4.37 พบว่าดินเหนียวปรับสภาพที่กระจายตัวได้ดีใน ESO40 คือ OTAC และ Bengel<sup>®</sup> 434 ส่วนดินเหนียวปรับสภาพชนิด DTAC มีความสามารถในการกระจายตัวใน ESO40 ได้ดีที่สุด ทั้ง OTAC และ Bengel<sup>®</sup> 434 สามารถกระจายตัวได้ดีในตัวทำละลายคลอร์ฟอร์ม และไม่

สามารถกระจายตัวได้ในตัวทำละลายอะซีโตนดังแสดงในรูปที่ 4.38 สรุปผลการกระจายตัวของดินเหนียวปรับสภาพห้องสามชนิดแสดงในตารางที่ 4.26 ดินเหนียวปรับสภาพตระกูล Bentone<sup>®</sup> กระจายตัวไม่ดีทั้งใน ESO40 และคลอโรฟอร์ม ดังนั้น ในที่นี้จะเลือกใช้ OTAC ในการเตรียมแผ่นไบโอพลาสติกคอมโพสิทจาก ESO40

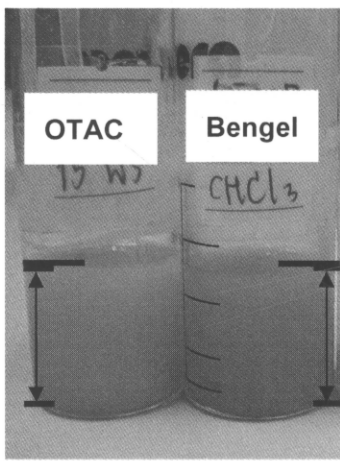


(a)

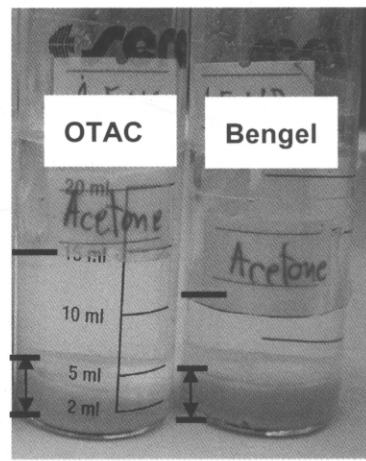


(b)

รูปที่ 4.37 การกระจายตัวของดินเหนียวปรับสภาพ 3 ชนิดใน ESO40: (a) OTAC และ DTAC (b) OTAC และ Bengel<sup>®</sup> 434



(a)



(b)

รูปที่ 4.38 การกระจายตัวของดินเหนียวปรับสภาพชนิด OTAC และ DTAC ในตัวทำละลาย (a) คลอโรฟอร์ม และ (b) อะซีโตน

ตารางที่ 4.26 ผลการทดสอบการกระจายตัวของดินเหนียวปรับสภาพใน ESO40

ชนิดดินเหนียวปรับสภาพ	ESO40	ตัวทำละลาย	
		Acetone	Chloroform
OTAC	✓✓	✗	✓✓
DTAC	✓	✗	✓
Bengel 434	✓✓	✗	✓✓

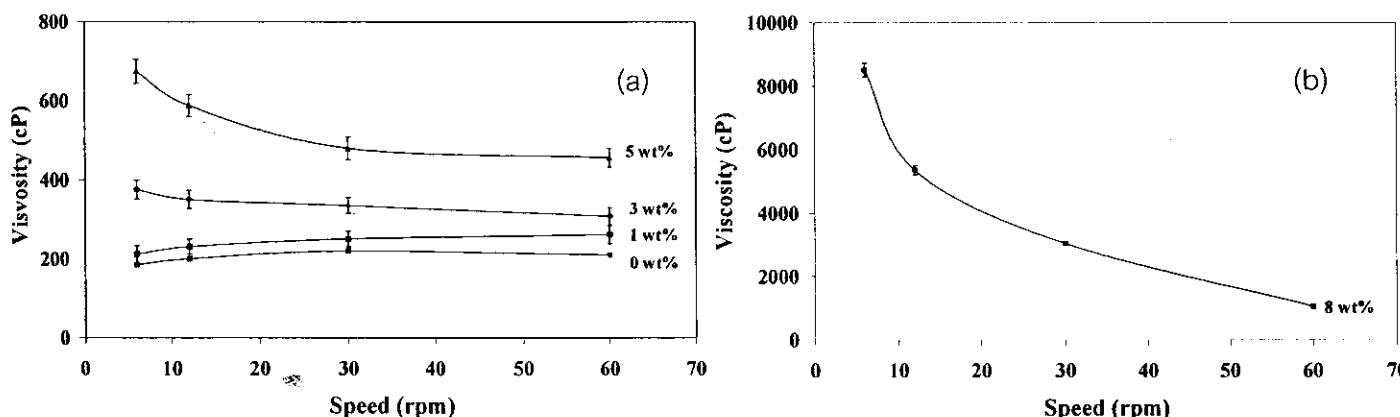
- เมื่อ      ✓✓      หมายถึง กระจายตัวได้มาก  
               ✓      หมายถึง กระจายตัวได้ดี  
               ✗      หมายถึง กระจายตัวไม่ดี

#### 4.9.2 ความหนืดของ ESO40 ผสมดินเหนี่ยวปรับสภาพ

ทำการวัดความหนืดที่ความเร็วรอบต่างกัน ดังแสดงในตารางที่ 4.27 และรูปที่ 4.39 พบว่าค่าความหนืดจะเพิ่มขึ้นตามปริมาณดินเหนี่ยวปรับสภาพ OTAC ที่เติมลงไปและจะเพิ่มขึ้นอย่างรวดเร็วเมื่อปริมาณดินเหนี่ยวเพิ่มขึ้น จาก 5 wt% ไปเป็น 8 wt% ไม่ว่าจะใช้ความเร็วอบสูงหรือต่ำก็ตาม ดินเหนี่ยวปรับสภาพทำให้น้ำมันมีการเปลี่ยนแปลงสองทิศทาง คือ เมื่อดินเหนี่ยวปรับสภาพเพียงเล็กน้อย จะทำให้มีความหนืดเพิ่มขึ้นแล้วคงที่ เมื่อมีการเติมดินเหนี่ยวปรับสภาพมากขึ้นถึง 8 % พฤติกรรมความหนืดของ ESO ทั้งสองชนิดกล้ายเป็น pseudoplastic fluid คือ ความหนืดลดลงเมื่อความเร็วของการวัดเพิ่มขึ้น พฤติกรรมดังกล่าวเป็นลักษณะปกติที่เกิดขึ้นในการใช้ดินเหนี่ยวปรับสภาพเป็นสารลดความหนืดในน้ำมันต่างๆ เป็นที่น่าสังเกตว่า ความหนืดของ ESO100 มีค่าต่ำกว่าความหนืดของ ESO 40 แสดงว่าหม้อพอกใช้ดินทำให้ความหนืดของน้ำมันถัวเหลืองลดลง ค่าความหนืดที่เหมาะสมนั้น ขึ้นอยู่กับการใช้งาน ไม่สามารถระบุได้ว่าควรมีปริมาณเท่าไหร่

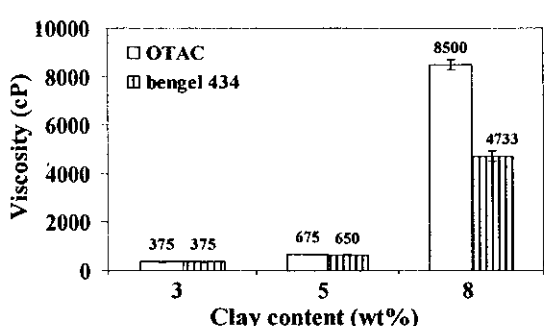
ตารางที่ 4.27 ค่าความหนืดของ ESO40 ผสมดินเหนี่ยวปรับสภาพ OTAC

System	Viscosity (cP)			
	Speed 6	Speed 12	Speed 30	Speed 60
ESO40	185 ± 10	200 ± 16	220 ± 12	210 ± 15
ESO+1%wt clay	211 ± 21	230 ± 19	250 ± 20	261 ± 23
ESO+3%wt clay	375 ± 24	350 ± 23	335 ± 20	308 ± 22
ESO+5%wt clay	675 ± 30	588 ± 28	480 ± 29	456 ± 24
ESO+8%wt clay	8,500 ± 220	5,350 ± 144	3,040 ± 62	1,050 ± 20

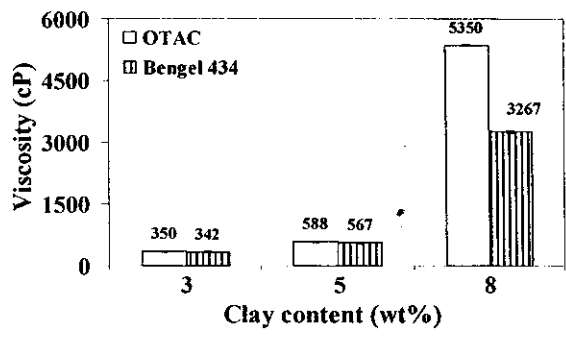


รูปที่ 4.39 ความหนืดของ ESO40 ผสมกับ OTAC ปริมาณต่างๆ: (a) 1-5 wt% และ (b) 8 wt%

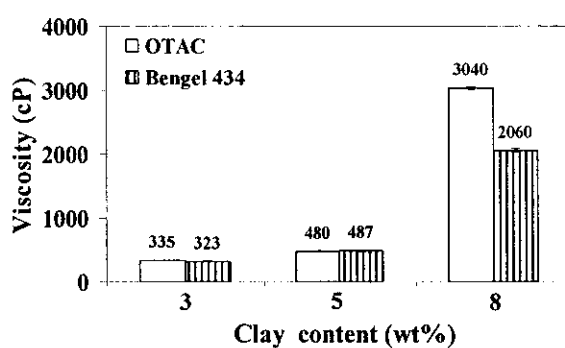
การใช้ดินเหนี่ยวปรับสภาพชนิด Bengel® 434 กระจายตัวใน ESO40 กีฬากิจกรรมทดลองเดียวกันกับดินเหนี่ยวปรับสภาพชนิด OTAC ให้ค่าความหนืดในแนวโน้มเดียวกันและให้ค่าความหนืดค่อนข้างใกล้เคียงกับการใช้ดินเหนี่ยวปรับสภาพชนิด OTAC หากใช้ในปริมาณ 3 wt% และ 5 wt% ดังแสดงในรูปที่ 4.40 การใช้ดินเหนี่ยวปรับสภาพชนิด Bengel® 434 ปริมาณ 8 wt% จะให้ค่าความหนืดต่ำกว่าชนิด OTAC และว่าดินเหนี่ยวปรับสภาพชนิด Bengel® 434 มีความสามารถในการกระจายตัวใน ESO40 ต่ำกว่าชนิด OTAC ดังนั้นจึงเลือกดินเหนี่ยวปรับสภาพชนิด OTAC มาใช้ในการเตรียมเป็นพอลิเมอร์化ในคอมโพสิตเนื่องจากให้การกระจายตัวได้ดีใน ESO40



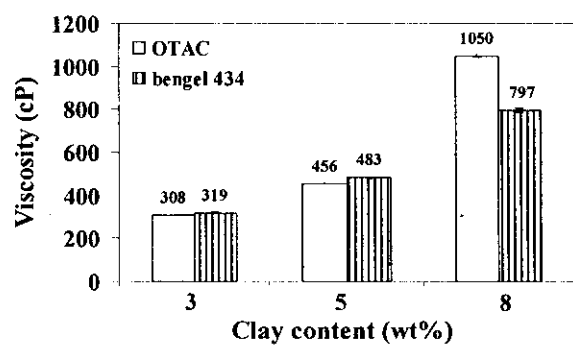
(a)



(b)



(c)



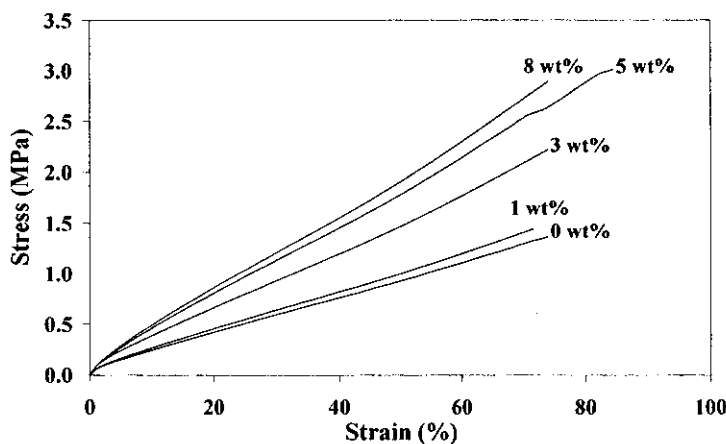
(d)

รูปที่ 4.40 ความหนืดของ ESO40 ผสมดินเหนียวปรับสภาพนิด OTAC และ Bengel<sup>®</sup> 434 ปริมาณ 3-8 wt% ใช้ความเร็วอบในการวัดความหนืดต่างๆ : (a) 6 rpm (b) 12 rpm (c) 30 rpm และ (d) 60 rpm

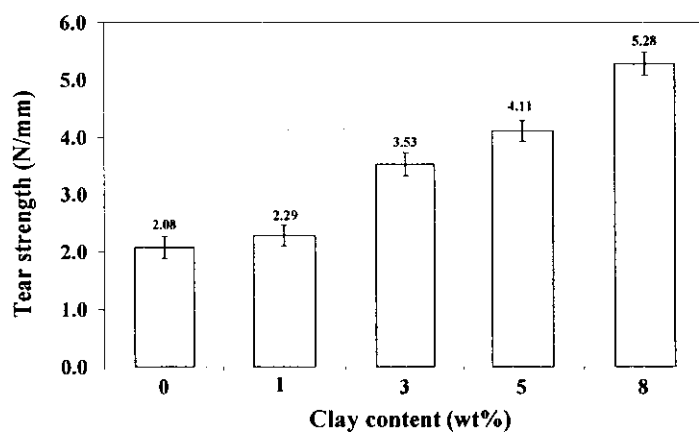
#### 4.9.3 สมบัติความทันต่อแรงดึงของแผ่นในโอลูสติกนาโนคอมโพลิเมอร์ (ESO40-OTAC)

เมื่อศึกษาสมบัติความทันต่อแรงดึงของพอลิเมอร์นาโนคอมโพลิเมอร์จาก ESO40 โดยใช้ปริมาณดินเหนียวปรับสภาพนิด OTAC แบบปริมาณดินเหนียวปรับสภาพ 0 wt%, 1 wt%, 3 wt%, 5 wt% และ 8 wt% ขึ้นรูปเป็นแผ่นโดยใช้สารเชื่อมขวางโมเลกุล MTHPA ปริมาณ 60 pph อบที่อุณหภูมิ 150°C เป็นเวลา 75 min ทดสอบสมบัติความทันต่อแรงดึงด้วยอัตรา 50 mm/min ได้ผลการทดลองแสดงในรูปที่ 4.41 พบว่าพอลิเมอร์นาโนคอมโพลิเมอร์แบบนี้ไม่มีการแตกหัก แม้กระทั่งที่มีดินเหนียวปรับสภาพ 8 wt% ก็ตาม ค่า  $E$  เพิ่มขึ้นจาก 2.74 MPa ถึง 9.73 MPa ตามปริมาณดินเหนียวปรับสภาพที่เพิ่มขึ้น เมื่อเดินเนินเหนียวปรับสภาพ ค่า  $\sigma_u$  เพิ่มขึ้นจาก 2.61 MPa (Liu et al., 2005) ส่วนค่า  $\sigma_b$  เพิ่มขึ้นจาก 1.33 MPa ไปเป็น 2.90 MPa เมื่อปริมาณดินเหนียวปรับสภาพเพิ่มขึ้นจาก 0 wt% ถึง 5 wt% ส่วนตัวอย่างที่มีปริมาณดินเหนียวปรับสภาพ 8 wt% จะให้ค่า  $E$  และค่า  $\sigma_b$  ลดลงเป็นผลมาจากการจับตัวเป็นกลุ่มก้อนบางส่วนของดินเหนียวปรับสภาพเมื่อใช้ในปริมาณที่มากขึ้น (Liu et al., 2005) การเดินดินเหนียวปรับสภาพในปริมาณ 1, 3 และ 8 wt% ไม่มีผลในการปรับปรุงค่า  $E$ ,  $\sigma_b$  และค่า  $\sigma_u$  เท่ากับ 9.73 MPa, 2.90 MPa และ 80% ในขณะที่สมบัติการทานต่อแรงนีก้าชาต ตั้งแสดงในรูปที่ 4.42 พบว่าต่าความทันต่อแรง

นิภัยดัจจะเพิ่มขึ้นจาก 2.08 MPa ถึง 5.28 MPa ตามปริมาณดินเหนียวปรับสภาพที่เพิ่มขึ้นจาก 0 wt% ถึง 8 wt% ดังแสดงในตารางที่ 4.28



รูปที่ 4.41 กราฟความเค้น-ความเครียดของแผ่นไนโอล่าสติก ESO40 ผสมกับดินเหนียวปรับสภาพ OTAC ปริมาณ 1-8 wt%



รูปที่ 4.42 ค่าการทนต่อแรงฉีกขาดของแผ่นไนโอล่าสติกที่ได้จาก ESO40 ผสมกับดินเหนียวปรับสภาพ OTAC ปริมาณ 1-8 wt%

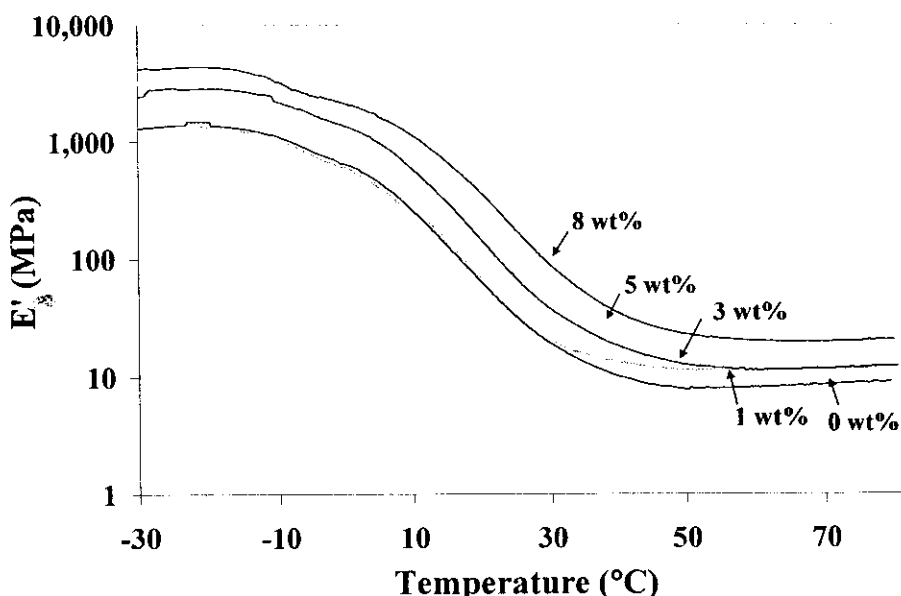
ตารางที่ 4.28 สมบัติเชิงกลของแผ่นไนโอล่าสติกที่ได้จาก ESO40 ผสมกับดินเหนียวปรับสภาพ OTAC โดยมีปริมาณดินเหนียวตั้งแต่ 0-8 wt%

Clay content (%wt)	E (MPa)	$\delta_b$ (MPa)	$\varepsilon_b$ (%)	Tear strength (N/mm)
0	$2.74 \pm 0.29$	$1.33 \pm 0.14$	$78 \pm 6$	$2.08 \pm 0.19$
1	$3.22 \pm 0.32$	$1.52 \pm 0.15$	$71 \pm 7$	$2.29 \pm 0.18$
3	$4.83 \pm 0.42$	$2.18 \pm 0.19$	$74 \pm 6$	$3.53 \pm 0.20$
5	$9.73 \pm 0.96$	$2.90 \pm 0.32$	$80 \pm 5$	$4.11 \pm 0.18$
8	$8.30 \pm 1.17$	$2.87 \pm 0.33$	$76 \pm 3$	$5.28 \pm 0.20$

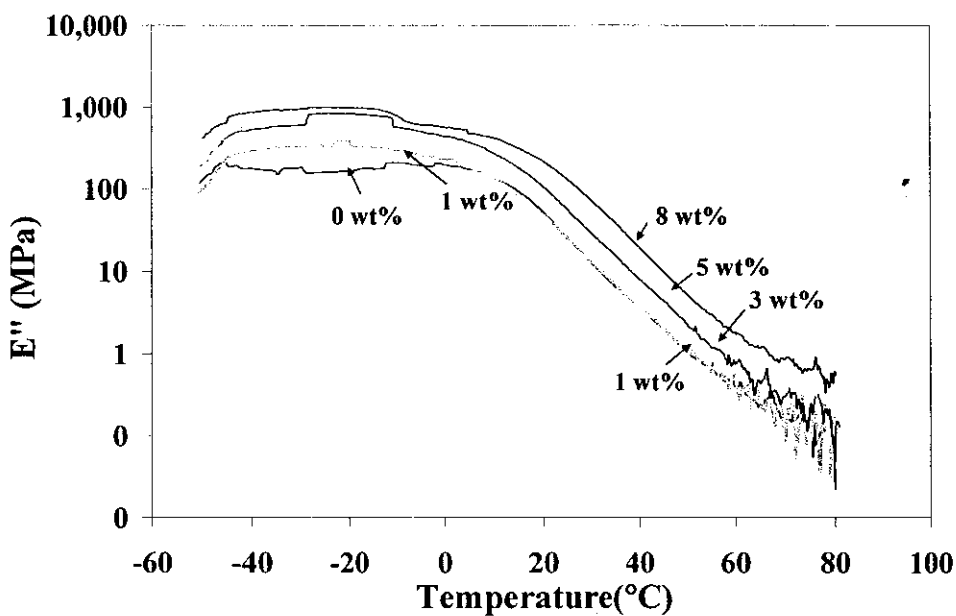
#### 4.9.4 ผลการวิเคราะห์ด้วยเทคนิค DMTA ของแผ่น ESO40-OTAC นาโนคอมโพสิต

การวิเคราะห์ทางกลศาสตร์ความร้อนเชิงพลศาสตร์ของพอลิเมอร์นาโนคอมโพสิตจาก ESO40 โดยใช้ดินเหนียวปรับสภาพชนิด OTAC ปรับปริมาณดินเหนียวปรับสภาพ 0 wt%, 1 wt%, 3 wt%, 5 wt% และ 8 wt% มีผลการทดลองดังแสดงในรูปที่ 4.43 พบว่ามอคูลัสสะสม ( $E'$ ) ของพอลิเมอร์ก่อนและหลังเติมดินเหนียวปรับสภาพมีการเปลี่ยนสถานะระหว่างคล้ายแก้วและยางในลักษณะคล้ายกัน ค่ามอคูลัสสะสมทั้งในระบบคล้ายแก้วและคล้ายยางจะมีค่าสูงขึ้นตามปริมาณดินเหนียวปรับสภาพที่เพิ่มขึ้น เช่นเดียวกับค่ายางสัมมอคูลัส ( $E$ ) ค่ามอคูลัสสูญหาย ( $E''$ ) มีแนวโน้มในลักษณะเดียวกับมอคูลัสสะสม ดังแสดงในรูปที่ 4.44 อุณหภูมิที่มีค่าแทนเจนต์สูญเสียสูงสุดจะเทียบเท่าอุณหภูมิก拉斯แทรนชิชัน ( $T_g$ ) แสดงในรูปที่ 4.45 พบว่าการเติมดินเหนียวปรับสภาพในปริมาณ 5 wt% และ 8 wt% ทำให้ค่า  $T_g$  ของพอลิเมอร์นาโนคอมโพสิตมีค่าเท่ากับ  $27.3^{\circ}\text{C}$  และ  $29.4^{\circ}\text{C}$  ตามลำดับ มีค่าสูงขึ้นเล็กน้อยเมื่อเทียบกับตัวอย่างที่ไม่ได้เติมดินเหนียวปรับสภาพที่มีค่า  $T_g$  เท่ากับ  $24.3^{\circ}\text{C}$  ส่วนการใช้ดินเหนียวปรับสภาพในปริมาณ 1 wt% และ 3 wt% ไม่มีผลต่ออุณหภูมิ  $T_g$  อาจเนื่องมาจากการเติมดินเหนียวปรับสภาพในปริมาณน้อย และสาเหตุอีกประการดังในงานวิจัยเกี่ยวกับพอลิเมอร์นาโนคอมโพสิตของ Miyagawa และคณะ (2005) ที่ทำการผสมน้ำมันดิบเหลืองอิพ็อกซิไดซ์ 100 mol% และดินเหนียวปรับสภาพทางการค้า Cloisite<sup>®</sup> 30B ในปริมาณ 5 wt% และพบว่าการเติมดินเหนียวปรับสภาพทำให้ค่า  $T_g$  มีแนวโน้มลดลง ได้ให้เหตุผลว่า การที่ค่า  $T_g$  ลดลงเป็นผลจากการเกิด พลาสติไซเซชัน (plasticization) ของแอมโมเนียมไออกอนหรือสารลดแรงตึงผิวในดินเหนียวปรับสภาพ โดยสามารถอ้างอิงจากงานวิจัยของ Liu et al., (2005) ที่ทำการเติมดินเหนียวปรับสภาพในระดับต่ำๆ จึงทำให้ชั้นของดินเหนียวมีระยะห่างลดลงและเกาะกันเป็นกลุ่ม มีผลไปขัดขวางการเชื่อมขวางโมเลกุลระหว่างการขึ้นรูป เป็นผลให้ค่า  $T_g$  ลดลง

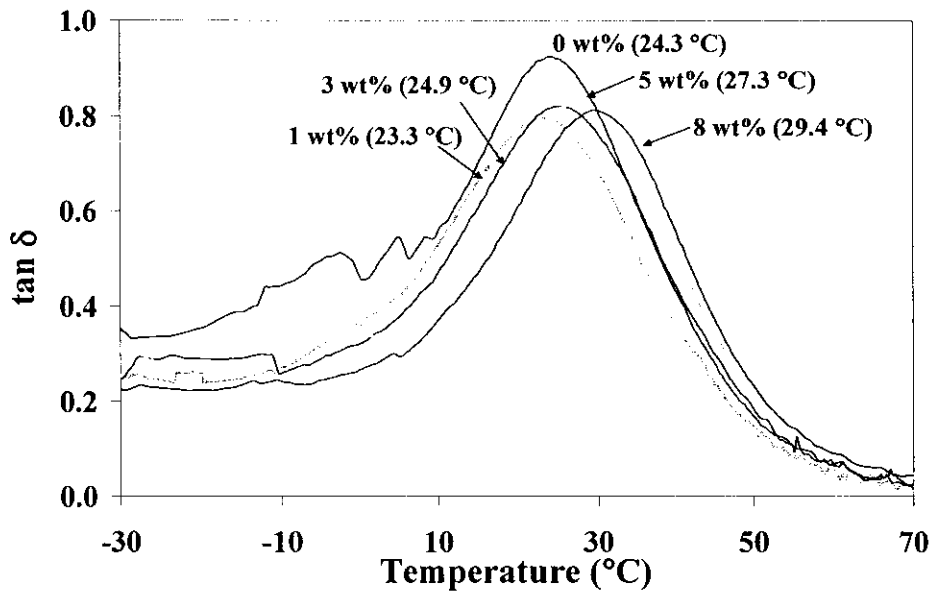
การใช้ดินเหนียวปรับสภาพชนิด OTAC สามารถให้ค่า  $T_g$  สูงกว่าพอลิเมอร์นาโนคอมโพสิตที่เตรียมจาก ESO100 ทางการค้าผสมกับดินเหนียวปรับสภาพชนิด Cloisite<sup>®</sup> 30B ในปริมาณ 5 wt% และ 8 wt% ขึ้นรูปโดยใช้สารเชื่อมขาวโมเลกุลชนิด TETA ที่ให้ค่า  $T_g$  เท่ากับ  $20.7^{\circ}\text{C}$  และ  $19.4^{\circ}\text{C}$  ตามลำดับ (Liu et al., 2005) เป็นผลมาจากการใช้ชนิดและปริมาณของสารเชื่อมขาวโมเลกุลเช่นเดียวกับตัวอย่างที่ไม่ได้ผสมดินเหนียวปรับสภาพดังที่กล่าวมาแล้ว



รูปที่ 4.43 กราฟมอคูลัสสะสม-อุณหภูมิของแผ่นใบโพลิเมอร์นาโนคอมโพสิตเตรียมจาก ESO40 ผสมกับดินเหนียวปรับสภาพ OTAC ในปริมาณ 1-8 wt%



รูปที่ 4.44 กราฟมอดูลัสสูญหาย-อุณหภูมิของแผ่นไบโอลาสติกคอมโพสิตเตรียมจาก ESO40 ผสมกับดินเหนียวปรับสภาพ OTAC ในปริมาณ 1-8 wt%

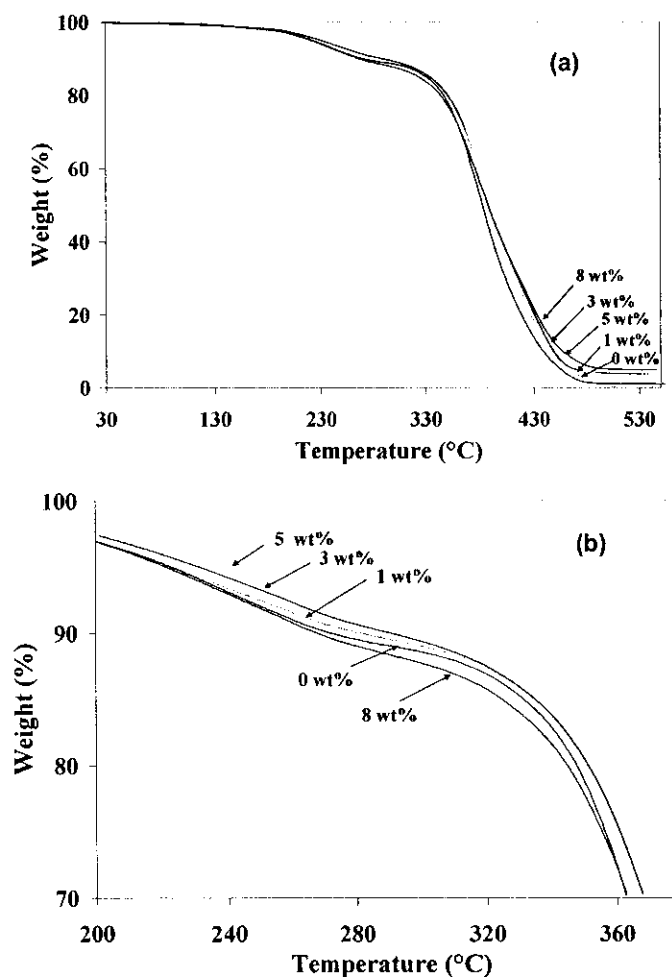


รูปที่ 4.45 กราฟ  $\tan \delta$  - temperature ของแผ่นไบโอลาสติกคอมโพสิตเตรียมจาก ESO40 ผสมกับดินเหนียวปรับสภาพ OTAC ในปริมาณ 1-8 wt%

#### 4.9.5 ผลการวิเคราะห์ด้วยเทคนิค TGA ของแผ่น ESO40-OTAC นาโนคอมโพสิต

ผลการวิเคราะห์การเสื่อมสภาพทางความร้อนของพอลิเมอร์นาโนคอมโพสิตจาก ESO40 โดยใช้ดินเหนียวปรับสภาพชนิด OTAC แปรปริมาณดินเหนียวปรับสภาพ 0 wt%, 1 wt%, 3 wt%, 5 wt% และ 8 wt% แสดงในรูปที่ 4.46 พบว่าพอลิเมอร์นาโนคอมโพสิตมีความเสถียรภาพทางความร้อนได้ที่อุณหภูมิต่ำกว่า 180°C โดยอุณหภูมิ  $T_5$  อยู่ในช่วง 220-242°C อุณหภูมิ  $T_{10}$  อยู่ในช่วง 267-300°C และอุณหภูมิ  $T_{50}$  เริ่มตั้งแต่อุณหภูมิ 380°C เป็นต้นไป ดังแสดงตารางที่ 4.29 อุณหภูมิ  $T_5$   $T_{10}$  และ  $T_{50}$  หมายถึงอุณหภูมิที่ทำให้ตัวอย่างมีน้ำหนักหายไป 5%, 10% และ 50% ตามลำดับ พบว่าอุณหภูมิ  $T_5$  และ  $T_{10}$  มีค่าสูงขึ้นหรือเกิดการเสื่อมสภาพทางความร้อนได้ช้าลงเมื่อใช้ดินเหนียวปรับสภาพในปริมาณสูงขึ้นจาก 0 wt% ถึง 5 wt% ส่วนอุณหภูมิที่มีการสูญหายไปของน้ำหนักปริมาณ 50% หรือค่า  $T_{50}$  นั้น

พบว่าจะมีค่าสูงขึ้นเมื่อเติมดินเหนียวปรับสภาพในปริมาณ 1-5 wt% หากชั้นซิลิกาของดินเหนียวปรับสภาพสามารถกระายตัวได้ดีในพอลิเมอร์และมีโครงสร้างเป็นเอกโพลิเอชัน จะมีความสามารถในการป้องกันการซึมผ่านของก๊าซเพื่อป้องกันการเกิดปฏิกิริยาออกซิเดชันได้ดีเมื่อได้รับความร้อนในอากาศ ในขณะที่โครงสร้างแบบอินเตอร์คาเลชันจะแสดงสมบัติทางความร้อนได้ต่ำกว่า (Liu et al., 2005) แต่เนื่องจากการทดสอบการเสื่อมสลายทางความร้อนด้วย TGA ในงานวิจัยนี้ได้ทดสอบอย่างได้บารยากาศในโตรเจน ( $N_2$ ) ดังนั้นจึงแสดงการปรับปรุงเสถียรภาพทางความร้อนได้ไม่มากนัก ส่วนการเติมดินเหนียวปรับสภาพในปริมาณ 8 wt% พบว่าไม่มีผลในการปรับปรุงเสถียรภาพทางความร้อน อาจเนื่องมาจากการใช้ปริมาณดินเหนียวปรับสภาพที่มากเกินไป จึงอาจเกิดการหลอมกันเป็นก้อน



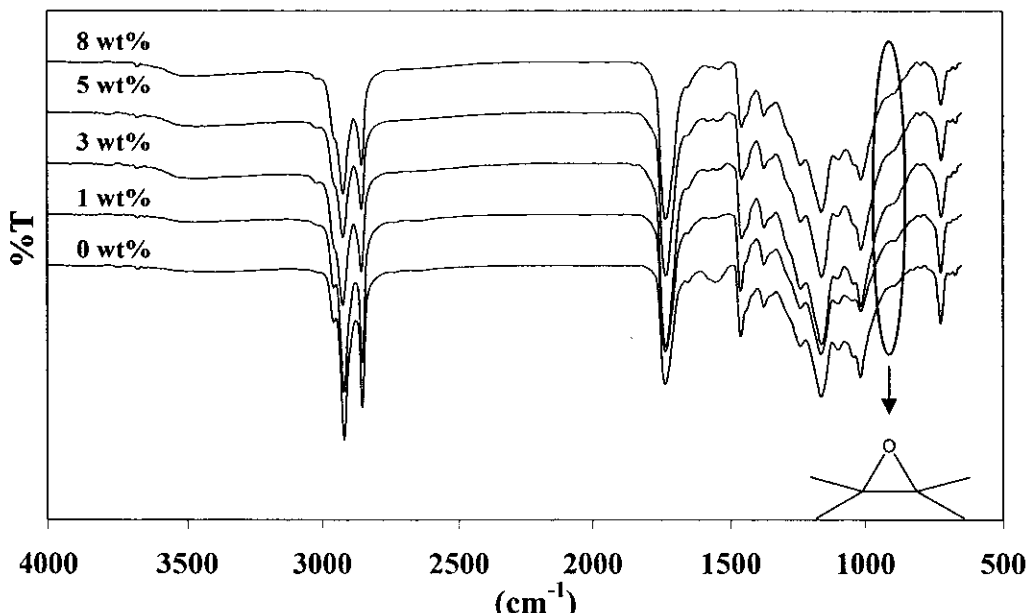
รูปที่ 4.46 TGA เทอร์โมแกรมของแผ่นไบโอพลาสติกคอมโพสิต ESO40 ผสมกับดินเหนียวปรับสภาพ OTAC ปริมาณ 0-8 wt%: (a) ช่วงอุณหภูมิ 30-550°C และ (b) ช่วงอุณหภูมิ 200-400°C

ตารางที่ 4.29 อุณหภูมิการเสื่อมสลายของแผ่นไบโอพลาสติก ESO40 ผสมกับดินเหนียวปรับสภาพ OTAC ในปริมาณ 0-8 wt%

clay content (wt%)	$T_5$ (°C)	$T_{10}$ (°C)	$T_{50}$ (°C)
0	222.80	272.36	382.24
1	223.42	281.42	388.93
3	231.48	290.94	390.21
5	241.48	299.69	390.13
8	221.29	267.49	387.67

#### 4.9.6 ผลการวิเคราะห์ด้วยเทคนิค FTIR ของแผ่น ESO40-OTAC นาโนคอมโพสิต

ผลการวิเคราะห์หมู่อิพ็อกซีของแผ่นในโอลูสติกคอมโพสิตเตรียมจาก ESO40 ผสมกับ OTAC ปริมาณ 0-8 wt% แสดงในรูปที่ 4.47 ทุกด้วยย่างไม่แสดงพีคของหมู่อิพ็อกซีที่บริเวณเลขคลื่น  $824, 843 \text{ cm}^{-1}$  (Park et al., 2004; Lin et al., 2008) แสดงให้เห็นว่ามีการใช้หมู่อิพ็อกซีในการเกิดปฏิกิริยาเชื่อมโยงไมเลกุลจนหมด และดินเหนียวปรับสภาพที่กระจายตัวใน ESO40 ไม่มีผลกระทบต่อการเชื่อมขวางไมเลกุลของหมู่อิพ็อกซี



รูปที่ 4.47 สเปกตรัม FTIR ของแผ่นในโอลูสติก ESO40 ผสมกับ OTAC ปริมาณ 1-8 wt%

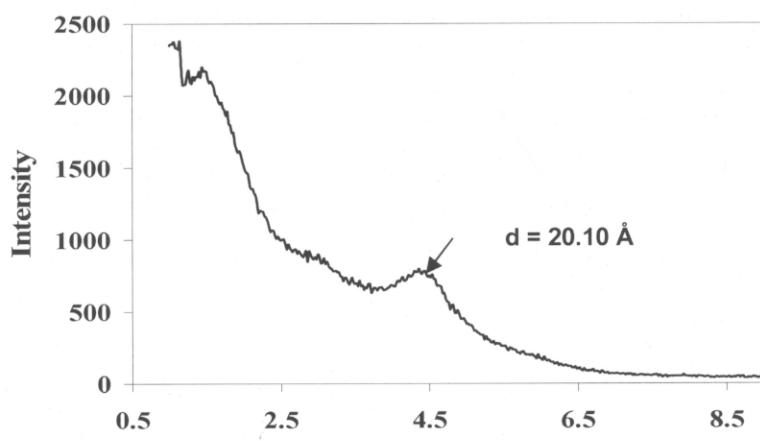
#### 4.9.7 ผลการตรวจสอบโครงสร้างของ OTAC ในแผ่น ESO40 ด้วยเทคนิค XRD

ผลการตรวจสอบค่าระยะห่างระหว่างชั้นชีลิกेट ( $d$ -spacing) ของดินเหนียวปรับสภาพชนิด OTAC ที่กระจายอยู่ในแผ่นในโอลูสติก ESO40 ด้วยเครื่องตรวจสอบการเลี้ยวเบนด้วยรังสีเอกซ์ แสดงในรูปที่ 4.48 พบว่าการเลี้ยวเบนของรังสีเอกซ์เมื่อตอกกระแทกกับผลึกดินเหนียวปรับสภาพปรากฏพีคของมุม  $2\theta$  เท่ากับ  $4.39^\circ$  อยู่ในระนาบ (001) นำมุกการเลี้ยวเบนดังกล่าวมาคำนวณหาค่าระยะห่างระหว่างชั้นผลึกตามสมการที่ 3.8 พบว่าระยะห่างระหว่างชั้นของผลึกดินเหนียวปรับสภาพชนิด OTAC มีค่าเท่ากับ  $20.10 \text{ \AA}$  ใกล้เคียงกับดินเหนียวปรับสภาพทางการค้า Cloisite<sup>®</sup> 30B ซึ่งมีระยะห่างระหว่างชั้นเท่ากับ  $19.61 \text{ \AA}$  (Liu et al., 2005) ส่วนดินเหนียวที่ไม่มีการปรับสภาพชนิดโซเดียมอนฟอร์เมิร์ลิโอในที่จะมีระยะห่างระหว่างชั้นประมาณ  $1.2 \text{ nm}$  หรือ  $12 \text{ \AA}$  (Kurose et al., 2007)

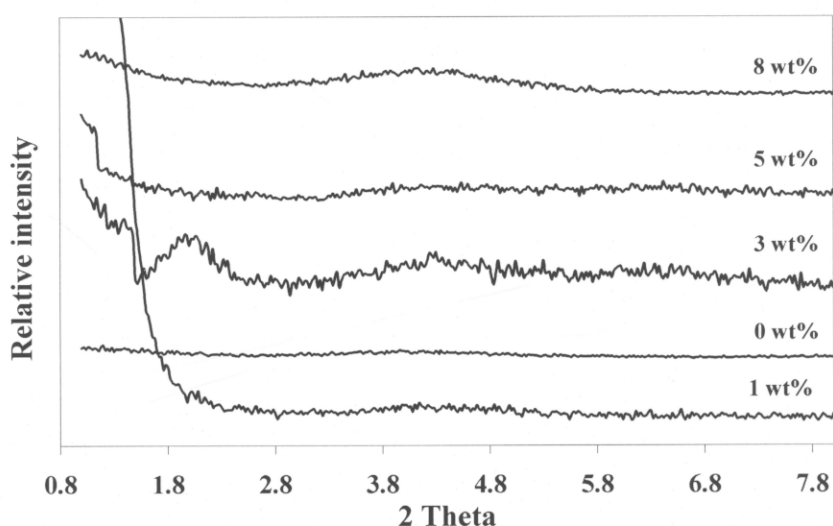
ผลการตรวจสอบระยะห่างชั้นของดินเหนียวปรับสภาพ OTAC ในแผ่นในโอลูสติกคอมโพสิต จาก ESO40 แสดงในรูปที่ 4.49 พบพีคการเลี้ยวเบนของรังสีเอกซ์ที่มุม  $2\theta$  เท่ากับ  $1.98^\circ$  ในตัวอย่างที่เติมดินเหนียวปรับสภาพในปริมาณ 3 wt% มีค่าระยะห่างระหว่างชั้นผลึกเท่ากับ  $44.57 \text{ \AA}$  และแสดงว่าโครงสร้างของดินเหนียวปรับสภาพกระจายตัวเป็นแบบอินเตอร์คาเลชัน เนื่องจากระยะห่างระหว่างชั้นชีลิกेटมีค่าเพิ่มขึ้น ส่วนตัวอย่างที่เติมดินเหนียวปรับสภาพในปริมาณอื่นๆ ไม่พบพีคการเลี้ยวเบนของรังสีเอกซ์ จำเป็นที่จะต้องตรวจสอบด้วยเทคนิค TEM เช่นเดียวกับที่กล่าวมาแล้ว

เมื่อคุณลักษณะความโปร่งใสของชั้นงานดังแสดงในรูปที่ 4.50 พบว่าชั้นงานที่ไม่เติมดินเหนียวปรับสภาพจะให้สีเหลืองใสแบบน้ำมันถั่วเหลือง ส่วนชั้นงานที่เติมดินเหนียวปรับสภาพจะมีสีเข้มขึ้นเล็กน้อยจากเดิม ความโปร่งใสจะลดลงเล็กน้อยตามปริมาณดินเหนียวปรับสภาพที่เติม หากวงชั้นงานทำบนลังบนตัวอักษร g สามารถมองเห็นตัวอักษรได้

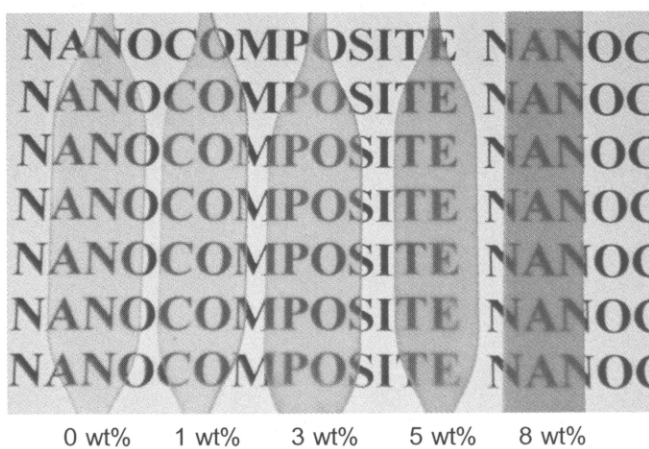
ชั้ดเจน แสดงถึงการกระจายตัวที่ดีของดินเหนียวปรับสภาพในผ้ามันถัวเหลืองอิพ็อกซี่ไดร์ จึงต้องตรวจสอบโครงสร้างของดินเหนียวปรับสภาพด้วยกล้องจุลทรรศน์อิเล็กตรอนแบบส่องผ่านอีกครั้งเพื่อยืนยันลักษณะสัณฐานวิทยาที่แท้จริง



รูปที่ 4.48 XRD สเปกตรัมของดินเหนียวปรับสภาพ OTAC



รูปที่ 4.49 XRD patterns ของแผ่นไบโอลาสติกเตรียมจาก ESO40 ผสมกับ OTAC ปริมาณ 1-8 wt%



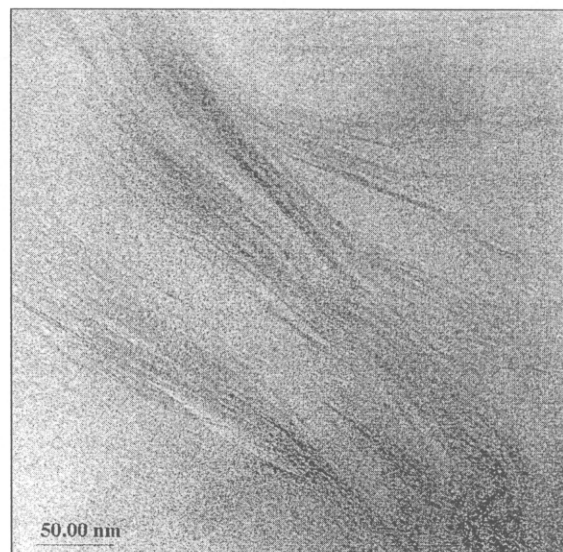
รูปที่ 4.50 แผ่นไบโอลาสติกคอมโพลิท ESO40 ผสมกับดินเหนียวปรับสภาพ OTAC ปริมาณ 1-8 wt%

#### 4.9.8 ผลการตรวจสอบโครงสร้างของ OTAC ในแผ่น ESO400 ด้วยเทคนิค TEM

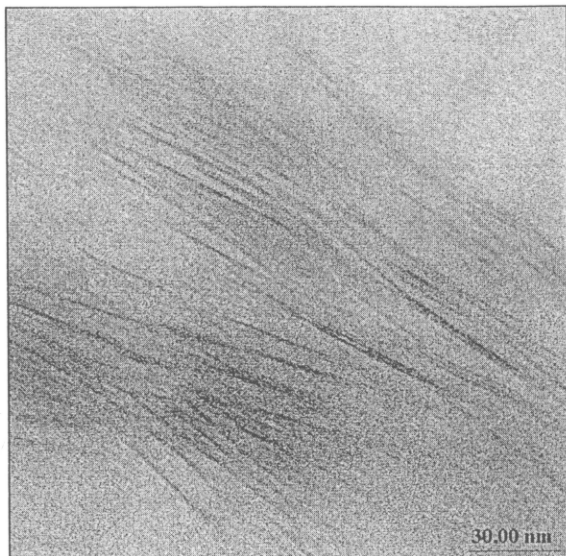
จากการตรวจสอบโครงสร้างของชั้นดินเหนี่ยวปรับสภาพในพลาสติกจากน้ำมันถั่วเหลืองอิพ็อกซีไดซ์ด้วยกล้องจุลทรรศน์อิเล็กตรอนแบบส่องผ่าน โดยใช้กำลังขยายต่างกัน คือ 25,000 เท่า, 50,000 เท่า และ 100,000 เท่า แปรปริมาณดินเหนี่ยวปรับสภาพชนิด OTAC 1 wt%, 3 wt%, 5 wt% และ 8 wt% พบว่าโครงสร้างดินเหนี่ยวปรับสภาพที่เติมในน้ำมันถั่วเหลืองอิพ็อกซีไดซ์ในปริมาณ 1 wt% ดังแสดงในรูปที่ 4.51 บางส่วนจับกันเป็นก้อนเมื่อตรวจสอบด้วยกำลังขยาย 25,000 เท่า แต่มีอุดด้วยกำลังขยายสูงขึ้นเป็น 50,000 เท่า และ 100,000 เท่า จะเห็นว่า บางส่วนของดินเหนี่ยวปรับสภาพมีการกระจายตัวได้ดีและมีระยะห่างระหว่างชั้นเพิ่มขึ้นจาก 20.10 Å ไปเป็น 68.55-86.73 Å ซึ่งเป็นระยะห่างระหว่างชั้นดินเหนี่ยวปรับสภาพที่ได้จากคำนวณเทียบมาตรฐานจากภาพถ่าย TEM ดังตารางที่ 4.30 เป็นการยืนยันได้ว่าลักษณะดินเหนี่ยวปรับสภาพที่อยู่ในน้ำมันถั่วเหลืองอิพ็อกซีไดซ์นั้นมีโครงสร้างเป็นอินเตอร์คาเลชันและบางส่วนมีโครงสร้างแบบเอกโพลิเอชัน สำหรับตัวอย่างพลาสติกที่มีดินเหนี่ยวปรับสภาพในปริมาณ 3 wt% ดังแสดงในรูปที่ 4.52 พบว่าเมื่อตรวจสอบโดยใช้กำลังขยาย 25,000 เท่า พบว่าดินเหนี่ยวปรับสภาพมีลักษณะจับตัวเป็นกลุ่มก้อน มีบางส่วนที่มีการกระจายตัวได้ดี เมื่อตรวจสอบโดยใช้กำลังขยายสูงขึ้นเป็น 100,000 เท่า และระยะห่างระหว่างชั้นเพิ่มขึ้นเป็น 33.05-39.79 Å และโครงสร้างแบบอินเตอร์คาเลชันและเอกโพลิเอชันเป็นบางส่วน เมื่อตรวจสอบตัวอย่างพลาสติกที่มีปริมาณดินเหนี่ยวปรับสภาพ 5 wt% ดังแสดงในรูปที่ 4.53 พบว่าโครงสร้างของชั้นซิลิเกตยังคงเกาะกันเป็นกลุ่มก้อนและมีระยะห่างระหว่างชั้นดินเหนี่ยวในช่วง 42.00-81.76 Å และลักษณะโครงสร้างแบบอินเตอร์คาเลชัน ส่วนพลาสติกที่เติมดินเหนี่ยวปรับสภาพในปริมาณ 8 wt% ดังแสดงในรูปที่ 4.54 เมื่อตรวจสอบด้วยกำลังขยาย 25,000 เท่า พบว่าชั้นดินเหนี่ยวปรับสภาพมีการจับตัวเป็นกลุ่มก้อน เมื่อตรวจสอบโดยใช้กำลังขยายสูงขึ้นเป็น 100,000 เท่า จะเห็นว่าชั้นซิลิเกตบางส่วนมีการกระจายตัวที่ดี เมื่อคำนวณระยะห่างระหว่างชั้นดินเหนี่ยว พบว่าอยู่ในช่วง 13.26-32.44 Å และแสดงว่าชั้นของดินเหนี่ยวปรับสภาพมีลักษณะโครงสร้างแบบอินเตอร์คาเลชัน



รูปที่ 4.51 a



รูปที่ 4.51 b



รูปที่ 4.51 c

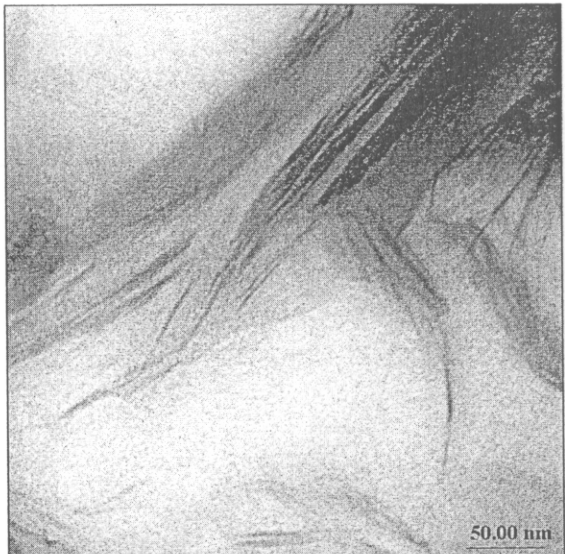


รูปที่ 4.51 d

รูปที่ 4.51 ภาพถ่าย TEM ของ ESO40 ผสม OTAC ปริมาณ 1 wt% กำลังขยายต่างๆ: (a) 25,000 เท่า (b) 50,000 เท่า และ (c-d) 100,000 เท่า



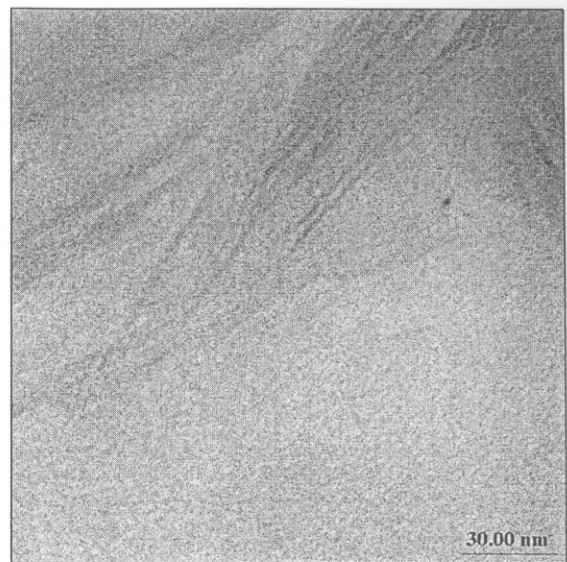
รูปที่ 4.52 a



รูปที่ 4.52 b

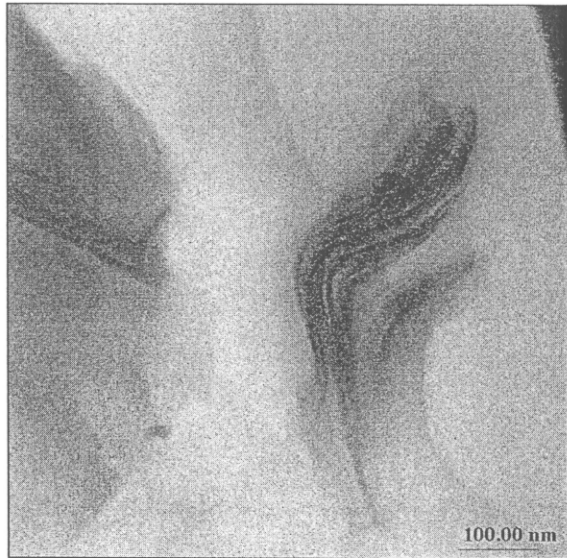


รูปที่ 4.52 c

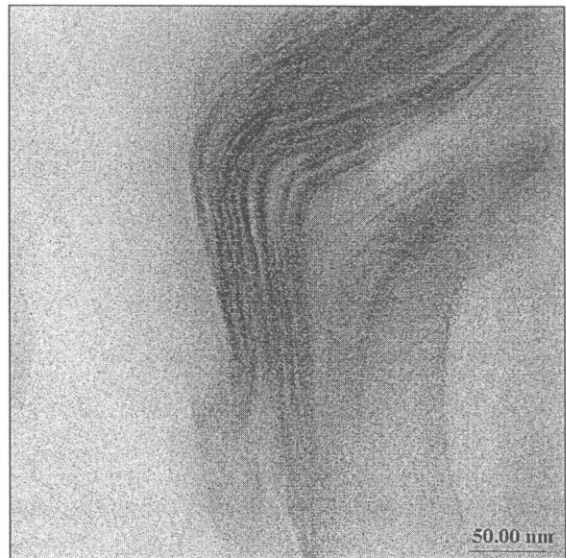


รูปที่ 4.52 d

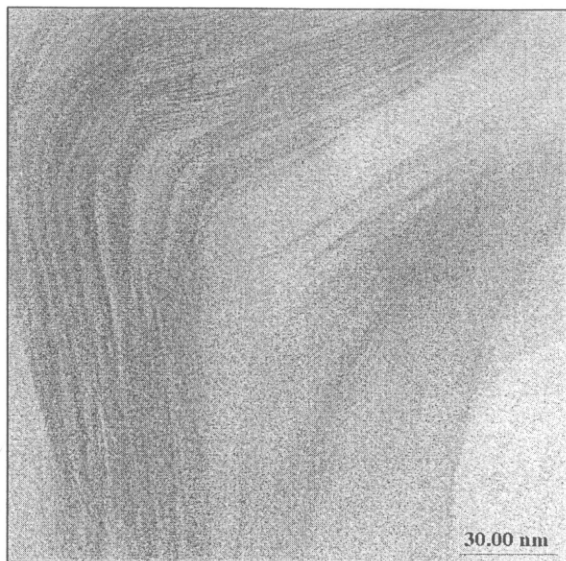
รูปที่ 4.52 ภาพถ่าย TEM ของ ESO40 ผสม OTAC ปริมาณ 3 wt% กำลังขยายต่างๆ: (a) 25,000 เท่า (b) 50,000 เท่า และ (c-d) 100,000 เท่า



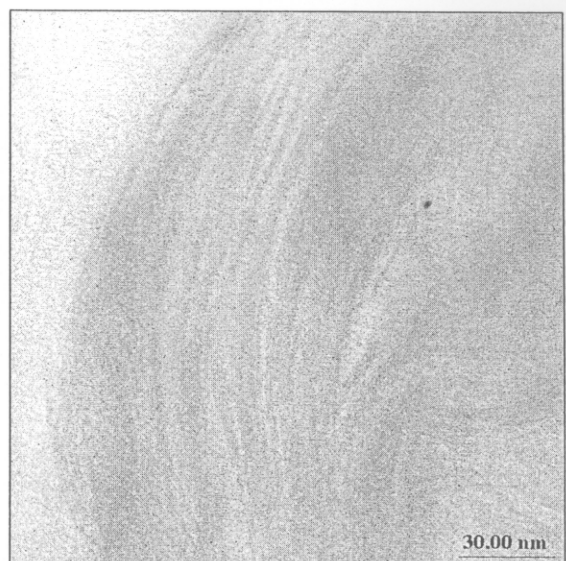
รูปที่ 4.53 a



รูปที่ 4.53 b

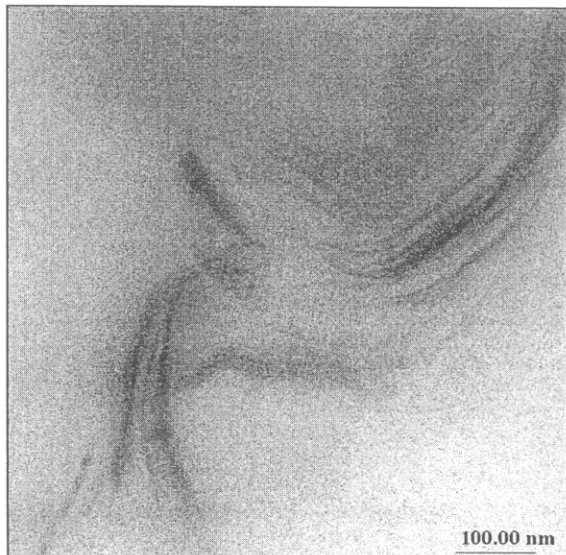


รูปที่ 4.53 c

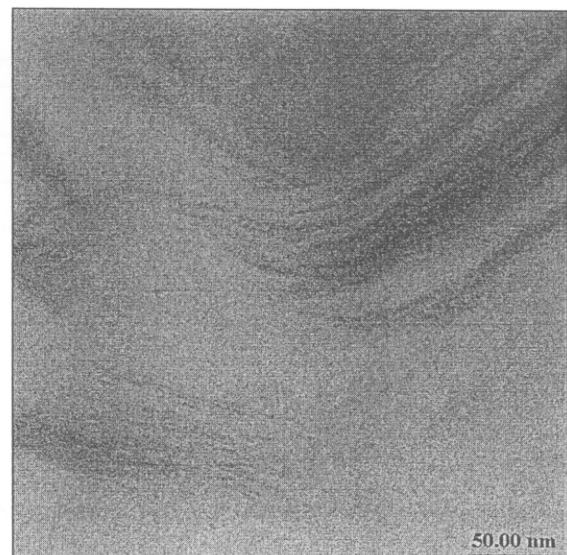


รูปที่ 4.53 d

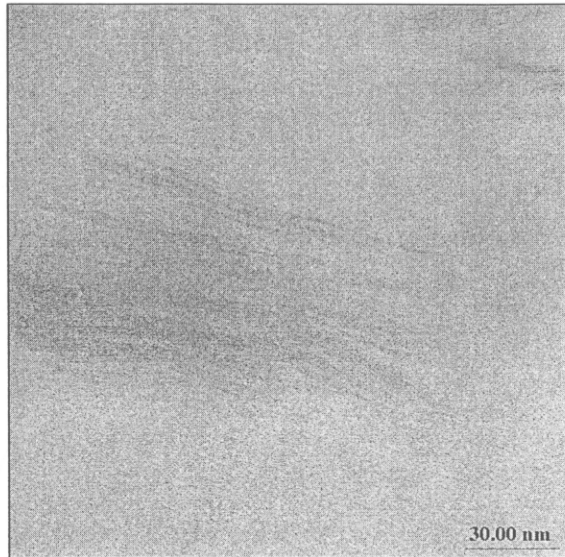
รูปที่ 4.53 ภาพถ่าย TEM ของ ESO40 ผสม OTAC ปริมาณ 5 wt% กำลังขยายต่างๆ: (a) 25,000 เท่า (b) 50,000 เท่า และ (c-d) 100,000 เท่า



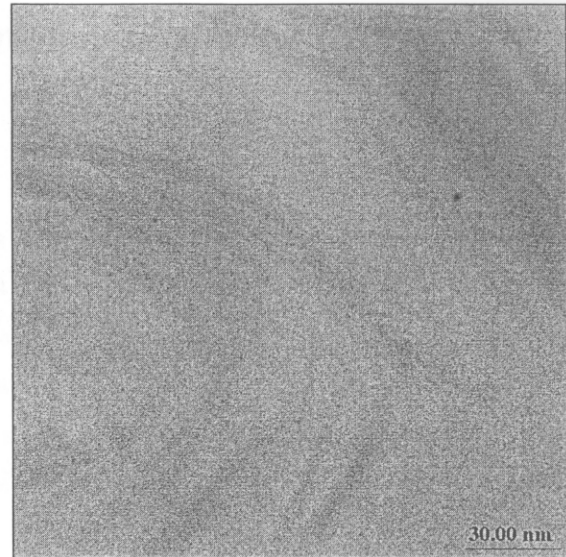
รูปที่ 4.54 a



รูปที่ 4.54 b



รูปที่ 4.54 c



รูปที่ 4.54 d

รูปที่ 4.54 ภาพถ่าย TEM ของ ESO40 ผสม OTAC ปริมาณ 5 wt% กำลังขยายต่างๆ: (a) 25,000 เท่า (b) 50,000 เท่า และ (c-d) 100,000 เท่า

ตารางที่ 4.30 ระยะห่างระหว่างชั้นของดินเหนียวปรับสภาพนิด OTAC ในแผ่นใบโพลีสติกคอมโพสิต ESO40 ผสมดินเหนียวปรับสภาพในปริมาณ 1-8 wt% คำนวณระยะห่างจากภาพถ่าย TEM

Sample	d-spacing (Å)
OTAC	20.10
ESO40 + 1 wt% OTAC	68.55 - 86.73
ESO40 + 3 wt% OTAC	33.05 - 39.79
ESO40 + 5 wt% OTAC	42.00 - 81.76
ESO40 + 8 wt% OTAC	13.26 - 32.44

## บทที่ 5 สรุปผลการทดลองและข้อเสนอแนะ

### สรุปผลการทดลอง

#### 5.1 ผลการสังเคราะห์น้ำมันถั่วเหลืองอิพ็อกซิไซด์

การวิเคราะห์ปริมาณหมู่อิพ็อกไซด์ด้วยเทคนิค  $^1\text{H-NMR}$  ของปฏิกิริยาอิพ็อกซิเดชันที่อุณหภูมิ  $55^\circ\text{C}$  เป็นเวลา 7 h ใช้กรดชัลฟิวเริกเป็นตัวเร่งปฏิกิริยา อัตราส่วนโดยโมลของน้ำมันถั่วเหลือง : การดรอเจนเบอร์ ออกไซด์ 30% เท่ากับ 1 : 3 : 5 พบรีดสำคัญที่ตำแหน่ง  $\delta$  5.3-5.6 ppm เป็นของโปรตอนบนพันธะคู่ และ  $\delta$  3.0-3.2 ppm ซึ่งเป็นตำแหน่งของอิพ็อกไซด์ในโปรตอน เมื่อคำนวณปริมาณหมู่อิพ็อกไซด์ พบว่ามีค่า 40 % และสามารถยืนยันการเกิดวงแหวนอิพ็อกไซด์ด้วยเทคนิค  $^{13}\text{C-NMR}$  ซึ่งแสดงตำแหน่งการบอนของวงแหวนอิพ็อกไซด์ที่  $\delta$  56.9-58.5 ppm สามารถควบคุมปฏิกิริยาอิพ็อกซิเดชันดังกล่าวได้ภายใต้สภาวะเดียวกัน เนื่องจากเป็นการสังเคราะห์ระบบปิด รวมทั้งอุณหภูมิในการสังเคราะห์คงที่

นอกจากนี้เมื่อกำจัดตัวแปรที่มีผลต่อปริมาณหมู่อิพ็อกไซด์ของปฏิกิริยาอิพ็อกซิเดชันโดยใช้ Amberlite<sup>®</sup> IR-120 เป็นตัวเร่งปฏิกิริยา ได้แก่ อุณหภูมิ เวลา ปริมาณตัวเร่งปฏิกิริยา พบร่วมกับการใช้อุณหภูมิ  $60^\circ\text{C}$  จะทำให้ปริมาณหมู่อิพ็อกไซด์สูงกว่าอุณหภูมิ  $55^\circ\text{C}$  และ  $50^\circ\text{C}$  การใช้เวลาในการสังเคราะห์น้ำมันขึ้นจะให้ปริมาณหมู่อิพ็อกไซด์สูงขึ้น ด้วย และการใช้ตัวเร่งปฏิกิริยาในปริมาณมากขึ้นก็จะส่งผลให้ปริมาณหมู่อิพ็อกไซด์มีค่าสูงขึ้น

#### 5.2 ผลการวิเคราะห์น้ำมันถั่วเหลืองก่อนและหลังปฏิกิริยาอิพ็อกซิเดชัน

การวิเคราะห์น้ำมันถั่วเหลืองก่อนนำมาใช้ในการสังเคราะห์เป็นน้ำมันถั่วเหลืองอิพ็อกซิไซด์ ด้วยเครื่องแก๊ส โคลโนໂตกราฟี พบร่วมกับน้ำหนักโมเลกุลเฉลี่ยของน้ำมันถั่วเหลืองมีค่าเท่ากับ 871.79 g/mol นรร.เทียนสมบัติ ต่างๆ ของน้ำมันถั่วเหลืองกับ ESO40 พบร่วม ค่าความถ่วงจำเพาะที่อุณหภูมิ  $25^\circ\text{C}$  ของ ESO40 สูงขึ้นจาก 0.919 เป็น 0.972 ค่าความหนืดของ ESO40 เพิ่มขึ้นจาก 38-51 cP เป็น 211-261 cP ค่าไออกตินของ ESO40 ลดลงจาก 135.6 เป็น 29.2 g<sub>1</sub>/100g เมื่อเทียบกับน้ำมันถั่วเหลือง สำรวจค่าความเป็นกรดและค่าเบอร์เช็นต์กรรมมันอิสระของ ESO40 มีค่าใกล้เคียงกับน้ำมันถั่วเหลืองซึ่งมีค่าไม่เกิน 1 mgKOH/g และไม่เกิน 1% ตามลำดับ ค่าแรงดึงดูดของ ESO40 และ ESO100 มีค่าเท่ากับ 37 dyne/cm

สำรวจการวิเคราะห์หมู่ฟังก์ชันอิพ็อกไซด์ด้วยเทคนิค FTIR พบรีดแสดงหมู่ฟังก์ชันอิพ็อกไซด์ที่เลขคลื่น 824 และ  $843\text{ cm}^{-1}$  ส่วนน้ำมันถั่วเหลืองจะไม่พบรีดดังกล่าว ทำให้สามารถยืนยันการเกิดอิพ็อกซิเดชันได้

#### 5.3 ผลการขึ้นรูปแผ่นใบโพลีสติกจากน้ำมันถั่วเหลืองอิพ็อกซิไซด์

การใช้ MTHPA 80 pph ใน การเชื่อมขวางโมเลกุลของน้ำมันถั่วเหลืองอิพ็อกซิไซด์ โดยมี 1-เมทธิลอะมิตาโซน 1 pph เป็นตัวเร่งปฏิกิริยา ในเบ้าเทफลอนขนาด 3 cm พบร่วมกับ ESO18 ไม่สามารถขึ้นรูปโพลีสติกได้ที่อุณหภูมิ  $150^\circ\text{C}$  ถึงแม้ว่าจะใช้เวลานาน 2 h ในขณะที่ ESO29 และ ESO39 สามารถขึ้นรูปโพลีสติกได้ที่อุณหภูมิ  $150^\circ\text{C}$  เป็นเวลา 20 min ผสัตว์ที่ได้เป็นของแข็งมีลักษณะนิ่ม หยุ่นตัวโครงสร้างไม่คงตัว ไม่สามารถใช้ได้ล้ำยาน มีสีเหลืองใส

การใช้ MTHPA 80-100 pph ใน การเชื่อมขวางโมเลกุลของ ESO32 โดยมี BDMA เป็นตัวเร่งปฏิกิริยา ในเบ้าเทฟลอนขนาด 3 cm ที่อุณหภูมิ  $150^\circ\text{C}$  พบร่วมกับ BDMA 4 และ 8 pph อบเป็นเวลา 50 min และ 12 pph เป็นเวลา 45 min จะสามารถขึ้นรูปเป็นแผ่นใบโพลีสติกได้เป็นของแข็งสีเหลืองใสคล้ายยาง ส่วนการใช้ DMP-30 เป็นตัวเร่งปฏิกิริยาจะไม่สามารถขึ้นรูปเป็นแผ่นโพลีสติกได้

สรุปได้ว่าหากน้ำมันถั่วเหลืองอิพ็อกซิไซด์มีปริมาณอิพ็อกไซด์เหมาะสม จะสามารถขึ้นรูปเป็นแผ่นใบโพลีสติกได้ที่อุณหภูมิ  $150^\circ\text{C}$  การใช้ 1-เมทธิลอะมิตาโซนเป็นตัวเร่งปฏิกิริยาโดยมี MTHPA เป็นสารเชื่อมขวางน้ำมัน เหมาะสมที่สุด เนื่องจากสามารถใช้ในปริมาณเล็กน้อยเพียง 1 pph รวมทั้งใช้เวลาในการขึ้นรูปสั้นกว่าการใช้ BDMA

และการทดลองเลือกชนิดของเนื้าสำหรับขั้นรูป พนวณการใช้เนื้อกระเจรษ์สูตรในการขึ้นรูปพลาสติกจากน้ำมันถั่วเหลืองอิพ็อกซี่ไดซ์ เนื่องจากสามารถนำชิ้นงานออกจากเนื้าได้ง่าย และชิ้นงานมีผิวน้ำด้านติดกระเจรษ์ส่วน

#### 5.4 ผลการทดสอบสมบัติเชิงกลของแผ่นในโอลิเมอร์จากน้ำมันถั่วเหลืองอิพ็อกซี่ไดซ์

การศึกษาอิทธิพลของสภาวะการขึ้นรูปของพอลิเมอร์จาก ESO40 ด้วยสารเชื่อมขาว MTHPA ใช้ตัวเร่งปฏิกิริยา 1-เมทิลอะมิดาโซน 1 pph พนวณการอบที่อุณหภูมิ  $150^{\circ}\text{C}$  เป็นเวลา 75 min ใช้ MTHPA ในปริมาณ 60 pph เป็นสภาวะการขึ้นรูปที่เหมาะสม เนื่องจากให้ค่า E และค่า  $\sigma_u$  สูงที่สุด เท่ากับ 4.08 และ 2.29 MPa ตามลำดับ ชิ้นงานจะแสดงพฤติกรรมการแตกหักแบบเปราะ

การศึกษาอิทธิพลของปริมาณหมู่อิพ็อกไซด์ 24-100 mol% ต่อสมบัติความหนาแน่นของพอลิเมอร์ที่ E, ค่า  $\delta_b$  และค่าความด้านทานที่ต้องแรงฉีกขาด จะเพิ่มขึ้นตามปริมาณหมู่อิพ็อกไซด์ที่เพิ่มขึ้น ส่วนค่า  $E_u$  จะมีแนวโน้มลดลงเมื่อปริมาณหมู่อิพ็อกไซด์ที่เพิ่มขึ้น เป็นผลมาจากการเพิ่มขึ้นของการเกิดการเชื่อมขาวระหว่างโมเลกุล ESO100 จะมี E,  $\sigma_u$  และค่าความด้านทานที่ต้องแรงฉีกขาดสูงที่สุด เท่ากับ 37.71, 5.75 และ 5.72 MPa ตามลำดับ แต่มีค่า  $E_u$  ต่ำสุดคือ 15% ส่วน ESO40 จะให้ค่า E,  $\sigma_u$  และค่าความด้านทานที่ต้องแรงฉีกขาด เท่ากับ 4.08, 2.29 และ 2.85 MPa ตามลำดับ และมีค่า  $E_u$  สูงที่สุดเท่ากับ 91%

#### 5.5 ผลการวิเคราะห์ลักษณะเฉพาะต่าง ๆ ของแผ่นในโอลิเมอร์จากน้ำมันถั่วเหลืองอิพ็อกซี่ไดซ์

อุณหภูมิกลางแทรกซัชัน ( $T_g$ ) ของพอลิเมอร์ที่ได้จากน้ำมันถั่วเหลืองอิพ็อกซี่ไดซ์ 24-100 mol% มีค่าตั้งแต่  $14.7-45.8^{\circ}\text{C}$  ค่า E' จะเพิ่มขึ้นตามปริมาณอิพ็อกไซด์ที่เพิ่มขึ้น ความหนาแน่นของการเชื่อมขาวของพอลิเมอร์จากน้ำมันถั่วเหลืองอิพ็อกซี่ไดซ์ 24-100 mol% จะอยู่ในช่วงตั้งแต่  $131-2,610 \text{ mol/m}^3$  โดยปริมาณดังกล่าวจะเพิ่มขึ้นตามจำนวนของหมู่อิพ็อกไซด์ที่เพิ่มขึ้น

การศึกษาแสดงภาพทางความร้อนของพลาสติกที่มีอิพ็อกไซด์แตกต่างกันดังต่อไปนี้ 24-100 mol% พนวณเกิดการเสื่อมสภาพได้ช้าลงเมื่อมีปริมาณอิพ็อกไซด์เพิ่มขึ้น

การวิเคราะห์เพื่อตรวจสอบความสมบูรณ์ของปฏิกิริยาการเชื่อมขาวโดยเครื่อง DSC ของแผ่นในโอลิเมอร์จาก ESO40 ด้วย MTHPA ในปริมาณ 60 pph ผ่านการขึ้นรูปพลาสติกที่อุณหภูมิ  $150^{\circ}\text{C}$  เป็นเวลา 75 min พนวณไม่ปรากฏพิการเกิดปฏิกิริยาต่อหลังจากให้ความร้อนที่อุณหภูมิการเชื่อมขาว และชิ้นงานดังกล่าวไม่สามารถตรวจพบพิเศษของหมู่ฟังก์ชันอิพ็อกซี่เมื่อทดสอบด้วยเทคนิค FTIR ทำให้ยืนยันได้ว่าการขึ้นรูปนั้นสามารถเกิดการเชื่อมขาวได้สมบูรณ์ เนื่องจากปริมาณพอยเมะกับการเกิดปฏิกิริยา กันหมู่ฟังก์ชันอิพ็อกไซด์

แผ่นในโอลิเมอร์มีความแข็งและความเหนียวแบบดึงเพิ่มขึ้นเมื่อมีปริมาณอิพ็อกไซด์เพิ่มขึ้น แต่ถ้ามีปริมาณอิพ็อกไซด์มากเกินไป คือ ESO100 จะทำให้ความเหนียวแบบดึงมีค่าต่ำลง การบ่มตัวด้วยความร้อนทำให้แผ่นในโอลิเมอร์มีความแข็งแรงมากขึ้น เพราะเกิดการเชื่อมโยงโมเลกุลระหว่างการบ่ม ผลการทดสอบความด้านทานต่อโอลิโซนไม่สามารถรายงานได้ เพราะเครื่องมือชำรุด แผ่นในโอลิเมอร์มีความทนทานต่อน้ำดี แต่ความทนทานต่อสารเคมีขึ้นอยู่กับชนิดของตัวทำละลาย ในภาพรวมถือว่าความด้านทานไม่ดี

#### 5.6 ผลการทดสอบการเคลือบผิว

การนำ ESO มาใช้เป็นสารเคลือบผิว จำเป็นต้องมีการปรับความหนืดให้เหมาะสมต่อการใช้งาน พนวณการอบสารละลาย ESO (ESO ผสมกับ MTHPA และ 1-เมทิลอะมิดาโซน) จะช่วยให้มีความหนืดเพิ่มขึ้น และความสามารถหล่อเย็นสารละลาย ESO หลังจากการอบทันที การให้ความร้อนนี้ช่วยให้เกิดปฏิกิริยาเชื่อมโยงโมเลกุล จึงทำให้มีความหนืดเพิ่มขึ้น เทคนิคการเคลือบและทักษะของผู้เคลือบ มีผลต่อลักษณะที่ปรากฏของชิ้นงานเช่นกัน ผลการทดลองพบว่า

สามารถเคลือบบนผิวไม้ย่างพาราได้ดี แต่เนื่องจากไม่มี MTHPA และไม่สามารถหาซื้อได้ภายในประเทศ จึงไม่สามารถทำการทดลองการเคลือบผิวต่อไปได้ ทั้งการปรับปรุงการเคลือบบนไม้ย่างพาราและการเคลือบบนพีวีซี แต่อย่างไรก็ตาม การเคลือบบนหัวอาจไม่เหมาะสม เพราะ ESO มีสีเหลือง ทำให้สีของพื้นวัสดุที่ถูกเคลือบเปลี่ยนไป ส่วนการทำงานไม้ย่างพารา ก็ให้สีเปลี่ยนไปเช่นกัน

### 5.7 ผลการตรวจสอบสมบัติของหัวมันถั่วเหลืองอิพ็อกซิไดซ์-ดินเหนียวปูร์บานาโนคอมโพสิต

การทดสอบการกระจายตัวของดินเหนียวปูร์บานาใน ESO40 พบร่วมกับดินเหนียวปูร์บานา OTAC และ Bengel® 434 ให้การกระจายตัวที่ดีใกล้เคียงกัน และดีกว่าชนิด DTAC เมื่อสังเกตด้วยตาเปล่า และพบว่า ESO40 ผสมดินเหนียวปูร์บานา OTAC จะให้การกระจายตัวที่ดีกว่า Bengel® 434 เนื่องจากให้ค่าความหนืดสูงกว่าการใช้ดินเหนียวปูร์บานา OTAC ใช้ดินเหนียวปูร์บานา Bengel® 434 จึงเลือกใช้ดินเหนียวปูร์บานา OTAC ใน การเตรียมเป็นพลาสติกคอมโพสิต

สมบัติความหนาแน่นต่อแรงดึงของพอลิเมอร์นาโนคอมโพสิตจาก ESO40 ที่มีปริมาณดินเหนียวปูร์บานา OTAC ตั้งแต่ 0-8 wt% พบร่วมกับอย่างที่ใช้ดินเหนียวปูร์บานา 5 wt% จะให้สมบัติความหนาแน่นต่อแรงดึงที่ดีที่สุดโดยมีค่า E เท่ากับ 9.73 MPa ค่า δ<sub>u</sub> เท่ากับ 2.90 MPa และค่า ε<sub>u</sub> เท่ากับ 80%

### 5.8 ผลการวิเคราะห์ลักษณะเฉพาะต่าง ๆ ของพลาสติกเตรียมจากหัวมันถั่วเหลืองอิพ็อกซิไดซ์ผสมดินเหนียวปูร์บานาโนคอมโพสิต

การเติมดินเหนียวปูร์บานาในปริมาณ 5 wt% และ 8 wt% สามารถปรับปรุงค่า T<sub>g</sub> ของพอลิเมอร์ได้โดยมีค่าเท่ากับ 27.3 °C และ 29.4 °C ตามลำดับ ค่ามอดุลัสสะสม (E') ทั้งในระนาบคล้ายแก้วและคล้ายยางจะมีค่าสูงขึ้นตามปริมาณดินเหนียวปูร์บานาที่เพิ่มขึ้น

การศึกษาแสดงภาพทางความร้อนของพอลิเมอร์นาโนคอมโพสิต พบร่วมกับการเสื่อมสภาพทางความร้อนได้ชัดเจนเมื่อใช้ดินเหนียวปูร์บานาในปริมาณ 1 ถึง 5 wt% และพบว่าดินเหนียวปูร์บานาที่กระจายตัวใน ESO40 ไม่มีผลกระทบต่อการเสื่อมของโมเลกุลของหมู่อิพ็อกซิ เนื่องจากไม่มีหมุนฟังก์ชันอิพ็อกซิเหลือภายอยู่หลังการเสื่อมของโมเลกุล เมื่อตรวจสอบด้วยเทคนิค FTIR

### 5.9 ผลการวิเคราะห์ลักษณะโครงสร้างของดินเหนียวปูร์บานาในหัวมันถั่วเหลืองอิพ็อกซิไดซ์

เมื่อตรวจสอบระยะห่างระหว่างชั้นของดินเหนียวปูร์บานาของพลาสติกคอมโพสิตจาก ESO40 ผสมดินเหนียวปูร์บานา OTAC พบรück การกระเจิงของรังสีเอกซ์ที่มุม 2θ เท่ากับ 1.98° ในตัวอย่างที่เติมดินเหนียวปูร์บานาในปริมาณ 3 wt% มีระยะห่างระหว่างชั้นผลึกเท่ากับ 44.57 Å แสดงโครงสร้างแบบอินเตอร์คาเลชัน เนื่องจากระยะห่างระหว่างชั้นซิลิเกตมีค่าเพิ่มขึ้น ส่วนตัวอย่างที่เติมดินเหนียวปูร์บานาอีก 4 ไม่พบพück การกระเจิงของรังสีเอกซ์ จึงต้องตรวจสอบโครงสร้างของดินเหนียวปูร์บานาเพื่อยืนยันลักษณะสัณฐานวิทยาที่แท้จริงด้วยกล้องจุลทรรศน์ อิเล็กตรอนแบบส่องผ่าน พบร่วมกับการเติมดินเหนียวปูร์บานา 1-5 wt% แสดงโครงสร้างของนาโนคอมโพสิต แบบอินเตอร์คาเลชัน เป็นส่วนใหญ่และเอกโซไฟลิเอชันเป็นบางส่วน ส่วนปริมาณดินเหนียว 8 wt% มีลักษณะโครงสร้างแบบอินเตอร์คาเลชัน ดังนั้นจึงสรุปได้ว่า งานวิจัยนี้สามารถเตรียมพลาสติกนาโนคอมโพสิตจากหัวมันถั่วเหลืองที่ดี ประเมินหัวมันถั่วเหลืองอิพ็อกซิไดซ์และผสมกับดินเหนียวปูร์บานาได้สำเร็จ สามารถนำไปพัฒนาต่อในงานด้านสารเคลือบผิวต่อไป

#### ข้อเสนอแนะ

ควรปรับปรุงความแข็งแรงของ ESO ด้วยการทำเป็นโคลอพอลิเมอร์กับพลาสติกที่มีความแข็งแรง

## เอกสารอ้างอิง

- ไพบูลย์ วิวัฒนาวงศ์วนา. 2546. เคมีdin. ห้องหันส่วนจำกัดเชียงใหม่พิมพ์สwy.: เชียงใหม่.
- อรุสา สรวารี. 2537. สารเคมีอ่อนผิว. คณะวิทยาศาสตร์ จุฬาลงกรณ์มหาวิทยาลัย.: กรุงเทพมหานคร.
- Adhvaryu, A., Erhan, S.Z. 2002. Epoxidized soybean oil as a potential source of high temperature lubricants. *Ind. Crops Prod.* 15: 247-254.
- Adhvaryu, A., Erhan, S.Z. 2005. Synthesis of novel alkoxylated triacylglycerols and their lubricant base oil properties. *Ind. Crops Prod.* 21: 113-119.
- Aursand M., Rainuzzo J.R. and Grasdalen H. 1993. Quantitative high-resolution  $^{13}\text{C}$  and  $^1\text{H}$  nuclear magnetic resonance of fatty acids from white muscle of atlantic salmon (*Salmo salar*). *J. Am. Oil Chem. Soc.*, 70: 971-981.
- Campanella, A., Baltanás, M.A. 2004. Degradation of the oxirane ring of epoxidized vegetable oils with solvated acetic acid using cation-exchange resins. *Eur. J. Lipid Sci. Technol.* 106: 524-530.
- Campanella, A., Baltanás, M.A. 2005. Degradation of the oxirane ring of epoxidized vegetable oils in liquid-liquid systems: II. Reactivity with solvated acetic and peracetic acids. *Lat. Am. Appl. Res.* 35: 211-216.
- Campanella, A., Fontanini, C., Baltanás, M.A. 2008. High yield epoxidation of fatty acid methyl esters with performic acid generated in situ. *Chem. Eng. J.* 144: 466-475.
- Doppers, L.M., Breen, C., Sammon, C. 2004. Diffusion of water and acetone into poly(vinyl alcohol)-clay nanocomposites using ATR-FTIR. *Vib. Spectrosc.* 35: 27-32.
- Eckwert, K., 1987. Process for the epoxidation of olefinically unsaturated hydrocarbon compounds with peracetic acid. US Patent. 4,647,678.
- Ellis, B., 1993. Chemistry and technology of epoxy resins. Chapman and Hall. London.
- Espinoza, P.J.D., Wiesenborn, D.P., Tostenson, K., Haagenson, D.M., Ulven, C.A., Tatlari, M. Gustafson, C.R. 2007. An ASABE Section Meeting Presentation. 12 October 2007.
- Güner, F.S., Yagci, Y., Erciyes, A. T. 2006. Polymers from triglyceride oils. *Prog. Polym. Sci.* 31: 633-670.
- Hilker, I., Bothe, D., Prüss, J., Warnecke, H.J. 2001. Chemo-enzymatic epoxidation of unsaturated plant oils. *Chem. Eng. Sci.* 56: 427-432.
- Holser, R.A. 2008. Transesterification of epoxidized soybean oil to prepare epoxy methyl esters. *Ind. Crops Prod.* 27: 130-132.
- Hwang, H.S., Erhan, S.E., 2006. Synthetic lubricant basestocks from epoxidized soybean oil and Guerbet alcohols. *Ind. Crops Prod.* 23: 311-317.
- Jin, F.L., Park, S.J. 2008. Impact-strength improvement of epoxy resins reinforced with a biodegradable polymer. *Mater. Sci. Eng., A.* 478: 402-405.
- Kurose, T., Yudin, V.E., Otaigbe, J.U., Svetlichnyi, V.M. 2007. Compatibilized polyimide (R-BAPS)/BAPS-modified clay nanocomposites with improved dispersion and properties. *Polymer* 48: 7130-7138.
- Lathi, P.S., Mattiasson, B. 2007. Green approach for the preparation of biodegradable lubricant base stock from epoxidized vegetable oil. *Appl. Catal., B.* 69: 207-212.
- Li, F., Larock, R.C. 2001. New soybean oil-styrene-divinylbenzene thermosetting copolymers. I. Synthesis and characterization. *J. Appl. Polym. Sci.* 80: 658-670.

- Lin, B., Yang, L., Dai, H., Yi, A. 2008. Kinetic studies on oxirane cleavage of epoxidized soybean oil by methanol and characterization of polyols. *J. Am. Oil Chem. Soc.*, 85: 113-117.
- Liu, Z.S., Erhan, S.Z., 2008. Green composites and nanocomposites from soybean oil. *Mater. Sci. Eng., A.* 483-484: 708-711.
- Liu, Z.S., Erhan, S.Z., Calvert, P.D., 2007. Solid freeform fabrication of epoxidized soybean oil/epoxy composite with bis or polyalkyleneamine curing agents. *Composites Part A.* 38: 87–93.
- Liu, Z.S., Erhan, S.Z., Xus, J., 2005. Preparation, characterization and mechanical properties of epoxidized soybean oil/clay nanocomposites. *Polymer* 46: 10119-10127.
- Lu, J., Knot, S.N., Wool, R.P., 2005. New sheet molding compound resins from soybean oil: I. Synthesis and characterization. *Polymer* 46: 71-80.
- Meffert, A., Kluth, H. 1989. Process for the preparation of modified triglycerides. U.S. Patent. 4,886,893.
- Miyagawa, H., Misra, M., Drzal, L.T., Mohanty, A.K. 2005. Novel biobased nanocomposites from functionalized vegetable oil and organically-modified layered silicate clay. *Polymer* 46: 445-453.
- Mohamed, H.A., Badran, B.M., Aglan, H.A. 2001. Waterborne methylamine adduct as corrosion inhibitor for surface coatings. *J. Appl. Polym. Sci.* 80: 286-296.
- Orellana-Coca, C., Camacho, S., Adlercreutz, D., Mahhiasson, B., Hatti-Kaul, R. 2005. Chemo-enzymatic epoxidation of linoleic acid: parameters influencing the reaction. *Eur. J. Lipid Sci. Technol.* 107: 864-870.
- Park, S.J., Jin, F.L., Lee, J.R., 2004. Thermal and mechanical properties of tetrafunctional epoxy resin toughened with epoxidized soybean oil. *Mater. Sci. Eng., Part A.* 374: 109-114.
- Park, S.J., Jin, F.L., Lee, J.R., 2004. Synthesis and thermal properties of epoxidized vegetable oil. *Macromol. Rapid Commun.* 25: 724-727.
- Parreira, T.F., Parreira, M.M.C., Sales, H.J.S. 2002. Quantitative determination of epoxidized soybean oil using near-infrared spectroscopy and multivariate calibration, *Appl. Spectrosc.* 56(12): 1607-1614.
- Pelletier, H., Belgacem, N., Gandini, A. 2006. Acrylated vegetable oils as photocrosslinkable materials. *J. Appl. Polym. Sci.* 99: 3218-3221.
- Raghavachar, R., Sarnecki, G., Baghdachi, J. 2000. Cationic, thermal cured coatings using epoxidized soybean oil. *J. Coat. Technol.* 72(909): 125-133.
- Ray, S.S., Okamoto, M. 2003. Polymer/layered silicate nanocomposites: a review from preparation to processing. *Prog. Polym. Sci.* 28: 1539-1641.
- Rüschgen, K.M., Warwel, S. 1999. Complete and partial epoxidation of plant oils by lipase-catalyzed perhydrolysis. *Ind. Crops Prod.* 9: 125-132.
- Saunders, K.J. 1973. *Organic Polymer Chemistry*. 2<sup>nd</sup> ed. Chapman and Hall. London.
- Uyama, H., Kuwabara, M., Tsujimoto, T., Nakano, M., Usuki A., Kobayashi, S. 2004. Organic-inorganic hybrids from renewable plant oils and clay. *Macromol. Biosci.* 4: 354-360.
- Xu, J., Liu, Z., Erhan, S.Z., Carriere, C.J. 2004. Cross-linkers control the viscoelastic properties of soybean oil-based biomaterials. *J. Am. Oil Chem. Soc.* 81: 813-816.
- Zhu, J., Chandrashekhar, K., Flanigan, V., Kapila, S. 2004. Curing and mechanical characterization of a soy-based epoxy resin system. *J. Appl. Polym. Sci.* 91: 3513-3518.
- Zhu, L., Wool, R.P. 2006. Nanoclay reinforced bio-based elastomers: Synthesis and characterization. *Polymer* 47: 8106-8115.

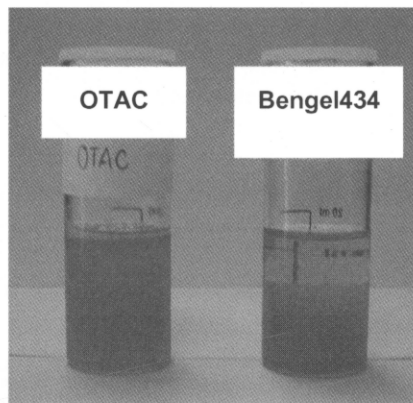
## ภาคผนวก

### 1. การตรวจสอบการตกค้างของ MTHPA ในแผ่นไบโอพลาสติก ESO40

ผลการตรวจสอบด้วยเทคนิค DSC ในหัวข้อ 4.6.3 แสดงให้เห็นว่าไม่มีสารตกค้างในแผ่นไบโอพลาสติก

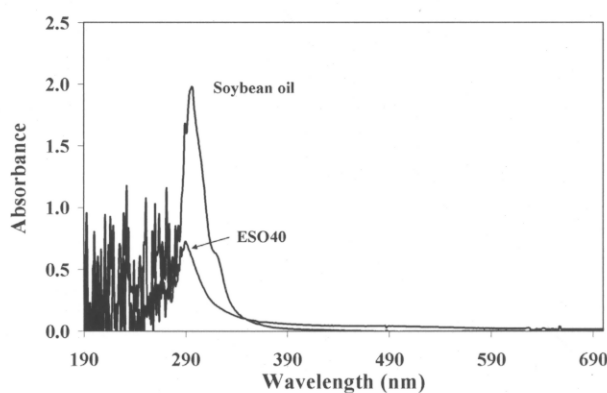
### 2. การตรวจสอบการดูดซับ MTHPA โดยดินเหนียวปรับสภาพ

นำดินเหนียวปรับสภาพ (OTAC และ Bengel<sup>®</sup> 434) ผสมใน MTHPA โดยมีความเข้มข้นของดินเหนียวปรับสภาพ 5 wt% ทำการเขย่าด้วยวิธีโซนิเคชันที่อุณหภูมิ 60°C เป็นเวลา 4 h 旺ตั้งไว้ที่อุณหภูมิห้องเป็นเวลา 24 h สังเกตการณ์กระจายตัวของดินเหนียวปรับสภาพใน MTHPA ตั้งสมมติฐานว่า ถ้ามีการดินเหนียวปรับสภาพมีการดูดซับ MTHPA ได้ดี ก็จะมีการกระจายตัวได้ดี ผลการทดลองพบว่าดินเหนียวปรับสภาพทั้งสองชนิดมีการกระจายตัวได้ใน MTHPA และ OTAC มีการกระจายตัวได้มากกว่า Bengel<sup>®</sup> 434 ดังแสดงในภาพถ่าย แสดงว่าดินเหนียวปรับสภาพทั้งสองชนิดมีการดูดซับ MTHPA ได้ดี



### 3. การตรวจสอบพันธะคู่ของแผ่นไบโอพลาสติก ESO40

ผลการทดสอบด้วย FTIR ในรูปที่ 4.20 แสดงให้เห็นว่าแผ่นไบโอพลาสติก ESO40 ยังปราศพันธะคู่ก่อนทำ การบ่มด้วยความร้อน และมีปริมาณลดลงเมื่อบ่มด้วยความร้อน แต่ไม่สามารถคำนวณปริมาณพันธะคู่ในแผ่นไบโ อพลาสติกนี้ได้ ทดลองวิเคราะห์ด้วยเครื่อง UV spectrophotometer เพื่อต้องการวิเคราะห์พันธะคู่ เทคนิคนี้สามารถ วิเคราะห์ได้เฉพาะตัวอย่างที่เป็นของเหลวเท่านั้น ดังรูปสเปกตรัมของน้ำมันถั่วเหลืองและน้ำมันถั่วเหลืองอิพ็อกซี่ไดซ์ 40 mol% ดังแสดงข้างล่างนี้ แต่เมื่อนำตัวอย่างแผ่นไบโอพลาสติกมาวิเคราะห์ ค่าดูดกลืนแสลงมีค่าสูงมาก ไม่ปราศ เป็นพีค มีลักษณะเป็นแบบกว้างมาก

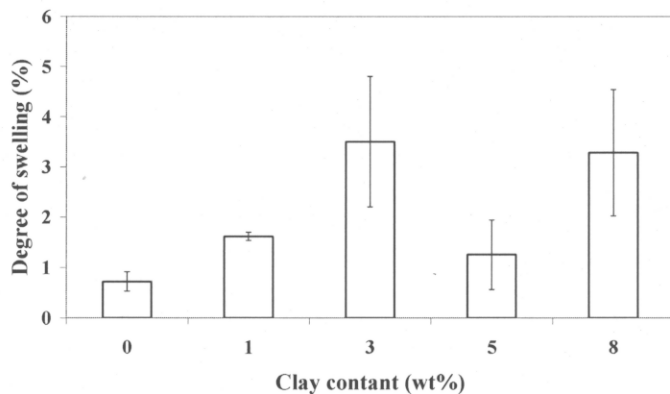


### 4. การเคลือบผ้าด้วย ESO

ไม่สามารถดำเนินการทดลองได้ เพราะไม่มี MTHPA และไม่สามารถหาซื้อได้ภายในประเทศไทย

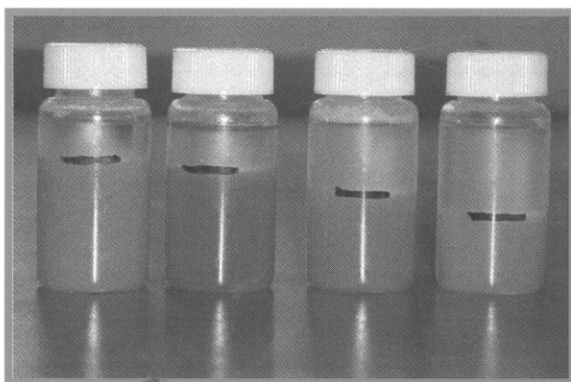
## 5. การดูดซับน้ำและแรงตึงผิว

ผลการทดลองการบวมตัวในน้ำของแผ่นไบโอพลาสติก ESO100 และ ESO40 แสดงในรูปที่ 4.17 ส่วนการบวมตัวในน้ำของแผ่นไบโอพลาสติกนาโนคอมโพสิต (ESO40-OTAC) แสดงในรูปต่อไปนี้ พบว่าการเติมดินเหนียวปรับสภาพทำให้มีการซับน้ำเพิ่มขึ้นเล็กน้อย ซึ่งเป็นลักษณะปกติของดินเหนียว ที่เป็นสารซับน้ำ ผลการทดลองมีค่าเบี่ยงเบนค่อนข้างสูง สังเกตได้ว่าที่ปริมาณ 5% OTAC แสดงค่าการบวมตัวในน้ำอยู่ที่สุด สอดคล้องกับสมบัติเชิงกล ผลการวัดแรงตึงผิวแสดงในตารางที่ 4.6

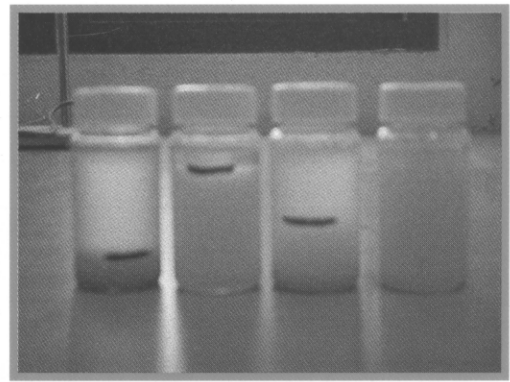


## 6. การกระจายตัวของดินเหนียวปรับสภาพชนิดต่างๆ ใน ESO100

ภาพแสดงการกระจายตัวของดินเหนียวปรับสภาพชนิดต่างๆ ใน ESO100 การทดลองเช่นเดียวกันกับที่อธิบายในหัวข้อการตรวจสอบการดูดซับ MTHPA โดยดินเหนียวปรับสภาพ



(a)



(b)

ภาพ (a) จากซ้ายมือ : Bentone<sup>®</sup> SD2, Bentone<sup>®</sup> 34, Bentone<sup>®</sup> 38 และ Bentone<sup>®</sup> SD1

ภาพ (b) จากซ้ายมือ : DTAC, Bentone<sup>®</sup> 27, Bentone<sup>®</sup> SD3 และ Bengel<sup>®</sup> 434

## ผลลัพธ์จากการวิจัย

ผลลัพธ์	หน่วย นับ	ปีที่ 1				ปีที่ 2			
		Q1	Q2	Q3	Q4	Q1	Q2	Q3	Q4
<b>RDE</b>									
1. องค์ความรู้ (ระบุชื่อเรื่อง)	2 เรื่อง				✓				✓
● การเตรียมพอลิเมอร์จากน้ำมันถั่วเหลือง									
● การเตรียมพอลิเมอร์ดินเหนียวนาโนคอมโพสิตจากน้ำมันถั่วเหลือง									
2. บทความทางวิชาการ	9 เรื่อง								
● ผลงานตีพิมพ์ในวารสารระดับนานาชาติ	1								✓
● ผลงานตีพิมพ์ในวารสารในประเทศ	1				✓				
● เอกสารประกอบการประชุม/สัมมนา ระดับนานาชาติ	2				✓				✓
● เอกสารประกอบการประชุม/สัมมนา ในประเทศ	2				✓				✓
● สื่อวิทยุ/นิทรรศการ/การแสดงผลงาน	3				✓				✓
3. รายงานฉบับสมบูรณ์	1 เรื่อง								✓
<b>HRD</b>									
4. การผลิตบุคลากร	6 คน								
● นริญญาโท	1								✓
● นริญญาตรี	5				✓				✓
5. พัฒนาความสามารถของบุคลากรร่วมวิจัย	7 คน								
● นักศึกษาร่วมโครงการ	6				1				2
● นักวิจัยร่วมโครงการ	1								1
<b>TT</b>									
6. งานวิจัยสู่สาธารณะประโยชน์	1 รายการ								✓

### บทความวิชาการ

- พิมพ์ชานก ไสไทย, สุนันท์ ใจเจนเกียรติ, วัชนิดา ชินضا และ วรารณ์ ตันรัตนกุล. 2550. การสังเคราะห์น้ำมันถั่วเหลืองอีพ็อกซิไดซ์. วารสารวิจัยและพัฒนา มหา. 30, 4(ตุลาคม-ธันวาคม): 583-589.
- Varaporn Tanrattanakul and Pimchanok Saithai, Effect of epoxide content and organoclay on tensile properties of epoxidized soybean oil-based bioplastics, *J. App. Polym. Sci.* 114, 3057-3067 (2009).
- “การสังเคราะห์น้ำมันถั่วเหลืองอีพ็อกซิไดซ์”, การประชุมเชิงวิชาการด้านพลังงาน สิ่งแวดล้อมและวัสดุ ครั้งที่ 1 มหาวิทยาลัยเทคโนโลยีพระจอมเกล้าธนบุรี, โรงเเรมเดอะทวิน ทาวเวอร์ กรุงเทพฯ, 31 สิงหาคม 2550
- “Bioplastics from epoxidized soybean oil”, the 10<sup>th</sup> Pacific Polymer Conference (PPC10), Kobe, Japan, December 4 – 7, 2007.
- “Bioplastic-organoclay nanocomposites from epoxidized soybean oil containing 40 mol% epoxidation via *in situ* intercalation polymerization”, European Polymer Congress 2009 (EPF09), Graz, Austria, July 12-17, 2009.
- ไปสเตอร์และเอกสารวิชาการแสดงผลงานวิชาการในงาน “ม.อ.วิชาการ” ระหว่างวันที่ 16-18 สิงหาคม 2551 และ วันที่ 16-18 สิงหาคม 2552

7. ให้สัมภาษณ์รายการ “รอบรั้ว ม.อ. วันอาทิตย์” ในเดือนมีนาคม 2552 วิทยุสถานี FM88 - มหาวิทยาลัยสงขลานครินทร์

การผลิตบุคลากร

1. นักศึกษาปริญญาโท : นางสาวพิมพ์ชนก ไสไทย
2. นักศึกษาปริญญาตรี : นางสาวสุนันทร์ ใจเจนเกียรติ นางสาวดวงฤทัย ศรีนุ่น นางสาวเพ็ญศรี พรมรัตน์ นางสาวมนต์จิรา ดอกบัวแก้ว และนางสาวจิรัชติ ขุมภักดี